



Publikationen des Deutschen Archäologischen Instituts

---

Madeleine Mertens-Horn, Dieter Mertens, Aenne Ohnesorg

## Aegineten in Metapont? Der frühklassische Tempel C II und seine Bauplastik

Jahrbuch des Deutschen Archäologischen Instituts 139, 2024, 1–232 (§)

<https://doi.org/10.34780/v0h9-98rp>

### Herausgebende Institution / Publisher:

Deutsches Archäologisches Institut

### Copyright (Digital Edition) © 2024 Deutsches Archäologisches Institut

Deutsches Archäologisches Institut, Zentrale, Podbielskiallee 69–71, 14195 Berlin, Tel: +49 30 187711-0

Email: [info@dainst.de](mailto:info@dainst.de) | Web: <https://www.dainst.org>

### Nutzungsbedingungen:

Mit dem Herunterladen erkennen Sie die [Nutzungsbedingungen](#) von iDAI.publications an. Sofern in dem Dokument nichts anderes ausdrücklich vermerkt ist, gelten folgende Nutzungsbedingungen: Die Nutzung der Inhalte ist ausschließlich privaten Nutzerinnen / Nutzern für den eigenen wissenschaftlichen und sonstigen privaten Gebrauch gestattet. Sämtliche Texte, Bilder und sonstige Inhalte in diesem Dokument unterliegen dem Schutz des Urheberrechts gemäß dem Urheberrechtsgesetz der Bundesrepublik Deutschland. Die Inhalte können von Ihnen nur dann genutzt und vervielfältigt werden, wenn Ihnen dies im Einzelfall durch den Rechteinhaber oder die Schrankenregelungen des Urheberrechts gestattet ist. Jede Art der Nutzung zu gewerblichen Zwecken ist untersagt. Zu den Möglichkeiten einer Lizenzierung von Nutzungsrechten wenden Sie sich bitte direkt an die verantwortlichen Herausgeber\*innen der jeweiligen Publikationsorgane oder an die Online-Redaktion des Deutschen Archäologischen Instituts ([info@dainst.de](mailto:info@dainst.de)). Etwaige davon abweichende Lizenzbedingungen sind im Abbildungsnachweis vermerkt.

### Terms of use:

By downloading you accept the [terms of use](#) of iDAI.publications. Unless otherwise stated in the document, the following terms of use are applicable: All materials including texts, articles, images and other content contained in this document are subject to the German copyright. The contents are for personal use only and may only be reproduced or made accessible to third parties if you have gained permission from the copyright owner. Any form of commercial use is expressly prohibited. When seeking the granting of licenses of use or permission to reproduce any kind of material please contact the responsible editors of the publications or contact the Deutsches Archäologisches Institut ([info@dainst.de](mailto:info@dainst.de)). Any deviating terms of use are indicated in the credits.

---

## IMPRESSUM

### Jahrbuch des Deutschen Archäologischen Instituts

erscheint seit 1886/*published since 1886*

JdI 139, 2024 • 308 Seiten/*pages* mit 217 Abbildungen/*illustrations*

#### Herausgeber/*Editors*

Philipp von Rummel • Katja Piesker  
Deutsches Archäologisches Institut  
Zentrale  
Podbielskiallee 69–71  
14195 Berlin  
Deutschland  
www.dainst.org

#### Wissenschaftlicher Beirat/*Advisory Board*

Marianne Bergmann (Göttingen), Adolf H. Borbein (Berlin), Luca Giuliani (Berlin), Lothar Haselberger (Philadelphia),  
Henner von Hesberg (Berlin), Tonio Hölscher (Heidelberg), Eugenio La Rocca (Rom), Andreas Scholl (Berlin),  
Anthony Snodgrass (Cambridge), Theodosia Stephanidou-Tiveriou (Thessaloniki), Markus Trunk (Trier),  
Martin Zimmermann (München)

#### Peer Review

Alle für das Jahrbuch des Deutschen Archäologischen Instituts eingereichten Beiträge werden einem doppelblinden Peer-Review-Verfahren durch internationale Fachgutachterinnen und -gutachter unterzogen./*All articles submitted to the Jahrbuch des Deutschen Archäologischen Instituts are reviewed by international experts in a double-blind peer review process.*

#### Redaktion und Layout/*Editing and Typesetting*

Gesamtverantwortliche Redaktion/*Publishing editor*:

Deutsches Archäologisches Institut, Redaktion der Zentralen Wissenschaftlichen Dienste, Berlin  
(<https://www.dainst.org/standort/zentrale/redaktion>), [redaktion.zentrale@dainst.de](mailto:redaktion.zentrale@dainst.de)

Für Manuskriptenreichungen siehe/*For manuscript submission, see*: <https://publications.dainst.org/journals/index.php/jdi/about/submissions>

Redaktion/*Editing*: Wissenschaftslektorat Löwe/Schulte-Beckhausen, Berlin

Satz/*Typesetting*: le-tex publishing services GmbH, Leipzig

Corporate Design, Layoutgestaltung/*Layout design*: LMK Büro für Kommunikationsdesign, Berlin

Umschlagfoto/*Cover illustration*: DAI Athen, Fotothek, D-DAI-ATH-Naxos-0049 (Foto: Hermann Wagner).

Gestaltung: Catrin Gerlach, DAI, nach Vorlage von Tanja Lemke-Mahdavi

#### Druckausgabe/*Printed edition*

© 2024 Deutsches Archäologisches Institut

Druck und Vertrieb/*Printing and Distribution*: Dr. Ludwig Reichert Verlag Wiesbaden ([www.reichert-verlag.de](http://www.reichert-verlag.de))

P-ISSN: 0070-4415 – ISBN: 978-3-7520-0836-4

Das Werk einschließlich aller seiner Teile ist urheberrechtlich geschützt. Eine Nutzung ohne Zustimmung des Deutschen Archäologischen Instituts und/oder der jeweiligen Rechteinhaber ist nur innerhalb der engen Grenzen des Urheberrechtsgesetzes zulässig. Etwaige abweichende Nutzungsmöglichkeiten für Text und Abbildungen sind gesondert im Band vermerkt./*This work, including all of its parts, is protected by copyright. Any use beyond the limits of copyright law is only allowed with the permission of the German Archaeological Institute and/or the respective copyright holders. Any deviating terms of use for text and images are indicated in the credits.*

Druck und Bindung in Europa/*Printed and Bound in Europe*

#### Digitale Ausgabe/*Digital edition*

© 2024 Deutsches Archäologisches Institut

Webdesign/*Webdesign*: LMK Büro für Kommunikationsdesign, Berlin

XML-Export, Konvertierung/*XML-Export, Conversion*: digital publishing competence, München

Programmierung Viewer-Ausgabe/*Programming Viewer*: LEAN BAKERY, München

E-ISSN: 2702-444X – DOI: <https://doi.org/10.34780/66ys-2693>

Zu den Nutzungsbedingungen siehe/*For the terms of use see* <https://publications.dainst.org/journals/index/termsOfUse>



## ABSTRACT

### [Aeginetans at Metapontum?](#)

The Early Classical Temple C II and Its Building Sculpture

Madeleine Mertens-Horn – Dieter Mertens – Anne Ohnesorg

The oldest oikos C I in the sanctuary of Metapontum, probably dedicated to Athena, was replaced by an elaborate new building (C II) in the early 5<sup>th</sup> century BC. Its foundations and a few building fragments suggest that the building was a large amphidistyle temple following Western Greek typology. A number of building and sculpture fragments made of Parian marble, mostly badly damaged, are associated with this building, which were produced by Greek craftsmen based on their stylistic characteristics. For example, the pieces of a roof edge with lion's heads and volute acroteres, one of which can be reconstructed based on a model from the Temple of Aphaia in Aegina. In addition, there are numerous sculpture fragments of artistic quality, style, iconography and size, which identify them as components of a gable of the same type as the Aphaia Temple; these are, however, a third smaller and thus match the dimensions of the temple C II. It is therefore assumed that the production of the marble decoration of the temple was given to a Greek, probably Aeginetian workshop. Another group of sculptural fragments of the same size and period, but made of white limestone and possibly from the west gable of temple C II, was certainly made by local craftsmen. Considerations on the significance of the sculpture and building programs in the poleis of Magna Graecia conclude this contribution to the current discussion about the mobility of workshops in the early classical period.

## KEYWORDS

Metapontum, Aegina, building sculpture, Parian marble, Severe Style, mobility, identity

# Aegineten in Metapont?

## Der frühklassische Tempel C II und seine Bauplastik

### Einführung

von Dieter Mertens

<sup>1</sup> Der Befund des Tempels C II und seines Bauschmuckes ist von so ungewohnter Art, dass er gleich drei Spezialisten dazu bewog, sich zusammensetzen, um ein Bild zu entwerfen, das sich aus den kargen Resten zunächst kaum erahnen ließ: Eine vollständig abgeräumte Fundamentplatte, nur mit einem Kalkofen auf einer Ecke, aus und um den noch einige vom Brand verschonte Marmorsplitter aus der Erde ragten – das war der Ausgangspunkt nach der ersten großen Grabungskampagne von Dinu Adamesteanu<sup>1</sup>. Doch gerade diese Fragmente aus kostbarem Marmor aus Paros<sup>2</sup> ließen sich bei näherem Zusehen bald in zwei Gattungen teilen, einerseits eine repräsentative Auswahl von Bruchstücken eines schmuckreichen Daches, andererseits eine Vielzahl von zwar sehr zerstörten, aber dennoch dank ihrer hohen künstlerischen Qualität überaus aufschlussreichen figürlichen Bildwerken.

<sup>2</sup> Der südlichste Tempelkomplex im Stadtheiligtum (Abb. 1. 2) ist zugleich der älteste; von hier aus hat sich das Heiligtum, jedenfalls in seiner monumentalen Bebauung, mit den archaischen Haupttempeln A, B und dem ionischen Tempel D schrittweise nach Norden entwickelt<sup>3</sup>. Der Bezirk des Tempels C ist nach Süden und Westen hin durch die ostwestlich verlaufende Plateia A–A bzw. die westliche Temenosmauer begrenzt, die ihrerseits von dem großen Entwässerungskanal, der sog. cloaca, begleitet wird. Im Bereich zwischen Tempel C II und der Plateia sind im Zuge der späten Neuorganisation

<sup>1</sup> Metaponto I, 67–78. 165–171. 341–344; De Stefano 2014/2015, 136–138; De Stefano 2019, 135–137. In die dankbare Erinnerung an Dinu Adamesteanus Leistung und Großzügigkeit schließe ich hier besonders den Dank an seinen Nachfolger in der Grabungsleitung in Metapont, Antonio De Siena, ein, dessen freundschaftliches Engagement und dessen Weitsicht die Vertiefung der Zusammenarbeit der Soprintendenza mit dem DAI ermöglicht haben, die auch in der hier vorgelegten Arbeit ihren Ausdruck findet. – An dieser Stelle sei auch Benedikt Boyxen (DAI Berlin, Redaktion) sowie Wanda Löwe und Marion Schulte-Beckhausen herzlich gedankt für die gewissenhafte und geduldige Bearbeitung unseres Manuskripts.

<sup>2</sup> De Siena u. a. 2002.

<sup>3</sup> Mertens 1985; Giardino – De Siena 1999; zur Dedikation der Tempel s. u. § 6–10.



Abb. 1: Der Bezirk des Tempels C von SW

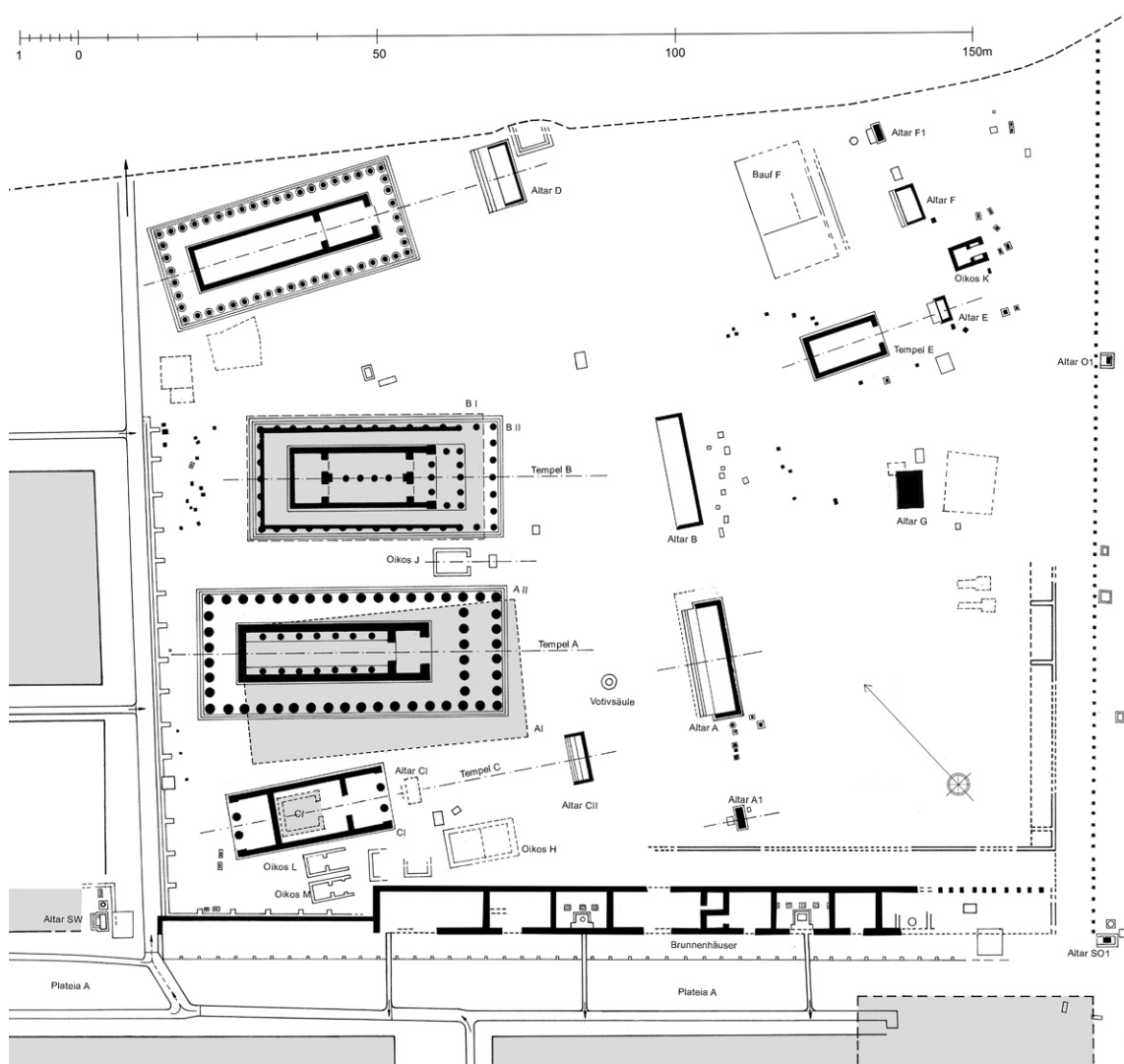


Abb. 2: Lage des Tempels im Stadtheiligtum, Rekonstruktionsplan (M. 1 : 1250)



3

des Heiligtums im 3. Jh. v. Chr. eng nebeneinander die zwei kleinen Oikoi L und M errichtet worden<sup>4</sup>.

3 Die äußerst kargen Baureste des Tempels C sind im Zuge der Freilegung des Heiligtums südlich von Tempel A (Abb. 3) in mehreren Schritten ausgegraben worden<sup>5</sup>: zuerst der noch am besten anstehende hocharchaische Kernbau C I mit dem ihn umgebenden westlichen Fundamentbereich für die Erneuerung C II im ersten Viertel des 5. Jhs., dann die Altäre, schließlich der östliche Teil der durchgeschichteten Fundamentplatte des Baues C II<sup>6</sup>. Unter den Grabungsbefunden kommt dem über der Südostecke der Fundamentplatte eingerichteten Kalkofen besondere Bedeutung zu, da in ihm und um ihn herum die meisten der hier zu diskutierenden Fragmente aus Marmor gefunden wurden<sup>7</sup>. Die verhältnismäßig große Zahl von Flach- und Deckziegeln sowie

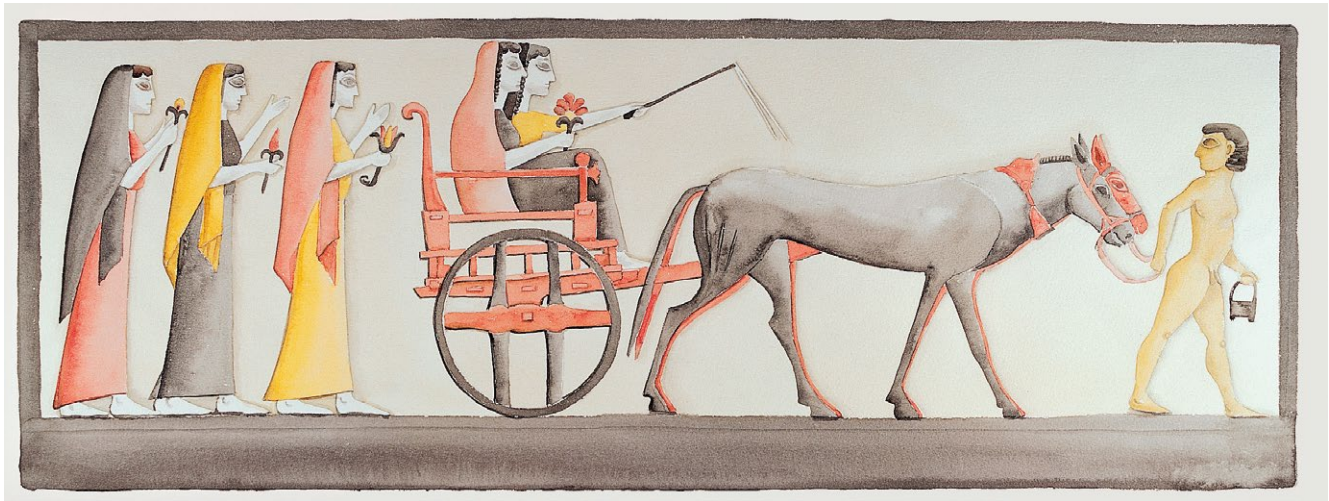
Abb. 3: Stadtheiligtum, Steinplan, Ausschnitt des Bereichs um den Tempel C (M. 1 : 400)

4 Zu einem vermuteten weiteren frühen Bau an deren Stelle zuletzt De Stefano 2019, 100, zit. in Barberis 2004, 25 mit Anm. 71; De Siena 1992, 119.

5 Zusammenfassung in Barberis 2004, 23 f.; De Stefano 2014/2015, 136–138.

6 s. Anm. 1. 5; De Siena 1990, 85–87; Bottini 1993, 765.

7 s. bes. Metaponto I, 71–74, auch wenn aus der Fundbeschreibung nicht klar zwischen den in der »calcara moderna« und der näheren Umgebung, vor allem dem Raum zwischen Tempel A und C, ausgegrabenen Fragmenten unterschieden wird. Unklar ist auch der Bezug zu einem weiteren Ofen, der im Schnitt X 71 unmittelbar in 1 m Abstand zu dem südlichen Peristasisfundament des Tempels A II ausgegraben wurde, s. dazu die in Anm. 37 angekündigte Veröffentlichung. Speziell zur Grabung um Tempel C s. Metaponto I, 165 f. Einige der Fragmente sind stark durch den Brand gezeichnet. – Die Reste des Ofens sind ohne eigene Dokumentation nach der Grabung wieder verfüllt worden und heute nur noch in ihrem Umriss zu erkennen. Sie bestehen im nördlichen, auf die Fundamentplatte ragenden Bereich aus kleinsten Mauerwerk, im übrigen Bereich aus verbackenem Ton. Vgl. die – wohl mittelalterlichen – Kalköfen in [Selinunt](#), auf



4

Abb. 4: Tempel C I, Terrakottafries

von (Akroter-)Ranken und Palmetten unter diesen Stücken (Kat. 1–35) lässt sich dabei einem einzigen Dach zuordnen, das wegen der Fundhäufung an dieser Stelle und aus anderen Erwägungen nur diesen Tempel gedeckt haben kann.

4 Anderes gilt für die Vielzahl von – freilich in sehr fragmentiertem Zustand aufgefundenen und mehrfach auch durch Brand entstellten – Fragmenten von figürlichen Skulpturen unterschiedlicher Größenordnung und Entstehungszeit, die zur Kalkgewinnung wohl auch aus verschiedenen, weit auseinanderliegenden Bereichen des Heiligtums angesammelt worden sind<sup>8</sup>. Dass ein Teil davon (Kat. 36–68) gleichwohl vom Schmuck des Tempels C II stammen muss, wird unten begründet und ausgeführt. Die Größenordnung der Fragmente, ikonographische Erwägungen und die stilistischen Eigenschaften sowie die daraus zu erschließende Zeitstellung sind dabei die wichtigsten Argumente. Nach denselben Kriterien ist auch die Gruppe von Fragmenten von figürlichem Bauschmuck aus weichem weißem Kalkstein (Kat. 69–78) zu behandeln, die vorwiegend westlich der Tempelreste, teils auch in der Auffüllung der ›cloaca‹ aufgefunden wurden<sup>9</sup>.

5 Die besonderen Gegebenheiten des Befundes bestimmten das Vorgehen bei der Publikation des Komplexes, wobei sich die Bedeutung freilich nur schrittweise erschloss. Tatsächlich ist anfangs dem offensichtlich ältesten Sakralbau im Heiligtum, dem innerhalb des nur teilweise ausgegrabenen großen späteren Plattenfundaments relativ gut bewahrten Oikos C I, die meiste Beachtung geschenkt worden und dies vor allem auch wegen des bedeutenden figürlichen Terrakottafrieses, der ihm zugeschrieben wurde (Abb. 4). Daher schien auch die vom übrigen Zusammenhang gelöste monographische Publikation dieses einzigartigen archäologischen Monuments<sup>10</sup> gerechtfertigt und sinnvoll, so dass im aktuellen Zusammenhang auch nur noch auf diese verwiesen zu werden braucht. Sie bleibt aber, ganz abgesehen von der nach wie vor regen Diskussion um die Deutung des Frieses<sup>11</sup>, nicht nur für unsere Darlegung des Baubefundes (s. u. § 23–25. 221–222) wichtig, sondern auch für unsere Stellungnahme zu der wichtigen Frage nach der Gottheit, der der Tempel geweiht war. Dies umso mehr, als sich

der Südwestecke des Tempels O und nahe der Südostecke des Tempels E, also in unmittelbarer Nähe von Tempeln mit Marmorbauschmuck, dazu zuletzt Pagliardi 2019/2020, 426 f.; ausführlicher zu solchen Öffnen Lambrugo 2011 (Gortyn) und bes. Ferrara – Franco 2012 (Heraion am Sele); in Metapont selbst ist der gut erhaltene, aus Stein gemauerte große Kalkofen östlich des Theaters das anschaulichste Vergleichsbeispiel (s. Osanna 2008, 930 f. Abb. 48).

8 Mertens-Horn 2001.

9 Metaponto I, 65–71; Steining 1996, 99–106.

10 Mertens-Horn 1992.

11 Zuletzt De Stefano 2019, 134–137 und De Stefano 2021; s. u. Anm. 15.

im Laufe der ergänzenden Ausgrabungen und Freilegungen des ganzen Baukomplexes noch deutlicher gezeigt hat, wie eng die beiden Bauphasen, C I und C II, aufeinander bezogen sind.

6 In der betonten Kontinuität seiner architektonischen Fassung offenbart sich jedenfalls auch die Bedeutung des Kultes und der hier verehrten Gottheit. Nach dem Fund einer ursprünglich möglicherweise als Horos dienenden etwa quadratischen Stele in dem hellenistischen Oikos L unmittelbar südlich des Tempels C II, die eine als *Athenas Hygieias* zu ergänzende Inschrift trägt<sup>12</sup>, lag seit 1974 die Dedikation an Athena nahe. Man vermutete, dass das Epitheton *Hygieia* der Göttin zum Dank für die heilsame Wirkung der im 5. Jh. erfolgten ausgedehnten Trockenlegung des Stadtgeländes im Rahmen der die ganze Chora Metaponts umfassenden großangelegten Bonifizierungsmaßnahmen seit spätarchaischer Zeit verliehen wurde<sup>13</sup>. Die wichtigsten und in unseren Augen nach wie vor überzeugendsten Argumente beziehen wir aber aus der ausführlich begründeten Interpretation des bedeutenden Komplexes des früharchaischen Relieffrieses, der den Tempel C I, in welcher Anbringung und Abfolge auch immer, geschmückt haben muss<sup>14</sup>. Die dargestellte Frauenprozession – wohl zwei Priesterinnen auf einem ländlichen Transportwagen, die von drei Frauen mit in feierlichem Gruß erhobenen Händen begleitet werden – ist nicht per se auf eine bestimmte Gottheit zu beziehen<sup>15</sup>. Doch der Befund<sup>16</sup>, dass sie aus derselben Tonmatrize stammen wie Reste von weiteren Friesen und kleinen Reliefplättchen, aus zwei benachbarten Athena-Heiligtümern – in Siris/Policoro<sup>17</sup> und in Francavilla Marittima bei Sybaris –, hat weiterhin großes Gewicht<sup>18</sup>, auch wenn dies in letzter Zeit zu relativieren versucht worden ist.

---

12 Zuletzt dazu und zum Fundort im hellenistischen Sacello südlich von Tempel C De Stefano 2014/2015, 133; anders Burzachechi 1979, 279; De Julii 2001, 143 f.; Giacometti 2005, 76 f.; Doepner 2002, 72 f. 207 I b. Hingegen hat sich inzwischen die Lesung der auf dem Rand einer wohl ins 4. Jh. datierbaren Bronzeschale eingeritzten Dedikationsinschrift an Athena (Metaponto I, Abb. 234 a) als unhaltbar erwiesen (Antonio De Siena und Emiliano Arena mdl.).

13 Giacometti 2005, 82; De Stefano 2019, 147.

14 Bes. Mertens-Horn 1992, 49–61. Zu den Fundumständen der zugehörigen Fragmente ausführlich De Stefano 2014/2015; De Stefano 2019; De Stefano 2021. Das größte erhaltene Fragment fand sich im Fundament des neuen Altars von Tempel C II, Bottini 1993, 765; De Siena 2008a, 583.

15 Die Prozession zeigt zwei würdige, gleich frisierte und verschleierte Frauen auf einem ländlichen Wagen, von denen die vordere eine große Blüte hält und die hintere die Peitsche über den Maultieren schwingt. Drei ebenfalls Blumen tragende junge Mädchen folgen hinten zu Fuß und halten die linke Hand zum feierlichen Gruß erhoben. Offensichtlich ist die Prozession einem auf der anderen, rechten Seite zu erwartenden *sacrum* zugewandt, wohl einem Kultbau oder einem Götterbild, auf das sie sich hinbewegt. Die Leine der Zugtiere liegt in der Hand eines unbedeckten und damit einem unteren Stand angehörenden Knaben. Er hält in der Linken einen rechteckigen Gegenstand, wohl ein Kästchen, das dem Kultvorgang diene. Manche wollen darin eine Laterne erkennen und die Szene als nächtliche Initiationsfeier verstehen, doch gibt es dafür einstweilen keinen zeitgleichen Beleg (s. Scheibler 1976). Auf einer ikonographisch gleichen, etwas jüngeren Neubildung des Frieses in Metapont in fließendem ionisierendem Stil wird der Wagenzug von zwei Wasservögeln begleitet, die jedenfalls deutlich machen, dass er sich bei Tageslicht dem Lauf der Flüsse entlang (etwa zu einem Heiligtum der Chora wie S. Biagio, s. Giacometti 2005, 67) bewegte (Mertens-Horn 1992, 73–75. 120 Taf. 19).

16 Olbrich 1986, 145–149; Mertens-Horn 1992; Pace 2011; Guzzo 2012; Maaskant-Kleibrink 2017.

17 Mertens-Horn 1992, 64 f.; vgl. Rescigno 2014, 43–45.

18 Die Vorstellung, dass das Ziel der Prozession ein Heiligtum der Athena war, wird von Marianne Maaskant-Kleibrink um die ansprechende Idee erweitert, dass auf dem Wagen der Peplos für die Göttin transportiert wurde, wie es nach Homer einst in Troja geschah, als die Frauen um Hekabe die Göttin um Hilfe anflehten. Bei ihrem berühmten Bittgang um Frieden ließen sich die Königin Hekabe und die Frauen der Stadt den Tempel der Athena öffnen, um ihr das neu gewebte Gewand auf die Knie zu legen (Hom. Il. 6, 269–311; Kleibrink Maaskant 2003, 67; Maaskant-Kleibrink 2017, 197 f. 204; Kleibrink – Pace 2018, 121–130; Neils 2009). – Überzeugend lässt sich ein einzigartiges kleines Kunstwerk aus dem Athena-Heiligtum in Francavilla Marittima auf diese Szene beziehen. Es ist ein flaches Tonmodell eines kastenartigen Kultschreins mit einem von hängenden Blättern – einem frühen »Blattstab« – geschmückten flachen Dachrand, in dem eine Göttin sitzt, die einen hohen Polos trägt und in den Händen einen auf ihren Knien liegenden gerollten Stoffballen hält (Mertens-Horn 1992, 103 f.) – Auf eine offenbar wohlbekanntere Athenastatue in der Stadt deutet ein spätklassisches Pinaxfragment hin, auf dem die Göttin im Promachostypus aufrecht, mit aufgestülptem Helm und Lanze frontal nachgebildet ist, und direkt neben ihr ein bewegter nackter Kulttänzer mit Raubtiermaske, den man sich vermutlich im nahen Theater auf

7 Tatsächlich ist diese Deutung seither viel diskutiert und auch grundsätzlich angezweifelt worden; dies vor allem ausgehend von der Hauptgruppe auf dem Wagen, welche manche Autoren die dargestellte Szene in verschiedenen Lesarten als Hierogamie verstehen ließ. So sehr eingehend Carlo Rescigno<sup>19</sup> und zuletzt Francesco De Stefano<sup>20</sup>, ehe Letzterer schließlich doch der Interpretation der Frauen als Priesterinnen im Zuge einer von dem kleinen Kultassistenten angeführten Prozession den Vorzug einräumte, in der freilich die Feier eines weiblichen Transitionsritus das eigentliche Thema sei<sup>21</sup>. Diese Sicht wird bestärkt durch den von De Stefano betonten Fundkontext der Fragmente des Frieses mit anderer figürlicher Terrakottaplastik und durch eine Anzahl der in Metapont und dort um den Tempel C herum besonders häufig vertretenen<sup>22</sup> Pinakes mit der Darstellung des Paares, welches in der bekannten Holzstatuette des Götterpaares Zeus und Hera aus dem Heraion von Samos ihr Modell habe. Daher auch der Vorschlag der Dedikation des Tempels C an Hera, freilich mit der Implikation der Frage nach dem im benachbarten Haupttempel A begangenen Kult, der bislang als der in Großgriechenland allgemein besonders verehrten Göttermutter Hera geweiht gilt<sup>23</sup>.

8 Rita Sassu hingegen stellt in einer als methodisches Modell verstandenen Studie<sup>24</sup> gerade eine besondere Bedeutung des Herakultes innerhalb des Stadtheiligtums von Metapont in Frage<sup>25</sup>, wo sie vielmehr Apollon in verschiedenen Eigenschaften so stark präsent sieht<sup>26</sup>, dass sie ihm die beiden einander auch topographisch so eng zusammenstehenden archaischen Haupttempel – der eine (Tempel A) als Kultort im engeren Sinne, der andere (Tempel B) mit nicht näher definierten komplementären Funktionen<sup>27</sup> – gewidmet verstehen möchte. Neben allgemeinen Erwägungen zur Frage, ob in Heiligtümern mit mehreren einander zugeordneten Kultbauten nicht eine Konzentration auf eine dominierende Gottheit zu erwarten sei, führt sie dafür vor allem das Phänomen der *argoi lithoi* mit ihren auf Apollon bezogenen Inschriften ins Feld. Der im 5. Jh. im Norden hinzugekommene ionische Tempel D, der zuvor schon der Artemis<sup>28</sup> (oder auch Aphrodite<sup>29</sup>) zugewiesen worden war, und im Süden der älteste,

---

der Agora vorstellte (De Siena 2008a, 595; das Fragment wurde als Streufund auf dem Gebiet des römischen Castrums gefunden). – Für das hier abgebildete Exemplar s. Numismatica, Ars classica, Zürich 2018, Auction 84, 2, lot. 1401.

19 Rescigno 2014, 43–51.

20 Besonders ausführlich De Stefano 2014/2015 und De Stefano 2019, 134–137. 145–149.

21 De Stefano 2021, 464.

22 Die Fundsituation ist freilich unseres Erachtens nicht so aussagekräftig, wie es scheint, ist doch der Grabungsbefund der sog. *stipe votiva* im Innern des Tempels C I wenig klar (De Stefano 2021, 459), und die meisten Funde stammen aus den Schichten über der Fundamentplattform des Tempels C II.

23 Ausführlicher diskutiert in De Stefano 2014/2015. Schließlich ist auch das extraurbane Heiligtum an der Straße nach Tarent um die sog. *Tavole Palatine Hera* geweiht.

24 Sassu 2013 mit mehreren grundsätzlichen Postulaten zur Fragestellung, besonders was Heiligtümer mit mehreren Kultbauten angeht, aber auch zur Aussage archäologischer Quellen, besonders der figürlichen Terrakotten.

25 Die besondere Rolle der Hera für die achäische Kolonisation manifestiert sich im extraurbanen Hera-Heiligtums am Bradano (Sassu 2013, 4 f. 9). – Tatsächlich sind die archäologischen Belege aus dem Grabungsbefund, angefangen bei den bisher überschätzten Bezeichnungen auf den Ersatz-Dachterrakotten (Sassu 2013, 7–9), für die Dedikation des Tempels A an Hera sehr gering. – Zur konventionellen Dedikation der archaischen Haupttempel (A an Hera, B an Apollo) s. De Siena 1998, 162–164.

26 Wir teilen die grundsätzliche Einschätzung einer besonderen Bedeutung des Apollonkultes im Metapontiner Stadtheiligtum, sehen das Problem aber differenzierter; in der in Vorbereitung befindlichen Endpublikation der Peripteraltempel (s. Anm. 37) wird dies besprochen.

27 Bei dieser Aufgabenverteilung geht Sassu 2013, 6. 10. 14 unter Bezug auf einen frühen Stand der Forschung irrtümlich davon aus, dass der Tempel B keinen eigenen Altar gehabt habe, der Tempel somit kein Kultbau im engeren Sinne gewesen sei. Vgl. Doepner 2002, 21. 74; Mertens 2006, 153. Außerdem werden die auffälligen Unterschiede in der Grundanlage der beiden Tempel ebenso wenig angesprochen wie ihr Verhältnis zu den für die ganze Diskussion so wichtigen Zeugnissen der *argoi lithoi*.

28 Picaredda 1999, 89–95.

29 Giacometti 2005, 25–27; vgl. Schmitt 2016, 154.

der Tempel C, als Sitz der Leto würden dann das ganz vom Apollonkult geprägte Bild abrunden<sup>30</sup>.

9 Daneben gibt es, wenngleich mit geringerer Überzeugung vorgetragen, die Vorschläge einer Zuweisung des Tempels C an Artemis<sup>31</sup> und an Aphrodite<sup>32</sup>.

10 Die Debatte ist geprägt von grundsätzlichen methodischen Gegensätzen, die auch nicht unbemerkt geblieben sind<sup>33</sup> und es schwer machen, dem einen oder anderen der beiden wichtigsten Argumentationsstränge den Vorrang zu geben. Aus archäologischer Sicht liegt dabei aber ein Hauptproblem in den unzureichenden Angaben aus den sich über längere Zeit erstreckenden und unter schwierigen Bedingungen durchgeführten Grabungen, die freilich auch mit heutigen Mitteln nicht mehr zu verbessern sind. Daher sind wir bei der hier vorliegenden Präsentation des Tempels C und seines ornamentalen und figürlichen Schmuckes in seiner Neubauphase des frühen 5. Jhs. vor allem darum bemüht, den Befund so klar wie möglich darzulegen, um daraus auch für die Frage nach dem im Tempel begangenen Kult noch Hinweise zu gewinnen – und dadurch auch das Ensemble selbst besser zu verstehen. Einstweilen sehen wir keinen ausreichenden Grund, einem der genannten Vorschläge den Vorzug zu geben und von der bisher bevorzugten Dedikation des Komplexes der Tempel C I und C II an Athena abzuweichen, auch wenn man wohl trotz aller oben betonten Kontinuität im Grundkonzept ihrer Anlage davon ausgehen kann, dass sich das Bild der Gottheit sowie Art und Sinn ihrer Verehrung von hocharchaischer bis in frühklassische Zeit stark gewandelt haben.

11 Im Folgenden werden wir zunächst die architektonische Eigenart und Einzigartigkeit des in seiner Bindung an den älteren Kultort entstandenen monumentalen Neubaus im Rahmen des Möglichen herauszuarbeiten versuchen. Dieser ist freilich durch den extrem kargen Befund – sowohl in situ als auch an steinernen Bauelementen – äußerst eng gesteckt. Es soll aber wenigstens alles Verfügbare, auch vor dem Hintergrund der aktuellen Diskussion zum frühklassischen Tempelbau<sup>34</sup>, zusammengetragen werden, vor allem um den marmornen Bestandteilen ihren Platz besser zuweisen zu können.

12 Deren Erörterung ist tatsächlich das zentrale Thema dieses Beitrages. Dabei ist der Anteil an marmornem Schmuck, was den architektonischen Dekor angeht, schon lange bekannt<sup>35</sup> und seine ausführlichere Publikation ein altes Desiderat. Dies umso mehr, als gerade in den letzten Jahrzehnten, im Zuge neuer Beobachtungen zur Architektur und zum Bauhüttenwesen des früheren 5. Jhs. im griechischen Westen, eine lebhaft debattierte Rolle des Marmors und der griechischen Marmorwerkstätten eingesetzt hat. Dabei ist immer prononcierter die These vertreten worden, dass mit dem Inselmarmor besonders vertraute Werkleute oder auch Werkstätten in den reichen Poleis des griechischen Westens tätig geworden seien oder jedenfalls von ihnen Aufträge erhalten hätten<sup>36</sup>. Es bleibt aber angesichts der kargen Quellenlage schwierig, die Modalitäten dabei besser zu fassen, Art und Umfang der Aufträge genauer zu definieren und vor allem auch die Mobilität dieser Werkleute zu verstehen – und mit ihnen die Vermittlung ihrer Kenntnisse und ihres Planungsvermögens.

---

30 Sassu 2013, 12–15 mit Anm. 89.

31 Giacometti 2005, 67.

32 De Stefano 2020, 9 mit Anm. 40; Schmitt 2016, 153–155 erwägt einen Kultort der Aphrodite im Südwesten des Heiligtums, ohne aber einen der bekannten Bauten dafür in Anspruch zu nehmen.

33 Osanna 2016, 362. In diesem Sinne auch die umsichtige Zurückhaltung ganz allgemein zur Dedikation der Tempel des Stadtheiligtums in Rescigno 2014, 51 mit Anm. 60.

34 s. etwa Amara 2020a; Amara 2020b; Rocco 2008; Rocco 2019; Bankel 2019.

35 Metaponto I, 344 f.

36 Rocco 2010; Rocco 2016; Rocco 2019; Belli Pasqua 2000; Belli Pasqua 2010; zuletzt Marconi 2021.

13 Auch unter solchen Gesichtspunkten sollen hier die Metapontiner Stücke vorgelegt werden, zumal da sie, jedenfalls was die Bestandteile des Daches und seines Schmuckes betrifft, alle einem einzigen Dach zugewiesen werden können. Und dies kann nach allen Kriterien nur das des Tempels C II gewesen sein, so prekär dessen Erhaltung im Übrigen auch ist. Außer der Konzentration der Funde in und um den just über seiner Südostecke eingerichteten Kalkofen spricht die allgemeine Größenordnung der Stücke dafür, vor allem aber auch der Umstand, dass der Tempel als Einziger dafür in Frage kommt, da die Terrakottadächer der drei großen Peripteraltempel gesichert sind<sup>37</sup>.

14 Der Kalkofen wurde wohl gerade wegen der hier konzentrierten Menge von Marmorbruchstücken an dieser Stelle angelegt<sup>38</sup>, dann aber noch mit anderem Marmor material bestückt. Hier fand sich eine Vielzahl von marmornen Fragmenten von figürlicher Plastik, die allerdings im Vergleich mit der Einheitlichkeit der Architekturteile erheblich heterogener und meist auch zu noch kleineren Stücken zerschlagen waren. Im Ganzen handelt es sich dabei, trotz des extrem fragmentarischen Zustandes, um einen außerordentlichen Komplex griechischer Plastik aus archaischer bis in hellenistische Zeit, die vorwiegend aus parischem Marmor hergestellt worden ist<sup>39</sup>.

15 Unter diesem vielfältigen Material zeichnet sich eine Gruppe von Fragmenten, in so kleine Stücke sie teilweise auch zerteilt sein mögen, durch eine Reihe von kennzeichnenden Gemeinsamkeiten als untereinander zusammengehörig aus. Neben dem gleichmäßig großen Korn des parischen Marmors<sup>40</sup> sind es die sehr einheitliche Größenordnung der zu erschließenden Figuren, die dank der außerordentlichen künstlerischen Qualität gut definierbaren stilistischen Eigenschaften sowie bestimmte ikonographische Merkmale, welche trotz aller Einschränkungen durch den extrem fragmentarischen Befund an ein bekanntes Modell aus dem griechischen Mutterland erinnern<sup>41</sup>: die Giebelgruppen des Aphaia-Tempels auf Aegina, und dort sogar eher der Ost- als der Westgiebel. Nur eines ist anders, nämlich die absolute Größe. Doch dank der Qualität der Arbeit lässt sich auch dieser Unterschied genauer präzisieren: Die Metapontiner Stücke sind etwa um ein Drittel kleiner als die »Modelle« aus Aegina<sup>42</sup>.

16 Es geht also um die Vermutung, dass die Fragmente die letzten Reste von Giebelfiguren eines Tempels von großem Anspruch, aber deutlich geringerer Größe als die großen Peripteroi des Heiligtums sein könnten. Und es liegt nahe, sie zusammen mit den Fragmenten von Dachziegeln, Simen und Akroteren zu sehen, die aus demselben Marmor material bestehen und nach allen vergleichbaren Merkmalen von denselben griechischen Werkleuten gefertigt wurden. Tatsächlich ist ja aufgrund der Profile der Rankenfragmente eines (oder auch zweier) Volutenakrotere bereits auf die Ähnlichkeit mit den Akroteren des Aphaia-Tempels aufmerksam gemacht worden<sup>43</sup>. Wir stellen uns also vor, dass mit der Ausstattung des anspruchsvollen Neubaus des (Athena?)-Tempels von Metapont eine mutterländische Werkstatt von erfahrenen Marmorbildhauern beauftragt wurde, so wie wir sie vom kurz zuvor

---

37 Mertens 2006, 300–305; die monographische Publikation der Peripteraltempel einschließlich ihrer Dächer ist in Vorbereitung. Die Bearbeitung der Kleinfunde aus den Grabungsschnitten hat in Abstimmung mit Antonio De Siena Svenja Neumann zusammen mit Azzurra Scarci, Michael Hochmuth und Blanca Kupke übernommen.

38 s. o. Anm. 7.

39 Die systematische Vorlage des Bestandes ist in Vorbereitung (s. u. Anm. 188), dazu bisher Mertens-Horn 2001; Mertens-Horn 2008; vgl. Adornato 2010a.

40 De Siena u. a. 2002.

41 Mertens-Horn 2008.

42 s. dazu unten § 107 mit Anm. 189. Zu dieser Reduktion des Maßstabes vgl. den dem Artemis-Tempel im Apollon-Heiligtum von Aegina zugeschriebenen Kopf, Santi 2001, 191 f.

43 Danner 1997, 60 f. 110 mit Anm. 247. 514.

---

fertiggestellten Aphaia-Tempel auf Aegina kennen. Dabei sind in das neue Werk stilistische Eigenschaften und ikonographische Modelle in einer Weise eingeflossen, die die Vermutung nahelegen, dass es dieselben Werkleute waren, in welcher Organisation oder Gruppierung auch immer, die in Metapont mit der architektonischen und figürlichen Ausstattung des neuen Tempels in kostbarem Inselmarmor beauftragt wurden.

17 Unsere Vorstellung wird bestärkt durch den jüngst von Henner von Hesberg und seinen Mitarbeitern in dieser Zeitschrift vorgestellten bedeutenden Bestand von marmorner Bauplastik in Apollonia<sup>44</sup>, also jenem Gebiet korinthisch-kerkyräischer Kolonisation Nordwestgriechenlands, das über das Adriatische Meer auch in enger Verbindung mit den Kolonien Unteritaliens steht. Auch hier ist, insbesondere für eine als spätarchaischer Giebel interpretierte Gruppe von Fragmenten, eine auffällige Nähe zu Mustern wie den Giebeln von Aegina hervorgehoben worden. Und auch in Achaia, dem Herkunftsgebiet der Metapontiner, zu dem stets enge Beziehungen gepflegt wurden, haben die jüngsten Forschungen sowohl in der Tempelarchitektur als auch in der Bau- und besonders der Giebelskulptur gerade für die spätarchaisch-frühklassische Zeit bedeutende Zeugnisse enger Anlehnungen an die Vorbilder auf Aegina erbracht<sup>45</sup>.

18 Angesichts des im Vergleich zu allen soeben genannten Beispielen noch fragmentarischeren Zustandes der Stücke aus dem Kalkofen in Metapont, die aber durch ihre hohe künstlerische Qualität eine gute Beurteilung erlauben, halten wir es hier für den einzigen Weg, zu einem Ergebnis zu kommen, wenn wir die Metapontiner Bruchstücke unmittelbar mit ihrem mutmaßlichen Modell vergleichen: eine Art induktives Verfahren, das wir aufgrund der besonderen Umstände auch für legitim halten, vorausgesetzt, wir bleiben dabei konsequent<sup>46</sup>.

19 Im Zuge dieser Arbeit sind dann auch die bisher weniger beachteten Fragmente von Plastik aus feinem weißem Kalkstein ins Blickfeld gerückt, die nicht nur wegen ihres Fundortes mehrheitlich westlich des Tempels C in unserem Zusammenhang von Bedeutung sind. Trotz der dem Material zuzuschreibenden Besonderheiten im Rahmen desselben Zeitstils können sie wegen ihrer gleichen Größenordnung, aber auch wegen ikonographischer Argumente nicht übergangen werden. Ja, sie sollten sich sogar als besonders wichtig erweisen, um den Anteil der Auftraggeber selbst besser verstehen zu können.

20 Ehe wir nun an die Analyse der Befunde und Funde gehen, muss noch auf die Problematik der Datierung des Baues und seines Schmuckes hingewiesen werden. Dies vor allem, weil es im Gegensatz zu den anderen großen Tempeln des Heiligtums<sup>47</sup> keine relevanten Grabungssdaten dafür gibt<sup>48</sup>. Angesichts der überaus kargen architektonischen Reste sind wir ganz auf die Stilanalyse der Marmorfragmente angewiesen. Dabei ist aber die kontrovers geführte Debatte über die Datierung des Aphaia-Tempels und der Aegineten gegenwärtig zu halten<sup>49</sup>.

---

44 von Hesberg u. a. 2018.

45 Aktuell mehrere Beiträge im Kongressband Greco – Rizakis 2019, darunter Hellner 2019 zur spätarchaischen Tempelarchitektur, Vordos 2019a und besonders Vordos 2019b zum Giebelschmuck des Athena-Tempels von Trapeza und Kolia 2019 zu den Heiligtümern der Aigialeia (dort zuletzt zum Giebel von Keryneia, S. 264 f.). Zu Aegina und Tarent s. Bencze 2016.

46 Dies benötigt allerdings seinen Raum für jedes Stück.

47 s. Anm. 37.

48 Bibliographie in Barberis 2004, 23. Der von De Siena durchgeführte Schnitt E 88 war ganz auf die Frage der Datierung von C I und der dem Bau vorausgehenden Situation konzentriert (De Siena 1990, 85–87).

49 Zusammenfassend Fendt 2019, 197–200, ohne eindeutig Stellung zu nehmen zu der aktuellen Diskussion der nach Gill (Gill 1988, 169–177; Gill 1993, 173–185) von Stewart vertretenen Datierung des Tempels nach 480, mit der Konsequenz der praktisch gleichzeitig um 475 (Stewart 2008, 593–597; Stewart 2013, 135; so besonders Eschbach 2013) anzusetzenden Giebelgruppen. Unentschieden auch die Position von Adornato 2019a in seiner Argumentation gegen Stewarts These einer »revolutionären« Entstehung des Strengen Stils in



5

Abb. 5: Die Tempelruine von NO

21 Was Metapont selbst und dabei besonders die Architektur und die Baudekoration betrifft, ist im Laufe der ersten Hälfte des 5. Jhs. eine besondere Entwicklung zu beobachten. Sie war jedenfalls Ausdruck einer Zeit wachsender Prosperität der Metapontiner, die sich vor allem in der Reorganisation ihres landwirtschaftlichen Hinterlandes<sup>50</sup>, aber auch in der Stadt, etwa mit der Neuanlage des bedeutenden Ekklesiasterions auf der Agora, manifestierte<sup>51</sup>. In der Sakralarchitektur tut sich die Abkehr von lokalen Traditionen<sup>52</sup> zugunsten auswärtiger Konzepte besonders in dem eigenartigen und sich selbst einer klaren Definition entziehenden ionischen Tempel kund, der bald nach 470 in dem noch freien Bereich des Heiligtums nördlich des Tempels B angelegt wurde<sup>53</sup>. Diesem typologisch neuartigen Bau war eine Modernisierung der beiden archaischen Haupttempel durch ganz neue Terrakottadächer vorausgegangen<sup>54</sup>, die durch ihre bedeutenden Löwenkopf-Simen bekannt sind und unter denen das ältere, das Dach des Tempels B, jedenfalls hoch in das erste Viertel des 5. Jhs. datiert werden muss<sup>55</sup>. Sie sind nicht nur von bedeutendem künstlerischem Rang, sondern vielleicht auch die originellsten metapontinischen Schöpfungen dieser Zeit auf dem Gebiet der Baudekoration. Dagegen ist es bis heute schwer, die Teilnahme von Metapont an der Diskussion um die

---

Folge der Perserkriege (bes. Stewart 2008; Stewart 2013), der er dem fließenden, bereits früher beginnenden, länger anhaltenden und im Verlauf weniger einheitlichen Wandel des Stils der Plastik zwischen Spätarchaik und Frühklassik entgegengesetzt, aber zur Rolle der Aegineten keine Position bezieht (Adornato 2019a, 580). Begründeter Widerspruch gegen die Datierung nach den Perserkriegen hingegen von Wünsche 2011, 220 f. und Wünsche 2020, 170–174. Aus architekturgeschichtlicher Sicht ist sie auch nicht leicht vereinbar mit der Datierung vor 480 des bisher in unmittelbarer Abhängigkeit vom Aphaia-Tempel verstandenen Artemis-Tempels im Delion von Paros (Schuller 1991, 73. 111). Unter Umkehrung des Zeitverhältnisses dieser beiden Bauten hat Bankel 2019 zuletzt einen Werdegang und ein Œuvre des Architekten des Aphaia-Tempels entwickelt, das mit dem ihm als Spätwerk zugewiesenen Juno-Lacinia-Tempel in Agrigent (so schon Bankel 1993, 157) endet und dazwischen als reifes Modell den Aphaia-Tempel mit seinem Giebelschmuck nach Stewarts Vorschlag als Folge des Erstarkens Aeginas nach der Schlacht von Salamis versteht. – Abgewogen das Resümee von Marion Meyer in Meyer – Adornato 2020, 23, vgl. auch 27–33.

50 Carter 2006, 210–214.

51 Mertens 2006, 334–337.

52 Die freilich die Grundrisskonzeption wesentlich bestimmt, s. Mertens 1979, 122–128.

53 Die Datierung nach Svenja Neumann (s. Anm. 37), mit Dank für die Gestattung dieser Vorwegnahme. Fragmente ionischer Votivsäulen in Metapont zeigen, dass der ionische Tempel nicht ganz isoliert steht.

54 Mertens 2006, 302–305.

55 Mertens-Horn 1988, 148. 150 f.

dorische Ordnung frühklassischer Zeit bzw. des Strengen Stils zu benennen, die sonst in ganz Unteritalien, von Paestum bis Selinunt, die Szene beherrscht. Zu diesem wichtigen Thema für die Entwicklung der Baukunst ist in der letzten Zeit die impulsgebende Bedeutung des mit Salamis zeitlich zusammenfallenden griechischen Sieges bei Himera für Sizilien neu und differenzierter als bisher bewertet worden<sup>56</sup>, gleichzeitig sind direkte Anregungen aus dem Mutterland für eine Neubelebung der unteritalischen Baukunst erkannt worden<sup>57</sup>. Daraus ergeben sich aber keine neuen Daten zur entwicklungsgeschichtlichen Beurteilung der wenigen Elemente, die wir im Folgenden für den Tempel C II in Anspruch nehmen.

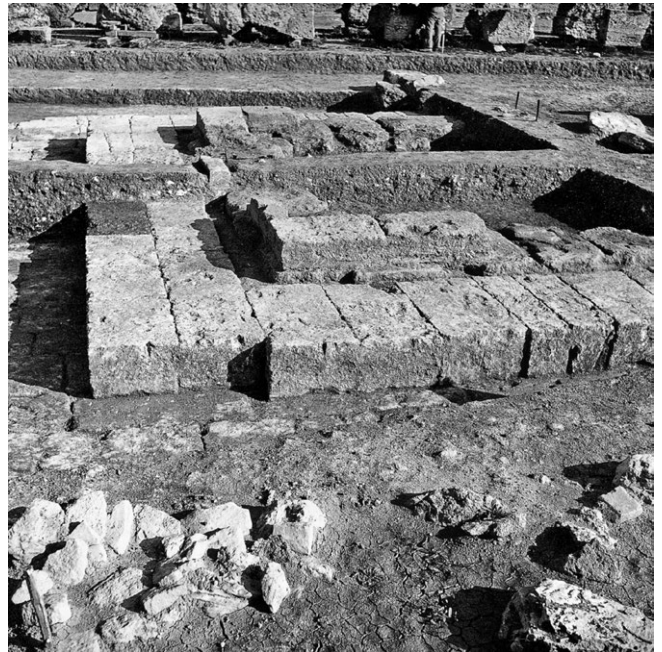


Abb. 6: Die Baureste des Tempels C I in seiner Ummantelung durch die Fundamente von C II, Ansicht von S

## Das Bauwerk

von Dieter Mertens

22 Deutlicher als bei den Peripteroi ist bei Tempel C (Abb. 3. 5) der enge Zusammenhang zwischen Tempel und Altar in beiden Entwicklungsphasen, trotz deren großem zeitlichem Abstand<sup>58</sup>. Tempelbau und Altar liegen annähernd auf einer gemeinsamen Achse<sup>59</sup>, die von derjenigen der großen archaischen Tempel abweicht, aber mit der Ausrichtung von deren Altären eng verknüpft ist. Dabei ist bemerkenswert, dass bei der Erneuerung und Vergrößerung im 5. Jh. der Altar – wenngleich stets auf der genannten gemeinsamen Achse<sup>60</sup> – seinen Standort wechselte, während der Neubau des Tempels unter sorgfältiger Ummantelung und grundsätzlicher Bewahrung des kleineren Vorgängerbaus am selben Ort wie dieser errichtet wurde.

## Tempel C I

### Der Oikos

23 Die Reste des hocharchaischen Oikos<sup>61</sup> (Abb. 6) werden umfasst von dem durchgeschichteten Kalksteinfundament der Neubauphase und sind daher wenigstens in ihrer westlichen Hälfte verhältnismäßig gut erhalten. Sie bestehen aus einer Fundamentlage aus großen, nur grob zugerichteten Blöcken aus Kieselkonglomerat sowie dem darauf ruhenden Aufbau aus einer Schicht von recht fein bearbeiteten Sandsteinquadern kleineren Formats, auf denen die Versatzspuren von noch wenigstens einer weiteren steinernen Schicht zeugen. Der in der Umfassung durch die Fundamente

56 Amara 2020a; Amara 2020b, mit deutlicherer entwicklungsgeschichtlicher Differenzierung des Athena-Tempels in Syrakus gegenüber dem sog. Siegestempel von Himera.

57 Rocco 2008; Rocco 2019; vgl. aber zur Durchdringung von gesamtgriechischer Norm und westgriechischer Tradition den sog. Poseidon-Tempel von Paestum, zuletzt Mertens 2019.

58 Kurzfassung der Vorlage des architektonischen Befundes des Tempels in der in Vorbereitung begriffenen Gesamtveröffentlichung der Tempel und Architekturen des Heiligtums. Die Gesamtpublikation ist zusammen mit Svenja Neumann, die die Grabungsfunde bearbeitet, in den Sonderschriften des Deutschen Archäologischen Instituts Rom in Vorbereitung. s. auch Anm. 37.

59 s. Anm. 3.

60 Dabei ist in beiden Phasen der Altar etwas aus der Achse versetzt, s. Abb. 3 und u. § 26. 62.

61 Zur Datierung zuletzt De Stefano 2019, 100 (Anf. 6. Jh.); Hauptargument ist die Datierung des Figurenfrieses, nach Mertens-Horn 1992; nach Rescigno 2014, 46 (ca. 580–570).



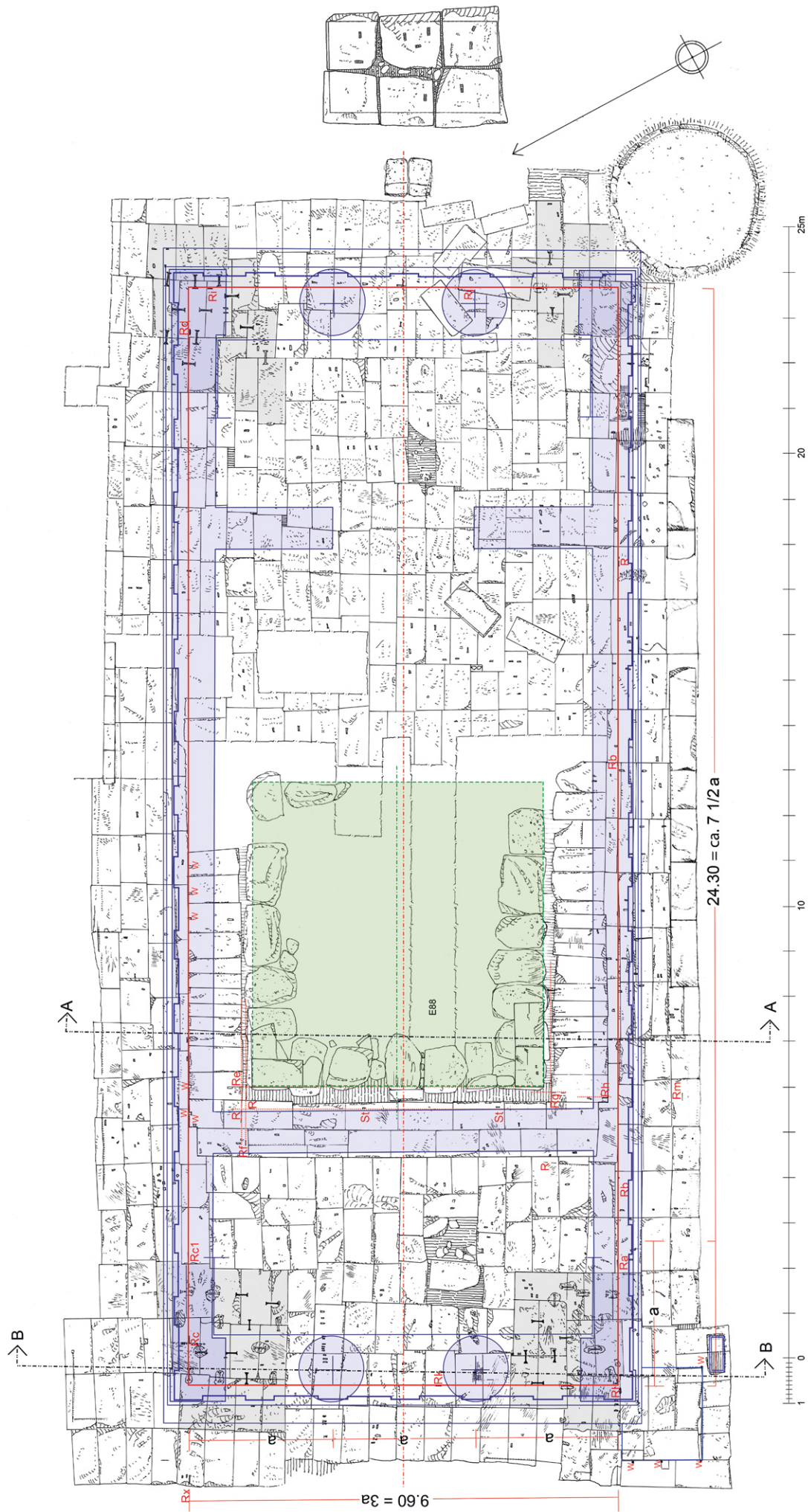


Abb. 7: rechts: Angaben zur Rekonstruktion (M. 1 : 125)

des 5. Jhs. ausgesparte Raum, der von dem Vorgänger-Oikos eingenommen war, ist mit 7,20 m (in O-W-Richtung) × ca. 6,90 m klar definiert.

24 Die zwei westlichen Ecken in situ sind aus Kalksandsteinquadern gebildet. An ihnen lässt sich die Breite des Tempelchens mit 6,48 m genau bestimmen. Nur 23 cm hoch, stellen diese im Läuferverband verlegten Blöcke mit ihrer Breite von 60–64 cm wohl auch die Stärke der aufgehenden Wände dar. Aus den verfügbaren Maßen, der genannten Breite des Quaderbaus und dem in den Strukturen des 5. Jhs. ausgesparten Raum ergibt sich praktisch ein quadratischer Grundriss für den einräumigen Oikos. Das Maß von 6,48 m kann wohl als 20 dorische Fuß verstanden werden<sup>62</sup>.

25 Im weiteren Aufbau freilich können die Wände auch aus Lehmziegeln errichtet gewesen sein; für die Höhe des Bauwerks gibt es keine Hinweise. Seine Bekrönung ist jedenfalls durch den figürlichen Terrakottafries (s. o. § 5) bestimmt, der wohl auch die wichtigste Botschaft vermittelte und dem der Bau selbst gewissermaßen als Träger diente<sup>63</sup>. Er bestand aus 65 cm langen Platten, von denen zehn Einheiten die Wände der Schmalseiten, elf diejenigen der Langseiten bekrönt haben dürften<sup>64</sup>. Weitere Reste von Dachterrakotten lassen auf ein Satteldach mit korinthischem Deckungssystem schließen<sup>65</sup>.

### Der Altar von Tempel C I

26 In ca. 15 m Abstand<sup>66</sup> von seiner Ostfront, aber mit seiner Achse um ca. 25 cm gegenüber der des Oikos selbst nach Süden versetzt (Abb. 3), liegen die Reste des Altars aus sechs großformatigen Konglomeratblöcken von 3,95 × 2,70 m im Umriss, auf denen Ritzlinien und Versatzspuren das Aufgehende des Altartisches von 3,77 × 2,03 m ablesen lassen, das wohl aus Orthostatenblöcken mit einer Füllung des Innern aus kleinen Steinen bestand; von einer Bekrönung ist nichts erhalten: Im Ganzen also der einfache Typus eines Tischaltars, den zwei im Westen vorgelegte Platten als Stufe (Prothysis) ergänzten. Eine stratigraphische Untersuchung des Baues, der damit zu den ältesten seiner Gattung in Unteritalien gehören würde, steht freilich noch aus.

### Der Doppelantentempel C II

27 Der hocharchaische Oikos (Abb. 7) ist im früheren 5. Jh.<sup>67</sup> von dem großen Steinbau umfasst oder überbaut worden, von dem in situ eine um den Kernbau gelegte durchgeschichtete Quaderfläche als unterste Fundamentschicht sowie wenige Reste einer weiteren Schicht erhalten sind (Abb. 5. 8). Neben einem winkelförmigen Streifen an der Südwestecke und einer Steinlage längs des Südrandes der großen Fundamentplatte handelt es sich dabei um die oben genannten den Oikos U-förmig umfassenden Blockreihen, die in ihrer recht gleichmäßigen Breite von ca. 1,20 m zunächst wie eigene Streifenfundamente wirken und die Vorstellung einer das alte Tempelchen einfassenden Wand evozieren. Bei genauerer Betrachtung erweist sich, dass es sich auch bei diesem Fundamentstreifen um den Rest der über die ganze Fläche ausgedehnten durchgehenden Quaderschicht ähnlich der untersten handeln muss. Ob dieser Erhaltungszustand Zufall ist oder einer Absicht entspringt, ist schwer zu sagen.

---

62 s. u. § 49.

63 s. Mertens-Horn 1992, 46 f. (zum Verhältnis zum Bau und zur Fundsituation der Stücke); zuletzt De Stefano 2019, 135 Anm. 104.

64 Mertens-Horn 1992, 46.

65 s. dazu die in Anm. 37 angekündigte Publikation.

66 Unmittelbar außerhalb der Fundamente von C II.

67 Zur Datierung s. Anm. 49.

---



Abb. 8: Die Fundamentplatte von SO

8

## Die Fundamente

28 Die Konstruktionsweise des Fundaments als durchgehende Platte ist ungewöhnlich und wird nur bei unsicherem Untergrund angewandt<sup>68</sup>, denn normalerweise werden die Fundamente nach den Hauptzügen des geplanten Grundrisses angelegt<sup>69</sup>. Schon bei der Gründung der archaischen Peripteraltempel von Metapont hatte man, wohl in Kenntnis der dramatischen Erfahrungen, die kurz zuvor im Heraion von Samos – bei ähnlich gefährdetem Baugrund – gemacht worden waren und rasch um die Welt gegangen sein müssen<sup>70</sup>, besondere Vorkehrungen getroffen, indem man die Steinfundamente auf in die Fundamentgräben eingefüllte Sand- und Kiespackungen bettete<sup>71</sup>. Jetzt ging man noch weiter, um der besonderen Lage des neuen Tempels zu entsprechen, der an der tiefsten und besonders durch erodierendes Grundwasser gefährdeten Stelle des Heiligtums liegt<sup>72</sup>. Zu dieser besonderen Konzeption des neuen Fundaments gehört auch, dass sein Umriss nicht genauen geraden Linien folgt, so wie sie durch die Außenkanten der geplanten Krepis des Tempels vorgegeben sind, sondern Ausweitungen an den Ecken aufweist, die ihrerseits wie Verstrebungen ins Erdreich hinein wirken<sup>73</sup>. Und

68 Martin 1965, 308, besonders bekannt der Fall der Tholos im Athena-Pronaia-Heiligtum in Delphi, s. Charbonneaux 1925, 24; vgl. etwa auch die vielfältigen Lösungen im Artemis-Heiligtum von Ephesos, Ohnesorg 2007, 7. 119 f.

69 Martin 1965, 310: »elles dessinent le plan schématique de l'édifice«.

70 Gruben 1988; Kienast 1991; Kienast 1998.

71 Mertens 2010, 33 f.

72 Mdl. Auskunft von A. De Siena über den Befund eines aufschlussreichen Nordsüd-Schnittes vom Temenos durch die Straße AA bis in die südlich anschließende Insula A 91.

73 So etwa auch am dorischen Tempel von Kaulonia (Martin 1965, 315), ausgeprägter noch, ähnlich wie am samischen ›Vorbild‹, die Spreizfundamente des in gleich gefährdetem Schwemmland gelegenen Haupttempels des Heraions am Sele, Krauss 1951, 83–88; Greco u. a. 2012, 146.



9

Abb. 9: Die Verklammerung von Teilbereichen, links: Nordwestecke, rechts: Klammer

schließlich kam als letzte – und in einer untersten Fundamentschicht besonders ungewöhnliche – Maßnahme die zusätzliche Sicherung der Eckbereiche durch horizontale Verklammerung der Blöcke untereinander hinzu; so wirkt das Ganze fast mehr wie ein Floß denn wie ein Fundament.

29 In den Umrissen nimmt die Fundamentplatte eine Fläche von ca. 13,40 × 27,70 m ein. Sie besteht durchweg aus rechteckigen Quadern, die aber wegen ihrer schwankenden Maße nicht zu einem isodomen Verband gefügt wurden; es gibt zwischen den Schichten also keine Fugenkonkordanz, die Rückschlüsse auf die Ordnung des darüber Aufgehenden zulassen würde. Im Prinzip ist diese ganze unterste Schicht aber aus in Längsrichtung des Baues verlegten Läufern gefügt, während die Reste der darauffolgenden Schicht aus quer dazu liegenden Bindern bestehen. In der untersten Schicht lassen sich stellenweise durchgehende Fugen ausmachen, die wohl Bauabschnitte während des Verlegens des Fundaments bezeichnen. Sie lassen aber ebenso wenig Rückschlüsse auf die aufgehende Architektur zu wie die besondere Gestalt des um den Oikos C I erhaltenen Fundamentrestes. Aus der großen Zahl der Stemmlöcher und aus den Glättungen auf der untersten Schicht lassen sich zwar immer wieder Abfolgen der darauf verlegten Binder erkennen, doch beim graphischen Rekonstruktionsversuch ergibt sich kein verständliches Gesamtbild: Die obere Schicht war – in Querrichtung zur unteren – genauso unregelmäßig verlegt, mit ebenso wechselnden Quadermaßen wie jene.

30 Als aufschlussreich für das Aufgehende müssen aber die bereits genannten Verstärkungen der Fundamentplatte durch Verklammerung ganzer Abschnitte in den vier Eckbereichen angesehen werden. Durch zusätzliche Sicherung mittels Klammern<sup>74</sup> (Abb. 9) aus Eisen in Bleiverguss waren diese vier Stellen so solide zusammengebunden, dass sie auch einer größeren Last standhalten konnten. Zusammen mit der schon oben hervorgehobenen Besonderheit des durchgeschichteten Verbandes des ganzen Fundaments<sup>75</sup> lässt das also auf eine aufwendige Architektur schließen.

74 U-förmige Klammern (L = 15; B = 2 cm; T = nicht messbar). Die Form der 7 cm breiten Endigungen der 26 cm langen Bettungen erinnert an Schwalbenschwanzklammern. Bei der Ausbildung als U-Klammer in schwalbenschwanzförmiger Bettung möchte man wegen der großen Verbreitung dieser Grundform zunächst an eine spätere Datierung des Fundaments und damit des ganzen darauf zu ergänzenden Baues denken (s. die Beispiele in Martin 1965, 238–296), gäbe es da nicht den sicher in die Mitte der 1. Hälfte des 5. Jhs. zu datierenden Fall systematischer und überlegter Verwendung U-förmiger Eisenklammern in Bleibettung im Ekklesiasterion auf der Agora von Metapont selbst. Vgl. auch die Klammern in der Cella des Athena-Tempels von Paestum und vor allem ihren systematischen Einsatz zur Sicherung der obersten Fundamentschicht des Hera-Tempels am Sele, s. Krauss 1951, 86. Allg. zum Problem der Datierung nach Klammerformen Martin 1965, 240 f.; Dyggve 1948, 260–263.

75 Unter den wenigen Vergleichen durchgeschichteter und zusätzlich durch Klammern gesicherter Fundamente sei als wohl prominentester Bau das Maussoleion von Halikarnassos genannt, s. Jeppesen 2000.



Abb. 10: Stelen und Argoi Lithoi um die Südwestecke des Tempels C II, Zustand 1972

10

31 Im Übrigen aber ist es schwer, gerade wegen der einförmigen Bildung des durchgeschichteten Fundaments, eine Vorstellung von der Grundgestalt des Baues zu bekommen, den dieses Fundament trug. Selbst die Außenbegrenzungen des Rechtecks stecken keinen klaren Rahmen. Längs des Nordrandes der untersten Schicht sind bei der Glättung der Oberfläche Bossen stehen gelassen worden, die den äußeren Rand der zweiten Fundamentschicht anzuzeigen scheinen. Sie bilden aber keine durchgehende Linie, und auch die Ausweitungen des Fundaments an den Ecken können nicht mit der Grundrissgestalt eines Tempels in Einklang gebracht werden.

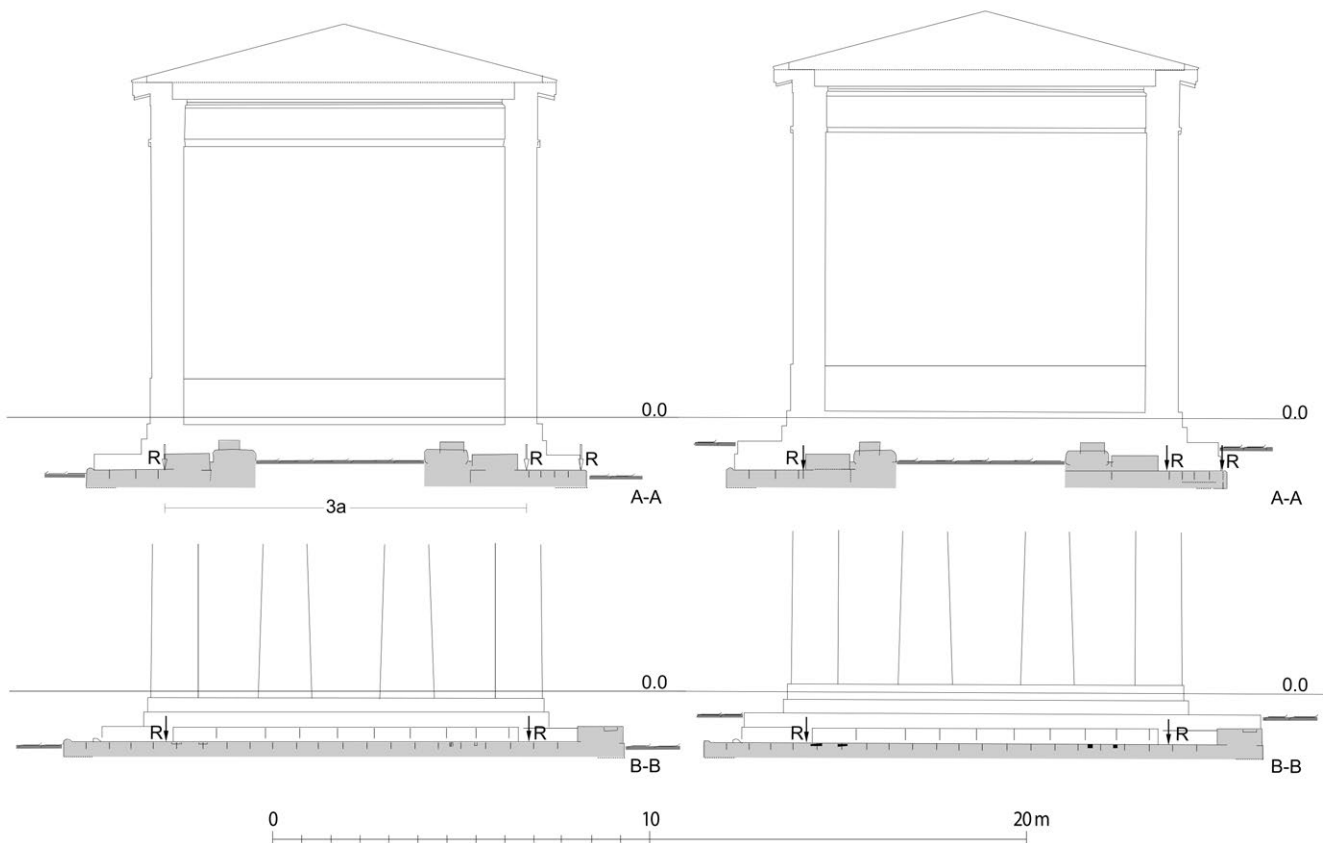
32 In dem erhaltenen Rest der oberen Fundamentschicht an der Südwestecke lassen sich vielmehr Spuren von Basen oder Stelen ausmachen, die dort gestanden und sich somit außerhalb des Umrisses des Tempels befunden haben müssen<sup>76</sup>. Sie sind aber wohl nachträglich in die zweite Fundamentschicht eingelassen worden und waren nicht mit ihr geplant. Wir schließen daraus, dass die ausgedehnte Fundamentplatte den Tempel seitlich überragte, oder anders: Der Tempel nahm nur einen Teil von ihr ein und war noch von anderen, kleineren Monumenten umgeben.

33 Damit verbindet sich zugleich die für unsere Überlegungen wichtige Frage nach dem antiken Gelniveau: Wurde es bereits von der Oberfläche der zweiten Schicht der Fundamentplatte gebildet oder lag darauf noch eine weitere Schicht? Die Frage lässt sich kaum mehr aus dem Befund an Tempel C selbst klären, denn die auf der oberen Fundamentschicht, welche den alten Kernbau umfasst, befindlichen Stemmlöcher fallen ja schon in den Bereich des Tempelbaus selbst. Die Niveaus der den Tempel umgebenden Basen von Stelen und *argoi lithoi* liegen deutlich über den erhaltenen Fundamenten um den Tempel (Abb. 10).

34 Auch die Überlegungen zur Rekonstruktion des großen Nachbartempels A II lassen darauf schließen, dass das Gelniveau um den Tempel C II, über dem sich der Tempelbau selbst erhob, noch wenigstens eine Schicht höher lag als das erhaltene<sup>77</sup> (Abb. 11). Dies ist wichtig vor allem für das Verhältnis zum archaischen Vorgängerbau, dessen erhaltene Quadern wir als, wenigstens mit ihrem oberen Rand, über das archaische Temenosniveau herausragenden Teil des Toichobats verstehen (s. o. § 24–25).

76 Eine Stelenbettung und Raubspuren eines demontierten Monuments (Basis?).

77 Freilich wären dann die beiden soeben beschriebenen Bettungen ihrerseits zwei Schichten tief gewesen.

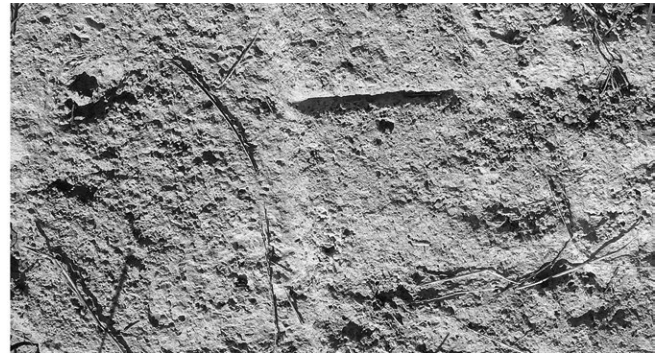
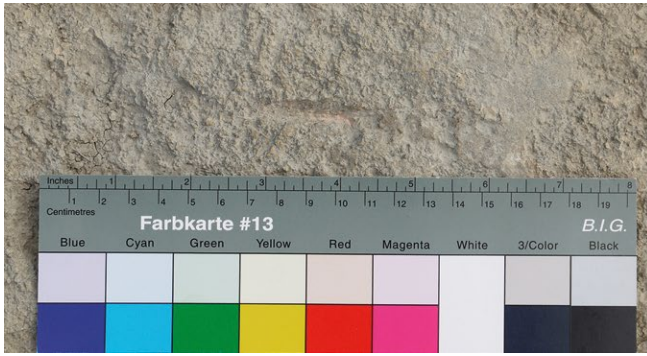


11

Abb. 11: Querschnitte durch die Fundamentplatte und den Tempel C I mit der Annahme einer weiteren Fundamentschicht, rechts (links) bzw. zweier weiterer Fundamentschichten (rechts) (M. 1 : 200)

35 Tatsächlich muss beim Neubau der Bezug zum Vorgänger als wichtigste Vorgabe der Planung berücksichtigt worden sein. Denn mit dem neuen Fundament wurde nicht nur seine – von allem anderen im Heiligtum abweichende – Richtung aufgenommen, sondern das Gebäude auch mittig in die neue Konstruktion eingeschlossen. Und vor allem: Es wurde anscheinend nicht überbaut, sondern sorgfältig *umbaut*, seine Reste von der neuen Konstruktion wie ein Schrein umschlossen. Wir werden uns zu fragen haben, ob und wie weit dabei der alte Bau sogar noch sichtbar und erhalten blieb (s. u. § 39. 222). Bei dem Versuch, eine Vorstellung von dem Bau des 5. Jhs. zu erhalten, wollen wir auch dieser Leitidee eines den alten Oikos umhagenden Schreins folgen.

36 Neben den genannten Spuren – Klammern, Stemmlöchern, Versatzspuren, Randbossen – ließ sich aber noch eine weitere Gattung dokumentieren, die im Bauvorgang immer eine Rolle spielt, nämlich mehr oder weniger häufig und sorgfältig in die Oberfläche eingegrabene Ritzlinien, die sich auf beiden Schichten finden. Diejenigen auf der ausgedehnten und fast ganz erhaltenen untersten Fundamentschicht haben eine besondere Form. Es sind nämlich nicht die üblichen feinen, kurzen Ritzungen nach Art von Versatzmarken oder Aufschnürungen<sup>78</sup>, da sie keinen Bezug zu dem Verband der darauffolgenden Schicht haben. Vielmehr sind es in unregelmäßigen Abständen angebrachte, ziemlich markante Kerben von ca. 5–10 cm Länge, die zu ihrer besseren Sichtbarkeit noch mit Röteln hervorgehoben wurden. Davon haben sich jedenfalls bei der Ausgrabung in den tieferen Kerben noch Spuren gefunden (Abb. 12 links, Rj).



12

37 Die Kerben liegen mit nur einer Ausnahme<sup>79</sup> auf zusammenhängenden Linien<sup>80</sup>, die sich im Süden und Norden in fast genau gleichem Abstand und parallel zu der durch den Vorgängerbau vorgegebenen Achse des Gesamtfundaments rekonstruieren lassen. Weitere in gleicher Weise in die Oberfläche der Fundamentschicht eingegrabene und senkrecht zu den ersten verlaufende Linien im Westen und Osten erlauben, ein großes langgestrecktes Rechteck von 9,56–9,60 m Breite und 24,25–24,30 m Länge zu rekonstruieren. Die geringe Schwankung in den Gesamtmaßen ist der nicht ganz regelmäßigen Fluchtung der Ritzkerben zuzuschreiben, die offenbar längs von über die ganze Länge der Fundamentplattform gezogenen Schnüren nur an einzelnen Stellen fest markiert wurde<sup>81</sup>. Auf der noch nicht völlig eben durchgeglätteten Fläche hätte sich eine fortlaufende Ritzlinie auch kaum anbringen lassen – abgesehen davon, dass es sich ohnehin um eine Markierung handelt, die schon durch die darauffolgende Schicht wieder unsichtbar wurde. Letzteres wird besonders anschaulich im Bereich der schon erwähnten Glättungen der Oberfläche für die folgende Schicht im Nordwesten, wo die Markierung Rc (Abb. 12 rechts) von der Glättung ›radiert‹ wurde.

38 Dies und die ganze Verteilung der Markierungen zeigen, dass die unzweifelhaft geplante ›Zeichnung‹ wohl kaum im üblichen Sinne gebraucht wurde, nämlich als Aufschnürung einer Bauflucht für die darüber folgende Konstruktion. So ist nur vorstellbar, dass es sich dabei um eine ›Zeichnung‹ im eigentlichen Sinn des Wortes handelt<sup>82</sup>: eine Zeichnung oder Skizze, die in natürlicher Größe – wie das im klassischen Bauwesen gang und gäbe war<sup>83</sup> – auf der dafür so besonders geeigneten großen und bereits grob durchgeglätteten Fläche der zusammenhängenden ersten Fundamentschicht aufgetragen wurde. Dies geschah also in dem Moment, als nach den durch die Ausdehnung der Fundamentschicht festgelegten Grunddimensionen die Voraussetzungen für erste Planungsüberlegungen gegeben waren – natürlich die Entscheidungen über den Bautypus und damit die Grundformen in ihren dimensional und proportionalen Bindungen vorausgesetzt. Dabei sind zwei grundsätzliche Fakten festzuhalten: erstens die Lage des Rechtecks symmetrisch und fast genau<sup>84</sup> in der Achse des Vorgängerbaus und zweitens die Breite, die mit 9,60 m genau das Eineinhalbfache der Oikos-Breite beträgt.

Abb. 12: Tempel C II, Ritzlinien auf den Fundamentschichten, links: Rj mit Rötelspuren, rechts: Rc

79 Kerbe Rm am Südrand der Fundamentplatte.

80 Möglicherweise wurden die Linien längs einer Schnur mit Rötel durchgezogen und nur stellenweise durch die Kerben besonders markiert.

81 Das Rechteck wurde, gleich einem Schnurgerüst, von in die Erde außerhalb der Fundamentplatte gerammten Pflöcken aus gespannt, wie die genau auf dem westlichen Fundamentrand angebrachte Ritzlinie Rx anschaulich belegt.

82 Coulton 1977, 51–73; Heisel 1993; Hellmann 2002, 38–43.

83 Hellmann 2002, 39 f.

84 Die Symmetrieachse des Rechtecks liegt ca. 15 cm südlich von der des archaischen Baues, verläuft aber genau parallel zu ihr.

39 Anderer Art scheinen die Linien zu sein, die sich auch auf der oberen Schicht ablesen lassen, soweit deren Reste überhaupt ein Urteil darüber zulassen. Diese Linien, die auch feiner und meist länger sind, scheinen alle irgendwie Bezug auf die Ecken und die Westseite des inkorporierten Fundaments des Vorgängerbaus zu nehmen und den Abstand der neuen Konstruktion von diesem anzugeben; wahrscheinlich wurde so auch die Flucht der Rückseite des Naos selbst festgelegt. Sie zeugen von der Umsicht, mit der man die Reste des Vorgängerbaus, ohne ihn anzurühren, mit dem Neubau umfassen wollte.

### Der Beitrag der Reste des steinernen Oberbaus

40 Um über diese Beobachtungen hinauszukommen, bedürfte es einiger Bauglieder des Oberbaus, die wenigstens die Grundordnung erkennen lassen. Davon ist nun aber nur der bekrönende Abschluss aus Marmor ausreichend gut erhalten, um einen Rekonstruktionsvorschlag und eine entwicklungsgeschichtliche Einordnung zu erlauben. Da dieser Schmuck, einschließlich der Maße der Simen und Dachziegel, aber nicht zwingend den Regeln des eigentlichen Aufbaus der Tempelordnung folgen muss, sondern eigens bemessen sein kann (s. u. § 94), trägt er zu den Überlegungen zum Bau selbst nur bedingt bei.

41 Die erhaltenen Reste der Tempelordnung, vom Stufenbau bis zum Geison, sind verschwindend gering, darüber hinaus ist ihre Zuordnung zu unserem Tempel nicht sicher. Nur allgemeine Beobachtungen zum Material, der beste und homogenste in Metapont in spätarchaisch-klassischer Zeit verwandte rötlich-gelbe Foraminiferenkalk<sup>85</sup>, zur Größenordnung und zur ungefähren Zeitstellung, der ersten Hälfte des 5. Jhs., verbindet die Fragmente, deren Zuordnung zum Aufbau des Tempels C II wir im Folgenden erwägen.

42 Dazu zählen zunächst einige Fragmente von Säulentrommeln, die wegen ihrer allgemeinen Größenordnung freilich auch zum Tempel A II gehört haben können<sup>86</sup> und heute unter dessen Baugliedern im Heiligtum ausgelegt sind. Schließlich bestehen die Taeniaprofile und Triglyphen des großen spätarchaischen Tempels aus dem gleichen Material<sup>87</sup>. Unter den Säulen stellen aber die wenigen Stücke aus feinkörnigem Kalksandstein eine Ausnahme dar, die sich auch in den technischen Merkmalen, vor allem der Arbeit der Lagerflächen, bestätigt.

43 Sind diese bei den Muschelkalktrommeln des archaischen Tempels entweder ganz eben oder durch grob umrissene und unregelmäßig tief eingearbeitete Anathyrosen mit großen Zentrumsdübeln gekennzeichnet, so haben die Trommeln aus feinkörnigem Kalkstein<sup>88</sup> breite, fein geschliffene Anathyrosensäume mit behutsam eingesenkter Spiegelfläche, runden Dübellöchern in quadratischen Empolionslagern, zudem feine Ritzlinien, welche die Achsen der Trommel angeben und in einem Kreis ihr Zentrum umreißen (Abb. 13). Während die kreissegmentförmige Kannelurenform sich kaum von der des archaischen Tempels A II unterscheidet, finden sich an diesen Trommeln noch mehrfach Reste von 3–5 mm dickem weißem Stuck.

44 Die durch diese Eigenschaften vereinten Trommeln weisen unterschiedlichen Anzug auf, der in der Zusammensicht aber auf eine merkliche Entasis hinweist, hat doch das Stück mit dem größten unteren Durchmesser die geringste Verjüngung

---

85 Eine dem heutigen Standard entsprechende Untersuchung zu den im Stadtheiligtum verwandten Steinsorten ist ein dringendes Desiderat. Dafür müssen die Analysen der Materialien der sog. Tavole Palatine einstehen, s. Lazzarini 2010, 37–78; vgl. auch Baldassarre – De Marco 1981 mit Untersuchungen zum feinkörnigeren Kalksandstein des Theaters.

86 In ihrem Gesamtvolumen (SH = 6,75; UD = 1,44/1,38; OD = 1,08 m) unterscheiden sich die Säulen des säulenreichen archaischen Tempels (8 × 17 Säulen) tatsächlich kaum von den kompakter proportionierten Säulen des frühklassischen Tempels C II, deren Höhe wir mit ca. 6,40 m annehmen (s. u. § 48–49).

87 Makroskopische Beobachtung; eine petrographische Untersuchung steht noch aus.

88 Am anschaulichsten an der Trommel A 202.

---

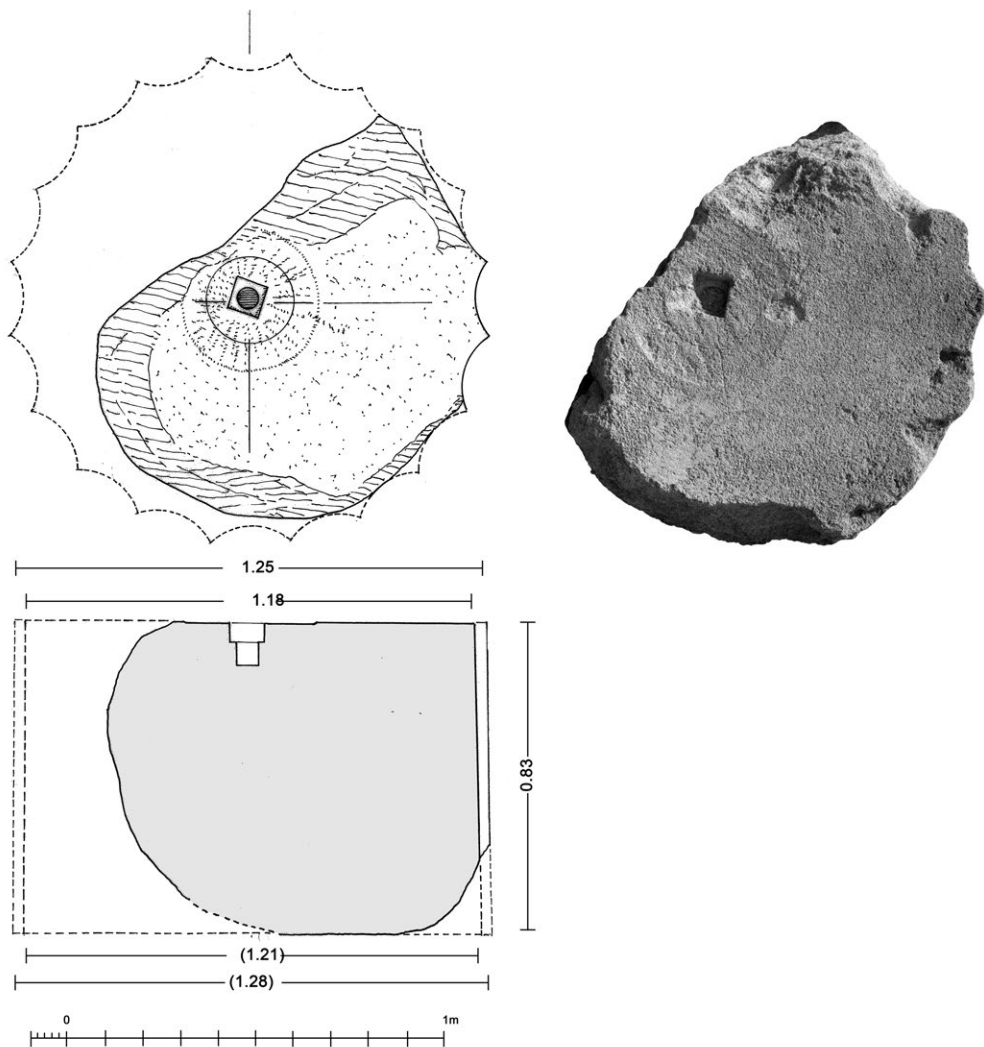


Abb. 13: Säulentrommel A 202  
(M. 1 : 20)

13

(A 202 = 3,5 cm/mH), das mit dem kleinsten oberen Durchmesser die stärkste (A 90 = 6 cm/mH). Insgesamt reichen die Werte aber nicht aus, um auch die Höhe und den oberen und unteren Durchmesser der Säule verlässlich zu bestimmen; sie geben nur einen Minimalwert für den unteren (1,30 m) und einen Maximalwert<sup>89</sup> für den oberen (1,06 m) Durchmesser an. Von den Kapitellen gibt es kein Fragment.

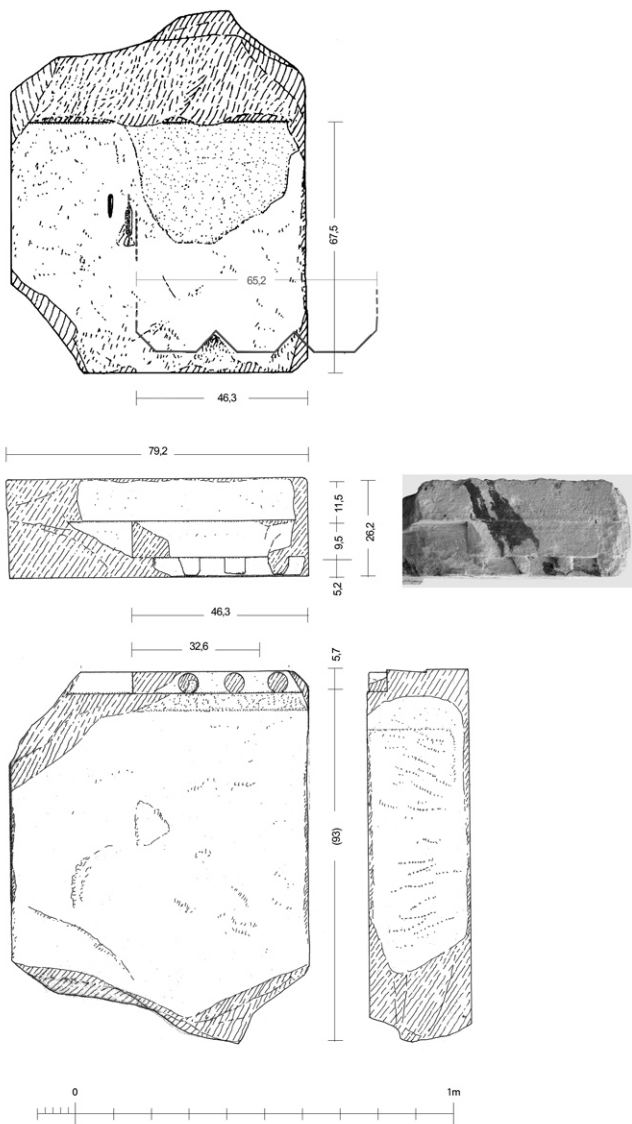
45 Noch unsicherer sind die Bestandteile des Gebälks. Bei einem wegen Material, Typus und Maßen für unseren Bau zu erwägenden großen Stück einer Architravtaenia mit Regula<sup>90</sup> (Abb. 14) ist nicht einmal die Herkunft aus dem Stadtheiligtum gesichert, fand es sich doch an einem Wegrand nahe dem mittelalterlichen Torre a Mare außerhalb der Stadt<sup>91</sup>. Wegen seiner allgemeinen Größenordnung<sup>92</sup> und dem Umstand, dass das Stück mit seiner nicht in der Mitte geteilten Regula auch im Verband der Seitenwände

89 Jeweils in den rekonstruierten Kannelurengraten.

90 Der Umstand, dass das Stück als dorische Taenia-Regula-Schicht für sich gearbeitet ist, ist aus Sizilien vertraut (Tempel Y, C, D, G in Selinunt) und in den achäischen Kolonien in Form von plastischen Profilen geläufig, an dieser Stelle aber erwähnenswert, weil es abermals auch an den schon von Rocco 2008 in Kroton als Modell erwähnten Alkmäoniden-Tempel in Delphi erinnert, s. Courby 1927, 97–99.

91 Torre a Mare ist aber mit Spolienmaterial aus der Stadt gebaut, s. Bertelli – Roubis 2002, 317 und zur Wegeführung Lacava 1891, 119–121 Taf. 1. Von einem weiteren Tempel dieser Größenordnung und Zeitstellung in und um Metapont gibt es bisher keine Spur.

92 Rekonstruierte B der Triglyphen 65,2 cm, nach den Maßen der Regula und Witterungsspuren auf dem Oberlager.



14

Abb. 14: Architravtaenia (M. 1 : 20)

gut Platz fände, ist seine Unterbringung an unserem Tempel wenigstens zu erwägen<sup>93</sup>.

46 Wichtiger für unsere Überlegungen ist das schon Robert Koldewey bekannte Eckgeisonfragment<sup>94</sup> (Abb. 15), zusammen mit einer Anzahl von Guttiae gleicher Dimensionen, die nach ihrem Zuschnitt vom selben Geison stammen (Abb. 16). Das heute sehr stark mitgenommene Stück war zu Ende des 19. Jhs. noch besser erhalten, als Koldewey einen ganzen Mutulus von 64 cm Breite messen konnte (Abb. 15 oben). Seine Zuweisung zum damals einzig bekannten Tempel A erscheint uns wegen seiner Inkompatibilität mit der durch das große Architravkyma anstelle der kanonischen Taenia gekennzeichneten ›achäischen‹ Ordnung des Gebälks des archaischen Haupttempels heute unwahrscheinlich. Hinzu kommt auch der zwar nicht sehr große, aber nicht zu übersehende Maßunterschied zu dessen 67 cm breiten Triglyphen. Leider ist die Breite der Via am von Koldewey dokumentierten Stück für eine definitive Entscheidung nicht sicher genug. Das Oberlager war einfach mit dem Flacheisen durchgeglättet, ohne den üblichen Ansatz des Schräggeisons oder weitere Vorkehrungen (Ritzlinien, Stemmlöcher u. Ä.) zu dessen Versatz. Auch vom darüber zu postulierenden, zum Dach vermittelnden Kyma zeugt keine Spur; es war wohl, wie etwa in Kaulonia<sup>95</sup>, ohne erkennbare Aussparung in der Geisonoberfläche selbst als eigene Schicht aufgelegt.<sup>96</sup>

47 Unsere Erwägungen gehen jedenfalls von diesem Geison mit seiner Mutulusbreite von 64 cm<sup>97</sup> aus und sind vor allem von dem konzeptionellen und proportionalen Umfeld bestimmt, in dem wir den Bau – nach Ausweis seiner marmornen Bestandteile – sehen müssen. Es wird nach der Ablösung der auch für Metapont so lange verbindlichen Bindungen der spätarchaischen ›achäi-

schen‹ Gebälkkordnung<sup>98</sup> durch die kanonischen Regeln der dorischen Ordnung geprägt, die in den für den neuen Stil richtungweisenden großen Tempeln auf Sizilien und in Unteritalien am anschaulichsten und besten belegt sind. Für diese Übergangszeit stehen exemplarisch vor allem der Athena-Tempel in Syrakus<sup>99</sup> und der sog. Poseidon-Tempel in Paestum<sup>100</sup>, und auch für den Tempel der Hera Lacinia bei Kroton ist zuletzt der direkt

93 Bei einer Anordnung an der Säulenfront müsste wie bei den archaischen Beispielen (s. Anm. 108) der Architrav aus zwei Schichten gebildet gewesen sein, was für die frühklassische Zeit aber ungewöhnlich ist. Bei einer Zuordnung zu Tempel C II wäre also eher an einen umlaufenden dorischen Fries zu denken, die Höhe der Schicht betrüge  $\frac{1}{4}$  der Architravhöhe und  $\frac{1}{24}$  der Säulenhöhe, sie würde in einen Verband aus gleich hohen Schichten gehören, jedoch wohl ohne Fugenkonkordanz.

94 Koldewey – Puchstein 1899, 39, dort dem Tempel A zugeschrieben.

95 Orsi 1914, 857 f.; Barello 1995, Taf. 52; so u. a. auch bei Tempel L in Agrigent (Mertens 1984a, 96), wahrscheinlich beim Tempel in der Contrada Mango bei Segesta (Mertens 1984a, 90).

96 Wie in Kaulonia werden darin auch die Dollen gesessen haben, die die marmornen Dachrandziegel hielten (s. u. § 72).

97 Aus den heute noch an dem Mutulusfragment zu ermittelnden Spuren hatten wir zunächst eine Mutulusbreite von 63 cm rekonstruiert, doch dürfte Koldeweys Direktmaß verlässlicher sein.

98 Mertens 1993, 132–135. 168–172; zuletzt Mertens 2006, 134–155.

99 Mertens 1984a, 68–78; Amara 2020a.

100 Krauss 1941, 46–65; zuletzt Mertens 2017/2018; Mertens 2019.





16

Abb. 16: Guttae vom Geison, Sammelfoto

aus dem Mutterland vermittelte Anstoß zu der neuen Konzeption plausibel gemacht worden<sup>101</sup>. Hinzu kommt schließlich der wohl bald nach dem Ende der Tyrannis der Emmeniden in Agrigent als Erster der ganzen Phalanx der etwa gleich großen, in bewusster Abkehr von den exzessiven Dimensionen des Olympieions gebauten Tempel, der sog. Juno-Lacinia-Tempel<sup>102</sup>. Darüber hinaus hat Giorgio Rocco zuletzt noch einmal einen tieferen Einfluss der für die marmorne Ausstattung der westgriechischen Tempel des Strengen Stils herangezogenen griechischen, besonders kykladischen Werkstätten auf die Konzeption der Tempelbauten selbst geltend zu machen versucht<sup>103</sup>.

48 Angesichts der kargen Daten des Metapontiner Tempels selbst können

wir dabei nur auf wenige Elemente rekurren: so etwa die Norm, dass die Säulenhöhe etwa der doppelten Jochweite entspricht, die Horizontalgliederung durch das Breitenverhältnis der Frieselemente aus Triglyphen und Metopen von 2 : 3, dass die Frieshöhe als  $\frac{5}{3}$  der Triglyphenbreite bestimmt wird und die Höhe des Architravs die des Frieses nur noch um Weniges übertrifft, wenn überhaupt.

49 Dies vorausgesetzt, würde in der Ordnung des Tempels C II die Metopenbreite 96 cm und eine normale Jochweite 3,20 m betragen. Dieser Wert entspricht fast genau der Hälfte der Breite von Oikos C I (6,48 m) und vor allem einem Drittel der Breite des auf der untersten Fundamentlage von C II aufgerissenen Rechtecks. Dessen Breite würde demnach drei gleichen Frontjochen, festgelegt in den Achsen der Ecktriglyphen, entsprechen. Bei Annahme dieser Prämissen hätte der Bauriss auf der untersten dafür verwendbaren Ebene also dazu gedient, eine erste Vorstellung von der allgemeinen Größenordnung des Tempels und seiner Grundanlage festzuhalten. Dass in der Längenerstreckung des Rechtecks ein denkbare Vielfaches dieses Modulus ( $7\frac{1}{2}$  Joche = 24 m) um ein Geringes (30 cm, 1 Fuß?) überschritten wird, bleibt aber ein offenes Problem.

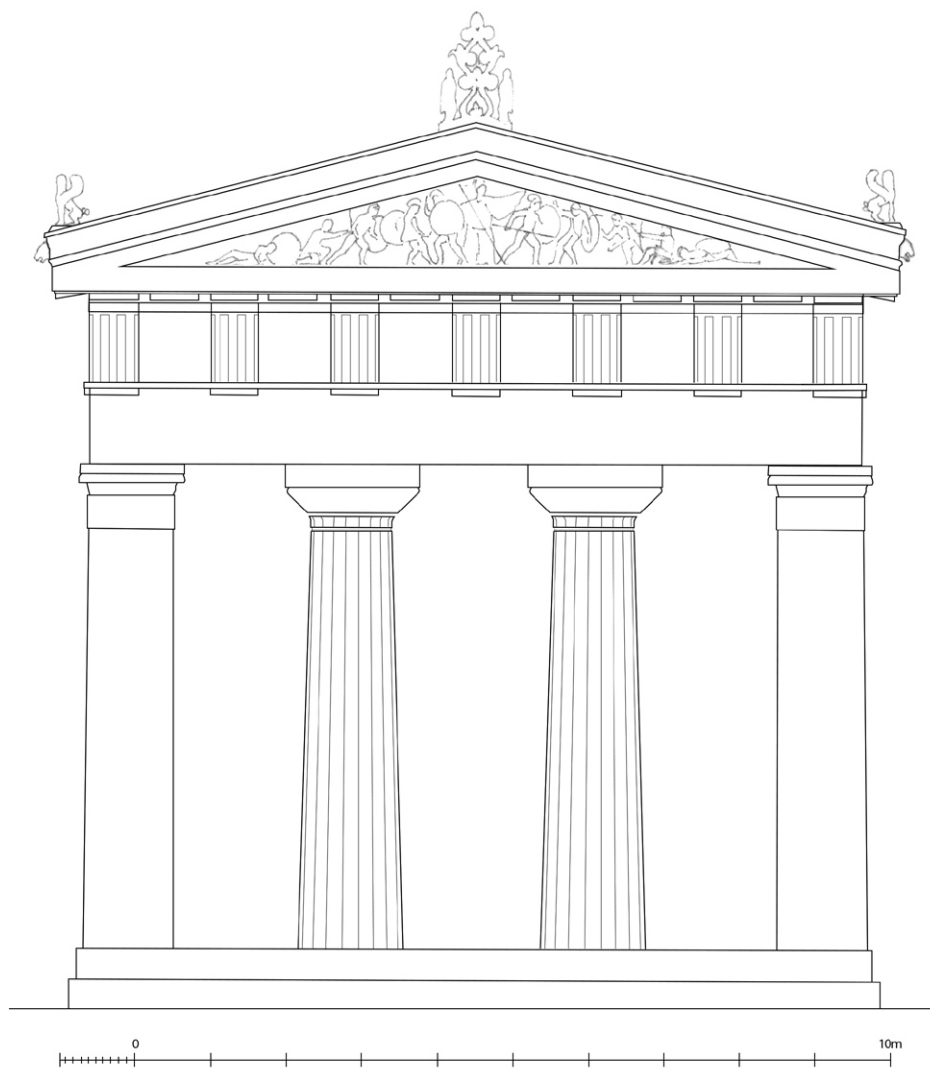
50 Nach dieser Vorstellung wäre demnach auf einfache Weise zunächst im Gebälk die Grundordnung, hier die Front eines dreijochigen Tempels, also wohl mit zwei Säulen *in antis*, abgesteckt oder angerissen worden. Projiziert man das Gebälkrechteck über den auf die Fundamentplatte aufgetragenen Riss und vollzieht dann die Dimensionierung der Ausladungen des Grundrisses, also der Anten, Säulen und Wände, gemäß den proportionalen Vorgaben der zum Vergleich herangezogenen Tempel, so wird deutlich, welche Rolle die Verstärkung der Fundamentplatte durch die Verklammerung in den Eckbereichen spielt. Ihre symmetrische Anordnung auf beiden Schmalseiten des Tempels legt den Grundriss eines Doppelantentempels nahe. Die Beschränkung der zusätzlichen Sicherung auf die durch die Antempfeiler besetzten Ecken, ohne die ganzen Säulenfronten zu umfassen, kann dabei als ausreichend gelten<sup>104</sup>.

101 Rocco 2008; Rocco 2009; Rocco 2019; sehr differenziert zu den Tempeln der Zeit des Strengen Stils zuletzt Amara 2020a; Amara 2020b.

102 s. u. § 52–53.

103 Bes. Rocco 2019.

104 Es ist auch nicht ausgeschlossen, dass diese Eckverstärkung des Fundaments durch die Verklammerung erst nach dem Riss auf der Fundamentplatte vorgenommen wurde.



17

51 Die Maße des Aufbaus von Tempel C II sind, wie oben gesagt, zum Zwecke der Erstellung der Rekonstruktionsskizze nach den proportionalen Vorgaben der etwa zeitgleichen Tempel in Unteritalien und Sizilien bestimmt; neben dem kanonischen Breitenverhältnis der Friesglieder ist die Säulenhöhe als doppelte Jochweite verstanden, die Frieshöhe als  $\frac{2}{3}$  der Triglyphenbreite und die Architravhöhe gleich der des Frieses angenommen. Aus dem Wenigen, das wir dem Tempel C zuschreiben können, ergeben sich Hinweise auf Dimensionen und Proportionen, die in das Bild der Zeit passen. So wird unter den durch die Verjüngungsverhältnisse der drei Trommeln A 90, A 201 und A 202 gegebenen geometrischen Bedingungen und bei Berücksichtigung der daraus folgenden Entasis der untere Durchmesser der Säulen bei einer Höhe von 6,40 m kaum größer als ca. 1,30 m im Kannelurental, also 1,36–1,38 m in den Graten gewesen sein, während der obere Durchmesser der Trommel A 90 mit 1,06 m in den Graten durchaus dem des Säulenschaftes als Ganzen entsprechen könnte: Maße und Verhältnisse, die etwa denen am Juno-Lacinia-Tempel in Agrigent sehr nahekommen. So halten wir es für das Nächstliegende, uns auch für die Rekonstruktionsskizze an ihm zu orientieren<sup>105</sup> (Abb. 17).

52 Letztlich geht es hier vor allem darum, dem marmornen Bauschmuck den Ort anzuweisen, an dem er untergebracht war. Wie unten ausgeführt wird, ist dieser

Abb. 17: Rekonstruktionsskizze der Ostfront des Tempels C II mit maßstabsreduzierter Einfügung der Ostgiebelgruppe des Aphaia-Tempels nach Bankel 1993 (M. 1 : 100)

105 Vgl. Mertens 1984a, 102 f. (dort auch zur Entasis).

durch eine Bildhauerwerkstatt von großer Erfahrung und Selbständigkeit durchgeführt worden, die möglicherweise zuvor am Aphaia-Tempel auf Aegina wirkte, jedenfalls diesen Tempel gewiss sehr gut kannte. Unwillkürlich denkt man etwa auch daran, dass sie in Anbetracht des hohen Gewichts des Daches die ungewöhnlich solide Fundamentierung veranlasst haben könnte<sup>106</sup>. So stellt sich, angeregt durch Hansgeorg Bankel, der Gedanke ein, der Architekt des aeginetischen Tempels habe, gewissermaßen auf dem Weg nach Agrigent<sup>107</sup>, zusammen mit seinen Bildhauerkollegen auch den neuen Tempel in Metapont samt seinem marmornen architektonischen und figürlichen Bauschmuck entworfen.

53 Mit dieser jüngst aktualisierten<sup>108</sup> und nun auch so pointiert vertretenen Vorstellung vom Œuvre und Werdegang eines bedeutenden Architekten am Übergang von der späten Archaik zur frühen Klassik, beginnend auf den Kykladen mit dem ›Gesellenstück‹ des Artemis-Tempels auf Paros, mit dem Hauptwerk im Aphaia-Tempel und seinem Spätwerk im prosperierenden Westen mit dem Juno-Lacinia-Tempel von Agrigent, bezieht Bankel dezidiert Stellung in einer aktuellen Diskussion, die unseren Befund mitbetrifft. Geht es doch dabei nicht nur um die Datierung und damit auch historische Einordnung des Aphaia-Tempels und seiner Skulpturen, sondern vor allem um die ebenso aktuelle Frage des Transfers und Austausches von Wissen, Konzepten, technischen und künstlerischen Erfahrungen in der für Griechenland selbst und den Westen so umwälzenden Zeit der ersten Hälfte des 5. Jhs.<sup>109</sup>.

54 In diesem Sinne mögen auch die oben zusammen mit den wichtigen Giebelskulpturen erwähnten architektonischen Reste aus Apollonia<sup>110</sup> verstanden werden, auch wenn die Zuordnung der einen zu den anderen noch offen ist. Gleichzeitig wird dadurch aber auch ein allzu lineares und einfaches Bild der Bewegungen der betroffenen Werkstätten wieder in Frage gestellt<sup>111</sup>.

55 Dagegen ist das, was die Architektur unseres Tempels zu dieser Frage beitragen kann, einfach zu gering und mag wie folgt resümiert werden:

56 Bei aller bautechnischen Eignung zur Lösung der schwierigen Gründungsverhältnisse zeigt die Fundamentplatte im Steinschnitt, in der Oberflächenbearbeitung und auch in den charakteristischen Klammern nichts, was auf auswärtige Anregung schließen ließe; sie ist ganz aus lokaler Erfahrung konzipiert und von einheimischen Bauhandwerkern hergestellt worden. Auch die wenigen Säulenfragmente ähneln mit ihren tiefen Kanneluren und der mutmaßlich verhältnismäßig starken Entasis am ehesten denen des benachbarten Tempels A II, mit denen sie ja auch leicht verwechselt werden.

57 Bleiben die Elemente des Gebälks, welches bisher in Metapont von der ›achäischen‹ Tradition des schichtweisen Aufbaus geprägt war, in dem das Triglyphon unten und oben von Profilen gerahmt wird und der kein eigentliches steinernes Geison vorsah. Gerade dafür würde man nun auf ein neues Vorbild von außen rechnen, so wie es am etwa zeitgleichen Hera-Tempel von Capo Colonna wohl das Modell vom Alkmäoniden-Tempel in Delphi war<sup>112</sup>. In Metapont aber zeigt das für den Ort neuartige dorische Mutulusgeison, das wir Tempel C zuordnen, Merkmale, die sich in allem von den Formen des Aphaia-Tempels unterscheiden: die große Höhe und Schwere des

---

106 Ein Marmordach wog etwa doppelt so viel wie ein Terrakottadach, s. Ohnesorg 1993, 115–118.

107 Bankel 2019, 162 f.

108 Nach den schon in Bankel 1993, 147–149 dazu vorgetragenen Überlegungen.

109 Allg. dazu Meyer – Adornato 2020; zur Diskussion um die Datierung des Aphaia-Tempels s. o. Anm. 49.

110 von Hesberg u. a. 2018, 92–94, so bes. das Kapitell Abb. 60 und die Schlankheit der Säule Abb. 59.

111 von Hesberg u. a. 2018, bes. 147 f. zur Adaption zugewanderter Bildhauer in Apollonia.

112 Rocco 2008, 299–302.

---

ganzen Elements, die nicht gekehlt unterschrittene Scotia, die Einwärtsneigung der Stirnfläche der Mutuli und schließlich die voluminösen und langen Guttae<sup>113</sup>.

58 Wenn wir uns bei einem so kargen Baubefund für die Rekonstruktions-  
skizze am Juno-Lacinia-Tempel orientiert haben, so einzig wegen einiger überge-  
ordneter Maßverhältnisse wie jener zwischen Joch und Säulenhöhe oder jener,  
welche die Proportionierung und Dimensionierung der Gliederungselemente des  
Frieses in ihrem Verhältnis zur ganzen Front bestimmen – Verhältnisse, die im Laufe  
der ersten Hälfte des 5. Jhs. in weiten Teilen der griechischen Welt zu einer Norm  
geworden waren, innerhalb derer es aber eine gewisse Bandbreite künstlerischer  
Ausdruckmöglichkeiten nicht nur in den Beziehungen der Glieder untereinander  
und zum Ganzen, sondern auch in den Formen der Bauglieder gab. So sind etwa im  
griechischen Westen, trotz aller Anregungen aus Griechenland, die Einzelformen mit  
wenigen Ausnahmen<sup>114</sup> durchweg gewichtiger, voluminöser und ausgeprägter als in  
Griechenland – und das hat nicht nur mit dem Baumaterial zu tun: Die Kanneluren  
sind tiefer, die Kapitellprofile ausladender gerundet<sup>115</sup>, Regulae und Mutuli stärker  
und die Guttae dicker und länger. Wie groß der künstlerische Spielraum innerhalb  
dieses proportionalen Gesamtrahmens war, zeigt kaum etwas besser als die Wahl  
der betont schlanken Säulen gerade des Aphaia-Tempels<sup>116</sup>, die selbst im attischen  
Umfeld<sup>117</sup> eine Ausnahme darstellen und wohl auf die kykladische Schule verweisen.  
Darin offenbart sich auch der auffälligste Unterschied zum Juno-Lacinia-Tempel und  
überhaupt zum Geschmack im Westen; nichts kann das besser veranschaulichen als  
unsere nachstehende Vergleichsskizze Abb. 18.

59 Bei Anwendung dieser Verhältnisse erhält die Front des Tempels C nun ein  
Gewicht, welches gewissermaßen den Unterschied zur hexastylen Front eines Perip-  
teraltempels kompensieren kann. Das erinnert an die besondere Betonung, welche  
die Cellafronten der beiden großen frühklassischen Tempel in Syrakus und Paestum  
dadurch bekommen, dass die beiden Säulen zwischen den Antempfeilern nicht wie  
üblich kleiner als die Ringhallensäulen, sondern genauso stark – und hoch – wie diese  
gebildet sind. Wahrscheinlich sollte damit die Bedeutung der Cella als eigentlicher  
Kern des Kultbaus, gewissermaßen als ›Tempel im Tempel‹, noch besonders hervor-  
gehoben werden – trotz der damit verbundenen und am sog. Poseidon-Tempel so  
eklatanten Probleme in der Ausbildung des Vorhallengebälks<sup>118</sup>. Der Tempel C II ist  
also als Doppelantentempel eigentlich nichts anderes als ein solcher eigenständiger  
Tempel, nur ohne Ringhalle, und durchaus einem solchen Cellabau gleich. Nur in  
seiner Länge unterscheidet sich der Metapontiner Tempel mit 7½ Jochen von der  
10 Joche langen Cella der verglichenen Peripteroi. Und wenn man sich auch noch vor  
Augen hält, dass die Gebäklänge der Front des Tempels C II fast vier Fünftel derer der  
Vorhallen des großen Paestaner Tempels<sup>119</sup> beträgt, ermisst man den Anspruch seines  
architektonischen Erscheinungsbildes als Ganzes, auch ohne den Marmorschmuck,  
der ihn bekrönen sollte.

60 Betrachtet man den Metapontiner Tempel im Zusammenhang mit den zeit-  
gleichen Tempeln Unteritaliens, besteht das eigentlich Besondere nicht so sehr im Bau-  
konzept selbst – so neuartig die kanonische dorische Ordnung auch in der durch das  
archaische Erbe geprägten Metapontiner Bautradition ist –, sondern in seiner Ausstat-  
tung mit dem Dachschmuck und vor allem dem figürlichen Giebelfeld aus parischem

---

113 Leider haben wir vom Juno-Lacinia-Tempel kein Geison zum Vergleich.

114 Etwa am Tempel A von Selinunt, Mertens 1984a, 137. 192 f.

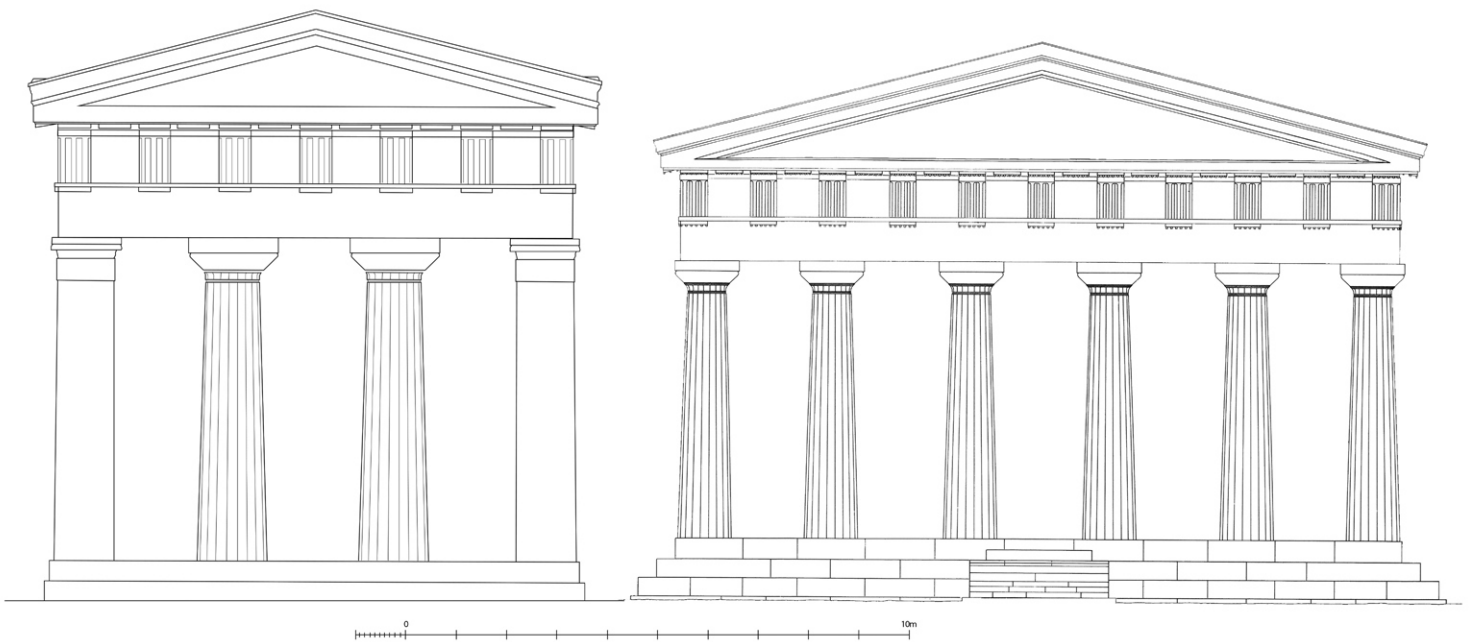
115 Mertens 1984a, 134–136.

116 Bankel 1993, 150 f.

117 Vgl. dazu Rocco 2019.

118 Vgl. Coulton 1975.

119 Tempel C II: 10,24 m; Paestum: 13,15 m.



18

Abb. 18: Größen- und Proportionsvergleich zwischen Tempel C II (links) und Aphaia-Tempel auf Aegina (rechts, beide M. 1 : 150)

Marmor. Dabei ist es aber nicht zwingend, dass die mit deren Entwurf und Realisierung beauftragte Werkstatt auch den Tempel selbst entwarf. Sie hatte sich doch lediglich in der Gesamtabmessung an die Vorgaben des Tempelbaus zu halten. Daher braucht es auch nicht zu wundern, wenn die Einheiten des Dachrandes zum Tempelbau selbst und damit zum Geison keinen Bezug aufnehmen<sup>120</sup>; die Einheiten der Frontsima folgen sowieso eigenen Regeln.

61 Einzig bei der Bemessung des Giebelraumes möchte man meinen, dass die Schöpfer der Figurengruppe auch für den architektonischen Rahmen, also in erster Linie die Höhe des Giebelraumes, verantwortlich waren. Daher haben wir in Ermangelung eigener Indizien das Modell des aeginetischen Tempels herangezogen. Bei der vorgegebenen Länge des Geisons ergibt sich eine lichte Länge des Giebelraumes von 9,50 m bei 1,22 m Höhe in der Mitte.

### Der Altar von C II

62 Ein im Abstand von etwa 30 m dem Tempel in seiner Achse quer vorgelagerter Fundamentrest (Abb. 3) dürfte zum Altar dieses Neubaus des 5. Jhs. gehört haben<sup>121</sup>, der damit einen bedeutenden Freiraum zur Ausübung des Kultes begrenzte. Das Fundament besteht aus einer nordsüdlich ausgerichteten 8,40 m langen Lage von im Binderverband verlegten Quadern; am Südende zweigt im rechten Winkel eine weitere Quaderreihe ab. Nach außen in eine Flucht gebracht, verspringen die Blöcke im Innern und schließen eine Füllung aus Steinbrocken und Erde ein. Während das Fundament in Nord-Süd-Richtung sehr eben liegt<sup>122</sup>, steigt sein Südflügel nach Westen um 4 cm an. Eine Ritzlinie nahe dem Außenrand des südlichen Flügels sowie die durchgehende

120 Zumal nicht sicher ist, ob und wie die Langseiten gegliedert waren. Auf die Länge des Langseitengeisons passen rechnerisch 41 Simen, also Ziegelbahnen des Normalmaßes von 60 cm (s. § 94), und je ein Randziegel, der der Giebelsima entspricht, von ca. 65 cm.

121 Bottini 1993, 765: Der Altar ist auf einer Ausgleichsschicht von nicht näher definierbaren Arbeitsabfällen gegründet, die sich über Holzbrandschichten und archaischen Votivdepots ausbreiteten. Wichtig ist darunter besonders ein großes Fragment des archaischen Baufrieses von C I.

122 Oberfläche -0,52 m.

Glättung der Oberfläche in ca. 60 cm Breite lassen eine 55 cm breite aufgehende Wand erschließen und zugleich erkennen, dass der Bau im Norden und Westen noch weiterging. Die Gesamtmaße seines Umrisses sind also nicht mehr direkt zu ermitteln; wenn der Altar dem Tempel axial zugeordnet war, kann er aber kaum länger gewesen sein<sup>123</sup>. Und auch in der Tiefe wird wohl nur die Westseite selbst fehlen. Vom Aufbau ist nichts erhalten.

## Das Dach und die Akrotere

von *Aenne Ohnesorg*

63 Im Unterschied zum soeben besprochenen Aufbau des Tempels ist sein Dach – wenngleich ebenfalls nur sehr fragmentarisch erhalten – aufgrund der besonderen Fundsituation<sup>124</sup> doch in seinen Bestandteilen verhältnismäßig gut belegt. Die Elemente von Stroteren, Kalypteren, Giebel- und Traufsima sowie Akroteren aus Ranken und Palmetten gehören dabei – mit Ausnahme eines zweifelhaften Palmettenfragments – nach der Größenordnung, dem Material parischer Marmor<sup>125</sup> und nach ihren formalen und stilistischen Merkmalen zu ein und demselben Dach. Wegen der Fundkonzentration um den Tempel und aus formgeschichtlichen Erwägungen muss das Dach dem Tempel C zugeschrieben werden, zumal die dorischen Peripteraltempel des Heiligtums etwa zur gleichen Zeit mit eigenen neuen Terrakottadächern ausgestattet wurden<sup>126</sup>.

64 Für die Rekonstruktion des Daches und die Erwägungen zu seiner Einordnung sind die folgenden Fragmente tauglich und im Katalog erfasst: ein kleines Fragment der Frontplatte der Giebelsima, zwei Fragmente vom oberen Bereich der Frontplatte sowie fünf Fragmente der Löwenkopf-Wasserspeier der Traufsima, mindestens neun Fragmente von Traufstroteren<sup>127</sup>, ein fast vollständiger und ein fragmentarischer Kalypter und schließlich über 20 Fragmente von Ranken und Palmetten von Volutenakroteren<sup>128</sup>.

## Simen und Dachfläche

65 Die Giebelsima<sup>129</sup> ist belegt durch ein kleines Fragment aus der Mitte der Frontplatte (Kat. 1; Abb. 19) mit einem Rest des Unterlagers, einem kleinen Absatz und einem schwach S-förmig geformtem Profil. Das vollständige Profil kann in Analogie zu anderen Giebelsimen aus dem Mutterland und dem inselionischen Bereich, aber auch aus Großgriechenland, sogar von unmittelbar benachbarten Bauten, rekonstruiert werden: wahrscheinlich eher ein Wellensimaprofil wie an der Traufsima (s. u. § 66) als eine Hohlkehle mit Kopfband, gar noch mit einem zusätzlichen dorischen Kyma<sup>130</sup>. Bei

---

123 Er scheint ganz wenig nach Norden verschoben (s. Abb. 3); die genauen Dimensionen könnten nur durch eine systematische Fortsetzung der stratigraphischen Grabung ermittelt werden.

124 s. o. § 13–16.

125 s. o. § 14 und De Siena u. a. 2002, 307 f.: Lakkoi-Marmor aus Paros; zu den oberirdischen Brüchen von Lakkoi, die wohlgerneht keinen Lychnites lieferten, s. Schilardi – Katsōnopoulou 2000 und Ohnesorg 2021, 176 mit Anm. 15; 180.

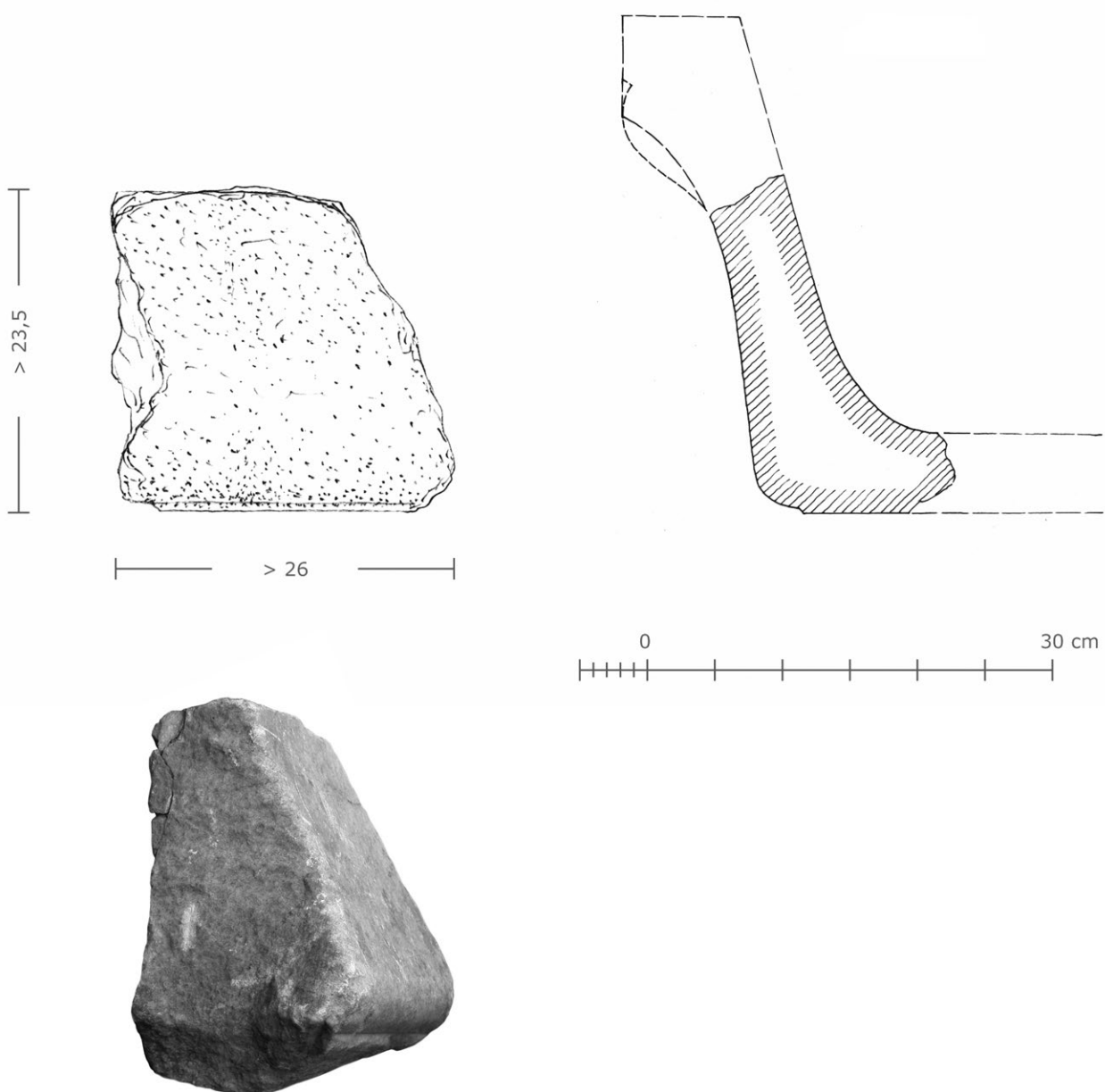
126 Mertens 2006, 300–305.

127 Die an die Traufsima angearbeiteten Strotere werden hier Traufstrotere genannt. Sie sind von Hegemonen zu unterscheiden, den untersten bzw. vordersten Flachziegeln an Dächern mit Stirnziegeln vor den Deckziegel-Reihen.

128 Der Begriff wird synonym mit ›Rankenakroter‹, manchmal auch ›Akroter‹ oder ›Volutenbaum‹ verwendet.

129 Hier wird der Begriff ›Giebelsima‹ gegenüber ›Schräg‹ oder ›Frontsima‹ bevorzugt.

130 Zu mutterländischen und inselionischen Wellensimaprofilen s. Ohnesorg 1993, 32 mit Taf. 32. 76 (Delos, Traufsima des ›Gebäudes mit Peristylhof‹); 37 f. mit Taf. 20. 72 (Delphi, dorisches Schatzhaus in der Marmaria); 38 f. mit Taf. 83 (Delphi, Giebelsima des Apollon-Tempels der Alkmäoniden); 41 f. mit Taf. 84



19

Abb. 19: Giebelsimafrgt. Kat. 1  
(M. 1 : 5)

diesen Simen setzt das Profil am Unterlager in einem rechten Winkel an, im Gegensatz zur Metapontiner Marmorsima, deren Profil zudem leicht überhing. Die Höhe des Giebelsimaprofiles dürfte wenigstens die der Traufsima, 36–37 cm, erreicht haben<sup>131</sup>. Die Breite bzw. Länge der Simaplatten muss die gleiche wie die (Achs-)Länge der Normalstrottere und -kalyptere gewesen sein, die mit höchstens 86,5 cm, der Achslänge des

(Giebelsima des peisistratidischen Athena-Tempels der Athener Akropolis). – Inselionische Hohlkehlenprofile z. B. an der Traufsima des Burgtempels A von Paros oder an der Giebelsima des Heraions und anderer Bauten auf Delos: Ohnesorg 1993, 30–34. 77 f. und Taf. 11–15. 33. Ein zusätzliches dorisches Kyma findet sich an der Giebelsima des Schatzhauses von Massilia in Delphi: Ohnesorg 1993, 23 mit Taf. 71.

131 Die minimale Höhe von 36 bis 37 cm ergibt sich, wenn man das erhaltene untere Profil des Giebelsimafragments Kat. 1 mit dem oberen Profilbereich der Traufsima kombiniert, sei es nun ein ›Wellenprofil‹ oder eine Hohlkehle. Dieselbe Höhe hat die Giebelsima des Daches des Tempels A in Metapont, und auch deren Profil hängt leicht über: Mertens 1984a, Beil. 33, 8; Mertens-Horn 1988, 203 f. – Giebelsimen sind in der Regel mindestens so hoch wie Traufsimen, meist sogar höher: Ohnesorg 1993, 122–124. – Die Art des unteren Anlaufs des Giebelsimaprofiles (Kat. 1) ist ungewöhnlich und allenfalls mit der Traufsima des Athena-Tempels von Paestum zu vergleichen (Mertens 1984a, Beil. 33, 18).

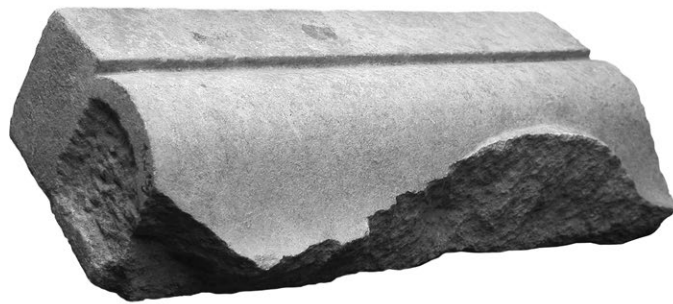
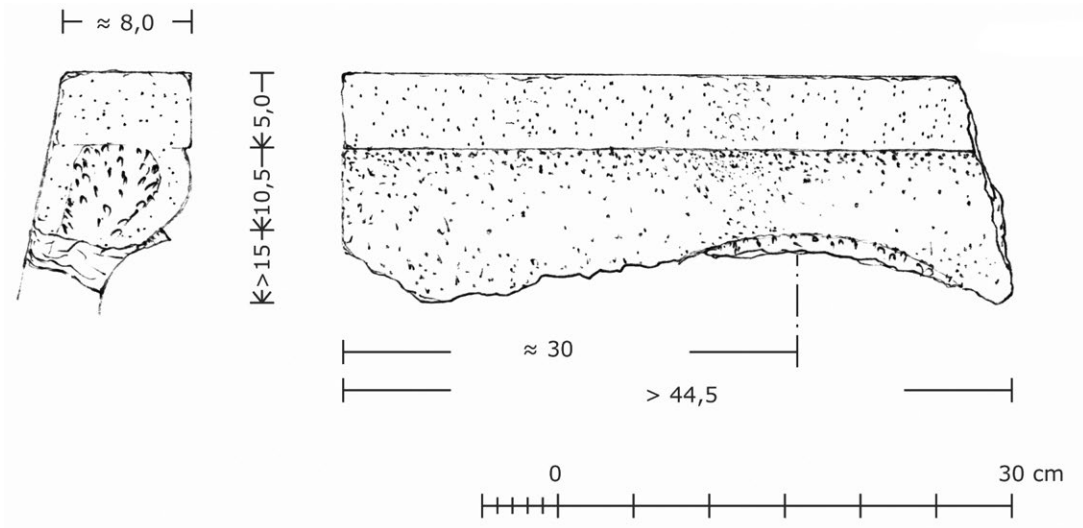


Abb. 20: Traufsimafrgt. Kat. 2  
(M. 1 : 5)

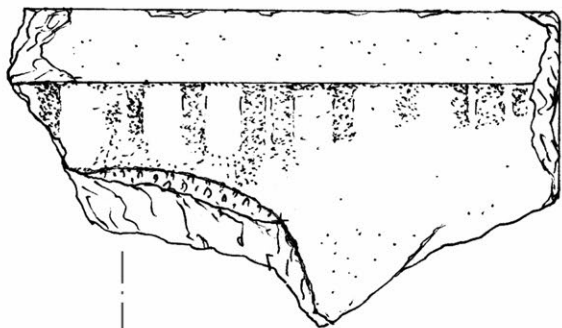
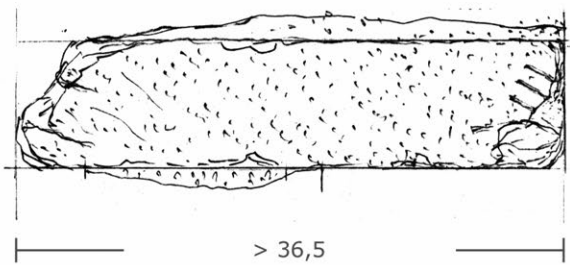
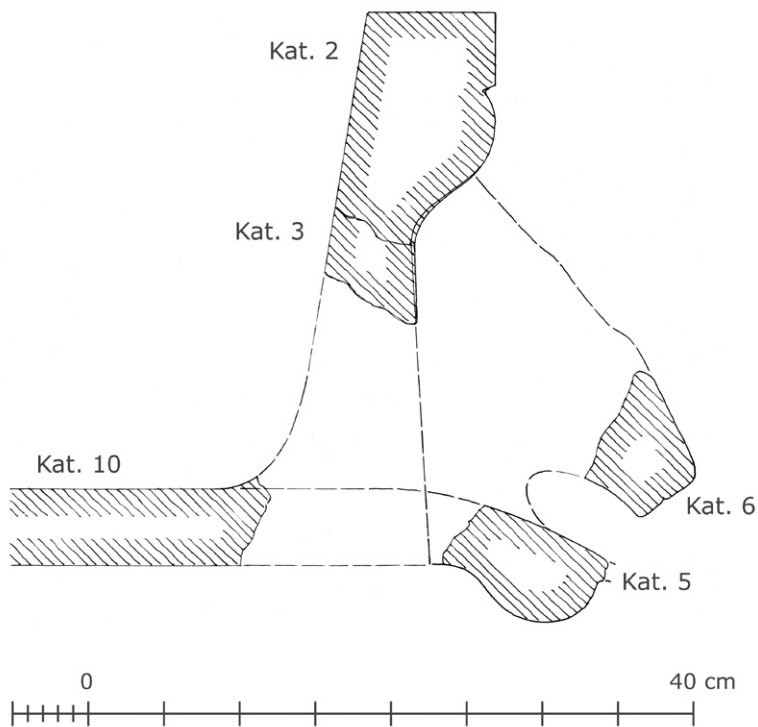


Abb. 21: Traufsimafrgt. Kat. 3  
(M. 1 : 5)



22

Abb. 22: Traufsimafrgte. Kat. 2 und Kat. 3, Traufstroterfrgt. Kat. 10 und Löwenkopffrgte. Kat. 5 und Kat. 6 (M. 1 : 5)

ca. 25 × 25 cm, und die Höhe und die Breite der Traufsimaplatten rekonstruieren, ca. 36–37 cm und  $60 \pm 1$  cm<sup>134</sup>.

68 An die Frontplatten der Simen waren, wie üblich, Strotere angearbeitet. An den erhaltenen Traufsimafragmenten Kat. 2 und 3 fehlt zwar der Ansatz des Stroters, aber drei der Stroterfragmente, Kat. 13, 16 und das besterhaltene, Kat. 10, sind als Traufstrotere zu erkennen, weil sie an der vorderen Bruchstelle deutlich an Dicke zunehmen und sogar noch den Ansatz der Frontplatte zeigen (Abb. 23. 24. 25). Sie stammen, ebenso wie die anderen Stroterfragmente (Kat. 8. 9. 11. 12. 14. 15), von seitlichen Rändern und erlauben es deshalb nicht, die ursprüngliche Ziegelbreite zu rekonstruieren.

69 Setzt man den 1 : 1-Längsschnitt von Kat. 10 mit dem allerdings in seiner unteren Partie rekonstruierten Schnitt durch die Traufsimaplatte zusammen, so erhält man von der Unterkante der Sima bis zum hinteren Traufstroter-Ende die beträchtliche Länge von ca. 80 cm<sup>135</sup> (Abb. 24). Die Rückseite und die Seiten dieses Traufstroterfragments sind merkwürdig uneben und grob gespitzt, nur die hinteren 8 cm der Seitenfläche sind gut geglättet. In diesem Bereich war der Fugenschluss besser, was der maximalen Tiefe

einzigem vollständig erhaltenen Stück, des Kalypters Kat. 18, ermittelt wurde (s. u. § 75–76).

66 Von der Traufsima sind zwei Fragmente vom oberen Bereich der Frontplatte, beide mit dem Kopfband und einem darunter ansetzenden korinthischen oder Wellensima-profil<sup>132</sup> und dem Ansatz der Mähne vom Löwenkopf-Wasserspeier sowie mit jeweils einer Seitenfläche erhalten (Kat. 2. 3; Abb. 20. 21). Das gesamte Profil ist mit Hilfe von Analogien zu rekonstruieren<sup>133</sup> (Abb. 22). Die Bemalungsreste auf der ›Welle‹ von Kat. 3 lassen sich zu einem Blattstab ergänzen (s. u. § 102).

67 Von den Löwenköpfen selbst gibt es noch fünf kleine Fragmente, eines von einer Schnauze (Kat. 4), vier vom Unterkiefer (Kat. 5–7 und eines o. Kat.-Nr., Abb. 22 und Abb. 43. 44. 45. 46. 47). Mit den Abständen der Ansätze der Löwenmähen von der Oberseite (ca. 10,5 cm) und den Seitenflächen (16,5–18 cm) sowie durch Vergleiche lassen sich die ungefähre Größe der Löwenköpfe,

132 Das ›korinthische‹ Simaprofil im strengen Sinn zeigt einen Absatz zwischen dem konvexen oberen Profilbereich und der ebenen Basis (›abgesetzte Wellensima« oder auch ›megarische Sima«; Buschor 1929, 16; Billot – Rizakis 1993; in Ohnesorg 1993 nicht sauber getrennt); Mertens-Horn 2008, 538 mit Anm. 9. Das Profil mit weichem Übergang heißt bei Buschor 1929, 18, bes. 30–33 ›durchlaufende Welle«. Das Profil der Marmorsima des Tempels C II wäre dann auch bei den erneuerten Tonsimen der Dächer der Tempel A und B von Metapont verwendet worden; s. auch Rocco 2008, 306 f.

133 Dieses Profil wurde in einer Profil-Zeichnung 1 : 1 verifiziert; für den leicht spitzen Winkel zur Unterseite wurden 85° angenommen (Abb. 22).

134 Aus dem Traufsimafragment Kat. 2 lässt sich eine Plattenbreite von ca. 61 cm rekonstruieren, aus dem Traufsimafragment Kat. 3 eine Breite von  $\geq 58$  cm. Daraus resultiert ein Durchschnittswert von  $60 \pm 1$  cm, auch für die Stroter-Breite. – Zum Vergleich bekannte Breiten der relativ wenigen Marmor-Dachziegel in Großgriechenland: Kroton: 66–66,5 cm (Ruga 1996, 102 f.) und Kaulonia 66–66,3 cm, bei einer Länge von 85,5 cm (Orsi 1914, 865–867; Barello 1995, 96 mit Taf. 51 b. c.); zu den Maßen von Marmorstrotereren allgemein Ohnesorg 1993, 119 f.

135 Ebenfalls sehr lange bzw. tiefe Traufstrotere oder Hegemone hat der Demeter-Tempel von Sangri,  $\geq 83$  cm gegenüber einer Stroter-(Achsen-)Länge von 63,2 cm, s. u. Anm. 145.

der Überdeckung durch den Stroter der nächsten Reihe entsprechen könnte. An zwei anderen Fragmenten, Kat. 12 und 14, ist die Überdeckung durch Korrosionsspuren von 4 bzw. 4,5 cm Tiefe nachzuweisen.

70 Die Seitenfläche von Kat. 10 zeigt vorn einen oberen und unteren Anathyrosensaum; ein vorderer Saum ist an der Frontplatte anzunehmen. Mit dem dreiseitigen Anathyrosensaum schlossen die Platten der Traufsima passgenau aneinander an.

71 Die Oberseite des seitlichen Randes des Traufstroters ist u. a. mit einem mittelfeinen Zahneisen bearbeitet, die Kehle zur Ziegelplatte ist fein gespitzt. Die restliche Ziegeloberfläche ist mittelfein gespitzt und alles ist verwittert. Die Unterseite ist rundum mit einem fein gezahnten Saum versehen; vorn ist er > 8 cm, ursprünglich ca. 15 cm tief, hinten 10 cm und seitlich 5 cm breit. Der Spiegel dazwischen ist gleichmäßig mittelfein gespitzt und kaum vertieft. Diese Anathyrose der Unterseite sollte wohl das gute Aufliegen auf dem Traufgeison garantieren<sup>136</sup>.

72 Für eine zusätzliche Sicherung sorgten Dollen, wie sie auch an anderen (Marmor-)Dächern anzutreffen sind<sup>137</sup>, z. B. ist am seitlichen Rand des Traufstroters Kat. 10 ca. 31 cm von hinten bzw. knapp 40 cm von der vorderen Bruchstelle ein ≤ 4 cm tiefes und 3 cm breites Dollenloch in der gesamten Höhe des Randes durch feine Spitzung eingearbeitet. Entsprechende Löcher müssen sich auf der Oberseite der Traufgeisa befunden haben, vermutlich in doppelter Breite, also im Grundriss ca. 4 × 6 cm groß.

73 An solchen Dollenlöchern sind weitere Fragmente von Traufstrottern zu erkennen, die alle von seitlichen Rändern stammen (Abb. 25). Die Abstände der Dollenlöcher von der Rückseite betragen 31 cm (Kat. 8. 10), 26,5 cm (Kat. 11. 15) und 26 cm (Kat. 12. 14); von der Vorderseite > 32,5 cm (Kat. 9), > 38,5, rekonstruiert 42 cm (Kat. 10) und ≥ 42 cm (Kat. 13). Die Werte für die rückwärtigen Abstände sind zwar ähnlich, aber nicht identisch. Das könnte bedeuten, dass die Traufstrottere unterschiedlich lang waren, weil ihre hinteren Enden ohnehin unter den Strottern der nächsten Reihe verschwanden<sup>138</sup>. Zudem wurden die Dollenlöcher wahrscheinlich ad hoc eingeschlagen, zwar ungefähr, aber nicht ganz genau im selben Abstand von der Geisonstirn. Leicht unterschiedliche Abstände von Dollen- oder Stifflöchern von der Geisonstirn sind auch andernorts zu beobachten<sup>139</sup>. Es gibt keine Stroterfragmente *ohne* Dollenloch, d. h., alle erhaltenen Stroterfragmente stammen von Traufstrottern, was vermuten lässt, dass die eigentliche Dachhaut nicht aus Marmor, sondern aus Terrakotta bestand (s. dazu auch u. § 75).

74 An allen Traufstrotterfragmenten ist keine wesentliche Abnahme der Ziegeldicke oder Höhe der seitlichen Ränder festzustellen; das bedeutet, dass die Unterseite der gesamten Dachfläche leichte Abtreppungen von Reihe zu Reihe aufwies und keine ganz ebene Fläche bildete (Abb. 24)<sup>140</sup>. An einigen Fragmenten ist die Korrosionsspur vom Kalypter erhalten, in folgendem Abstand von der Seitenfläche: ≈ 10 cm (Kat. 9), 10,5–11 cm (Kat. 10. 12), 10–11 cm (Kat. 13) und ca. 12 cm (Kat. 14). Die Kalypterbreite lässt sich folglich mit ≥ 20 bis ≤ 24 cm rekonstruieren<sup>141</sup>, was von den zwei erhaltenen Exemplaren Kat. 17 und 18 (Abb. 26. 27) bestätigt wird.

---

136 s. o. § 46–47.

137 Vgl. die Dollenlöcher an den Hegemonen und der Giebelsima des Artemis-Tempels im Delion von Paros: Schuller 1991, 62; Ohnesorg 1991, 121 mit Taf. 83; oder die Dollenlöcher an den Traufstrottern des Tempels A von Paros und des ionischen Tempels in [Thessaloniki](#): Ohnesorg 1993, 77 mit Taf. 14 und 97 mit Taf. 26.

138 Unterschiedlich lang sind auch die Traufstrottere des Daches des Tempels A von Paros: Ohnesorg 1993, 78 mit Taf. 14.

139 s. o. Anm. 96.

140 Ohnesorg 1993, 112 f.; Beispiele für auf der Unterseite getreppte Strottere sind die Dächer des Burgtempels A in Paros, des Siphnier-Schatzhauses in Delphi und der archaischen ostionischen Dipteroi von [Didyma](#) und Ephesos: Ohnesorg 1993, Taf. 18. 21. 27. 31.

141 Die Werte sind ungenau, weil die Korrosionsspur entweder genau unter der Außenfläche des seitlichen Kalypterrandes liegt oder, bei nicht so dicht schließenden Fugen und hineingelaufenem Wasser, *unter* dem Rand.

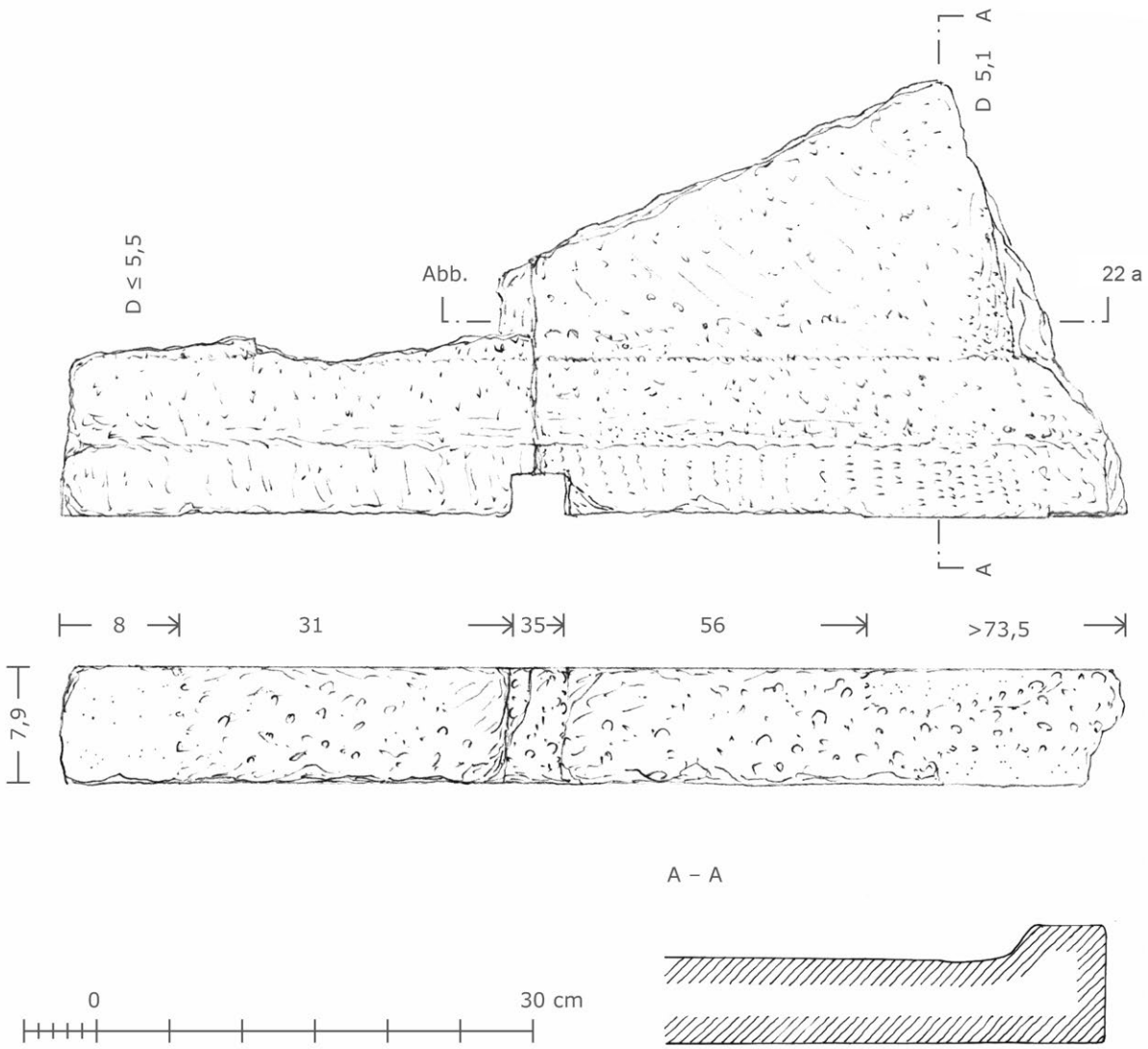
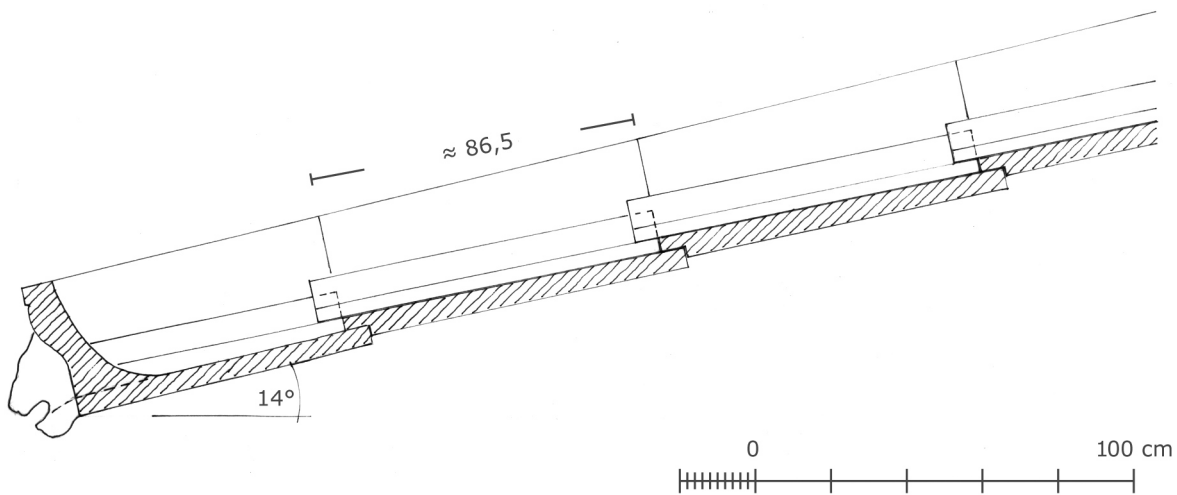
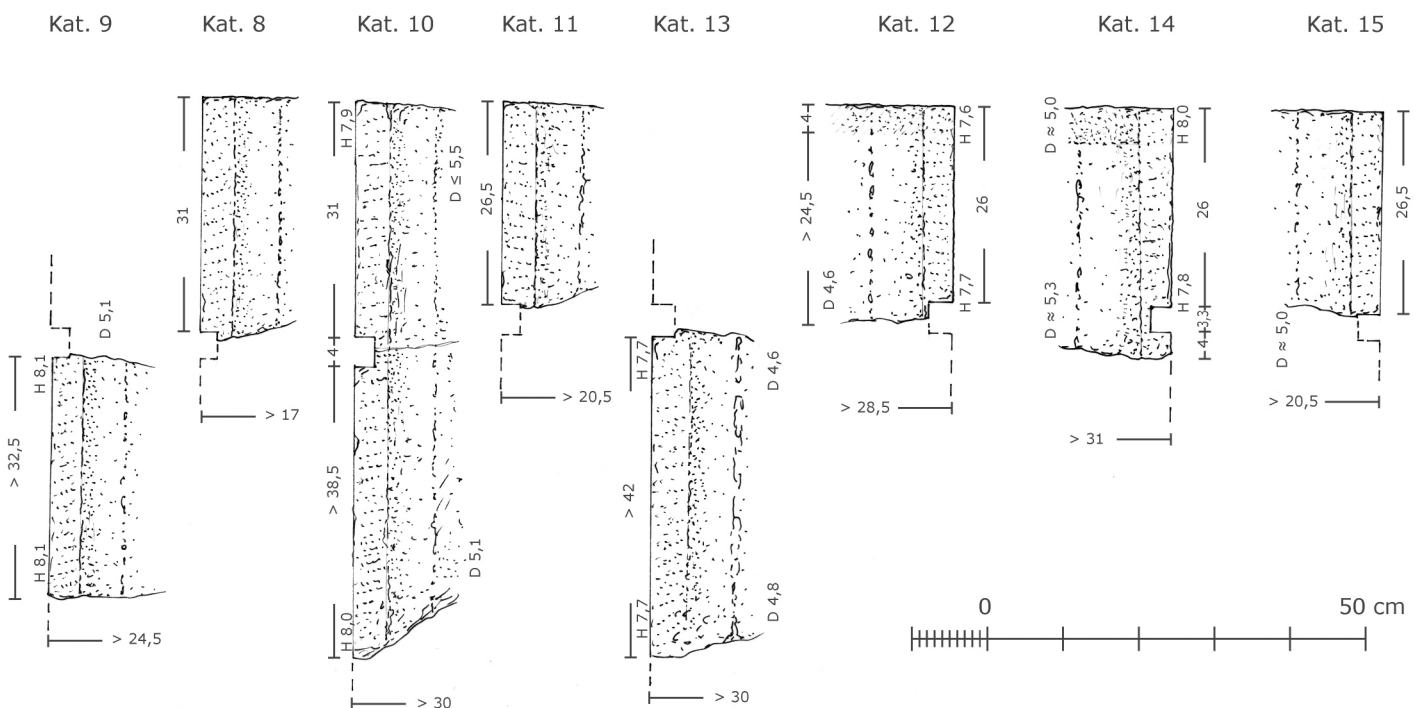


Abb. 23: Stroterfrgt. Kat. 10  
(M. 1 : 5)



24



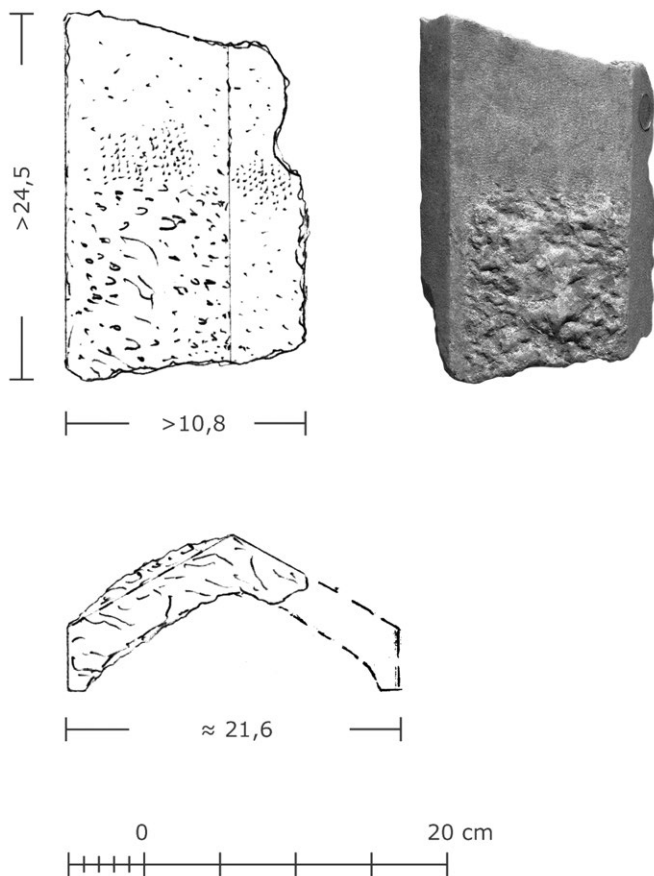
25

75 Von diesen zwei Kalypteren entspricht das Fragment Kat. 17 mit etwa 21,6 cm Breite dem kleineren Wert. Der 23,2 cm breite, fast vollständige Kalypter Kat. 18 hingegen liegt an der Obergrenze der Breite. Er ist mit 86,5 cm bis zum Falz, der seinerseits weitere 4–6 cm messen dürfte<sup>142</sup>, erstaunlich lang, insgesamt also ca. 92,5 cm. Seine »Front«, die fast vollständig erhalten ist, liegt ungefähr rechtwinklig zum Mittelgrat der dachförmigen Oberseite und zu den seitlichen Auflagerrändern; sie ist nicht an die

Abb. 24: Traufsima und anschließende Dachdeckung, Schemaschnitt (M. 1 : 20)

Abb. 25: Zusammenstellung der Traufstroterfrgte. Kat. 8–15 (M. 1 : 10)

142 Wir kennen die Überdeckungstiefe des nächsten (Normal-)Stroter von 4 bzw. ca. 4,5 cm an den beiden Traufstroteren Kat. 12 und 14. Die durchschnittliche Länge bzw. Tiefe von (Überdeckungs-)Falzen an Marmorstroteren oder auch -kalypteren beträgt 6,5–8 cm, häufig 7,5 cm (Ohnesorg 1993). Für die Falztiefe der Kalyptere von Metapont wird ein Mittelwert von 6 cm angenommen.



26

Abb. 26: Kalypterfrgt. Kat. 17  
(M. 1 : 5)

konkave Rückseite der Traufsimaplatte angepasst<sup>143</sup>. Der Kalypter kann also nicht die Traufstrottere bedeckt haben, deren Länge von der Unterkante der Sima mit 80 cm bekannt ist (s. o. § 69). Er muss daher anderswo am Dach gesessen haben, vielleicht in der ersten Reihe hinter der Giebelsima, als ›Überleitung‹ zu den vermuteten Terrakottastroterern und -kalyptern (s. o. § 73)<sup>144</sup>. Die 86,5 cm gäben die (Achs-)Breiten der Giebelsima-Platten und auch der Normalstrottere an, die erstaunlicherweise länger wären als die Traufstrottere<sup>145</sup>. Die Maße der Elemente der Dachhaut sind folglich mit einiger Sicherheit wiederzugewinnen.

<sup>76</sup> Sowohl der fast vollständige Kalypter Kat. 18 als auch das kleine Kalypterfragment Kat. 17 sind auf der Oberseite nicht vollständig geglättet: Kat. 18 (Abb. 27) ist auf seiner ganzen Länge fein gespitzt, nur der Ansatz des Falzes scheint glatt zu sein; das ist auch notwendig, wenn der Kalypter verlegt war. Auf dem einen Schenkel des kleinen Fragments Kat. 17 (Abb. 26) ist in einem  $\geq 13$  cm tiefen Bereich eine grobere Bosse stehen gelassen; die Oberfläche daneben ist jedoch mit einem Zahneisen gut geglättet, was wohl der beabsichtigte Endzustand ist. Weder diese im Mittelbereich des Deckziegels liegende Bosse noch die auf der ganzen Länge stehen gelassene rauere Oberfläche haben eine Konsequenz für das Verlegen; sie beweisen aber, dass das Dach nicht bis ins letzte Detail fertiggestellt war.

## Akrotere

### Volutenakrotere: Fragmente

<sup>77</sup> Es haben sich zahlreiche Fragmente von Ranken, z. T. mit Gabelungen oder seitlichen Annexen, und auch Fragmente von Palmetten erhalten, die von einem oder sogar zwei Volutenakroteren stammen. Hier werden nur die wichtigsten Fragmente besprochen; die anderen wurden in den Katalog aufgenommen.

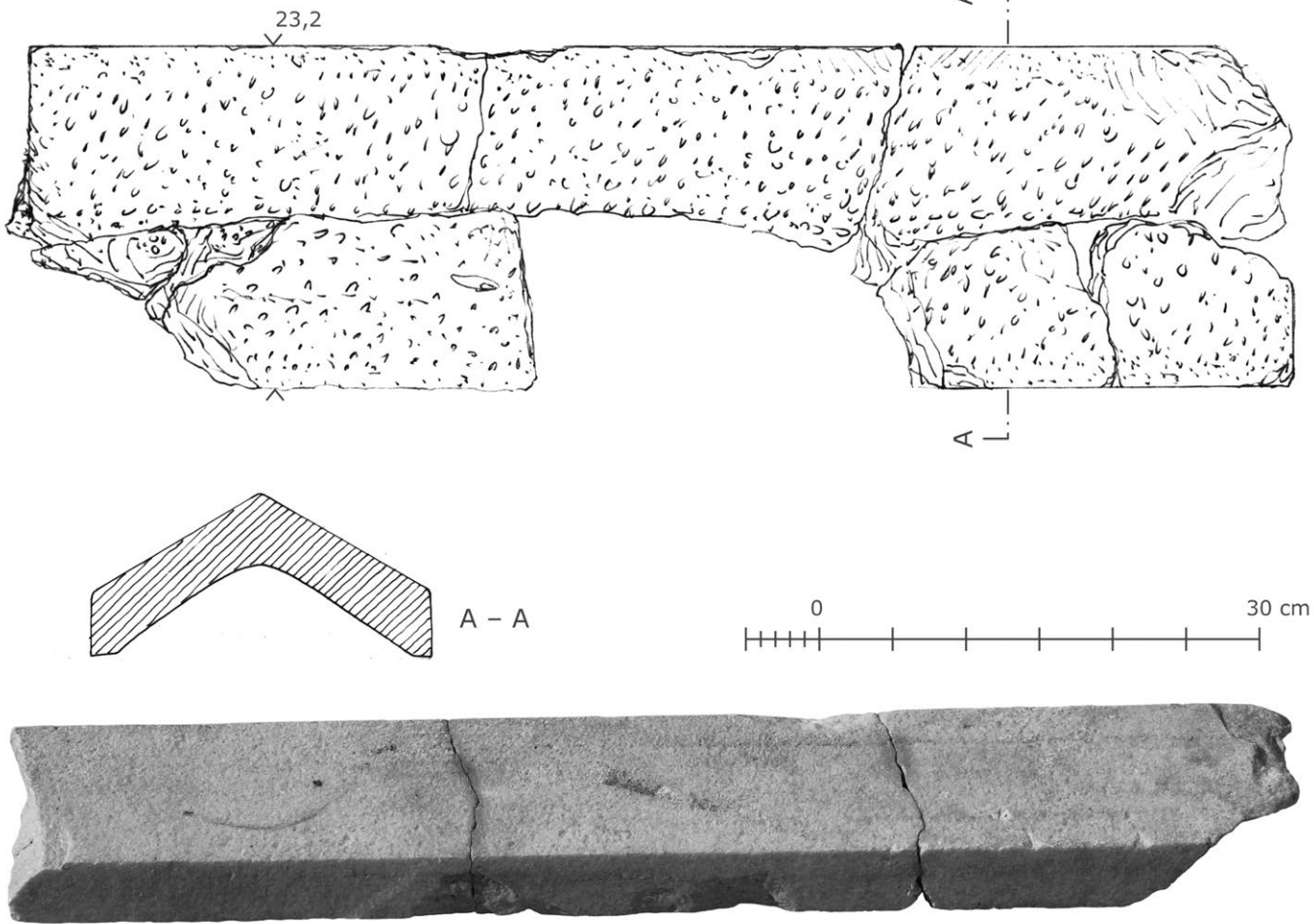
<sup>78</sup> Die Fragmente der Ranken sind alle vom selben Größenmaßstab und Typus, also konkav mit Mittelrippe und scharfen seitlichen Graten. Nach Ernst Robert Fiechters Übersicht über die am Aphaia-Tempel vertretenen Typen<sup>146</sup> lässt diese Gemeinsamkeit

143 Beispiele für eine solche Anpassung bei mutterländischen und verwandten Marmordächern: Ohnesorg 1993, 11 mit Anm. 111 (ältere Lit.). 14. 20. 107–109 mit Abb. 11 Taf. 30. 31; in Metapont besonders sorgfältig am Terrakottadach des Tempels B, in Publikationsvorbereitung durch D. Mertens.

144 Eine andere Möglichkeit wäre, dass noch die *erste* Reihe der Flach- und Deckziegel hinter den Traufstrotterern (und -kalyptern) aus Marmor bestand, alle oberhalb davon liegenden Dachziegel dann aus Terrakotta. Für die Rekonstruktion der (Achs-)Breite der Giebelsima-Platten würde das keinen Unterschied machen. Für diese Lösung ist uns allerdings kein Beispiel bekannt. Bei der gängigen Variante des ›Spardachs‹ sind die Sima und die angearbeiteten Strottere bzw. die Hegemone und Antefixe aus Marmor und die übrige Dachhaut aus Terrakotta: Ohnesorg 1993, 117 f.

145 Im Regelfall sind die Traufstrottere bzw. die Hegemone gleich lang oder auch länger als die Normalstrottere und damit auch als die Normalkalyptere: Dionysos-Tempel von Yria/Naxos: Hegemone ca. 73 cm, Normalstrottere ca. 66 cm (Ohnesorg 1993, 22); Demeter-Tempel von Sangri/Naxos: Hegemon-Länge  $\geq 83$  cm, Strotter-(Achs-)Länge 63,2 cm (Ohnesorg 1993, 68 f.); Athena-Tempel von Karthaia/Keos: Hegemon-Länge gemäß dem Eckkasten  $> 86$  cm; Normalstrotter-Länge  $\geq 72,5$  cm (?) (Ohnesorg 1993, 91 f. mit Anm. 898 und Taf. 24. 25).

146 Fiechter 1906, 279–292 mit Abb. 238; 292–295 (zur stilistischen Entwicklung); Furtwängler 1906, 354–358 (zum Stil der Akrotere und zu den Buchstaben auf der Rückseite eines Rankenfragments): »Es ist ein nicht



27

Abb. 27: Fragmentarischer Kalypter Kat. 18 (M. 1 : 5)

sie zunächst auch chronologisch eng zusammengehörig erscheinen, wäre da nicht die verhältnismäßig weite Verbreitung des Typus mit Mittelrippe auch über Aegina hinaus<sup>147</sup>. Auf den Seitenflächen und auf der Rückseite sind die Ranken glatt.

79 Neben schlichten Rankenfragmenten, die in Breite, Dicke und unterschiedlicher Krümmung voneinander abweichen, gibt es Sonderstücke. Dazu sind in erster Linie die Fragmente Kat. 27 und 33 (Abb. 28. 29) zu rechnen, beide mit sich symmetrisch tangierenden Ranken, die mit Sicherheit in die Mitte eines Akroterbaumes und wegen ihrer Dimensionen und der Art der Ornamentik auf etwa gleiche Höhe zu setzen sind. Sie unterscheiden sich vor allem im Krümmungsradius ihrer Ranken und erlauben deshalb keine identische Rekonstruktion, sondern lassen vielmehr auf zwei Akrotere schließen.

80 Die Rankenfragmente sind unterschiedlich dick, zwischen minimal 4,8 cm (Kat. 33) und maximal 8,7 cm (Kat. 22; Abb. 88), was zunächst ein Kriterium für

genug zu preisendes Glück, daß wir nun wenigstens an einem griechischen Tempel sowohl den Giebel- als auch den Firstschmuck zuverlässig und vollständig rekonstruieren können« (S. 355); »Die Bravour der Marmortechnik der aeginetischen Künstler wird durch die Akroterien noch viel deutlicher als durch die Giebelgruppen« (S. 356).

147 Ohnesorg 1991, 131 (Artemis-Tempel im Delion von Paros); Hoffelner 1999, 91 mit Abb. 97 (»doppelkehliges Profil« am Apollon-Tempel von Aegina); Travlos 1971, 83. 87 mit Abb. 110 (Apollon-Delphinios-Tempel in Athen); Danner 1989, 13. 39; Knechtel 2023 (Tempel A in Selinunt); die Beispiele datieren von »um 500« bis »um 440«.

weiter oben und weiter unten anzuordnende Stücke zu liefern scheint, wie beim Akroter von Kroton oder auch bei dem des Artemis-Tempels im Delion auf Paros. Bei näherem Studium erweist sich das jedoch als nicht zutreffend; das dünnste Stück ist ausgerechnet das Mittelstück Kat. 33, das im oberen Bereich angeordnet werden müsste, das dickste eine enge Windung vom Innern einer Ranke, die im unteren Spiralpaar, aber nicht ganz unten zu sitzen kommt. Nach Ausweis der Ansätze von Aussteifungsstegen auf der Rückseite beider Mittelstücke waren die Marmorplatten, aus denen beide Akrotere je in einem Stück gearbeitet worden sind, ohnehin erheblich dicker als alle Ranken<sup>148</sup>.

81 Zu den Ranken kommen zwei Fragmente von Palmetten<sup>149</sup>. Das erste, Kat. 34 (Abb. 30), gehört wegen seiner in einem guten Stück erhaltenen Ranke eindeutig zu einem Akroter. Mit seinen neun konvexen Palmettenblättern mit leichtem Grat steht es den Stücken vom Aphaia-Tempel nahe, bereichert den Typus aber durch den Wechsel von breiteren und schmaleren Blättern, die auch an einem Fragment des Apollon-Tempels am Kap Kolonna von Aegina zu finden sind<sup>150</sup>.

82 Das zweite Fragment, Kat. 35 (Abb. 31), mit seinen konkaven, durch ganz schmale Lanzetten getrennten Blättern scheint dagegen zunächst etwas älter; der Typus ist im Aphaia-Heiligtum vertreten und auch von samischen Grabstelen her bekannt<sup>151</sup>. Das Fragment ist auf seiner Rückseite gewölbt und hat dort offenbar eine Mittelstütze zur Verstärkung; daraus ergibt sich kein eindeutiger Hinweis auf seine Anbringung am Akroter oder als Stelenbekrönung<sup>152</sup>, doch ist es denkbar, dass die Palmette die Mitte im untersten Abschnitt eines Rankenakroters einnahm. Schließlich gehörten zum Gesamtkomplex des Mittelakroters mit großer Wahrscheinlichkeit Korenfiguren (s. u. § 108–114), die, auch gemäß der Größe ihrer Fragmente, nach dem Muster des Aphaia-Tempels das Mittelakroter flankiert haben<sup>153</sup>.

### Rekonstruktion des Volutenakroters der Front

83 Beim Versuch einer Rekonstruktion der Akrotere ist es angesichts des fragmentarischen Zustandes des Ganzen wohl ratsam, sich zunächst an bekannten Typen wie etwa den aeginetischen zu orientieren<sup>154</sup>. Das legt auch die enge Verbindung zum

148 Stege oder »Stützen zur Erzielung einer größeren Stabilität« sind vereinzelt an anderen westgriechischen Akroteren zu finden, in Kaulonia (Terrakotta) sowie in Lokri (Marmor) und Rosarno (Terrakotta): Danner 1997, 108 mit Anm. 489.

149 Nicht in den gleichen Fundzusammenhang zu gehören scheinen die drei Palmettenfragmente Mertens 1980, 344 f. mit Abb. 37 (oben Mitte und unten Mitte r. und l.). 38 (r.) = Danner 1997, 22 (»B«, »C 1«). 110 Taf. 6, 3. 5. Das erste ist zu altertümlich, die beiden anderen wiederum sind mit ihren scharfgratigen, im Fall des letzten Fragments auch noch leicht geflammten Blättern zu jung.

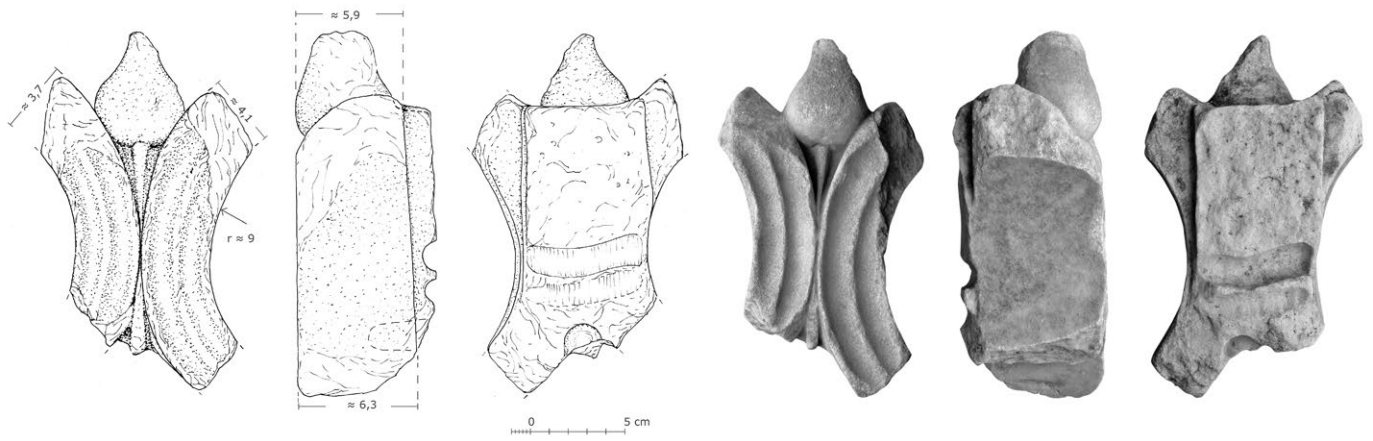
150 Hoffelner 1999, 87–92. – Der Wechsel von breiteren und schmaleren konvexen Palmettenblättern tritt nicht so häufig auf; er ist im lokalen Terrakottaschmuck etwa bei den Trauf-Palmetten der zeitlich kurz aufeinanderfolgenden Dächer H I und H II in Kroton (Mertens 1984b, 200–207 Taf. 23 c; 24 b) oder auch beim Mittelakroter am wenig späteren ionischen Tempel im Heiligtum von Metapont (Mertens 1979, 110) vertreten. – Überraschenderweise gibt es in Nordgriechenland sehr ähnliche Anthemien: ein marmornes – vielleicht von einem Akroter – im Museum von Thessaloniki (Triantaphyllos 1978, 314 mit Taf. 146 γ), ein Terrakotta-Antefix aus Abdera (Despinis u. a. 1997, 18 Nr. 3 [Inv. 6676] mit Abb. 6 [G. Despinis] und Kallintze u. a. 2015, 533 mit Abb. 6) sowie ein Terrakotta-Akroter (?) aus Dikaia (Bakalakis 1958, 65 mit Abb. 11).

151 Aegina: Furtwängler 1906, 357 f. (»zum Propylon [...] nach Fiechter ganz ausgeschlossen«) mit Abb. 284 Taf. 24, 1, der schon die enge Verwandtschaft zu samischen Stelen hervorhebt; Ohly 1978, 6. 32 f. Abb. 19 (»Firstakroter des Propylon, H. etwa 70 cm«). – Samos: Buschor 1933, 34–38 mit Beil. 13, 2–15, 1; ähnlich sind insbesondere die Palmetten von Gruppe V, die mittlerweile in Tsakos 2001, 459–463 etwas höher datiert wurden, in »polykratische« Zeit; vgl. damit die »nachpolykratischen Anthemien (520–500 v. Chr.)«: Freyer-Schauenburg 1974, 180–182; Gruben 2014, 26 f.

152 Die Palmette von Kat. 34 hat ebenfalls eine gewölbte Rückseite, aber keinen Grat einer Verstärkungsstütze. Sie ist deutlich abgesetzt zwischen die Ranken eingefügt (Abb. 30).

153 Das ebenfalls von Koren flankierte Volutengebilde von Apollonia ist inzwischen, auch wegen seiner geringen Breite von nur 40 cm, als Stelenanthemion erklärt worden: von Hesberg u. a. 2018, 112.

154 Vgl. Danner 1989, 37 f. – Für seinen Beitrag zur Rekonstruktion des Frontakroters bin ich Dieter Mertens sehr dankbar.



28



29



30



31

Abb. 28: Rankenfrgt. Kat. 27  
(M. 1 : 4)

Abb. 29: Rankenfrgt. Kat. 33  
(M. 1 : 4)

Abb. 30: Palmettenfrgt. mit Ranke  
Kat. 34 (M. 1 : 4)

Abb. 31: Palmettenfrgt. Kat. 35  
(M. 1 : 4)

figürlichen Giebelschmuck des Aphaia-Tempels sowie zu den postulierten Koren beiderseits des Volutenakroters nahe (s. u. § 108–114). Die hier vorgeschlagene Lösung lehnt sich eng an die drei typengleichen Modelle vom Aphaia-Tempel auf Aegina an; dies natürlich im Bewusstsein, dass nicht alle dokumentierten Fragmente zu einem, sondern wohl zu zwei unterschiedlichen Akroteren gehörten. 13 der insgesamt 16 gezeichneten Rankenfragmente gehen in den Rekonstruktionsvorschlag des einen Mittelakroters ein (Abb. 34)<sup>155</sup>. Die wichtigsten Stücke sind dabei die beiden kräftigen Rankenstämme Kat. 26 und 29 (Abb. 32. 90), das Mittelstück Kat. 27 (Abb. 28), die Palmette Kat. 34 (Abb. 30) und die Rankenverzweigung Kat. 23 (Abb. 33).

84 Beim letzten Stück ist zu beachten, dass die im Ansatz erhaltene Palmette nicht wie üblich *in* der Abzweigung liegt, sondern seitlich außerhalb der Ranke. Da Palmetten immer aus Rankenzwickeln entspringen, erfordert dies zwangsläufig die Ergänzung einer entsprechenden Gegenranke. An der Palmette Kat. 34 sitzt ein Stück Ranke, deren enger Windungsradius gegen eine Anordnung in der Mitte spricht; außerdem ist die Palmette in sich nicht ganz symmetrisch, sondern das linke Randblatt ist etwas breiter als das rechte, und der Krümmungsradius des Ansatzes der abgebrochenen Ranke links ist geringer als beim erhaltenen Stück rechts.

85 Beim Mittelstück Kat. 27 sprießt aus dem Rankenzwickel eine Lotusknospe auf dünnem Stiel, entsprechend nimmt die Dicke der rechten Ranke im Verlauf der Spirale nach unten ab. Im unteren Rankenzwickel entspringt ein ähnlicher Stiel, der aber offenbar in ein kleines Lanzettblatt mündet. Die Ranken sind insgesamt relativ schmal; das Fragment saß deshalb weiter oben am Volutenbaum. Die beiden kräftigen Rankenstücke Kat. 26 und 29 erklären sich in ihrer Anordnung weit unten am ›Basis-Stamm‹ von selbst.

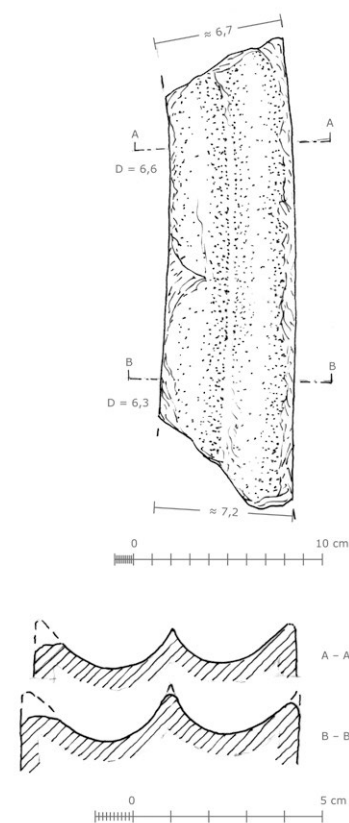
86 Im Gegensatz zu den Fragmenten mit Ranken ist der Spielraum für die Rekonstruktion der Palmetten in ihrer Dimension und Form größer. Wirklich sicher ist, wie bereits gesagt, nur die Zuordnung der Palmette Kat. 34 aus fünf breiteren und vier schmaleren gratigen Blättern. Auf ihrer Rückseite glatt und leicht konvex, fügte sich die Palmette als Ganze zwischen zwei Ranken. Anders sieht es beim Fragment Kat. 35 mit den Resten von vier breiteren konkaven Blättern und den dazwischenliegenden Lanzettblättern aus. Auf der Rückseite dieser Palmette scheint die Mittelachse von einer Stütze markiert zu sein, die nach oben spitz zuläuft. Damit ist es möglich, eine mindestens fünf-, hier siebenblättrige Palmette zu rekonstruieren. Die Stütze auf der Rückseite spricht für die Anordnung im unteren Bereich des Akroters, ebenso der Umstand, dass die Dicke des Fragments nach unten hin deutlich zunimmt.

87 In dem Rekonstruktionsvorschlag Abb. 34 ist für die beiden zentralen Palmetten, die aus dem Rest an Kat. 23 (Abb. 33) erschlossene<sup>156</sup> und die durch kein Fragment belegte bekrönende Mittelpalmette, der Typus der Seitenpalmette Kat. 34 zugrunde gelegt. Wie bereits vermutet, könnte Kat. 35 (Abb. 31) die unterste Mittelpalmette gebildet haben. Sie würde an dieser Stelle etwa die passende Größe haben, unter der Voraussetzung, dass die durch den Ansatz an der Rückseite von Mittelstück Kat. 27 (und entsprechend Kat. 33) belegte rückwärtige Stütze unten eine Aussparung aufwies, so wie das bei der im Löwenprofil gebildeten entsprechenden Stütze am Aphaia-Tempel

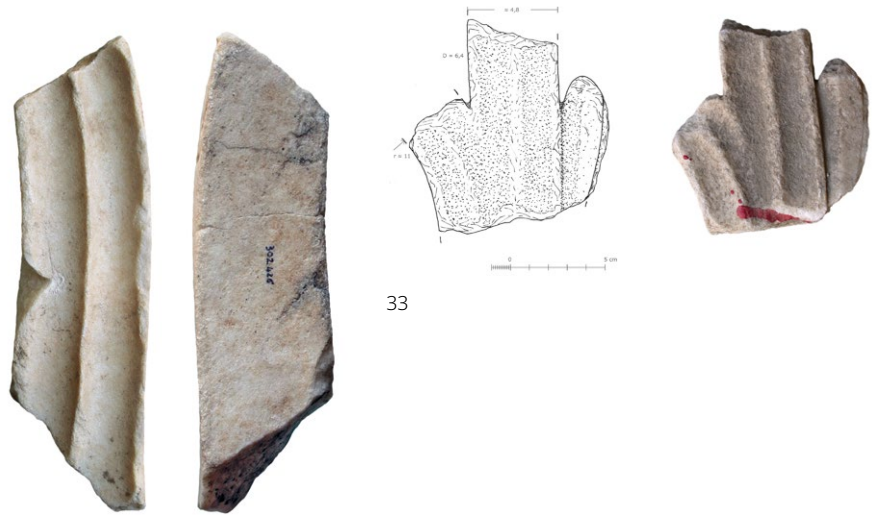
---

155 Nicht berücksichtigt sind das Mittelstück Kat. 33 und das Rankenfragment Kat. 30, die wohl vom Gegenakroter stammen, s. u. § 91–92.

156 Erhalten ist nur ein Blatt mit leichtem Grat; daraus lässt sich eine mindestens fünfblättrige Palmette ergänzen, die, wie hier vorgeschlagen, je neun schmalere und breitere Blätter oder auch gleich geformte Blätter hatte, wie z. B. die an der Außenkontur liegende Palmette an der Front des größeren Volutenakroters vom Artemis-Tempel auf Paros oder ähnliche Palmetten an den Volutenakroteren von *Sounion* (Danner 1989, 14 f. 38 f. Taf. 6 [Zeichnung von W. Mayr, danach Belli Pasqua 2008, 456 Abb. 1 d], entspricht Barello 1995, 97 und Hellmann 2002, 226 Abb. 326 [gutes Foto]; Danner 1997, 110), Kaulonia (Danner 1997, 16 f. [A 12]. 107 f. Taf. 3) und Dikaia in Thrakien (s. o. Anm. 150), die beiden Letzteren aus Terrakotta.



32



33

und auch an der Stütze des Artemis-Tempels von Paros der Fall ist<sup>157</sup>. Der Typus mit konkaven Blättern mit scharfem Rand, die durch ganz schmale Lanzetten getrennt werden, ist auf Aegina durch die Kalypterantefixe (dort allerdings nur gemalt<sup>158</sup>) und das große auf dem Altarplatz gefundene Kalkstein-»Firstakroter« belegt; nach diesem Vorbild sind die Voluten gezeichnet, aus denen die Palmette entspringt<sup>159</sup>.

88 In die Rekonstruktion sind auch die Rankenfragmente Kat. 19. 20. 21. 22. 24. 31 und 32 integriert (Abb. 85. 86. 87. 88. 89. 92. 93). An Kat. 19 spaltet sich an der äußeren, konvexen Kontur der Ansatz entweder eines Palmettenblatts oder einer Ranke oder auch – wie hier interpretiert – der Rest einer Zwickelknospe ab. Bei Kat. 21 setzt an der konkaven Innenseite wohl ein kleiner Steg an, der zwei der fragilen Ranken verband, ähnlich den kleinen Marmor-»Rotellen«, die an den aeginetischen Akroteren<sup>160</sup> und auch an den Rankenakroterfragmenten aus parischem Marmor vom frühklassischen Hera-Tempel bei Kroton vorkommen<sup>161</sup>.

Abb. 32: Rankenfrgt. Kat. 26 (M. 1 : 4 und 1 : 2)

Abb. 33: Rankenfrgt. mit Palmettenblatt Kat. 23 (M. 1 : 4)

157 Furtwängler 1906, 282 f. Taf. 34; Ohly I 1976, 6 Abb. 1; Bankel 1993, 49 Abb. 26; diese Stütze ist schon in den ersten Rekonstruktionen aus dem frühen 19. Jh. dargestellt, s. Reinhardt 2018, 12 f. mit Abb. 6 (das Mittelakroter aber noch zu niedrig). – Paros, Artemis-Tempel: Ohnesorg 1991, 126 f. mit Abb. 55 Taf. 87.

158 Gutes Foto in Ohnesorg 1993, Taf. 73, 3.

159 Zum aeginetischen Anthemion s. o. Anm. 151. An den Mittelakroteren des Aphaia-Tempels wurden die untersten Mittelpalmetten über Blattpaaren rekonstruiert, die offenbar durch ein Fragment mit allerdings mittlerer Knospe belegt sind: Ohly 1978, 22 Abb. 9.

160 So nennt Ohly II–III 2001, Taf. 215, 3 diese Verbindungselemente; Fiechter 1906, 283–286 schreibt »Stützapfen« oder »Stützköpfe«; das einzige vollständige Exemplar und die rekonstruierten »Rotellen« sind abgebildet bei Furtwängler 1906, Taf. 49–54; Ohly I 1976, Beil. B (danach Ohnesorg 1991, 124 Abb. 56). C und Ohly II–III 2001, Taf. 218 Beil. H.

161 La Rocca 1996, 92; Ruga 1996; Danner 1997, 19 f. (A 18. A 19). 107. 110 Taf. 4, 3; 5, 1; an Fragment A 18 [2] »puntelli« beobachtet. – In den Rekonstruktionen des Akroters von Kroton durch Belli Pasqua 2008 und Belli Pasqua 2009 und Bavaro – Passarelli 2009 sind (fast) alle Fragmente vereint; aber die Basen unterscheiden sich.



34

Abb. 34: Mittelakroter mit Volutenranken, Rekonstruktionsvorschlag (zu den Koren s. Abb. 37. 94) (Zeichnung M. 1 : 10)

(Abb. 29), welches nur eine Mittelposition analog zu Kat. 27 eingenommen haben kann. Es unterscheidet sich, ebenso wie Kat. 30, von Letzterem auch durch seine geringere Dicke. Diese Unterschiede, vor allem die größeren Radien der Ranken, und die generell andere Gestaltung zeigen, dass Kat. 33 anders aufgebaut war als Kat. 27. Das Fragment ist vor allem ausgezeichnet durch ein ungewöhnliches Paar konkaver Blätter mit Mittelkerben (Blattknospen?) und ein knappes, knaufartiges Zwickelblatt. Kat. 33 könnte daher das Mittelstück der unteren Etage mit nach innen gewundenen Rankenspiralen gewesen sein, dem nach oben möglicherweise nur mehr *ein* Spiralaar gefolgt wäre.

92 Die Ranke von Kat. 30 ist zwar genauso breit wie die von Kat. 33, aber an einem Ende leicht verbreitert, zudem ist sie dicker und hat einen kleineren Radius, gehört also allenfalls an die Mittelpalmette, die *oberhalb* des Mittelstücks Kat. 33 an-

89 Hier ist noch ein nur durch ein Foto bekanntes Marmorfragment zu erwähnen, das wohl eine solche Rotelle dokumentiert, aber nicht genau unterzubringen ist, da seine Maße nicht bekannt sind<sup>162</sup>.

90 Die Rekonstruktion des Volutenbaumes aus diesen Fragmenten erreicht, von der Standfläche der Koren aus gemessen, die beträchtliche Höhe von ca. 1,45 m, die aber noch gut im Rahmen des von Danner ermittelten Spielraumes bleibt<sup>163</sup>. Die Höhe des Akroters dürfte zusammen mit seinem an die Giebelneigung angepassten Sockel ca. 1,70 m betragen haben, die Breite ca. 1 m, seine Tiefe kann nur ungefähr, am ehesten nach dem Modell des Aphaia-Tempels, geschätzt werden<sup>164</sup>: jedenfalls ein gewaltiger Block, der beschafft, transportiert und zu dieser großartigen Gestalt gearbeitet werden musste.

#### Das zweite Akroter

91 An einem Tempel des frühen 5. Jhs. ganz allgemein, im vorliegenden Fall eines Doppelantentempels aber mit noch mehr Begründung, ist mit Akroteren auf beiden Giebeln zu rechnen. Einige der im vorliegenden Rekonstruktionsvorschlag angeordneten Rankenfragmente können daher auch zum postulierten Akroter der Gegenseite gehören, vor allem aber die nicht verwendeten Kat. 25, evtl. Kat. 28 und Kat. 30 (Abb. 91). Ganz sicher gilt dies für das Fragment mit Palmette Kat. 33

162 Inv. 302203; das Stück ist aktuell nicht aufzufinden.

163 Zu den Maßverhältnissen der Akrotere im Verhältnis zu den Baumaßen s. Danner 1989, 69. 88 f. Ein Verhältnis ca. 5 : 4 zur Tympanonhöhe ist geläufig; vgl. Vitruvius 3, 5, 12.

164 s. dazu auch Fiechter 1906, 42 Taf. 47. 49; Bankel 1993, 49 Abb. 26.

zunehmen ist. Das gesamte Akroter wäre, auch wenn es drei Etagen aufweist, insgesamt etwas niedriger als das erste<sup>165</sup>.

### Eckakrotere

93 Auch für die Eckakrotere wird man zunächst nach einem Muster, am ehesten wieder auf Aegina, suchen. Dort sind es, wie in vielen anderen Fällen, Sphingen. Tatsächlich gibt es auch unter den Metapontiner Skulpturfragmenten Stücke, die am ehesten von Eckakroter-Sphingen stammen (s. u. § 115–119).

### Das Dach als Ganzes

94 Das Dach aus parischem Marmor des Tempels C II ist somit gut belegt durch seine Simen, Teile der Deckung und der Akrotere. Während Letztere ganz dem Modell des Aphaia-Tempels folgen, unterscheiden sich die Traufen: auf Aegina Stirnziegel mit Palmetten auf Hegemonen, in Metapont eine Löwenkopfsima. Bei ca. 36 cm Höhe passen von den ungefähr 60 cm breiten Traufsimaplaten (und -stroteren) 41 Einheiten (24,60 m) auf das mit 25,90 m Gesamtlänge ermittelte Traufgeison. Demnach waren die abschließenden Eckplatten bzw. Giebelsimaziegel ca. 65 cm breit. Unwahrscheinlicher ist die Lösung mit 42 Einheiten, weil die Eckplatten/Giebelsimaziegel dann nur ca. 35 cm breit gewesen wären<sup>166</sup>. Die Länge bzw. Breite der untersten, irgendwie mit einem Eckkasten oder -block zusammen gearbeiteten Giebelsimaplaten betrug 80 cm; die Breite der übrigen Giebelsimaplaten, geht man vom fast ganz erhaltenen Kalypter Kat. 18 mit 86,5 cm Achslänge aus (s. o.), war etwas größer.

95 Unklar ist das Aussehen dieser Eckkästen am Übergang der Giebel- zur Traufsimas. Beide Simen wurden zwar ungefähr gleich hoch rekonstruiert, sind aber leicht unterschiedlich profiliert<sup>167</sup>. Der Vergleich mit anderen spätarchaischen marmornen Dachrändern des Mutterlandes zeigt zwei Varianten: identische Simaprofile, die der Traufe mit Löwenköpf-Wasserspeiern versehen, Eckkästen ebenfalls mit Löwenköpfen, keine Probleme mit der Verschneidung<sup>168</sup>; oder unterschiedliche Simaprofile, die der Traufe manchmal mit Röhren-Wasserspeiern, ebenfalls Eckkästen mit Löwenkopf, der so gestaltet ist, dass er zwischen den Profilen vermittelt<sup>169</sup>. Die erste Lösung liegt auch beim Marmordach des Tempels A von Selinunt vor<sup>170</sup>. In Terrakotta-Form ist vor allem die erste Lösung auch vielfach in Großgriechenland zu finden, z. B. bei den unmittelbar benachbarten Tempeln A und B des Heiligtums von Metapont oder auch beim frühklassischen Tempel von Kaulonia<sup>171</sup>. Weil es aber beim Marmordach von Metapont zu viele Imponderabilien gibt, wurde auf eine zeichnerische Rekonstruktion der Dachecke verzichtet.

---

165 Ein geringfügig niedrigeres, aber vor allem schmaleres Mittelakroter an der Rückseite ist auch bezeugt für den Artemis-Tempel im Delion von Paros: Ohnesorg 1991, 132 f. mit Taf. 87; Schuller 1991, Taf. 97–101 (am Akroter der Rückseite wäre ein unteres Volutenpaar zu ergänzen).

166 In diesem Fall könnten die untersten Giebelsimaziegel an den Ecken mit den benachbarten Traufsimaziegeln zusammen gearbeitet und den Boden eines 95 cm breiten Eckkastens gebildet haben, vergleichbar der Lösung am naxischen Tempel von Sangri: Ohnesorg 1993, 71 f. mit Taf. 8.

167 Es ist zwar möglich, die Giebelsima mit einem Wellensimaprofil zu rekonstruieren, aber die untere Profilierung unterscheidet sich von dem spitzen Winkel an der Traufsimas, der aus dem Unterkieferfragment des Löwenkopf-Wasserspeiers Kat. 6 zu schließen ist.

168 Dazu gehören die Schatzhäuser von Delphi: Ohnesorg 1993, 23–25. 37 f. 86 f. mit Taf. 21 (Sonderlösung beim Schatzhaus von Siphnos; s. auch Daux – Hansen 1987, 216 f. 224–229 Abb. 132–137).

169 Hier sind der sog. Tempel der Alkmäoniden in Delphi und der Athena-Tempel auf der Athener Akropolis zu nennen: Ohnesorg 1993, 38–42. – Häufiger sind separate Eckkästen mit Löwenköpfen an (Marmor-)Dächern mit Stirnziegeln an der Traufe anzutreffen.

170 Knechtel 2023.

171 Orsi 1914, Taf. 3. 4 (Rekonstruktion von R. Carta).

96 Die Dachfläche des Tempels C II selbst dürfte aus Terrakotta bestanden haben, denn wir kennen, wie oben betont, nur Fragmente von marmornen Traufstroteren. Der lange Kalypter Kat. 18, der nachweislich nicht direkt an der Traufe angeordnet werden kann, dürfte zur ersten Reihe hinter dem Giebel gehören, die die Fuge zwischen dem Giebelsima-Stroter und dem ersten tönernen Normalstroter deckte. Diese schwereren marmornen Marmorkalyptere würden die Giebelsimaziegel besser sichern und lägen mit ihrem Gewicht noch ganz auf dem steinernen Schräggeison.

97 Ob es Firstziegel mit Palmetten gab wie etwa beim Marmordach des Tempels A in Selinunt<sup>172</sup>, ist ungewiss; ggf. waren sie aus Terrakotta wie beim aeginetischen Aphaia-Tempel. Davon haben sich jedoch keine Fragmente gefunden. Es konnten allerdings auch keine Fragmente der tönernen Dachhaut identifiziert werden. Das ist vor allem in der besonderen Fundsituation der in einem Kalkofen versammelten Marmorfragmente begründet.

98 Auch wenn die Dachhaut aus Terrakotta und nur der Dachrand aus Marmor war, bedeutete die Herstellung des Daches einen großen Aufwand. Bei einer Gesamtlänge der Traufsima von 51,80 m und der Giebelsima von 23,60 m, ihren Höhen von ca. 36 cm und den Tiefen der einzelnen Blöcke von wenigstens 1,10 m (Traufe) bzw. ca. 0,75 m (Front)<sup>173</sup> in den Ausführungsmaßen ergibt sich ein Gesamtvolumen von ca. 24 m<sup>3</sup> und ca. 67 t Gewicht, ohne Werkzoll und die für den Transport unerlässliche Bosse<sup>174</sup>. Hinzu kommen die schon hervorgehobenen großen Maße der Mittelakroterblöcke.

## Einordnung

99 Wegen des gleichen Marmors aus den Brüchen von Paros und der handwerklichen Eigenschaften gehen wir davon aus, dass Bestellung und Fertigung des Daches und des figürlichen Schmuckes in engem Zusammenhang standen.

100 Zunächst zur Einordnung des Daches und der Akrotere: Das korinthische oder Wellensimaprofil der Traufsima ist ein gängiges und tritt ab spätarchaischer Zeit das ganze 5. Jh. hindurch auf, und zwar sowohl im Mutterland einschließlich der Kykladen als auch in Großgriechenland<sup>175</sup>, hier vorwiegend in Terrakotta. Dabei scheint es keine große Rolle zu spielen, ob es sich um eine »abgesetzte Welle« handelt oder um eine Welle mit weichem Übergang vom Simasockel in den profilierten Teil wie an der marmornen Traufsima aus Metapont<sup>176</sup>. Im Laufe des 5. Jhs. ist zwar eine gewisse Entwicklung zu steileren, weniger prononcierten Profilformen mit geringerem Anteil der »Welle« zu beobachten, doch ist das für die hier besprochenen Stücke ohne Belang. In etwa derselben Zeit, im letzten Viertel des 6. und im ersten Viertel des 5. Jhs., wurde die Hohlkehle, mit der das Giebelsimaprofil auch rekonstruiert werden könnte, verwendet.

101 Möglicherweise haben die großen Terrakottasimen, mit denen die beiden peripteralen Haupttempel des Stadtheiligtums von Metapont ungefähr gleichzeitig mit dem Marmordach des Tempels C neu ausgestattet wurden, die Wahl des Grundtypus des mit Löwenkopf-Wasserspeiern geschmückten Traufrandes mit Wellensima mitbe-

---

172 Knechtel 2023.

173 Unter Berücksichtigung der Auskrägung der Löwenköpfe und des Giebelsimaprofiles.

174 Herrmann 2000, 383 f. stellte interessante Berechnungen für das benötigte Volumen und Gewicht parischen Marmors für Dachrand und Dachhaut des Zeus-Tempels von Olympia an und kam auf ein Gesamtgewicht des Rohmaterials von ca. 435 t, mit Bosse 1.300 t, also etwa das Dreifache! – Zum Transport des Materials des Siphnier-Schatzhauses nach Delphi (160 m<sup>3</sup>, 450 t) s. Schuller 1991, 90.

175 Mertens-Horn 1988, 195; Ohnesorg 1993, s. o. Anm. 130; Rocco 2008, 305 f.

176 Vgl. o. Anm. 132.

---

stimmt<sup>177</sup>. Der Aphaia-Tempel mit seinem einfacheren Traufrand mit Kalypterantefixen kann jedenfalls nicht das Modell dafür geliefert haben. Aber es gab, wie gesehen, auch im Mutterland und auf den Kykladen Beispiele für Wellensimen, tendenziell sogar etwas früher<sup>178</sup>. Einen Höhepunkt bildete dann das frühklassische Dach des Zeus-Tempels in Olympia<sup>179</sup>.

102 Die genannten Simen der Tempel A und B von Metapont sind, zusammen mit den ebenso reich geschmückten Geisonverkleidungskästen, wohl eher aus einer westgriechischen Tradition zu verstehen: einerseits das Material Terrakotta, das gerade in Metapont noch kurz zuvor zu besonders aufwendigen Dachrandverkleidungen geführt hatte, andererseits das Motiv der Löwenköpfe, welches die ersten großen Steinsimen in Sizilien bestimmte<sup>180</sup>, deren Profile aber ihrerseits noch ihre Genese aus den reichen Terrakottakästen und -simen verraten<sup>181</sup>. So verwundert es nicht, dass auch die zugewanderten aeginetischen Meister dieses Grundmotiv, das gerade in Metapont durch so eindrucksvolle Beispiele vertreten ist, gern aufnahmen. Nach Ausweis der Witterungsspuren, die auf der oberen ›Welle‹ noch deutlich einen kräftigen dorischen Blattstab aus vermutlich roten und schwarzen Blättern und Blattschalen<sup>182</sup> erschließen lassen, wird auch der Dekor mit einem aufgemalten Lotosblüten- und Palmettenband zwischen den Löwenköpfen sowie einem Mäander auf der oberen Leiste demjenigen auf den Terrakottasimen<sup>183</sup> sehr ähnlich gewesen sein. Die für die Datierung und stilistische Einordnung wichtigen Fragmente der Löwenköpfe werden unten behandelt (§ 120–124).

103 So bleiben zur Einordnung des marmornen Dachschmuckes des Tempels C II vor allem die Bestandteile von Volutenakroteren. Die Rankenfragmente gehören sämtlich zum selben durch die Kehlung mit Mittelrippe gekennzeichneten Typus. Nach Ausweis der Fragmente Kat. 27 und 33, die beide nur an die gleiche zentrale Stelle gehört haben können, sowie der unterschiedlichen Dicke von gleich breiten Rankenelementen sind zwei verschiedene, wohl etwas unterschiedlich hohe, aber in die gleiche Zeit zu setzende Akrotere zu rekonstruieren, die Mittelakrotere beider Fronten des Tempels.

104 Davon ließ sich das größere Akroter, das wohl die Ostfront bekrönte, versuchsweise nach dem Grundmodell der Akrotere des Aphaia-Tempels rekonstruieren (Abb. 34. 35). Dasjenige des aeginetischen Ostgiebels, des fortschrittlichsten der drei Exemplare<sup>184</sup>, kommt ihm dabei im Gesamtaufbau am nächsten; die das Akroter flankierenden Korenfiguren unterstreichen das noch (s. u. § 108–114). Lediglich in der Form der Palmetten gibt es leichte Unterschiede, und zwar durch eine gewisse Bereicherung oder Variation unter den wenigen, aber sehr qualitätvollen Fragmenten aus Metapont. Im Gegensatz zu den gleichförmig kräftig gestalteten Blättern auf Aegina setzt sich die Palmette Kat. 34 aus abwechselnd wulstigen Hauptblättern und schmaleren, lanzettförmigen Blättern zusammen. Das der unteren Mittelpalmette zugewiesene Fragment

---

177 Mertens-Horn 1988, 119. 195 Kat. 38 Taf. 75 und Beil. 2; Mertens 2006, 302–305.

178 Es ist allerdings hervorzuheben, dass die beiden sicher älteren Wellenprofile die *Giebelsimen* der entsprechenden Tempel schmückten, s. o. Anm. 130.

179 Willemsen 1959; Mertens-Horn 1988, 61–67; vgl. auch die Löwenkopfsima des frühklassischen Apollon-Tempels in Isthmia: Broneer 1971, 90 f. Taf. 33 d. e; 35 b.

180 Mertens-Horn 1988, 84–114.

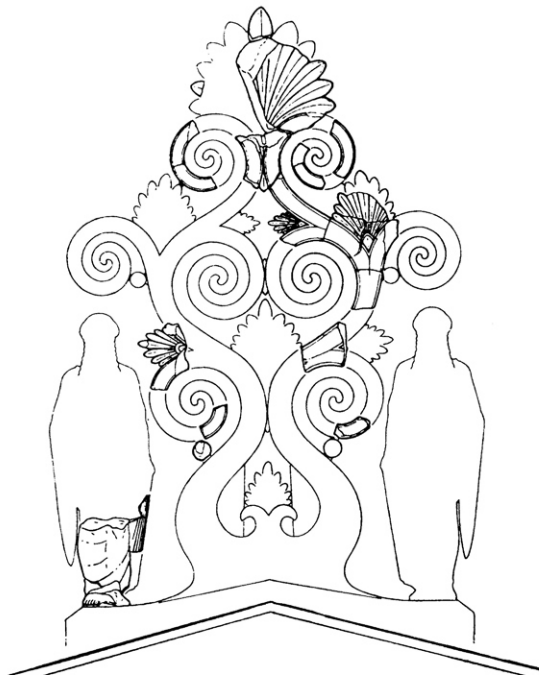
181 Mertens 1984a, 141–143 Beil. 33; Amara 2020a.

182 Die unversehrten glatten Teile zeugen von der besser schützenden, oft roten Farbe, die raueren von der eher verwitterten Farbe, vielleicht Schwarz – oder Blau?, s. Brinkmann 2003, 27 f.

183 An den Terrakottasimen erleichterte die Matrizenfertigung die plastische Ausführung der Blüten und Ranken.

184 Fiechter 1906, 290–293 mit Taf. 51–53; Ohly I 1976, Beil. B. C. E; Ohly 1978, 22 Abb. 9.

---



35

Abb. 35: Akrotere Delion Paros, Aegina Ost, Metapont Tempel C II (ohne festen, aber in gleichem Maßstab)

Kat. 35 hat noch vier konkave Blätter, die zu sieben Blättern ergänzt wurden, dazwischen gratige Lanzettblätter, die bis zum Palmettenkern reichen<sup>185</sup>.

105 Die schon mehrfach zum Vergleich herangezogenen pflanzlichen Mittelakrotere des Artemis-Tempels im Delion von Paros, am Herkunftsort des Marmors und sicher von lokalen Werkleuten errichtet, sind weniger gut erhalten<sup>186</sup>. Sicher ist, dass die Voluten der untersten Etage, im Gegensatz zu allen drei aeginetischen Akroteren, zur Mitte hin aufgerollt sind; die Voluten der nächsten Etage vermutlich auch und nur die der obersten nach außen. Dadurch ist der ganze Aufbau etwas gedrungener; die rekonstruierte Höhe beträgt, von der Basis an, kaum über 1 m – der Bau ist allerdings auch viel kleiner. Die Eckakroter-Sphingen erreichen die beträchtliche Höhe von 70 cm. Die seitliche Palmette gleicht manchen aeginetischen, während die Mittelpalmette mit konzentrisch übereinanderliegenden Blattfächern besonders reich gebildet ist; ihre geringe Dicke bezeugt eine dritte Volutenetage. Vom Mittelakroter der Tempel-Rückseite ist nur die Basis bekannt, deren beide unteren Volutenetagen genauso wie die der Front zu rekonstruieren sind. Diesem Akroter konnten keine Ranken- oder Palmettenfragmente zugewiesen werden.

106 So hat sich in Metapont wohl der Bezug auf lokale Tradition und Formerbe vor allem in der – vielleicht gar im Bauauftrag vorgegebenen – Adoption des Grundtypus des Traufrandes mit Löwenkopf-Wasserspeiern erschöpft, während der Stil unverwechselbar derjenige der in Paros und Aegina tätigen Werkleute ist. Dabei meinen wir aber zugleich eine gewisse Weiterentwicklung des Modells zu erkennen – immer vorausgesetzt, dass man unserer Rekonstruktion folgt. Diese lässt nämlich nach den Fragmenten Kat. 26. 29. 23 und 20 nur eine merklich gestrecktere und dabei weniger kompakte Lösung als beim Modell des aeginetischen Ostgiebels zu.

185 Gruben 2014, 5–9. 23 (»als bedeutende Neuerung [am Kapitellschmuck des zweiten Dipteros von Samos] laufen die Zwischenspitzen bis zum Kern durch«) Taf. 3, bes. Taf. 8; 26 mit Anm. 31. – Sehr ähnlich auch die Stirnziegel des samischen Südbaus, zuletzt Ohnesorg 2009, 62 mit Abb. 18 und Taf. 9, 6. 7; S. 114.

186 Ohnesorg 1991, 120–127. 130–133 mit Taf. 84. 87. 88. 94. 95; vgl. Anm. 164.

# Die figürliche Plastik

von Madeleine Mertens-Horn

107 Wie in der Einleitung dargelegt, gehen wir bei der Vorlage der figürlichen Fragmente aus parischem Marmor<sup>187</sup>, die sich von den übrigen Skulpturfunden in Metapont<sup>188</sup> vor allem durch ihre außergewöhnliche bildhauerische Qualität, die Größenordnung<sup>189</sup> und den Stil als eigenständige Gruppe unterscheiden, von der Hypothese aus, dass sie von Handwerkern gefertigt worden sind, die zuvor am Aphaia-Tempel auf Aegina tätig waren und anschließend in Metapont mit der Ausstattung des neuen Tempels C II betraut worden sind. Diese These ist im Folgenden durch eine genaue Analyse zu überprüfen. Sie schließt an die Untersuchung der marmornen Bestandteile des Dachschmuckes an, die mit dem Rekonstruktionsvorschlag des mittleren Volutenakroters, mutmaßlich von der Ostfront des Tempels, einen ersten wichtigen Hinweis auf die genaue Kenntnis des Modells vom Aphaia-Tempel von Aegina geliefert hat (Abb. 36).

## Akroterfiguren

### Die Koren des Mittelakroters

108 Da der als Modell erachtete Palmettenbaum (s. o. § 83–90) des Mittelakroters auf Aegina, wohl einer attischen Tradition folgend<sup>190</sup>, auf beiden Seiten von symmetrisch gebildeten Koren flankiert war, darf man bei dem Werk desselben Ateliers am Tempel in Metapont eine entsprechende Gruppe erwarten. Tatsächlich ist von einer kleinen, einst knapp einen halben Meter hohen und durch tiefe Verwitterung sehr mitgenommenen weiblichen Figur (Abb. 37) die hintere Hälfte der rechten Schulter mit einem Teil des Rückens erhalten, sowie vorn die entsprechende kleine Partie auf Brusthöhe. Der Mantel ist im Rücken in flache Falten gegliedert, die fest aufeinanderliegen und zur Seite hin unmerklich schmaler werden. In der Mitte ist eine etwa handbreite Zone glatt ausgespart. Die winzige einigermaßen erhaltene Zone auf der Vorderseite umfasst noch eine der leicht gekehlten Stofffalten, die bei der ionischen Tracht in der Tiefe zwischen dem Schrägmäntelchen unter der rechten Brust und der Armbeuge verliefen. Diese in der Senke geschützte Stelle ist wichtig, weil ihr Verlauf von rechts unten nach links oben

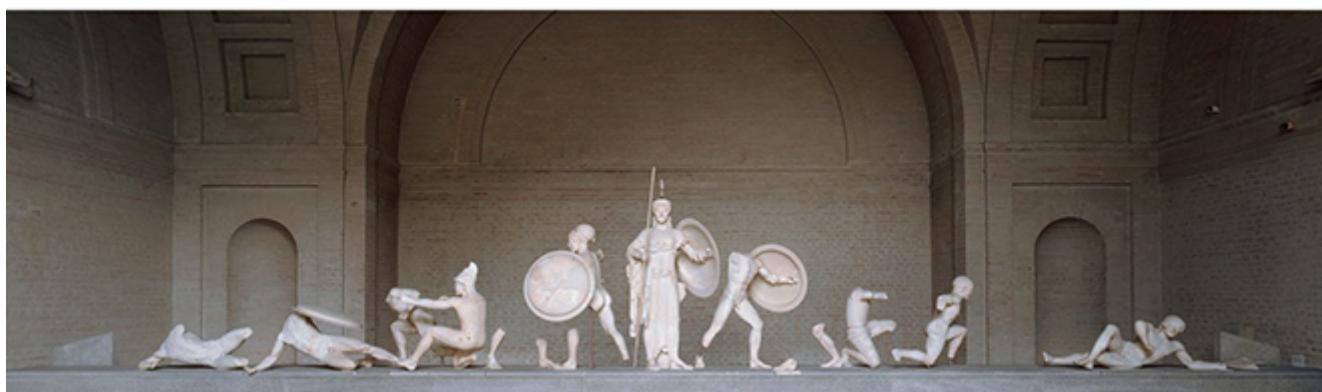
---

187 Nach meiner Arbeit zu den archaischen Baufriesen aus Metapont (Mertens-Horn 1992) bewog mich besonders der Direktor des Museums von Metapont, Antonio De Siena, zum systematischen Studium der Metapontiner Plastik und förderte diese Arbeit seitdem in einer Weise, für die ich ihm hier besonderen Dank abstatten möchte. Zum Marmor: De Siena u. a. 2002, 307 f.; Lazzarini 2007, 31–38.

188 Nach Paribeni 1974, 148–150, Orlandini 1983, 437 f. und De Juliis 2001, 192–196, die schon auf einige der bedeutendsten Fragmente aufmerksam gemacht und ihre hohe Qualität erkannt hatten, hat sich Urte Steininger (Steininger 1996, 81–142) ausführlicher mit der Metapontiner Großplastik befasst, ehe Gianfranco Adornato (Adornato 2010b, 310–313; Adornato 2019b, 458–460) sich auf die Marmorskulptur konzentrierte. Aber auch diese Arbeiten blieben auf die ansehnlichsten Stücke beschränkt und konnten die vielen kleinen und unscheinbaren, aber dennoch aussagekräftigen Fragmente nicht einbeziehen, die erst nach und nach aus ihren Grabungskontexten herausgelesen werden mussten und dann in ihrer Bedeutung für unsere Argumentation erkannt wurden. – Im Laufe unserer Arbeit ließen sich unter den weit über hundert Fragmenten von weiblichen und männlichen Statuen und Tierfiguren einige Stücke annähernd rekonstruierbaren Einzelstatuen zuordnen, die Köpfe lassen auf bestimmte motivisch und ikonographisch charakteristische Figuren schließen. Fragmente mit archaischen Faltenresten heben sich klar von solchen in spät- und nachklassischen Gewändern ab, Teile von Statuen natürlicher Größe sind von den überlebensgroßen und von den kleinen zu scheiden. – Eine abschließende Arbeit dazu ist in Vorbereitung, s. vorläufig die kurze Skizze in Mertens-Horn 2001, 71–88.

189 Zur Verifizierung der Größenverhältnisse sind alle aussagekräftigen Stücke in Naturgröße gezeichnet worden und werden in einheitlichem Maßstab (1 : 4) im Katalog abgebildet.

190 s. Anm. 195.



36

Abb. 36: Giebel des Aphaia-Tempels auf Aegina, Aufstellung in der Glyptothek in München, oben: Ostgiebel, unten: Westgiebel

ein Hinweis darauf ist, dass das Fragment, in Analogie zum Aphaia-Tempel, zu der – von vorn gesehen – linken Kore des Firstakroters gehört<sup>191</sup>.

109 Hinten verlaufen die Falten so gerade, dass der schwere Mantelstoff den Körper kaum zu berühren scheint, weshalb sich dieser nicht unter ihm abformt. Damit ist hier stilistisch die spätarchaische Entwicklungsstufe der Koren des Westgiebels des Aphaia-Tempels überwunden, an denen die Falten noch dicht am Körper anliegen (Abb. 37). Von den vergleichbaren Mädchen des Firstakroters des jüngeren Ostgiebels des Aphaia-Tempels sind leider nur die untere Hälfte des rechten<sup>192</sup> und die Plinthe mit den Füßen des linken Mädchens erhalten, so dass kein direkter Vergleich möglich ist; dennoch ist am genannten Unterteil zu erkennen, dass auch hier der Mantelstoff schon loser am Körper hinunterfiel.

110 Das lange Haar des Fragments in Metapont fällt als breite, einschichtige und unten halbrund endende Bahn tief auf den Rücken hinunter. Die einzelnen schnürchenförmigen Strähnen verlaufen höchst ebenmäßig in parallel gewelltem Fluss; noch ist zu erahnen, dass sie in der ursprünglichen perfekten Ausführung der Oberfläche eine weich flimmernde Fläche gebildet haben. Am nächsten steht diese Gestaltungsweise des Haares derjenigen des glänzend erhaltenen Sphinxkopfes, der wohl für das nordöstliche Seitenakroter des Aphaia-Tempels geschaffen wurde (Abb. 38 rechts). Eine vergleichbare lange einschichtig flache Haarbahn auf dem Rücken, die in lauter gleiche schnürchenartige und parallel gewellte Strähnen gegliedert ist, findet sich z. B. auch an der späten Kore von der Akropolis (Akro. 615), die von Langlotz 490/480 datiert wurde<sup>193</sup>.

191 Die einem älteren Formenkanon angehörenden Mädchen des Westgiebel-Akroters stehen der wohl im letzten Jahrzehnt des 6. Jhs. oder um 500 entstandenen Akropoliskore 674 nahe (Maderna-Lauter 2002, 249 Abb. 317 a–c; Karakasi 2001, 161 Taf. 178. 179).

192 Vgl. Ohly II–III 2001, Taf. 209.

193 E. Langlotz in: Schrader 1939, 106 f. Nr. 56 Taf. 82. 83; Richter 1968, Nr. 125 Abb. 401–404.



Abb. 37: Akroterkore, Oberkörperfrgt., oben links: Rückseite, oben rechts: Vorderseite, unten links: Aegina W., Mittelakroter (= Ohly II–III 2001, Taf. 199), unten rechts: Aegina W., I. Kore (= Ohly II–III 2001, Taf. 202)

37

111 Ein weiteres, nur 11 cm langes Fragment (Kat. 37; Abb. 38 links) ist wahrscheinlich Teil des Oberkopfes einer der Akroterkoren. Es umfasst nur eine kleine Partie nahe am Scheitelpunkt, von dem die Haarsträhnen strahlenförmig in höchst regelmäßigem wellenförmigem Duktus ausgehen. Die Übereinstimmung mit dem Kopf der eben erwähnten Sphinx des Aphaia-Tempels ist unübersehbar. Kat. 37 zeigt besonders gut, wie das Haar des Korenfragments Kat. 40 ursprünglich aussah.

112 Das Fragment Kat. 38 (Abb. 39 oben) von einem Vorderarm mit Bohrloch kann nach den Größenverhältnissen nicht zu den Giebelfiguren gehören, wohl aber ebenfalls zu einer der Akroterkoren<sup>194</sup>. Der Arm ist genau an der Stelle abgebrochen, an der auf seiner Oberseite die Mantelfalten der Armbeuge lagen, von denen noch ein minimaler Rest erhalten ist. Das Bohrloch an der vorderen Bruchfläche zeigt, dass die Hand zusammen mit dem von ihr gehaltenen Gegenstand – einer ideell auf den Palmettenbaum zu beziehenden Blüte oder einer Frucht – einzeln gearbeitet und mit einem dünnen Stift aus Marmor oder Bronze befestigt war. Dieselbe technische Vorgehensweise ist auch

194 De Luca 1964, 47–52.



38



39



40



Abb. 38: Akroterkore, links: Haarfrgt. Kat. 37, rechts: Aegina O., r. Sphinx (= Ohly II–III 2001, Taf. 223)

Abb. 39: Akroterkore, oben: Armfrgt. Kat. 38, unten: Aegina W., l. Kore (= Ohly II–III 2001, Taf. 201)

Abb. 40: Akroterkore, links: Fußfrgt. Kat. 39, rechts: Aegina W., l. Kore (= Ohly II–III 2001, Taf. 201)

an der gut erhaltenen Akroterkore des Westgiebels des Aphaia-Tempels (Abb. 39 unten) zu beobachten.

113 Die Zuschreibung des kleinen Fragments eines leicht vorgestellten linken Fußes (Kat. 39; Abb. 40 links) an eine Akroterkore erfolgt aufgrund der Tatsache, dass seine Plinthe mit knapp 3 cm deutlich weniger hoch ist als bei den Giebelfiguren (s. u. § 113). Bei den entsprechenden Akroterkoren des Aphaia-Tempels (Abb. 40 rechts) ist der vorgestellte Fuß jeweils symmetrisch dem Palmettenbaum nahe, deshalb hätte unser kleines Stück – von vorn gesehen – einer linken Kore entsprochen und könnte somit zu der gleichen Figur gehört haben wie Kat. 36. Wie am Fußfragment einer größeren weiblichen Figur (Kat. 51), die wohl in der Mitte des Giebels stand, ist hier keine Sandalensohle angegeben; eine Erklärung dafür ist nicht bekannt, es handelt sich aber um ein verbreitetes Phänomen.

114 Als ältestes Mittelakroter in Gestalt eines Volutenbaumes mit nachträglich zugefügten flankierenden Mädchen gilt nach dem heutigen Forschungsstand dasjenige, welches das Dach des alten Athena-Tempels auf der Akropolis bekrönte<sup>195</sup>. Es dürfte sich dabei um einen gemäß der Kunst der Zeit stilisierten Olivenbaum handeln<sup>196</sup>, am

195 Korres 1997, 234–236; Kissas 2008, 90; Ohnesorg 2010.

196 Himmelmann 2005.



41

ehesten um denjenigen, den Athena nach dem Mythos an der Stelle im Temenos des Pandroseions pflanzte, an der sie im Wettbewerb mit Poseidon um die Rolle als Schutzgöttin von Athen ihren Speer in den Boden gerammt hatte. Die Koren an seiner Seite wären dann wohl als die jungen Priesterinnen aufzufassen, in deren Obhut der heilige Baum stand. Am Aphaia-Tempel auf Aegina ist die Bedeutung der Athena angesichts ihrer Rolle in den beiden Giebeln eindeutig<sup>197</sup>, eine analoge Deutung der Akroterkoren läge daher nahe.

### Die Sphinx des Seitenakroters

<sup>115</sup> Eine gute Begründung ist notwendig für die Zuweisung des nur 12 cm hohen Köpfcchens Kat. 40 (Abb. 41 oben) an ein Seitenakroter in Form einer Sphinx, besonders weil der schlechte Erhaltungszustand die Beurteilung der Qualität erschwert. Der senkrechte Bohrgang für den Meniskus und die tiefgreifende Verwitterung der Haaroberfläche können als Hinweise darauf verstanden werden, dass die Figur zum plastischen Schmuck des Daches gehörte.<sup>198</sup> Zwei besondere Auffälligkeiten, die leichte Kopfdrehung und das für die Koren dieser Zeit ungewohnte Fehlen des Diadems<sup>199</sup>, an dessen Stelle

Abb. 41: Akrotersphinxkopf, oben: Kat. 40, unten: Aegina O., r. Sphinx (= Ohly II–III 2001, Taf. 223. 222)

<sup>197</sup> s. u. § 166. 170.

<sup>198</sup> Ridgway 1990; Danner 1993.

<sup>199</sup> Alle archaischen Koren der Akropolis sind mit einem Diadem geschmückt. Manche Diademe sind zu schmalen Reifen geschlossen, aber sie heben sich immer oben vom Kopf ab. Erst die frühstrenge *Euthydikoskore* 686 (Schrader 1939, Taf. 45–49; Karakasi 2001, 161 Taf. 202–205) trägt eine breite Tānie. Nur an der *Kore Akro.* 678 (Schrader 1939, 53 Taf. 20. 21; Karakasi 2001, 161 Taf. 242. 243) ist das Diadem durch eine Perlenkette ersetzt.



42

Abb. 42: Flügelfröge. der Akrotersphingen Kat. 41. 42, links: Kat. 41, rechts: Kat. 42



ein durch zwei Längskerben gegliederter Haarreif getreten ist, sprechen dafür, dass es sich um den Kopf einer der vier Akrotersphingen handelt, die als Tempelwächter über den vier Dachecken auftraten<sup>200</sup>.

116 Die großzügig angelegte fächerartige Gliederung der Seitenhaare hat heute noch ihren Reiz. Das Köpfchen ist in seiner ganzen Höhe dicht vor den Ohren längs gespalten, so dass nur noch die vordere Hälfte mit dem Gesicht und den Stirn- und Schläfenhaaren erhalten ist. Auch dieses ist jedoch in seiner unteren Hälfte durch Prellung und Absplitterung unter Hitzeeinwirkung bis zur Unkenntlichkeit zerstört<sup>201</sup>. Die ursprünglich feine Modellierung gibt sich nur noch in einem kleinen Bereich der Wangen unter dem rechten Auge und links zum Hals hin zu erkennen. Die vom Bohrloch für den Meniskus angegebene senkrechte Achse verläuft im Wesentlichen hinter dem Scheitelpunkt, so dass wir uns den Kopf leicht gesenkt vorstellen müssen. Auch von vorn gesehen ist er, wie bei den Sphingen mit zur Seite gedrehtem Kopf, nicht ganz symmetrisch, auf der rechten Seite des Halses verliefen die senkrechten Haarstrahlen etwas weiter vorn. Die äußere linke Kopfseite ist etwas tiefer, der Haarfächer hat hier 14 radial angeordnete Buckelreihen, auf der inneren rechten Seite waren es nur zwölf. Die Sphinx hätte folglich an der rechten Tempellecke über ihre rechte Schulter hinweg auf den Betrachter geblickt.

Die Form der Lippen ist nur noch zu erahnen, die Mundwinkel waren in einem verhaltenen Lächeln leicht angehoben. Befremdend muten zunächst die hart vorspringenden, fast amorph wirkenden Augen an, die den Eindruck vermitteln, nur abgezeichnet zu sein. Auf der Akropolis von Athen finden sich jedoch mehrere kleine spätarchaische Korenköpfe mit grob vorstehenden Augäpfeln, auf denen die Iris und darüber die Lider und Wimpern nur durch kontrastreiche Bemalung dargestellt waren<sup>202</sup>. Während das Haar über der Stirn in dickliche, vorn in Schnecken endende Wellen gelegt ist, bilden die die Ohren verdeckenden Seitenhaare einen eigenen runden Bereich aus konzentrisch gelegten und durch Querkerben fächerartig gegliederten Strahlen. Dieser Frisurtypus entspricht im Prinzip demjenigen der aeginetischen Sphinxköpfe (Abb. 41 unten). Die im Vergleich mit Letzteren auffällige Stumpfheit der Detailformen oder – anders gesagt – das Fehlen der kristallinen Klarheit in der Oberflächengliederung scheint eine Besonderheit unseres Kopfes zu sein und ist als Hinweis auf einen bescheideneren Bildhauer zu werten.

117 Zu einer Sphinxfigur dürften auch mehrere Fragmente von Beinen, Flügeln und einem Schwanz aus parischem Marmor von gleicher Zeitstellung und Qualität gehören, die im selben Kontext gefunden wurden und die wir deshalb zunächst auch diesen Eckakroteren zugewiesen haben. Nach genauerer Größenanalyse gilt dies jetzt nur noch für einige Flügelfragmente (Kat. 41. 42; Abb. 42), während die anderen von einer bedeutend größeren Figur zeugen, die vielleicht eine der für das Stadtheiligtum von Metapont so besonders kennzeichnenden großen ionischen Votivsäulen bekrönte<sup>203</sup>.

118

200 Am gut erhaltenen Kopf der aeginetischen Akrotersphinx ist ebenfalls das Bohrloch für den Meniskus erhalten, Ohly II-III 2001, Taf. 222. 223.

201 Die Beschreibung des Köpfchens in Steininger 1996, 106 f. trifft nach unserer Autopsie nicht zu, denn von zahlreichen »Fleischpösterchen im unteren Teil« kann ebenso wenig die Rede sein wie davon, dass »links noch die Lidränder zu erkennen sind«, diese waren wohl nie angegeben.

202 E. Langlotz in: Schrader 1939, 23 f.; Karakasi 2001, 161 Taf. 196 (Akro. 648; Akro. 641). 199 (Akro. 640a; Akro. 640b).

203 s. dazu die in Anm. 37 angekündigte Publikation.

119 An zwei Fragmenten mit einem noch erkennbar durch die Spitzen der Federn profilierten Flügelrand sind im Verwitterungsrelief noch die Spuren der diese einst trennenden leicht nach oben gebogenen Linien zu erkennen, die sich durch unterschiedliche Farben ergeben<sup>204</sup> – eines der wenigen Zeugnisse der ehemaligen farbigen Fassung der Figuren<sup>205</sup>.

## Die Löwenkopf-Wasserspeier

120 Noch ein Wort zu den Löwenkopf-Wasserspeiern Kat. 43 A–E (s. o. § 67), von denen mehr als 80 Exemplare (s. o. § 94) die durchlaufende Wellensima schmückend das Regenwasser ableiteten. Nur eine Schnauze und vier Unterkieferfragmente sind auf uns gekommen (Abb. 43. 44. 45. 46. 47). Die Schnauze ist von der Nasenmitte an mit Resten der beiden großen Fangzähne und sechs kleinen Vorderzähnen erhalten. Der Zustand der Marmorhaut ist hier wie an den Simafragmenten erstaunlich gut, weshalb die stark stilisierten Detailformen deutlich erkennbar sind. Von vorn gesehen ist der Umriss gleichmäßig gerundet und der glatte Lefzenrand läuft von beiden Seiten her steil hinauf bis knapp unter die Nasenscheidewand. Die Falten der durch die Drohgebärde geschwellten Haut laufen von diesem Punkt aus strahlenförmig nach hinten, und auf dem Nasenrücken verzweigen sie sich von der Mitte aus symmetrisch zur Seite.

121 Die Kieferfragmente sind alle fast gleich groß, aber in den Details der Ausführung leicht unterschiedlich. An B und D sind die Zungen durch eine eingeritzte Mittellinie längs halbiert, die den Bildhauern wohl als Orientierungshilfe diente. Die Fangzähne sind überall deutlich von den kleineren scharfen Backenzähnen abgehoben, etwas unterschiedlicher sind die Lefzen gestaltet. An B schmiegt sich die lockere Haut leicht und zu natürlichen Wellen gefältelt dem Unterkiefer an, an C wurde dasselbe versucht, ist aber nicht so gut gelungen. An D bilden sie ein regelmäßiges Ornamentband aus konkaven Zungen mit erhobenem Rand, das den Kiefer auch vorn rund umzieht.

122 Die Schnauzenform findet die nächste Entsprechung im meisterhaft gestalteten Kopf des Löwenfells, das die Figur des Herakles im Ostgiebel des Aphaia-Tempels umhüllte<sup>206</sup> (Abb. 43 Mitte und rechts). An diesem sind die Hautfalten auf ähnliche Weise von einem Punkt unter der Nasenspitze aufgefächert, schneiden aber um eine Spur tiefer in den Muskel ein. Der glatte Lefzenrand läuft ohne plastische Unterbrechung bis hinauf zu den Nüstern, war von diesen aber sicher farblich abgesetzt. Die Zähne sind bis ins Detail gleich, nur die großen Fangzähne fehlen, sie hätten zu tief in die Stirn des Helden hineingeragt. Der Löwe des Heraklesfells vermittelt uns eine gute Vorstellung davon, wie in Metapont die Augen, die Schläfen und die Backenknochen sowie die seitlichen Zähne ausgesehen haben dürften. Die leicht gewellte und aus abwechselnd längeren und kürzeren Büscheln bestehende dichte Mähne liegt glatt am Schädel an, ohne den Umriss des Kopfes wesentlich zu vergrößern<sup>207</sup>. Dies ist gut vereinbar mit dem wichtigen Befund an den erhaltenen Simafragmenten (Kat. 2. 3; Abb. 20. 21), der einen sehr knappen Mähnumriss bezeugt und keinen Hinweis auf eine auf der Simafläche ausufernde Mähne gibt. Der Unterschied zu den in denselben Jahrzehnten in Metapont beliebten Löwenkopf-Wasserspeiern aus Terrakotta (Abb. 48) zeigt, wie konsequent die Marmorbildhauer ihren angestammten Formenschatz beibehielten.

---

204 Vgl. die Bemerkungen zum Simafragment Kat. 3 und zum Ärmelfragment Kat. 59.

205 Vgl. das Ärmelfragment Kat. 59. Zur ehemaligen bunten Fassung der marmornen geflügelten Tierkörper s. die alte Fotografie der Sphinx aus dem Apollon-Heiligtum von Aegina in Walter-Karydi 1987, 71 f. Nr. 27 Taf. 25 oben; Richter 1961, Nr. 40 Abb. 119–122.

206 Ohly I 1976, 60–66 Taf. 30–34; Mertens-Horn 1988, 55 f. Abb. 11.

207 Die Löwenohren sind am Fell des Herakles durch menschliche Ohren ersetzt.



43

Abb. 43: Löwenkopf-Wasserspeier, oben links: Kopffrgt. Kat. 43A, unten links: Aegina O. V (= Ohly I 1976, Taf. 31), rechts: Aegina O. V, r. Schütze (= Ohly I 1976, Taf. 32)

Abb. 44: Löwenkopf-Wasserspeier, Schnauzenfrgt. Kat. 43B



44

Abb. 45: Löwenkopf-Wasserspeier, Schnauzenfrgt. Kat. 43D



45

123 Die Reste zweier Löwenköpfe, die zwei der vier Eckkästen des Aphaia-Tempels schmückten, sind freilich zu gering, als dass sie viel zum Vergleich beitragen könnten<sup>208</sup>. Die Zunge war hier weniger stark konkav geformt, weil der Kopf nicht als Speier durchbrochen war; das Wasser lief ja zwischen den Eckkästen und den – ersten – Palmettenantefixen ab. Vom etwas älteren, spätarchaischen Apollon-Tempel auf derselben Insel ist ebenfalls ein Fragment erhalten, das durch seine enge stilistische Verwandtschaft – vor allem durch die fein bewegten Lippen – die Nähe zu dieser Kunstlandschaft bestätigt<sup>209</sup>.

124 Wichtig in Metapont ist der Befund, dass die Kiefer stilistisch alle etwas unterschiedlich geformt und somit wohl Werke verschiedener Bildhauer sind. Auch andere Reihen von Wasserspeiern aus Stein und Marmor – etwa am Athena-Tempel in Syrakus und am Siegestempel in Himera, ebenso am Zeus-Tempels in Olympia und am Parthenon – zeigen, dass jeder Kopf seine eigene Form hat, dass die Bildhauer nie sklavisch einem Vorbild gefolgt sind<sup>210</sup>.

208 Ohly II–III 2001, Taf. 233.

209 Walter-Karydi 1987, 73. 77 Nr. 28 Taf. 23. Der Löwenkiefer, der in der Nähe des Tempels in einer römischen Mauer eingebaut war, ist etwas größer als die Vergleichsstücke in Metapont, aber sonst ebenfalls kaum von diesen zu unterscheiden.

210 Mertens-Horn 1988, 61–66. 95–102.



46



48



47

Abb. 46: Löwenkopf-Wasserspeier, Schnauzenfrgt. Kat. 43C

Abb. 47: Löwenkopf-Wasserspeier, Schnauzenfrgt. Kat. 43E

Abb. 48: Metapontiner Löwenkopf-Wasserspeier aus Terrakotta, Dach B

## Die Giebelfiguren

125 Wie bereits in der Einleitung und zu Beginn dieses Kapitels erläutert, lag es besonders für die Skulpturfragmente, die für einen Giebelschmuck in Frage kamen, nahe, sich auf den Vergleich mit den Skulpturen des Aphaia-Tempels auf Aegina zu konzentrieren. Nach diesem Modell dürfen wir davon ausgehen, dass die Bewegungsmotive der einzelnen Figuren durchweg stark genormt waren (Abb. 36). Einem antithetischen Ordnungsprinzip folgend ist das Geschehen immer symmetrisch in Bezug auf das Zentrum komponiert. Dabei geht im Westen, wo die Anzahl der Figuren um ein Paar größer ist, die Kampfrichtung sowohl zur Mitte als auch zu den Ecken hin und sogar über sie hinaus. Im Osten strebt die Bewegung in neuartiger Geschlossenheit zur Mitte hin, wo die Vorkämpfer unter dem Schutz der mit ihrem bewegten Schild dominierenden Athena stehen<sup>211</sup>. Immer noch sind aber die einzelnen dramatisch bewegten Szenen der ursprünglich spätarchaischen Bildsprache entsprechend streng geordnet und die einzelnen Bewegungen sinnvoll formuliert. So stützt sich z. B. der Bogenschütze immer mit dem rechten Knie auf den Boden und spannt mit dem linken Arm den Bogen. Ein Krieger in Ausfallstellung mit Schild und Speer steht jeweils noch auf einem, nämlich dem linken Bein fest auf dem Boden. Die schon nach hinten wankenden Gegner der Vorkämpfer haben den einen noch vorgesetzten Fuß leicht angehoben und den Schild nicht mehr fest im Griff.

126 Unter diesen Prämissen analysieren wir jetzt die kleinen, aber höchst qualitativollen Marmorfragmente von Metapont. Sie sollten die Anatomie der Glieder in ihren gleichen Bewegungsmomenten darstellen, dabei aber der kleineren Größenordnung Rechnung tragen und entsprechend weniger detailliert ausgebildet sein. Denn bei einem Vergleich auf der Grundlage maßstäblicher Zeichnungen ergab sich, dass die Metapontiner Fragmente durchweg um ein Drittel kleiner sind als die entsprechenden Teile der Aegineten.

211 Vgl. Eschbach 2013, 155 f.; Walter-Karydi 1987, 133–139; Ohly I 1976, 16 f.

## Plinthen und Füße

127 Entscheidend für die ersten Überlegungen war die Identifikation der Plinthe eines knienden Bogenschützen Kat. 44 (Abb. 49), die unmittelbar mit den Plinthen der Aegineten vergleichbar ist. Diese sind von ganz unregelmäßiger Form, aber genau in den Giebelboden eingepasst und mit Blei umgossen. Mit  $35 \times 17$  cm in der Fläche und zwischen 3,8 und 4,2 cm variierender Höhe ist die Platte in Metapont gut mit den Plinthen der Aegineten vereinbar<sup>212</sup>. Von der Figur in Metapont ist am hinteren Bruchrand nur der vorderste Teil des rechten Fußes mit den vier größeren Zehen erhalten, wobei hervorzuheben ist, dass auch der untere Muskelballen nicht auf der Plinthe auflag, sondern steil erhoben war und folglich die Fußsohle senkrecht aufstieg. Es ist eine Haltung, wie sie am Giebel des Aphaia-Tempels nur bei knienden Figuren – den Bogenschützen (Abb. 49) – vorkommt. Dies ist auch die Erklärung für die flache und rundum nicht bearbeitete Stützbosse nahe am vorderen Rand der Plinthe, auf der das rechte Knie aufgestützt gewesen sein muss. Das beste Beispiel stellt der bogenschießende Herakles in der rechten Hälfte des Ostgiebels dar<sup>213</sup>. Die Form der Zehen ist mit dem Fuß des linken Vorkämpfers Aegina West vergleichbar<sup>214</sup>. Der Metapontiner Fuß wirkt etwas voller und fleischiger, weist aber dieselben Umrisse und dieselben Nagelformen auf<sup>215</sup>. Die ursprüngliche Breite des Fußes betrug ca. 6 cm. Bei einer Längen-Breiten-Proportion von 3 : 1 ergibt sich eine Länge des Fußes von 18 cm. Unter Annahme des Verhältnisses Körperhöhe zu Fußlänge von 7 : 1 betrug die Gesamthöhe der Statue ca. 120–125 cm.

128 Einem weiteren Krieger in der Haltung eines Bogenschützen könnte das winzige Plinthenfragment Kat. 45 (Abb. 50 links) zugehören, auf dem, genau wie auf dem eben genannten Knienden Kat. 44, eine flache, nur grob bearbeitete Stützbosse erhalten ist. Es würde sich dann um die zu erwartende Gegenfigur mit analogem Bewegungsmotiv handeln. Vergleichbar für die Arbeitsweise der Bildhauer ist z. B. auch das Plinthenfragment mit Stützbosse des in flachem Lauf dargestellten Kriegers W. 5 Aegina West<sup>216</sup> (Abb. 50 Mitte), und unter dem Knie des linken Gestürzten W. XII wurde diese Stütze ebenfalls stehen gelassen (Abb. 50 rechts).

129 Der genaue Vergleich mit den aeginetischen Giebelfiguren lässt Rückschlüsse auf fünf weitere Fußfragmente und auf deren Beinstellung zu.

130 Der eine einst zurückgesetzte rechte Fuß Kat. 46 (Abb. 51) war so weit angehoben, dass nur der heute fehlende Vorderfuß am Boden haftete. Für den festen Halt auf der Plinthe sorgte hier eine höhere, etwas von der Ferse nach innen gerückte Stützbosse, die rundum sorgfältig als ein würfelförmiges Klötzchen geformt war. Diese Vorgehensweise findet ihre genaue Entsprechung an den zwei Vorkämpfern des Westgiebels.

131 Dem genauso fragmentarisch erhaltenen linken Fuß Kat. 47 (Abb. 52) ist beim gewaltsamen Entfernen von der Plinthe die ganze unterste Ebene, d. h. praktisch die Fußsohle, abgerissen worden. Deshalb ist zu vermuten, dass er zu einem voll aufgesetzten linken ›Standbein‹, in diesem Fall zu dem stärker belasteten vorderen Fuß einer vorwärts bewegten Figur, gehörte. Die anatomisch höchst akkurate, feingliedrige Modellierung der Knöchel und Fersen ist an beiden Stücken gleich, sie dürften von demselben Bildhauer geschaffen worden sein und könnten zu derselben Figur gehört haben.

---

212 Hier ist daran zu erinnern, dass bei der Überarbeitung und Rekonstruktion der Figuren des Aphaia-Tempels in Thorwaldsens Werkstatt in Rom die noch vorhandenen Bruchränder der Plinthen rundum abgemeißelt wurden, damit sie sich leichter in die neuen rechteckigen Bettungen einpassen ließen. Die Formen der heute erhaltenen Plinthen haben deshalb keine Bedeutung.

213 Ohly I 1976, 74 Abb. 65. Ohne Stützbosse ruht nur das Knie des rechten Schützen Aegina West auf, Ohly II–III 2001, Taf. 107.

214 Ohly II–III 2001, Taf. 128 unten.

215 Auch am Knie des Gegners des linken Gestürzten Aegina West ist eigens eine Bosse stehen gelassen worden, die das Knie mit der Plinthe verband, Ohly II–III 2001, Taf. 150.

216 Ohly II–III 2001, Taf. 160.

---



49

132 Am Fragment des rechten Fußes Kat. 48 (Abb. 53) sind Zehen, Zehenballen und Ferse abgeschlagen. Es weist jedoch auf der Unterseite eine sich ungefähr von ihrer Mitte nach hinten verbreiternde unregelmäßige Bruchfläche auf, die zeigt, dass der Fuß auf seiner flachen Stützbosse nur leicht angehoben war. Eine solche Gestaltungsweise findet sich an den vorderen Füßen der beiden Wankenden des Ostgiebels.

133 Das dem Mittelfuß Kat. 48 in der Machart sehr ähnliche, aber zu einem linken Bein gehörende Fragment Kat. 49 (Abb. 54) zeichnet sich dadurch aus, dass ursprünglich nur die Zehen auf dem Boden hafteten, so dass die ganze Sohle mit Zehenballen frei aufgestellt war. Das Fragment ließe an die Zugehörigkeit zu einem der knienden Krieger denken, wüssten wir nicht, dass sich in den Giebeln alle Schützen auf das rechte Knie stützten, was ihnen beim Zielen das nötige Gleichgewicht verlieh. Vergleiche für das mögliche Bewegungsmotiv bieten die in flachem Lauf vorstürzenden Figuren, die in beiden Giebeln (O. IV und W. V und W. XII), aber in unterschiedlichen Kampfgruppen, im Westen nach außen und im Osten zum Zentrum hineilend, auftreten.

134 Ein weiteres sehr kleines Stück aus der Mitte eines voll auf die Plinthe aufgesetzten linken Fußes, Kat. 50 (Abb. 55), zeigt nur den Bereich um die Höhlung unter der Sohle. Es ist durch die tiefe dunkelgraue Verwitterung fast unkenntlich, gehört aber nach seiner Dimension und nach der Höhe der Plinthe ebenfalls zu der Gruppe der Kriegerfüße.

Abb. 49: Giebelfiguren, oben: Plinthe Kat. 44, unten links: Aegina W. IV, r. Schütze (= Ohly II–III 2001, Taf. 105), unten Mitte und rechts: Aegina, Füße von Altarplatzfiguren (= Ohly II–III 2001, Taf. 190 A4–5)



50



51



52

Abb. 50: Giebelfiguren, links: Plinthe Kat. 45, Mitte: Aegina W 5, Plinthe (= Ohly II-III 2001, Taf. 160), rechts: Aegina W. XIIe, Gegner des Gestürzten (= Ohly II-III 2001, Taf. 150)

Abb. 51: Giebelfigur, links und Mitte: Fußfrgt. Kat. 46, rechts: Aegina W. Xc, Gegner des I. Vorkämpfers (= Ohly II-III 2001, Taf. 134)

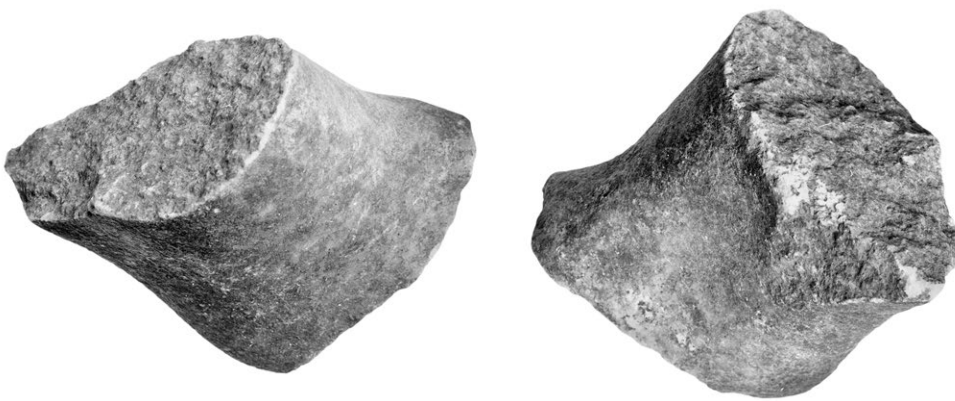
Abb. 52: Giebelfigur, Fußfrgt. Kat. 47

135 Große Bedeutung kommt dem Fußstück Kat. 51 (Abb. 56) auf seiner Plinthe zu, das zunächst wegen seiner äußerst fragmentarischen Erhaltung schwer verständlich gewesen ist. Die größte erhaltene Länge der rundum abgebrochenen Plinthe beträgt nur 10 cm, doch die Höhe von 4 cm bestätigt die Zugehörigkeit dieses Fragments zum Giebel. In der glatt erhaltenen, fein geformten Höhlung der Innenseite des erhaltenen linken Fußes ist der flache Saum eines Chitons zu erkennen, der im leeren Raum zwischen den beiden Füßen tief hinunterhing, bevor er, seitlich dicht anliegend, wieder zum Spann hin anstieg. Den nächsten ikonographischen Vergleich bietet das Fußpaar, das dem Firstakroter des aeginetischen Ostgiebels zugewiesen wird (Abb. 56 rechts). Obwohl vom Fuß in Metapont nur der unterste Teil erhalten ist, zeigt vor allem die Ansicht von hinten, dass er nicht genau senkrecht, sondern um eine Spur nach außen geneigt auflag, dass das Bein also wie an der oben genannten Akroterkore etwas schräg vorgesetzt war<sup>217</sup>. Das Fragment gehörte somit zu einer aufrecht stehenden weiblichen Figur, die nach den zu erschließenden Größenverhältnissen nur in der Giebelmitte oder in deren Nähe Platz gefunden hätte. Es fällt auf, dass auch die Ober- und die Unterseite der Plinthe mit besonderer Sorgfalt geglättet sind, als hätte es sich um ein besonders kostbares Werk gehandelt, das als Letztes auf seinen definitiven Platz geschoben wurde.

136 In der Zeit kurz nach der Wende vom 6. zum 5. Jh. war in einem Tempelgiebel eine Kampfszene von Heroen oder Personen des griechischen Mythos nur in Gegenwart einer Gottheit denkbar. An dem metapontinischen Tempel, den wir für der Athena geweiht halten, wird man an diese Göttin denken<sup>218</sup>.

217 Vgl. die Füße der Athena des Ostgiebels (O. 1), Ohly I 1976, 29 f. Abb. 24. 25 Taf. 6–9. Zu dem fast bis auf den Boden hängenden Chiton s. z. B. auch die Athena der Metope Süd 5 des Schatzhauses von Athen in Delphi, de La Coste-Messelière 1957, 51–58; Kähler 1949, 102–120; s. auch Knell 1990, 55.

218 Keine Erklärung findet der Befund, dass auch diese Figur ebenso wie die Akroterkore Kat. 39 anders als bei den Aegineten keine Sandalen trägt.



53



54

137 An dieser Stelle seien die für das Bewegungsmotiv der Figuren wichtigen Füße zusammengefasst:

- ein leicht vorgestellter linker Fuß einer bekleideten weiblichen Figur
- auf einem großen Plinthenfragment die rechte Fußspitze und die Stützbosse für das Knie einer knienden Figur sowie auf einem zweiten kleinen Plinthenrest eine ebensolche Bosse, die der Rest eines zweiten Knienden sein könnte
- ein Stück von einem von der Plinthe abgerissenen flach aufgesetzten linken Fuß sowie ein Stück vom flach aufgesetzten linken Fuß mit Plinthe, also Reste von zwei dicht am Boden haftenden linken Beinen von Krieger in Ausfallstellung
- ein Mittelteil von einem hinten hoch angehobenen rechten Fuß mit rechteckig ausgearbeiteter hoher Bosse, also ein Rest vom an der Ferse erhobenen zurückgesetzten rechten Bein eines Kriegers in Ausfallstellung
- ein Stück vom leicht angehobenen rechten Fuß mit Rest der sehr flachen Bosse, wohl ein Rest vom vorgestellten, an der Ferse leicht angehobenen rechten Bein eines Wankenden
- ein Stück vom rechten, einst rechtwinklig angehobenen Fuß mit heute fehlenden Zehen, vermutlich vom zurückgesetzten Bein eines flach vorstürzenden Helfers

138 Somit geben allein die Füße und Plinthen Hinweise auf zwei Kniende (Schützen), zwei Krieger in Ausfallstellung, einen wankenden Krieger, einen flach vorgebeugten herbeieilenden Helfer und auf den linken Fuß einer vermutlich in der Mitte des



55

Abb. 53: Giebelfigur, Fußfrgt. Kat. 48

Abb. 54: Giebelfigur, Fußfrgt. Kat. 49

Abb. 55: Giebelfigur, Fußfrgt. mit Plinthe Kat. 50



56

Abb. 56: Giebelfigur, links und Mitte: Fußfrgt. mit Plinthe Kat. 51, rechts: Aegina O., I. Kore, Füße (= Ohly II–III 2001, Taf. 210)

Giebels angeordneten weiblichen Gestalt. Alle hier nur angedeuteten Figuren hätten in einem Giebel Platz.

### Weitere Fragmente von Armen, Beinen und Gewandteilen

139 Der beschriebene Befund lässt uns die Anordnung der verbleibenden Körperfragmente im genormten Formenvorrat der Giebelfiguren besser verstehen. Das ca. 17 cm lange Fragment eines nackten rechten Unterarmes, vom Ellenbogen bis fast zum Ansatz des Handgelenks, Kat. 52 (Abb. 57), ist sehr schlank und weist keine Andeutung von geschwellten Muskeln auf, es ist aber etwas größer als der Arm der Akroterkore Kat. 38. Wegen des schlechten Erhaltungszustandes ist nur an der Innenseite ein kleiner Bereich der ursprünglichen zarten Oberfläche vorhanden, Wölbungen von Adern und Sehnen sind in der Armbeuge eben noch zu ertasten. Dieser Befund wäre ungewöhnlich für einen Krieger, aber ein Grund, den Arm versuchsweise der eben ins Bild einbezogenen weiblichen Figur Kat. 51 zuzuweisen<sup>219</sup>.

140 Für einige sehr fein modellierte kleine Faltenfragmente Kat. 53–55 (Abb. 58) möchte man an das Gewand ebendieser Gestalt denken, denn für die Akroterkoren wären die Falten zu breit und zu tief. Die Athena des aeginetischen Westgiebels weist vor allem am lang herabfallenden Stoffstück des schräg umgebundenen Mantels unter dem rechten Arm entsprechende Bereiche mit runden sowie parallel und flach übereinandergeschichteten Falten auf.

141 Das oben schon erwähnte Fragment einer linken Hand mit Schild, Kat. 56 (Abb. 59), ist auf den ersten Blick das anschaulichste Zeugnis für eine Kriegerfigur. Der Handrücken und die Außenseite des Armes sind vom Schild verdeckt, der hier wie auf Aegina an der Athena des Westgiebels und an den meisten Kriegern aus Marmor mitgearbeitet war<sup>220</sup>. Das gerade noch erhaltene Handgelenk lässt die muskulöse Beschaffenheit des Armes erahnen. Der Daumen legt sich schräg vor den Zeigefinger und die vier Finger schließen sich kraftvoll um den Schildgriff. Sie sind in Länge und Dicke kaum unterschieden, aber größer als der Daumen, und ihre Haltung und Lage am Halbrund des Bügels sind anschaulich differenziert und verleihen der Hand die leichte Beweglichkeit, die so charakteristisch ist für die Hände und Füße der Skulpturen des Aphaia-Tempels. Der Nagel des Zeigefingers ist flach und im Umriss schaufelförmig und besticht durch seine klare Form und die Zartheit, mit der sich die Nagelhaut darumlegt. Die Hand gehörte sicher zu einem energisch angreifenden Krieger, da die ermatteten ›Wankenden‹ ihren kraftlosen Arm senkrecht fallen und die Halteschlaufe des Schildes fahren gelassen haben. In der anderen, rechten Hand haben wir uns den Speer oder ein Schwert zu denken.

219 Vgl. den nackten Arm der »Nympe« der Altarplatzgruppe (N 1d.), Ohly II–III 2001, Taf. 166. 167.

220 Bei den Aegineten sind an manchen Figuren die Schilde mit den sie tragenden Kriegern zusammen aus einem Marmorblock gearbeitet, an anderen wurde der Schild einzeln geformt und angedübelt. Vgl. Furtwängler 1906, 296 f.

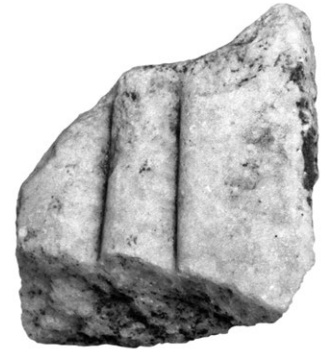


57

142 Das hervorgehobene charakteristische Formgefühl für plastische Geschlossenheit, das sich in den ebenmäßig geformten Fingern und dem fest umrissenen Daumenmuskel äußert, wird besonders anschaulich, wenn wir andere Hände dieser Zeit als Vergleich heranziehen. Aufschlussreich sind die länger proportionierte Hand eines Schildträgers aus unbekanntem Zusammenhang in Olympia<sup>221</sup>, die weicher und fließender geformte Hand der bogenschießenden Amazone aus dem Westgiebel des Tempels des Apollon Daphnephoros in Eretria<sup>222</sup> sowie die Hand eines weiteren Schildträgers aus Agrigent, die sich durch einen bewegteren Umriss auszeichnet<sup>223</sup>.

143 An der dicht unterhalb des Gelenks abgebrochenen rechten Hand Kat. 57 (Abb. 60) ist oben, über dem Daumenballen und dem Zeigefinger, noch die unterste Schicht des abgebrochenen Schutzelements, die Parierscheibe eines Schwerts, erhalten, und auf der Unterseite unter dem kleinen Finger ragt aus dem Handinnern noch der Ansatz des ebenfalls fehlenden Endes des Schwertgriffs hervor<sup>224</sup>. Die Finger sind auch hier lang und schlank und ohne Verdickungen der einzelnen Glieder modelliert. Der Fingernagel ist nur am über dem Zeigefinger liegenden Daumen angegeben, die anderen Fingerspitzen waren im Handinneren neben dem gewölbten Daumenballen fast unsichtbar und offenbar für die feinsten Instrumente des Bildhauers nicht zugänglich. Der Handrücken wurde im Gegensatz zum Innern vermutlich von der Hitze des Kalkofens berührt und ist deshalb tiefgehend verwittert. Dennoch sind die überaus feinen Formen noch zu erkennen, die zart herausgearbeiteten Knöchel und die Vertiefungen zwischen den Sehnen. Die formale Verwandtschaft zu aeginetischen Händen ist unübersehbar.

144 An der dicht am Gelenk abgebrochenen Hand Kat. 58 A–B (Abb. 61) vom ausgestreckten linken Arm eines den Bogen spannenden Schützen sind alle Finger abgebrochen (A). Sie sind aber an Fragment B erhalten und eindeutig zugehörig, es fehlt nur ein winziger Zwischensplitter des zarten Marmors. Neben dem Daumenballen in der muskulösen Innenhand und in der Beuge unter den Fingern ist noch die quer zur Hand verlaufende Wandung der marmornen Führung erhalten, in der ein leicht gekrümmter metallener Gegenstand steckte, mit großer Wahrscheinlichkeit der senkrechte Schaft des Bogens, da tief in den Marmor eingedrungene schwarze Flecken auf



58

Abb. 57: Giebelfigur, Armfrgt.  
Kat. 52

Abb. 58: Giebelfigur, Faltenfrgt.  
Kat. 53

221 Walter-Karydi 1987, 41 f. Abb. 46.

222 Touloupa 1983, 21 f. Taf. 19. 20. 22; S. 68–96. Evi Touloupa erwog eine attische Werkstatt und die Beteiligung des Antenor.

223 Barbanera 1995, 22 f. Abb. 7; 57 f. (Dat.).

224 Von den Aegineten sind die Hände dreier Schwertkämpfer erhalten, die zeigen, dass die Anbringung des Schwertes auf ganz unterschiedliche Art geschah (O. III; O. VII; O. VIII), sowie der Sterbende in der linken Ecke des Ostgiebels in Aegina (O. XI). Vgl. auch den linken Gestürzten W. XIII, Ohly I 1976, 47 Abb. 40; 89 f. Taf. 154. Bei der gut erhaltenen Hand des linken Sterbenden war die Waffe auf raffinierte Weise aus drei Teilen gebildet, aus Marmor waren das Schwertblatt mit dem Schutzelement und der Schwertknauf, die durch einen Bronzestift in dem fein gebohrten Gang zusammengehalten waren, Ohly I 1976, 108 f. Abb. 80. 81.



59



60

Abb. 59: Giebelfigur, links und Mitte: Schildhand Kat. 56, rechts: Aegina W. Xa, Gegner des I. Vorkämpfers (= Ohly II-III 2001, Taf. 136)

Abb. 60: Giebelfigur, links und Mitte: Schwerthand Kat. 57, rechts: Aegina W. Xb, Gegner des I. Vorkämpfers (= Ohly II-III 2001, Taf. 127)

das Vorhandensein von Metall schließen lassen. Für einen metallenen Speer wäre der Durchmesser zu klein<sup>225</sup>. Für das Bewegungsmotiv finden sich unter den Aegineten die engsten Parallelen an dem linken Schützen des Westgiebels und am Schützen vom Altarplatz.

145 Vergleicht man diese Bogenhand, vor allem die Finger, mit der Schildhand Kat. 56 und der Schwerthand Kat. 57, zeigt sich eine Tendenz zu zierlicheren, feingliedrigen Formen, was die Annahme eines anderen Bildhauers erforderlich macht, wenn man nicht auf eine zierlichere weibliche Hand schließen will.

146 Das Fragment Kat. 59 (Abb. 62) gehört wahrscheinlich zum Unterarm eines Bogenschützen, der in die wohlbekannte skythische Tracht mit buntem langärmeligem Trikot gekleidet war. Auf der Oberseite ist durch eine nur schwer erkennbare, ja eigentlich nur ertastbare Erhebung die plastisch modellierte Stoffkante am Handgelenk angedeutet. Genau längs der Achse des Armes zieht sich auf deren Oberseite eine wie mit dem Lineal gezogene Begrenzungslinie zwischen einer helleren oberen und einer ockerfarben getönten unteren Partie. Diese war offenbar mit Farbe anderer Konsistenz bemalt, was zu etwas unterschiedlicher Verwitterung führte. Das Farbmuster, eine breite ornamentierte Borte, könnte ähnlich gewesen sein wie am Bogenschützen von der Altarplatzgruppe auf Aegina<sup>226</sup>. Nach dem Studium der erhaltenen Farbreste an archaischer Plastik weiß man heute besser, wie die einzelnen Farben den Witterungseinflüssen standhielten und dass die aufgeriebenen, stark verwitterten Partien auf Ockerfarbe hinweisen, die helleren Oberflächenbereiche auf Malachit (grün!), noch hellere auf Azurit und die hellsten, intaktesten auf Zinnober<sup>227</sup>. Deshalb dürfte das Ornamentband oben auf dem Ärmel rot gewesen sein, eventuell mit einem eingewobenen Muster, der größere, untere Bereich gelb oder ockerfarben. Gern würde man das Fragment der eben betrachteten Bogenhand zuweisen, wozu auch der Durchmesser von 4,0 cm passen würde. Die Bruchflächen lassen dies jedoch nicht sicher zu.

225 Wenn die Hand einen Speer hält, ist die Führung etwas breiter und leicht schräg, vgl. den linken Vorkämpfer Aegina Ost, Ohly I 1976, Taf. 43. Zu den Materialien der Waffen s. Ohly I 1976, 38.

226 Gewandverzierung am Ärmel eines Bogenschützen von der Altarplatzgruppe, Furtwängler 1906, Abb. 122.

227 Wünsche 2011, 238–250; Brinkmann 2003.



61

147 Ganz hypothetisch möchte man auch das kleine flache, am Rand weich gerundete Fragment Kat. 60 (Abb. 63) dem Rand der ›skythischen‹ Mütze eines Bogenschützen zuweisen, da es die gleiche fein gewölbte Oberfläche und das gleiche leicht gebogene Profil zeigt wie die Spitze der Mütze des Knienden des Westgiebels. Das Bohrloch, dessen Ansatz eben noch erhalten ist, findet an ihr zwei entsprechende Parallelen<sup>228</sup>.

148 Das nur 10 cm lange Fragment eines nackten linken Oberarmes Kat. 61 (Abb. 64) ist dank eines kleinen ikonographischen Details ebenfalls einem Bogenschützen zuzuweisen. Dieser war wohl mit dem üblichen griechischen Panzer bekleidet, denn am oberen Ende des angespannten Bizepses ist noch der Rest einer genau senkrecht fallenden Gewandfalte erkennbar. Vergleichen wir diesen Befund mit dem knienden Schützen Aegina West<sup>229</sup>, wird deutlich, dass es sich um den horizontal angehobenen linken Arm handelt, an dem der Saum des Himations neben den Schulterschlaufen des Panzers senkrecht herunterfällt. Es ist die Haltung des Schützen, der den Bogen stabil waagrecht erhoben hält, während der rechte angewinkelte Arm den Bogen spannt und den Pfeil auflegt. Nach der kraftvollen Plastizität könnte das Fragment zu dem Schützen gehört haben, von dem auf der großen Plinthe Kat. 44 der rechte Vorderfuß erhalten ist.

149 Unsicher bleibt die Deutung einer linken Hand, Kat. 62 (Abb. 65), an der alle Finger fehlen, die aber nach den Maßen sicher zu den Giebelfiguren gehörte. Der Handrücken ist ohne Angabe der Sehnen großflächig modelliert, die ansetzenden Vertiefungen zwischen den Knöcheln sind eben noch ertastbar. An der Innenseite und am unteren Teil des Daumenballens ist die Hand völlig flach und poliert, doch unter dem Daumenansatz ist noch der Rest der Bohrung für einen dünnen Dübel erhalten. Die Hand dürfte somit einen glatten Gegenstand gehalten haben. Wir denken an die vergleichbare Hand des in flachem Lauf von rechts heranstürmenden Helfers des aeginetischen Ostgiebels (O. IV), der die erhaltene Wange des angestückten Helms hält<sup>230</sup>. Das Fragment vom linken Fuß eines ebensolchen heraneilenden Helfers Kat. 49 könnte ggf. zur selben Figur gehört haben. Die Hand gibt bei aller Unsicherheit jedenfalls einen

Abb. 61: Giebelfigur, oben: Handfrgte. Kat. 58A–B, unten links: Aegina, Altarplatz VIIb, Schütze (= Ohly II–III 2001, Taf. 187), unten rechts: Aegina W. XI, I. Schütze (= Ohly II–III 2001, Taf. 143)

228 Ohly II–III 2001, Taf. 140. 145; Furtwängler 1906, 210 f. Abb. 153–155.

229 Ohly II–III 2001, Taf. 105. 106.

230 Ohly I 1976, 16 f. Abb. 48–50 Taf. 25.



62

Abb. 62: Giebelfigur, Armfrgt.  
Kat. 59

Abb. 63: Giebelfigur, links: Frgt. ›skythische‹ Mütze Kat. 60, Mitte: Aegina W. XIb, I. Schütze, Helmspitze (= Ohly II–III 2001, Taf. 145), rechts: Aegina W. XI, I. Schütze (= Ohly II–III 2001, Taf. 140)



63



Hinweis auf einen weiteren Krieger, der weder Schildträger noch Bogenschütze war und seinen Platz wahrscheinlich in der rechten Giebelhälfte hatte.

150 Das kleine Oberarmfragment Kat. 63 (Abb. 66) überzeugt durch die straffe Modellierung des oben und an der Innenseite angespannten Bizepses, der auf einen stark agierenden Kämpfer hinweist. An die unten eben noch erhaltene, fein ausgeformte Kehle in der Armbeuge schloss ein ebenso kraftvoller Unterarm an. Der Ansatz des Ellenbogens zeigt, dass dieser schräg angewinkelt war.

151 Von hoher Bildhauerkunst zeugt auch ein kleines Fragment eines rechten Handgelenks (Kat. 64; Abb. 67), das dem Arm des linken Vorkämpfers des aeginetischen Ostgiebels (O. VII)<sup>231</sup> so sehr gleicht, dass man es ebenfalls einem solchen zuschreiben möchte. Die durch die Anspannung geschwellten Adern und Sehnen sind auf dieselbe Weise herausgearbeitet und folgen demselben Formschema. Am Vorderarm des rechten Schildträgers des Westgiebels<sup>232</sup> ist die gleiche Stelle vergleichsweise weniger realistisch und plastisch zurückhaltender gebildet.

### Größere Körperfragmente

152 Nachdem die eben beschriebenen Fragmente von Armen, Händen und Füßen (Kat. 44–64) eine Vorstellung von den verschiedenen Bewegungsmotiven der Krieger geliefert haben, sind noch vier wichtige größere Körperfragmente zu betrachten, die nach den Maßen dem Giebel zuzuweisen sind. Das für den Figurenstil wohl aufschlussreichste Stück ist die Beckenpartie eines nackten Kriegers (Kat. 65<sup>233</sup>; Abb. 68). Auf der durch tiefe Verwitterung aufgerauten Vorderseite lässt die dunkle Verfärbung die Modellierung an den tiefen Stellen viel schärfer erscheinen, als sie in Wirklichkeit ist. Die linke Hüfte und die Rückseite sind gut erhalten und lassen noch die kraftvollen, lebhaften Formen der straffen und wie von innen her bewegten Muskelpartien zur Geltung kommen.

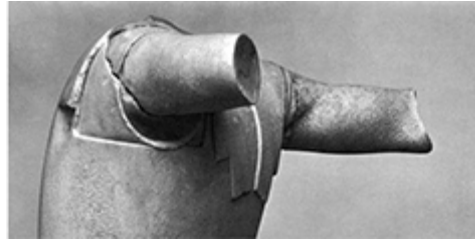
153 Das Becken gehörte nicht zu einer aufrecht stehenden Figur, doch der Rest der Hoden gibt einen wichtigen Anhaltspunkt für die ursprüngliche räumliche Position des Fragments. Demnach war die Hüfte an der linken Seite eine Spur gesenkt. Der linke Gesäßmuskel ist vorgeschoben und die Kontur des Beines geht auf der linken Seite stärker nach außen als auf der rechten, es war also nach vorn und zur Seite gesetzt. Unter dem rechten Gesäßmuskel ist zudem eine waagrechte Falte erhalten, die angibt, dass das rechte Bein etwas nach hinten verschoben war.

154 Der im Ansatz erhaltene breite Muskel, der links über der Leistenlinie zum Hüftbein hinaufzieht, die Mulden auf beiden Seiten der Gluteen, die Vertiefungen beid-

231 Ohly I 1976, 83 f. Taf. 43.

232 Ohly II–III 2001, Taf. 92.

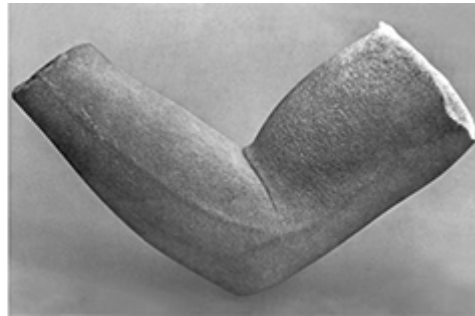
233 Paribeni 1974, 148; Steininger 1996, 121.



64



65



66



67

Abb. 64: Giebelfigur, links: Armfrgt. Kat. 61, rechts: Aegina W. IV, I. Schütze (= Ohly II-III 2001, Taf. 105)

Abb. 65: Giebelfigur, Handfrgt. Kat. 62

Abb. 66: Giebelfigur, links: Armfrgt. Kat. 63, rechts: Aegina W. Xb, Gegner des I. Vorkämpfers (= Ohly II-III 2001, Taf. 137)

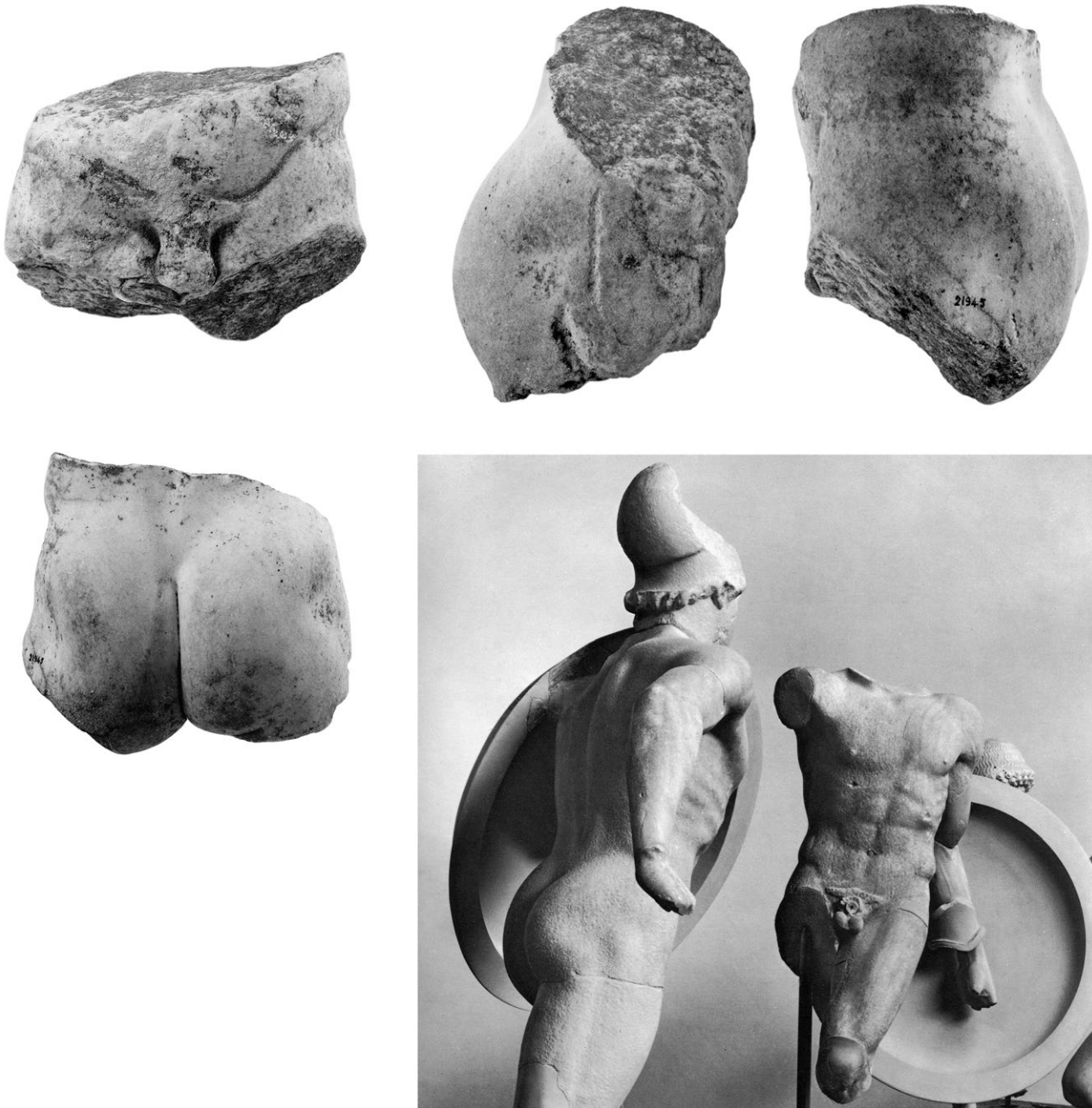
Abb. 67: Giebelfigur, links: Handfrgt. Kat. 64, rechts: Aegina O. VIIe, I. Vorkämpfer (= Ohly I 1976, Taf. 43)

seits der Wirbelsäule sowie der Tensor, der zum Oberschenkel führt, sind anatomisch korrekt, dicht und engflächig modelliert. Ihre Formen gleichen aufs engste denjenigen des gut erhaltenen Paares der ›Vorkämpfer‹ des Ostgiebels des Aphaia-Tempels<sup>234</sup>. Unterschiedlich ist die Form der Pubes, die mit scharfem Umriss vom Bauch abgesetzt ist. Die verschiedenartigen Gestaltungsweisen dieser Körperdetails sind jedoch auch an den Aegineten immer wieder anzutreffen, jeder Bildhauer hatte da seine eigene Manier<sup>235</sup>.

155 Das Schulterfragment Kat. 66 (Abb. 69), das nur bei genauer Autopsie als solches voll verständlich wird, könnte zu derselben Figur gehört haben wie das Beckenfragment Kat. 65. Die Gegenüberstellung mit dem eben erwähnten nach hinten

234 Ohly I 1976, 33–50 Taf. 12–24.

235 Schäfer 2016, 160; Ohly I 1976, Taf. 76.

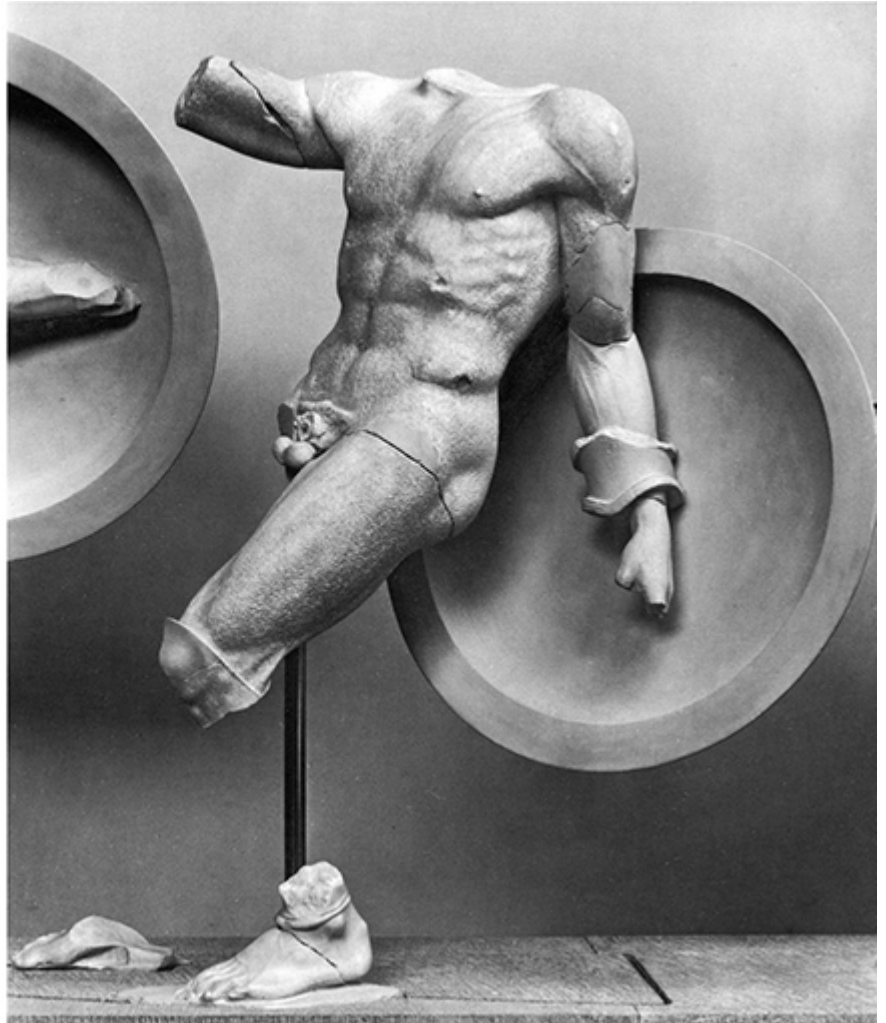


68

Abb. 68: Giebelfigur, oben und unten links: männl. Beckenpartie Kat. 65, unten rechts: Aegina O. II, III und IV (= Ohly I 1976, Taf. 73)

wankenden Speerkämpfer des aeginetischen Ostgiebels (O. III), dessen Schildarm entkräftet herabfällt, macht das Fragment verständlich, wenn man das Bewegungsmotiv als Ganzes betrachtet. Demnach hätte auch hier der linke Oberarm so nahe am Körper angelegen, dass die Achselhöhle durch den obersten Bereich des geschwellten Bizepses verschlossen war. Um eine Spur nach hinten genommen, dürfte der Arm wie dort fast senkrecht nach unten geführt gewesen sein, gleichsam vom schweren Schild in der Hand heruntergezogen. Von der ursprünglichen glatten Oberfläche sind nur wenige schmale Bereiche erhalten: Der eine zieht sich vorn von der Höhe der Schulter zur Achselhöhle hinunter und lässt den Ansatz des Oberarmmuskels des abgebrochenen Armes erkennen, der andere, auf der Rückseite, umfasst die glatten Zonen am Halsansatz und zwischen dem Armansatz und dem Rücken.

156 Der fast 30 cm lange rechte Oberschenkel Kat. 67 (Abb. 70) stammt von einer Figur in angespannt agierender Vorwärtsbewegung. Hinten ist am oberen Rand noch deutlich der Ansatz des abgebrochenen Glutaeus zu erkennen, während sich an der



69

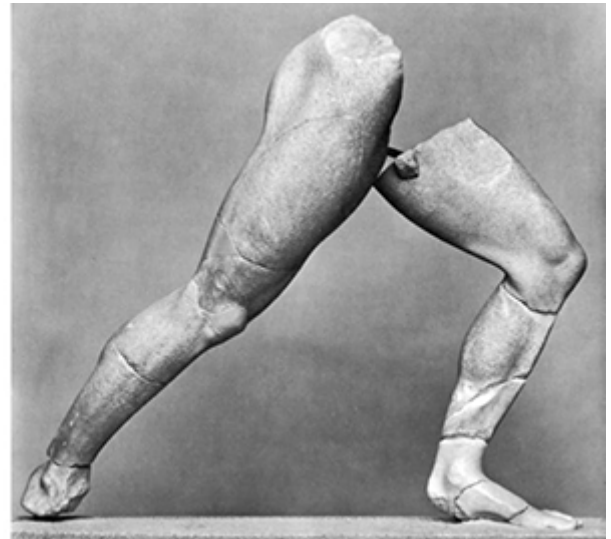
Innenseite die raue Bruchstelle befindet, an der der Hoden ansetzte. Das Bein kann nicht zu dem Beckenfragment Kat. 65 gehört haben, da der Gesäßansatz an diesem vollständig erhalten ist. Das nackte Knie zeigt, dass der Unterschenkel nicht von Beinschienen geschützt war, was auf Aegina die neben Athena in der Mitte angeordneten Vorkämpfer auszeichnet (Abb. 70 rechts). Die Formen sind schlank, die knapp modellierten Schenkelmuskeln wirken angespannt, das Knie ist schmal und fein geformt. Die hervortretende lange Sehne an der hinteren Außenseite sowie die beiden Muskelansätze über der Kniescheibe deuten an, dass das Bein kraftvoll vorgesetzt war, und der außen eben noch feststellbare Ansatz des Unterschenkels ergibt die entschiedene Abwinkelung desselben. Die Muskulatur ist grundsätzlich gleich dargestellt, aber weniger stark betont als an den entsprechenden Kriegerern von Aegina, wie es für eine um ein Drittel verkleinerte Figur natürlich ist.

157 Vom Beinfragment Kat. 68 ist nur wenig erhalten, es ist jedoch vertretbar, in ihm einen Teil der Innenseite eines bewegten Oberschenkels zu sehen. An der unteren Bruchfläche ist eben noch der Ansatz der Kniekehle erkennbar. Die großflächige und auf stark umrissene Muskeldarstellung verzichtende Modellierung ist dem eben betrachteten Bein Kat. 67 sehr ähnlich.

#### Zusammenfassung zu den Fragmenten von Giebelfiguren aus Marmor

158 Zusammenfassend fügen sich diese Fragmente in ein in groben Zügen erkennbares Gesamtbild ein (Abb. 36): Die Hand mit dem Marmorschild Kat. 56 muss

Abb. 69: Giebelfigur, links: Schulterfrgt. Kat. 66, rechts: Aegina O. III (= Ohly I 1976, Taf. 73)



70

Abb. 70: Giebelfigur, links und Mitte: männl. Oberschenkel Kat. 67, rechts: Aegina O. IX, I. Helfer (= Ohly I 1976, Taf. 55)

zu einem der beiden Vorkämpfer in Ausfallstellung gehört haben, da die verletzte Wankende die Halteschleife nicht mehr festhalten. Auch das gut erhaltene Beinfragment Kat. 67, das sich als das eines in voller Aktion vortretenden Angreifenden zu erkennen gab, fügt sich in das Bild der Vorkämpfer ein. Zu Krieger dieser Haltung gehörten die Füße Kat. 46. 47. Der Mittelteil von einem hinten hoch angehobenen rechten Fuß Kat. 46 mit würfelförmig ausgearbeiteter, hoher Stützbosse stammt dagegen vom anderen, noch zurückgesetzten und an der Ferse angehobenen rechten Bein eines solchen Kriegers. Zu einem Krieger vom Typus der vier Vorkämpfer dürfte auch die Hand mit dem Rest eines Schwerts Kat. 57 gehört haben, denn der feste Griff passt eher zu einem energisch Angreifenden als zu einem verletzt Wankenden.

159 Die gut erhaltene Beckenpartie Kat. 65 kann in Anbetracht der anatomischen Angaben und nach den eben noch erhaltenen Beinansätzen einem der beiden wankenden Gegner der Vorkämpfer zugeschrieben werden. Zu einem solchen schon zurückweichenden Krieger, vielleicht sogar zur selben Figur, gehörte die nackte linke Schulter Kat. 66, an der der vom schweren Schild belastete Arm nah am Körper etwas zurückgenommen war.

160 Der bis in die Waagrechte angehobene linke Oberarm Kat. 61, an dem noch ein Rest des senkrecht fallenden Saums des Himations an der Schulter Schlaufe eines Panzers erhalten ist, gehörte zu einem Schützen. Dieser könnte auf dem großen Plinthenfragment mit dem kraftvollen Vorderfuß Kat. 44 gekniet haben.

161 Die Identifikation der feingliedrigen Hand Kat. 58, die einen metallenen Bogen umfasste, darf ebenfalls als sicher betrachtet werden. Diesem Schützen ist wohl auch das Armfragment Kat. 59 zuzuschreiben, das nach den Spuren der kontrastreichen Bemalung Reste eines langärmeligen skythischen Trikots aufweist. Dazu würde auch das kleine Fragment Kat. 60 passen, welches versuchsweise der hohen Mütze dieser Tracht zugewiesen wurde. Die Stützbosse auf dem kleinen Plinthenstück Kat. 45 dürfte das rechte Knie dieser Figur getragen haben.

162 Die linke Hand ohne Finger Kat. 62 mit der fein geglätteten leeren Innenfläche hielt dagegen keine Waffe, sondern vielleicht, wie an dem flach vorgebeugten zu Hilfe eilenden Krieger auf Aegina (O. IV), einen angestückten Helm. Zum Bewegungsmotiv einer solchen Figur passt auch das Stück vom rechten, einst rechtwinklig angehobenen Fuß Kat. 49 mit den auf der Plinthe haftenden und jetzt fehlenden Zehen. Einer solchen weit ausgreifenden Figur, vielleicht ebendiesem vorstürzenden Helfer, ist wohl auch das Stück eines schräg angewinkelten Armes Kat. 63 zuzuschreiben, welches noch

den gespannten Bizeps über der Armbeuge zeigt. Unsicher bleibt die Zugehörigkeit des kleinen rechten Handgelenks Kat. 64, das nach den gespannten Sehnen zu einem angestrengt den Speer umklammernden Vorkämpfer passen würde.

163 Somit gibt es Hinweise auf zwei Krieger in Ausfallstellung, auf einen wankenden Krieger, auf einen knienden Schützen im Panzer und auf einen ebensolchen, aber in einem langärmeligen Trikot, sowie auf einen in flachem Lauf vorgebeugten Helfer. Das Fragment Kat. 51 eines einst mit dem Saum eines Chitons bedeckten Fußpaares auf seiner Plinthe gehörte wohl zu einer ruhig stehenden weiblichen Figur in der Mitte des Giebels.

164 Diese nur ganz skizzenhaft rekonstruierbaren Figuren hätten alle in einem Giebel Platz. Zu ihrer Anordnung können nur hypothetische Annahmen in Analogie zu den Aegineten getroffen werden<sup>236</sup>. Hier waren die aufrecht Kämpfenden, d. h. die siegreichen Vorkämpfer und ihre wankenden Gegner, wohl rechts und links von der weiblichen Mittelfigur angeordnet; die Schützen knieten im engeren Raum nahe den Ecken und zwischen ihnen bewegten sich zwei geduckt vorpreschende Helfer. In den äußeren Zwickeln in den Ecken kann man sich, wie auf Aegina, die im Kampf liegen gebliebenen Schilde oder Helme vorstellen, während der kleinere Raum des Metapontiner Giebels wohl keinen Platz für gefallene oder sterbende Krieger bot.

### Zur Deutung der Figurengruppe des Marmorgiebels

165 Nach diesen Beobachtungen stellt sich die Frage nach der Bedeutung der gewählten Figurenkomposition im Marmorgiebel des Tempels C II in Metapont. Nach unserer Vorstellung kann sie nur das Grundthema der Aegineten, der in den Kämpfen um Troja sinnbildhaft dargestellte Antagonismus zwischen Griechen und ihren durch die Trojaner repräsentierten Gegnern, übernommen haben<sup>237</sup>. Diese allgemein-griechische Bedeutung muss dabei in Metapont gegenüber den lokalen Absichten der Auftraggeber auf Aegina<sup>238</sup> im Vordergrund gestanden haben.

166 Dass die nur durch drei geringe Fragmente (Kat. 51. 53–55) bezeugte aufrecht stehende weibliche Mittelfigur Athena darstellt, soll als erste Arbeitshypothese stehen bleiben. Die Bewaffnung und der Hinweis auf einen Lederpanzer über dem Chiton der Krieger lassen allgemein an griechische Kämpfer denken, und der durch die drei kleinen Fragmente Kat. 59–61 zu erschließende Bogenschütze in skythischer Tracht könnte in Analogie zu demjenigen im Westgiebel des Aphaia-Tempels als Trojaner bezeichnet werden. Dieser wurde seit der Auffindung der Skulpturen aufgrund der epischen Tradition über die Vorfahren der Aegineten, die Aiakiden, fast immer als der junge Paris identifiziert, doch auch das ist heute nicht mehr unwidersprochen, da es sonst keine einzige gesicherte Darstellung des bogenschießenden trojanischen Prinzen in skythischem Gewand gibt<sup>239</sup>. Daher ist auch der Vorschlag nicht von der Hand zu weisen, die schlanke Figur in der bequemen und den ganzen Körper gut schützenden bunten Kleidung als Amazone zu identifizieren<sup>240</sup>. Bekanntlich war ihre ursprünglich orientalische Tracht in der attischen Vasenmalerei des ausgehenden 6. Jhs. generell zur Uniform der Bogenschützen geworden, und sie erscheint als solche auf trojanischer wie auf griechischer Seite.

167 Aber welche Szene des Kampfes um Troja mit Paris im skythischen Trikot oder mit einer Amazone hätte sinnvollerweise für den Giebel über der Eingangsfront

---

236 Zur Komposition des Ostgiebels: Ohly I 1976, 83 f.

237 Zur langen Diskussion um die inhaltliche Deutung der Aegineten zuletzt Wünsche 2011, 205–221.

238 Der Preis der Aiakiden, der mythischen Ahnen Aeginas, die besonders zum Sieg über die Trojaner beigetragen haben, s. Wünsche 2011, 219.

239 Wünsche 2011, 213; vgl. Zournatzi 2019; Miller 2011.

240 Rolley 1994, 203–205.

des Tempels in Metapont gewählt werden sollen? Wir müssen davon ausgehen, dass hier, genau wie an den Tempeln im griechischen Mutterland dieser Epoche, durch die für den Betrachter frappierende Gegenwärtigkeit der großen Bilder die Projektion eines heldenhaften mythischen Geschehens der Geschichte der Polis formuliert und damit die Identität der Gemeinschaft gefestigt werden sollte.

168 Historiker und Archäologen diskutieren in den letzten Jahrzehnten mit zunehmendem Interesse auch die Zeugnisse der Identitätsfindung in den westlichen Kolonien, ganz besonders in den Städten der Achäer in Unteritalien<sup>241</sup>. Eine eminente Rolle spielt dabei ihr Name, der gleichzeitig den mythischen Ethnos der Achaiai der Peloponnes und die Achäer Unteritaliens bezeichnete<sup>242</sup>. Ein wichtiges Zeugnis dafür war im 5. Jh. die berühmte, von Onatas geschaffene Weihgeschenkgruppe der Achäer in Olympia. Pausanias<sup>243</sup> spricht von den ἀναθήματα ἐν κοινῷ τοῦ Ἀχαιῶν ἔθνους. Dargestellt war die in der Ilias überlieferte Episode der Wahl der Griechen – Nestor, Agamemnon, Idomeneus und sechs weiterer –, bei der sich durch das Los entscheiden sollte, wer zum entscheidenden Zweikampf gegen Hektor anzutreten hatte<sup>244</sup>. Auch eine Inschrift auf der erhaltenen Basis besagte, dass die Statuen dem Zeus von den Achäern geweiht waren. Die vorherrschende Meinung geht dahin, dass das aufwendige Monument in Olympia voraussetzt, dass die Achäer Unteritaliens sich zu dieser Zeit bereits unter diesem Namen als Mitglieder einer politischen Organisation, der achäischen Liga, fühlten und somit als Nachfahren der homerischen Achäer<sup>245</sup>. An anderer Stelle hebt Pausanias hervor, dass, obgleich die Achäer im Kampf gegen Troja die größte Gruppe gestellt hatten, deren Nachfolger den Perserkriegen fern geblieben waren und weder in Salamis noch bei Plataiai eingegriffen hatten, wie auch aus mehreren Inschriften hervorgeht<sup>246</sup>. Aus welchen Gründen auch immer das erfolgte, die Betonung der Zugehörigkeit der Achäer zum griechischen Ethnos war in dieser entscheidenden Zeit der Abgrenzung von den ›Anderen‹, den Persern, den Barbaren, besonders wichtig.

169 Für Metapont selbst, das sich durch besonders viele in unterschiedlichen Epochen bevorzugte Gründungsmythen auszeichnet<sup>247</sup>, findet sich ein aufschlussreiches schriftliches Zeugnis für unsere Thematik im berühmten 11. Epinikion des Bakchylides für den jungen Faustkämpfer Alexidamos, der 458 oder 454 v. Chr. in Delphi siegte, nachdem ihm zuerst in Olympia die Auszeichnung versagt worden war<sup>248</sup>. In diesem Lied gilt das Lob deshalb in erster Linie Apollon<sup>249</sup> und sehr ausführlich auch seiner Schwester Artemis »in ihrem Hain am Kasas«<sup>250</sup>, die aus ihrem alten Heiligtum in Lousoi

---

241 Greco 2002.

242 Allgemein zu dem Thema zuletzt De Sensi Sestito 2020; Kowalzig 2007, 267–308; Rizakis 2013.

243 Paus. 5, 25, 8–10.

244 Il. 7, 161–166; Freitag 1996.

245 In die gleiche politische Richtung ging die um 460 – in die Zeit der 80. Olympiade – datierbare Weihung derselben Achäer in Erinnerung an den Stadionläufer Oibotas, der schon in der frühen sechsten Olympiade gesiegt hatte, aber nie geehrt worden war.

246 Paus 7, 6, 3–4.

247 Mele 1998; Cairns 2005; Kowalzig 2007, 268–271. 310: »That Metapontion had so many different foundation accounts is itself an index of competing formulation of the city's past and their continuous reinterpretation in the light of Metapontions turbulent history. But on a closer view, all the south Italian cities have an issue with their origins, and were in constant identity crisis in which manipulating their mixed past in one or another direction, highlighting one ›ethnic‹ aspect or another, was favorite ethnic sport.«

248 Bakchyl. 11, bes. 113–126. Maehler 1982; Montepaone 1986; Kowalzig 2007, 283–305.

249 Übers. Maehler 1982, ##: Apollon »[...] durch deine Gunst / Erfüllen auch heute Festzüge / gutgewachsener Jünglinge / und festlicher Jubel die gottgeehrte Stadt Metapont. / Sie feiern den Sieger der Pythien, / Phaiskos' bewunderten Sohn.« / »Mit gnädigem Auge hat ihn der Delos-geborene / Sohn der tiefgegürteten Leto / empfangen, und viele / Blütenkränze überschütteten Alexidamos / in der Ebene von / Kirrha wegen seines kraftvollen / Ringkampfes, in dem er alle besiegte. / An jenem Tag sah die Sonne ihn nicht zur Erde stürzen.«

250 Kasas oder Casuentus ist der Fluss Basento, an dem das Heiligtum von S. Biagio della Vanella liegt, Edlund-Berry 1987, 88 f.

auf der Peloponnes in der »rossereichen« Stadt Metapont erschienen war<sup>251</sup>. Mit ihr kamen »die kriegerischen Achäer, die, durch das Wohlwollen der Götter, zusammen mit den bronzegepanzerten Atriden die fest gegründete Stadt des Priamos zerstört hatten«, berichtet Bakchylides<sup>252</sup>. Das Gedicht endet mit dem Ausruf: »Wer rechtlichen Sinnes ist, wird / unzählige Heldentaten / der Achaier / in jeder Zeit finden.« Diese als selbstverständlich dargestellte schmeichelhafte Zugehörigkeit zu den Nachkommen der mythischen Helden hat unter Historikern der Neuzeit schon viele Fragen und Erläuterungen provoziert, sie war aber offensichtlich in der breiten Bürgerschaft vorherrschend und als Vorbild gern gesehen<sup>253</sup>. Vor diesem Hintergrund scheint es uns angemessen, auch für die Deutung der Szene im Marmorgiebel an eine Episode eines solchen heroischen Kampfes zu denken.

170 Weiter zu gehen und einen konkreteren Vorschlag zu machen, verbietet freilich der karge Befund, auch wenn man unsere Interpretation der einzelnen Fragmente akzeptiert. Es genügt uns, an das Wenige zu erinnern, was wir mit einer Darstellung der Athena<sup>254</sup> in der Giebelmitte verbinden, um die Grenzen unseres Versuchs anzuerkennen.

171 Wahrscheinlich spielte auch der materielle Wert des ganzen Kunstwerks und das Prestige, das damit verbunden war, eine Rolle, ohne dass man dies nur als politische Selbstdarstellung ohne religiöse Bedeutung verstehen müsste. Schließlich ging es immer auch, wie andere bedeutende Weihgaben mit ihren Dedikationsinschriften zeigen, um die Weihung eines Werkes von außerordentlicher Schönheit, an der sich die Gottheit erfreuen sollte<sup>255</sup>.

## Zur Herkunft der Künstler und zur Datierung

172 Sicherlich sind an den Fragmenten stilistische Unterschiede festzustellen, die jedoch schwer zu werten sind, aber unzweifelhaft weisen alle hier behandelten Stücke die meisten Ähnlichkeiten mit den beiden Giebeln vom Aphaia-Tempel auf Aegina auf. So scheint, wie schon hervorgehoben, die feingliedrige Zartheit der Hand Kat. 58, die einst den Bogen hielt, das Werk eines anderen Meisters zu sein als die Hände mit dem Schild Kat. 56 und mit dem Schwert Kat. 57 oder der fleischige Fuß des Schützen auf dem großen Plinthenfragment Kat. 44. Letzteres könnte einem Bildhauer zugeschrieben werden, der zuvor an der Ausführung des aeginetischen Westgiebels beteiligt war – wenn man nicht in Betracht ziehen will, dass die auffallende Zierlichkeit einer weiblichen Figur, einer Amazone, zugehört.

173 Die stilistischen Beobachtungen an den Fragmenten in Metapont können jedenfalls allein keine weiteren Erkenntnisse über die Herkunft der ausführenden Bildhauer liefern. Bis heute gibt es keine Einigkeit, woher die Meister kamen, die

---

251 Giacometti 1999; Calame 1999; Lombardo 1998, 61; Cairns 2005. Zum ionischen Tempel (der Artemis?) im Norden des Stadtheiligtums (Tempel D) De Siena 1999, 240; Picarreda 1999.

252 Übers. Maehler 1982, ##: »Von dort zogst du dann auch mit kriegerischen / Männern von Achaia nach deren rossenährnder / Stadt, und unter glücklichem Stern / wohnst du nun in Metapont, goldene Herrin der Völker. / (Sie gründeten?) dir einen lieblichen Hain / beim stattlichen Gewässer des Kasas / ... als endlich / nach dem Ratschluß der Götter / des Priamos fest gegründete Stadt sie zerstört hatten, / zusammen mit den erzgepanzerten Atriden.«

253 Zuletzt De Sensi Sestito 2020, mit Bibl.; Mele 2002; Greco 2002; Kowalzig 2007, 297–319; Moggi 2002; Malkin 2001.

254 Nur noch zur Kultfrage: Athena trat auch als Beschützerin der griechischen Helden an Bauten auf, die ihr nicht geweiht waren, Knell 1990, 77.

255 Zuletzt Scholl 2019; Franssen 2011.

die als Aegineten bekannten Giebelgruppen des Aphaia-Tempels zusammen mit den Akroteren schufen: von Aegina, von den Kykladen, aus einer Werkstatt auf Paros, von wo auch der Marmor stammt<sup>256</sup>? War die Werkstatt eine »nesiotische Schwester der korinthischen Plastik«<sup>257</sup> oder sind die Skulpturen von einer »in der Bauplastik erfahrenen, mit dem Material vertrauten attischen Bildhauerwerkstatt ausgeführt«<sup>258</sup> worden?

174 Uns scheint es naheliegend, zunächst an ein Weiterwirken der Bildhauer von der skulpturalen Ausstattung des bisher gegen 510 datierten Apollon-Tempels im Stadtheiligtum derselben Insel zu denken, der ja auch schon marmorne Simen und Dachziegel von demselben Typus wie der Aphaia-Tempel und Giebelfiguren hatte<sup>259</sup>. Die wenigen erhaltenen Skulpturen sind wegen ihres schlechten Zustandes schwer zu beurteilen, sie sind meist rundherum stark mitgenommen, nachdem sie offenbar Jahrhunderte lang offen herumgelegen haben. Trotzdem sind sie ein Beleg dafür, dass der Wille, große Tempel wie in Athen mit stark bewegten Figurenszenen aus wertvollem Marmor auszustatten, seit mindestens einer Generation vorhanden war. Auch Elena Walter-Karydi zieht in Erwägung, dass der entwerfende Meister des Westgiebels des Aphaia-Tempels sich in den Gestaltungs- und Anordnungsprinzipien nach dem Athener Vorbild gerichtet hat<sup>260</sup>. Wie dem auch sei, aus unserer Sicht können wir für die Metapontiner Fragmente nur die generelle stilistische Ähnlichkeit mit den Aegineten wiederholen und im Rahmen der Fragestellung nach Herkunft und Identität der Künstler noch zwei kleine Anmerkungen anfügen:

175 Alles zusammengenommen, scheint das neu rekonstruierte Mittelakroter Abb. 34 die meisten Teile in einem Stück so zu vereinen<sup>261</sup>, dass wir vermuten können, dass es in Fortentwicklung des Modells des Mittelakroters am Ostgiebel des Aphaia-Tempels entworfen wurde. Auf Letzterem fand sich auf der Rückseite eine wenig beachtete und bis heute nicht eindeutig interpretierte Inschrift, die möglicherweise auch als eine Art Signatur gelesen werden kann: nämlich zweimal, asymmetrisch, die gleiche Folge derselben drei Buchstaben, getrennt durch einen kleinen Kreis: Alpha, My und Pi, oder Alpha, vierstrichiges Sigma und Pi<sup>262</sup>. Klaus Hallof folgt Fraenkel in der Annahme, dass es die ersten Buchstaben von Ampelion seien, dem Namen des aeginetischen *technites*, der das Akroter schuf<sup>263</sup>. Würde es sich jedoch um das vierstrichige Sigma des ionischen Alphabets handeln, könnte es auch von einem Parier geschrieben worden sein, da auch dieses Zeichen im 6. Jh. in Inschriften auf der Insel begegnet. Nach der Meinung von Angelos Matthaiou hieße der Bildhauer dann Asbetos oder Aspasios<sup>264</sup>.

176 In Metapont selbst sei zudem auf ein auf den ersten Blick unscheinbares Fundstück aus dem Stadtheiligtum hingewiesen, nämlich das Randfragment eines sorgfältig gearbeiteten Louterions (Abb. 71), ebenfalls aus parischem Marmor<sup>265</sup>. Auf diesem sind noch die fünf Buchstaben EUPRO zu lesen, wohl der Rest des Namens

---

256 Maderna-Lauter 2002, 233 f.

257 Walter-Karydi 1987, 128; Walter-Karydi 1986, 136.

258 Floren 1987, 310.

259 Walter-Karydi 1987, 132–149; Ohnesorg 1993, 29 f.

260 Walter-Karydi 1986.

261 Es wird stets angenommen, dass die betreffenden Fragmente auch wirklich von dem einen Akroter der Ostseite stammen.

262 IG IV<sup>2</sup> 109. Fiechter 1906, 290 Taf. 52, 5 a; 55, 8. Vgl. die Buchstaben auf der Unterseite eines korinthischen Marmorkalypters von der Akropolis, Ohnesorg 1993, Taf. 38, 4. 5.

263 IG IV<sup>2</sup> 109.

264 Für diese Auskunft danken wir Angelos Matthaiou. Vgl. Ohnesorg 1993, 128 f.

265 Inv. 147235. AL 32 F4 C816 (3–2 battuto). L 8,7; H 4,2; rekonstruierter Dm ca. 55 cm, Metaponto I, 230 Abb. 242.

---

The(o)upropos<sup>266</sup>; sonst bleibt die Ergänzung unsicher. Typologisch findet der Beckenrand die engsten Parallelen in zwei Fragmenten von Marmorbecken aus dem Apollon-Heiligtum von Aegina<sup>267</sup>. Die Form der Schriftzeichen ist aber achäisch, sie sind wohl von einem lokalen Steinmetzen nachträglich eingeritzt. Derselbe sonst seltene Name ist für den berühmten aeginetischen Bildhauer überliefert, der nach Pausanias u. a. einen bronzenen Stier für das delphische Heiligtum schuf, von dessen Inschrift des beginnenden 5. Jhs. v. Chr. Reste erhalten sind<sup>268</sup>; ob hier wohl ein Zusammenhang besteht?

71

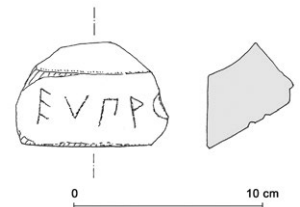


Abb. 71: Metapont, Louterionfrgt. aus Marmor (Zeichnung M. 1 : 4)

177 Hier ist nun auch der Ort, auf die oben schon kurz angesprochene und wegen der von uns vermuteten Zusammenhänge mit Aegina besonders umstrittene Frage der Datierung<sup>269</sup> einzugehen. Dazu kann der Befund in Metapont allerdings so gut wie nichts beitragen. Allein das Akroter mit seinen differenzierteren Formen der Palmetten und, unsere Rekonstruktion vorausgesetzt, der schlankeren Gestaltung des ganzen Gebildes lässt einen Ansatz deutlich nach dem Ostgiebel-Akroter des Aphaia-Tempels erkennen. Dabei ist in Metapont<sup>270</sup> kaum mit einem Zeitraum vor dem zweiten Viertel des 5. Jhs. für den Tempelneubau und damit auch für seine marmorne Ausstattung zu rechnen, ohne dass wir das hier weiter ausführen könnten. Es genügt, an die so heterogenen übrigen großen Baumaßnahmen der Zeit im Stadtheiligtum zu denken, wie die ›Modernisierung‹ der archaischen Peripteroi mit ihren neuen Terrakottadächern<sup>271</sup> oder den singulären neuen Peripteraltempel ionischer Ordnung, um sich über die Schwierigkeiten dabei ein Bild zu machen. Für Letzteren wird die vorgeschlagene Datierung um 470 neuerdings durch die Grabungsdaten bestätigt<sup>272</sup>; dabei bleibt noch abzuwarten, ob sich auch die Annahme bestätigt, dass die bekannte Terrakotta-Kore zu dessen Mittelakroter-Volutenbaum gehört<sup>273</sup> – dann wohl nach dem Modell des Tempels C (?).

178 Dieser Akrotertypus scheint dann auch im Zuge weiterer Realisierungen von Marmordächern im Westen noch größere Verbreitung gefunden zu haben, um die jüngsten Beobachtungen von Maria Clara Conti zum zuletzt dem Tempel A in Selinunt zugeschriebenen Dachschmuck<sup>274</sup> aufzunehmen<sup>275</sup>. Dieses Dach und sein plastischer Schmuck<sup>276</sup> stehen dem des Tempels C II in Metapont ohnehin stilistisch recht nahe, jedenfalls in der Qualität nicht nach. Nur gering, aber gerade im Vergleich mit Aegina und Metapont erkennbar sind die Unterschiede, wie die etwas weicheren, rundlicheren, voluminöseren Formen der Haare der Löwenköpfe oder besonders der Voluten der

266 Für den Hinweis auf diese Namensergänzung danke ich Maria Letizia Lazzarini.

267 Kerschner 1996, 88 f. Abb. 8 Kat. 42. 44 Taf. 22. Im Aphaia-Heiligtum fanden sich Randfragmente von ähnlichen fein gearbeiteten Marmorbecken aus parischem Marmor, eines mit dem Rest einer Weihinschrift an Aphaia, Schäfer 1992, 18. 26 f. Nr. 13. 29. 30. Allg. Pimpl 1997.

268 Vatin 1981, 440–443; EAA VI (1966) 818 f. s. v. Theoupropos (P. Moreno); Walter-Karydi 1987, 44 f.

269 s. o. Anm. 49.

270 Zu den Grabungsdaten s. o. § 2–4 mit Anm. 7; Mertens 2006, 332–337; Carter 2006, 210–218.

271 Einschließlich ihrer offenbar sehr aufwendigen figürlichen Akrotergruppen (Danner 1997), deren systematische Bearbeitung noch aussteht.

272 Freundliche Auskunft von Svenja Neumann, s. Anm. 37.

273 Steininger 1996, 111 f.; die Ecken waren von Palmettenakroteren eingenommen; Publikation in Vorbereitung, s. Anm. 37.

274 s. Rekonstruktion von Mertens, Ohnesorg und Knechtel im Museo Archeologico Regionale ›Antonino Salinas‹ in Palermo; danach Marconi 2021, 128 f.; s. Knechtel 2023.

275 Conti – Lazzarini 2021, 27–30. 32 (Dat. 2. Viertel 5. Jh.). 32 f. (nützliche, wenn auch nicht ganz vollständige Auflistung der Marmordächer des 5. Jhs. im Westen).

276 Knechtel 2023.

Firstantefixe<sup>277</sup>. So vermutet man, dass in Selinunt andere, aber ebenfalls aus Griechenland, vielleicht tatsächlich direkt von Paros gerufene<sup>278</sup> Werkleute tätig waren als in Metapont.

179 Es muss hier bei diesen Andeutungen bleiben – eine solche Untersuchung, systematisch für alle vergleichbaren Beispiele in Unteritalien und Sizilien durchgeführt, würde erheblich mehr Raum füllen, als wir ihn hier haben. Nur ein anderes Beispiel, das erst kürzlich vorgestellt worden ist, kann hier nicht unerwähnt bleiben: nämlich die eingangs genannten, von von Hesberg so überzeugend mit Aegina in Zusammenhang gebrachten und ebenfalls als Giebel interpretierten Skulpturenfunde in Apollonia – ihrerseits also in einem Umfeld gefunden, welches dem der unteritalischen Poleis sehr nahesteht. Unter diesem Blickwinkel stehen auch von Hesbergs umsichtige Erwägungen zu den möglichen Prozessen der Zuwanderung und Integration der sicher aus den Zentren Griechenlands – angeworbenen oder ausgewanderten oder vorübergehend ansässigen? – Handwerker und Künstler<sup>279</sup>.

180 Fragen, die sich ganz generell natürlich auch in Metapont stellen, in unserem konkreten, auf das eine (Gesamt-)Werk des Tempels C II beschränkten Fall aber sehr klar zu fassen sind. Denn es scheint uns, dass die Bezüge zu den aeginetischen Skulpturen tatsächlich so eng sind, dass es auf der Insel selbst ausgebildete und organisierte Werkstätten waren, die den Giebelschmuck des Tempels C ausführten. Dennoch ist natürlich davon auszugehen, dass in einer solchen Werkstatt von Fall zu Fall neue Bildhauer auch von außerhalb dazugekommen sind, von der Marmorinsel Paros selbst<sup>280</sup> oder aus Athen, wo ständige Bauhütten vielerorts tätig waren und Arbeit und Ausbildung nach dem Vorbild der besten Künstler der Zeit förderten. Wie die Beziehungen zwischen diesen Werkstätten und den Metapontiner Auftraggebern zustande kamen und dann umgesetzt wurden, ist natürlich völlig offen.

181 Nur über einige Umstände, wie etwa den Aufwand des Unternehmens, kann man noch nachdenken: Das Dach unseres Tempels allein von 24 Kubikmetern mit dem Werkzoll und der für den Transport unerlässlichen Bosse wog ca. 67 Tonnen, ohne die Giebelfiguren, also eine volle Ladung für einen gebräuchlichen Frachter für die Hochseeschifffahrt der damaligen Zeit<sup>281</sup>. Die bewundernswerte Organisation dieser Unternehmen, die gewaltiger Lastentransporte über Land und Meer bedurften<sup>282</sup>, ist nicht erklärbar ohne den Beitrag besonders weitblickender Persönlichkeiten, wie ihn gerade der für seine Zeit einzigartige, aktive und reiche Händler Sostratos von Aegina darstellte, von dem Herodot mit Nachdruck und Bewunderung berichtet<sup>283</sup>.

182 Ein im aeginetischen Apollon-Heiligtum gefundener Marmorquader einer monumentalen Stufenbasis trägt den Rest einer sorgfältig gestalteten Inschrift, die diesen Namen enthält und wohl ein reiches Weihgeschenk des Stifters trug<sup>284</sup>. In ebendiesem Unternehmer vermuteten Fausto Zevi und Fabrizio Santi<sup>285</sup> schon den weitgereisten Handelsunternehmer, der auch in Gravisca, der Hafenstadt von Tarquinia, im Hera-Heiligtum einen Anker mit der Weihinschrift an Apollon mit seinem vollen Namen

---

277 In Metapont kennen wir die Firstlösung nicht, doch gibt es unter der recht großen Zahl von Fundstücken keinen Hinweis auf den für Selinunt charakteristischen und von den Kykladen bekannten Typus des geknickten Firstkalypters (s. o. § 97).

278 Marconi 2021, 129.

279 von Hesberg u. a. 2018.

280 G. Gruben in: Schuller 1991, S. VIII denkt für den kleinen Artemis-Tempel im Delion auf Paros an eine »erstklassige Bauhütte mit auswärtigen Beziehungen und Erfahrungen«.

281 s. o. § 98; Höckmann 1985, 66–70; zum Aufwand in Marmor in einem Heiligtum s. z. B. Herrmann 2000.

282 Allg. Schneider 1992, 130–155.

283 Hdt. 4, 152.

284 Die Höhe der Buchstaben beträgt 5–6 cm; Hoffelner 1996, 21–24 Abb. 9 Taf. 3 a; Walter-Karydy 1987, 84 Nr. 60; 103 f. Taf. 41.

285 Santi 2001, 200–205.

---

weihte, denselben Mann, dessen Schiffe attische Gefäße mit der Keramikmarke SO in großer Menge nach Unteritalien und Etrurien brachten<sup>286</sup>. Eine Persönlichkeit ähnlichen Formats könnte auch an dem ehrgeizigen Unternehmen in Metapont beteiligt gewesen sein.

## Der Kalksteingiebel

183 Nach unserer Analyse hatte der Tempel zwei Fronten und wohl auch zwei Giebel. Dies ist auch für den marmornen Dachrand samt Akroteren anzunehmen, denn Kat. 27 und 33 lassen auf zwei verschiedene Mittelakroterebäume schließen. Beim Versuch der Verteilung der Fundstücke ergab sich aber – bei aller durch den Befund gebotenen Zurückhaltung – ein großes Übergewicht des einen gegenüber dem anderen Akroter, das sich möglicherweise auch in der Größe niederschlug. So stellen wir uns das größere, besser belegte auf dem Ostgiebel, das andere auf dem ›hinteren‹, dem Westgiebel, vor<sup>287</sup>. Bei den Fragmenten der figürlichen Giebelplastik aus Marmor gibt es keine Hinweise auf eine Verteilung auf beide Giebel, aber auch keine Stücke, die einander im selben Giebel ausschließen würden, so wie das bei den Mittelakroteren der Fall ist. Wir haben daher in unserem Vorschlag alle vorhandenen Fragmente in einem Giebel vereinen können. Daher nehmen wir auch an, dass sie alle in denselben Giebel – den Ostgiebel – gehörten. Das ist natürlich ebenso hypothetisch wie alles andere, öffnet aber den Weg zu einer neuen These hinsichtlich des Westgiebels des Tempels C, der für die von der Hauptstraße AA aus dem Hinterland kommenden Betrachter gut sichtbar war.

184 Nach den spärlichen Angaben der Ausgräber wurde 1966 im Südwesten des Heiligtums sowie vor der Westfront des Tempels A eine stattliche Menge von Fragmenten meist komplett zertrümmerter Skulpturen aus Kalkstein geborgen. Die Stücke fanden sich mehrheitlich in regellos durchwühlten Schichten unter dem planierten Boden für einfache späte, sicher nachklassische Wohnhäuser<sup>288</sup>. Das Fundmaterial ist, soweit überhaupt zu beurteilen, in mehrere Kategorien zu scheiden: Zur ersten gehört eine Anzahl von schwer erkennbaren, fast unförmigen Stücken aus grauem Kalkstein von grob und mit geringem Formgefühl geschaffenen Figuren, die nicht annähernd rekonstruierbar sind. Mehrheitlich sind die Fragmente aber aus einem ursprünglich weißen, hellgrau patinierten, sehr feinen und weichen Kalkstein, sog. *pietra tenera*. Auch darunter sind Größen- und Qualitätsunterschiede in der Bearbeitung und plastischen Ausführung festzustellen, die es angesichts des ebenfalls sehr fragmentarischen Zustandes des Materials schwer machen, Zusammengehöriges zu bestimmen; hinzu kommen Schwierigkeiten bei der Zuweisung der Fragmente an ihre Befundzusammenhänge<sup>289</sup>. So beschränken wir uns hier auf wenige ausgewählte Stücke, die von gut proportionierten und sorgfältig ausgeführten Figuren stammen und dabei vor allem in ihren Dimensionen, soweit sie messbar sind, denen der marmornen Figuren des Ostgiebels gleichen. Ihre bildhauerische Qualität erreicht nicht die jener exzellenten Werkstatt, es wird sich jedoch zeigen, dass auch sie von geschulten Kalksteinspezialisten mit lebhafter bildnerischer Gabe geschaffen worden sind. Daher und wegen der Fundsituation bringen wir diese Stücke mit unserem Tempel in Verbindung<sup>290</sup>.

---

286 Gianfrotta 1975; Johnston 1979, 80–87; Torelli 1982; Hiller 2000.

287 s. o. § 114 mit Anm. 196.

288 Adamesteanu 1967; D. Adamesteanu in: *Metaponto I*, 67; Steininger 1996, 99–106.

289 Die heute in den Materialkisten 11740–11748 gesammelten Fragmente konnten noch nicht angemessen dokumentiert und beurteilt werden, müssen aber in eine abschließende Bearbeitung einbezogen werden.

290 Eine Anordnung der Fragmente von Kalkstein-Reliefplastik an Metopen oder gar im Giebel des Tempels A II (Steininger 1996, 104. 106) ist aus dimensional und chronologischen Gründen, vor allem aber im strukturellen Aufbau der Ordnung des Tempels schwer vorstellbar; ausführlicher dazu in der in Anm. 37 angekündigten Veröffentlichung.

185 Die Stücke sind nicht rundplastisch, sondern nach der traditionellen Art der Hochreliefs in der Tiefe nur um etwas mehr als die Hälfte ihres Volumens (ca. 25 cm Tiefe) ausgeführt. Nach der Zerstörung des Tempels wurden sie offenbar von ihrem Hintergrund, nach unserer Vorstellung also von den Tympanonblöcken, abgeschlagen, damit diese nach der Glättung anderswo wiederverwendet werden konnten<sup>291</sup>. Dieser wichtige Befund erklärt die Tatsache, dass dieser Figurenkomplex neben sehr kleinen auch ein paar große Körperstücke umfasst, während solche aus dem Marmorgiebel, in dem die Figuren nur auf den Plinthen im Giebelboden fest verankert waren, verhältnismäßig rar sind und die Fußstücke und Plinthenstücke mit Füßen sowie die einzelnen Hände überwiegen.

186 Es fällt auf, dass das Steinmaterial auch hier an den bearbeiteten Oberflächen weniger tiefgreifend verwittert ist, da diese von der ursprünglichen farbigen Fassung geschützt waren<sup>292</sup>. Auf dem feinen weißen Stein war eine Grundierung mit Stuck nicht notwendig. Von den Farben sind leider nur noch Spuren roter Farbe auf dem Panzer der Amazone Kat. 69 erhalten. Auffällig sind die vielen Zeichen des Scharriereisens, die sich auf ausgedehnten Flächen finden und vermuten lassen, dass hier keine besondere Glättung vorgesehen war. Die Oberfläche des Steins war nie poliert.

187 Das bedeutendste Stück ist die in einen Panzer gekleidete Figur Kat. 69 (Abb. 72). Von ihrem im Profil sichtbaren, stark vorgebeugten Körper sind nach der eben erwähnten Art der Hochreliefs nur ca. zwei Drittel dargestellt, das dem Tympanon zugewandte Drittel fehlt<sup>293</sup>. Der bis etwa zur Mitte des Vorderarmes reichende linke Arm ist abgebrochen und neu befestigt. Mit Adamesteanu<sup>294</sup> sind wir der Meinung, dass der weich geformte Körper mit den leicht gewölbten Brüsten zu einer Amazone gehört<sup>295</sup>. Sie trägt einen faltenlosen ledernen Laschenpanzer mit flach gefalteten Pteryges, die sich unten regelmäßig fächerartig öffnen und auf denen die genannten geringen Reste roter Farbe erhalten sind. Eine rechteckige Schulterlasche reicht vorn bis auf die linke Brust hinunter. Der unregelmäßig gefaltete Stoff, der über den Schenkeln, am Oberarm und – eben noch erkennbar – am Halsausschnitt des Panzers hervordringt, charakterisiert anschaulich die Leichtigkeit des feinen Chitons. Diese unterschiedliche Charakterisierung der Stoffe sowie die zarte Modellierung der weichen Formen des nackten Frauenarmes zeugen von guter handwerklicher Bildhauerkunst, die indessen, wegen der leichten Modellierbarkeit des verfügbaren weichen Kalksteins, zu ganz anderer Gestaltung führte als die, die wir von der Marmorskulptur dieser Zeit kennen<sup>296</sup>.

188 Dass das Bewegungsmotiv nicht – wie bisher angenommen – das einer Knienden ist, zeigt einerseits der Vergleich mit der bekannten Amazone aus dem Giebel des Tempels des Apollon Daphnephoros von Eretria in Rom<sup>297</sup>, andererseits der Vergleich mit den Schützen des Aphaia-Tempels. Diese haben alle eine senkrechte Rückenachse,

---

291 Vgl. den Befund in Apollonia, wo im Relief konzipierte marmorne Körper auf einen Tympanongrund aus anderem Stein appliziert waren, von Hesberg u. a. 2018, 67.

292 Kleine Einschlüsse aus härterem Material sind teilweise durch Wasser herausgewaschen worden, was auf der Oberfläche kanalartige Höhlungen hinterlassen hat, so z. B. am Helm Kat. 71.

293 Die Befestigung dicht auf einem hölzernen Hintergrund lässt eine fotografische Aufnahme der Figur nicht zu.

294 Metaponto I, 66 f.

295 Der Oberkörper ist im Profil weitgehend vom gesenkten Arm verdeckt, doch die Vorderansicht zeigt die Wölbung der Brustpartie deutlich. Steininger 1996, 105 vermutet dagegen, dass es sich um eine männliche Figur handelt, da die Brustbildung nicht eindeutig weiblich sei. Dies ist allerdings bei dem festen Lederkoller, das die Brust umschnürt, auch nicht zu erwarten. Vgl. die Theseus-Amazone-Metope vom Schatzhaus der Athener in Delphi, Knell 1990, 56 f. Abb. 83, ebenso wie die nur wenig jüngere sog. Herakles-Metope des Hera-Tempels in Selinunt, Marconi 1994, 268–276 Taf. 59; Tusa 1983, 119 f. Taf. 11. 14; Langlotz 1963, 81 f. Taf. 100.

296 Zur Polychromie der Plastik: Brinkmann 2003; Brinkmann – Wünsche 2004.

297 Talamo 1995; La Rocca 1986, 51 f.



72

das rechte Bein ist mit dem Knie auf den Boden aufgestützt, das linke schräg erhoben auf den flachen Fuß aufgestellt. An der Amazone in Metapont ist der Rücken in weicher Kurve vorgebogen und die Richtung der Beine weicht vom Hüftansatz an nur wenig voneinander ab. Die Figur dürfte am gesenkten linken Arm auch nicht den Schild der Amazonen, die sichelförmige Pelta, gehalten haben, da dieser sonst den größten Teil der Figur verdeckt hätte.

Abb. 72: Giebelfigur aus Kalkstein, Torso Kat. 69

189 Für die Deutung des Bewegungsmotivs entscheidend ist die eigens geformte scharfe Scharte mit zwei Löchern, die unterhalb des gefältelten Chitonsaums schräg über den Oberschenkel verläuft (Abb. 72 links). Sie diente der Befestigung eines kantigen Gegenstandes, der sich an der linken Hüfte befand, wohl einer an einem langen Gehänge befestigten Schwertscheide aus Metall, wie wir sie von anderen Skulpturen und zahllosen Vasenbildern weiblicher Kämpferinnen kennen<sup>298</sup>. Die Waffe selbst haben wir uns in der rechten Hand vorzustellen, die nach Angabe des Restes der etwas abwärts und nach vorn gerückten rechten Schulter nicht zum Angriff hoch erhoben war, sondern ermattet und ebenfalls leicht gesenkt. So erschließt sich die vorgebeugte Haltung des Torsos als die einer sich nur noch mit Mühe aufrecht haltenden, wohl verwundeten Kämpferin, in einem Bewegungsmotiv, das inhaltlich den wankenden Vorkämpfern des aeginetischen Ostgiebels vergleichbar ist<sup>299</sup>.

190 Die auf den Pteryges erhaltenen Farbspuren rufen die bekannten Rekonstruktionen des Lederpanzers der Antiope im Ostgiebel des Apollon-Tempels in Eretria in Erinnerung<sup>300</sup>, ebenso wie die zahllosen Vasenbilder, die zeigen, dass der Laschenpanzer und die enganliegenden Hosen der Amazonen über und über ornamental geschmückt waren. Für die kunstgeschichtliche Einordnung ist die bekannte Kalksteinmetope mit der Tötung der Amazone Hippolyte durch Herakles vom Tempel E in Selinunt von Bedeutung, zeigt sie doch eine aufs engste verwandte Oberflächengestaltung, die gleiche

298 An der Amazone in Rom ist auf der Außenseite des linken Oberschenkels eine großflächige rechteckige Bettung mit einem Dübelloch erhalten, die hier der Befestigung des aufwendigen großen Köchers diente.

299 D. Adamesteanu in: Metaponto I, 66 f. und Steinger 1996, 104–106 gehen davon aus, dass die Figur kniete und deuteten sie somit als Bogenschützen. Gerade der Vergleich mit den Bogenschützen des Aphaia-Tempels zeigt, dass an Knienden die Oberschenkel viel enger an den Körper gezogen sind als hier.

300 Brinkmann 2002, 274.



Abb. 73: Giebelfigur aus Kalkstein, Oberkörperfrgt. Kat. 70

73

Stilisierung der Details der Stoffe und die gleiche Typologie des Panzers mit den breiten Schulterlaschen<sup>301</sup>.

<sup>191</sup> Das Fragment vom flachen Oberkörper eines bekleideten Mannes Kat. 70 (Abb. 73) ist von besonderem Interesse, da vorn in hohem Profil zwei Reihen von lang herabfallenden Haarsträhnen erhalten sind, die zu einer verlorenen, offensichtlich weiblichen Figur gehörten. Sie sind gleichmäßig leicht gewellt und verliefen von der linken Schulter der männlichen Figur dicht an dessen Halsansatz vorbei leicht schräg über die flache Brust. Der von der rechten Schulter locker herabfallende Mantel ist in scharfe, dicht übereinandergeschichtete Falten gegliedert, während der weite Chiton am erhobenen Oberarm unregelmäßig gefältelt ist. Es ist die gleiche Gestaltungsweise, die wir bei der eben betrachteten Amazone an den Pteryges des Panzers und an den Ärmeln des Chitons festgestellt haben. Die Seitenansicht zeigt, dass der Oberkörper ganz leicht vorgebeugt war, die Rückseite war nicht mit dem Hintergrund verwachsen, sondern platt und geglättet. Vorn erkennt man am unteren Rand eine flache Bruchstelle, an der in erhöhtem Relief wahrscheinlich der Arm der weiblichen Figur aufsaß, zu der die gewellten Haarsträhnen gehörten. Daraus lässt sich das Bewegungsmotiv eines Paares erahnen<sup>302</sup>, genauer eines Mannes, der in aufrechter Haltung eine Frau auf den Armen trägt. Unsere Vermutung stützt sich auf das oft benutzte Bildschema des Mädchenraubs, wie es sich auf mehreren attischen Vasenbildern der Zeit um 500 v. Chr. findet und meistens Theseus mit der Amazonenkönigin Antiope darstellt<sup>303</sup>.

<sup>192</sup> Sollte die Rekonstruktion der Gruppe als ein Mann in aufrechter Haltung mit einer Frau in den Armen zutreffen, wäre diese in der Mitte des Giebels oder direkt daneben anzuordnen. Für die stilistische Einordnung sei wiederum auf eine Metope des Tempels E in Selinunt hingewiesen, nämlich die mit dem Kampf der Athena gegen den Giganten Enkelados<sup>304</sup>. Hier finden wir die vom erhobenen rechten Arm tief herunterfallenden dünnen Chitonfalten wieder, wobei der Mantelstoff allerdings nicht so eigenwillig flach und mit harten Schnitten gegliedert ist, sondern – noch ganz spätarchaisch – sich dem Körper anschmiegt.

<sup>301</sup> Marconi 1994, 58–61. 140–142. 205–222; Langlotz 1963, Taf. 101. 102. Zur Datierung auch Giuliani 1979, 76 f.; Østby 2000, 295 f.; Junker 2003, bes. 233.

<sup>302</sup> Vgl. Langner 2014, 111–115 Abb. 3–5. Zu den verschiedenen Bewegungsmotiven des Brautraubs auf dem Schlachtfeld vgl. Mertens-Horn 2005/2006, 50–59, bes. Abb. 39.

<sup>303</sup> Hölscher 1973, 71–73; Boardman 1982.

<sup>304</sup> Giuliani 1979, 73 f. Taf. 19; Tusa 1983, Taf. 9. 10.

193 Der Kriegerkopf Kat. 71 (Abb. 74) ist bis auf den oberen Teil der deutlich abgesetzten Kalotte relativ gut erhalten. Der tief über das Gesicht herabgezogene korinthische Helm hat starre, spitz zulaufende Helmwanen, Helmaugen und einen schmalen Nasenschutz. Er ist eindeutig für die Betrachtung von rechts konzipiert, denn die Vorderansicht des Gesichts mit dem nur als waagrechter Schlitz eingekerbten Mund war höchstens von schräg unten und aus großer Ferne erkennbar. Das vorgeschobene Kinn und der gestreckte Hals mit dem Rest einer hinten unter dem Helmrand flach herunterfallenden Haarbahn weisen darauf hin, dass der Krieger stark vorwärts bewegt war, wahrscheinlich in leicht geduckter Ausfallstellung. Da sich das Kampfgeschehen in den Giebelkompositionen dieser Zeit meistens zur Mitte hinbewegte, dürfte der Behelme in der linken Giebelhälfte gestanden haben.

194 Am behelmten Kopf Kat. 72 (Abb. 75) sind die ursprünglich bearbeiteten Bereiche so tiefgreifend verwittert, dass nur noch die Umrisse erkennbar sind. Vom wohl attischen Helm sind noch die breite Kehle über dem Ansatz des abstehenden unteren Randes und der hintere untere Teil des Umrisses der Kalotte erkennbar. Eine trügerische Erhebung über der Höhe des Ohrs ist für die Rekonstruktion der Helmform nicht bedeutsam. Das Fragment gibt keinen Hinweis auf das Bewegungsmotiv seines Trägers.

195 Das Fragment Kat. 73 (Abb. 76) umfasst einen Teil eines Oberschenkels mit dem leicht schrägen Ansatz des Knies. Knapp über diesem enden dieselben charakteristischen flachen Gewandfalten, die die Pteryges des Panzers der Amazone Kat. 69 und den Mantel der männlichen Figur Kat. 70 auszeichnen. Nach der Fallrichtung der Gewandfalten gehörte das Fragment zu einem annähernd senkrechten weiblichen Bein.

196 Der spitz vorgestreckte Vorderteil des Fußes Kat. 74 ist tiefgreifend korrodiert, doch die langen und schmalen Grundformen der feingliedrigen Zehen sind noch zu erkennen. Wichtig ist die Tatsache, dass der Fuß auf seiner Unterseite keinen Hinweis darauf zeigt, dass er den Boden oder einen anderen Gegenstand berührte. Er könnte deshalb zu einer verwundeten liegenden Figur oder zu der Amazone in den Armen des Brauträbers gehört haben.

197 Das Fragment Kat. 75 (Abb. 77) kann nach den Maßen nur zu einem bekleideten Unterarm gehören. Die eigens abgeflachte Rückseite zeigt, dass dieser dicht vor dem Reliefgrund, aber ohne Berührung mit einem Körper frei im Raum bewegt war. Das unregelmäßige Gefältel folgt dem gleichen formalen Typus wie am Chitonstoff der anderen Figuren und zeigt die eigenartige, an Terrakottaplastik erinnernde Unbestimmtheit der Modellierung des weichen Kalksteins besonders deutlich.

198 Ein sehr schlanker, rundum nur zurückhaltend mit Angabe von Muskeln und Sehnen modellierter nackter Unterarm (Kat. 76) reicht vom Handgelenk bis zum Ansatz der Armbeuge. Er war ebenfalls frei bewegt. Ob er zu einer weiblichen oder einer männlichen Figur gehörte, ist nicht mehr zu entscheiden.

199 Von der geschlossenen Hand Kat. 77 (Abb. 78) sind nur die Finger erhalten. Die flüchtig, aber geschickt modellierten langen und geschmeidigen Finger sind zur Faust geschlossen, und eine tiefe runde Höhlung an der Unterseite und eine flache Mulde oben lassen darauf schließen, dass hier eine Waffe, ein Speer oder ein Schwert aus anderem Material eingesetzt war.

200 In demselben Stil gearbeitet war das Fragment der schmalen rechten Hand Kat. 78 (Abb. 79), die ebenfalls einen runden Gegenstand umfasste. Die erhaltenen drei Finger waren auch hier lang und geschmeidig.

201 An letzter Stelle sei noch auf das Fragment eines männlichen Kopfes aus weißem Kalkstein hingewiesen, der sich in Privatbesitz in Genf befinden soll. Von dem Stück wurde mir 1982 eine kleine Polaroidaufnahme persönlich von Jirí Frel »zur wissenschaftlichen Nutzung« übergeben, mit der Versicherung, dass das Fragment aus



74



75



76

Abb. 74: Giebelfigur aus Kalkstein, Kriegerkopf Kat. 71

Abb. 75: Giebelfigur aus Kalkstein, behelmter Kopf Kat. 72

Abb. 76: Giebelfigur aus Kalkstein, Beinfrgt. Kat. 73

Metapont stamme und zu den übrigen Kalksteinskulpturen gehöre<sup>305</sup>. Diese Mitteilung ist nicht von vorneherein abzulehnen, da die leicht asymmetrische, etwas unscharfe Modellierung des hohen Gesichts und der schräg gegliederten abgeflachten Rolle des Stirnhaars gut zum Stil der Skulpturengruppe passen würde. Gern würde man in ihm den Kopf des jungen Helden erkennen, der in der Giebelmitte die besiegte Amazone vom Schlachtfeld trägt.

202 Hält man diese Stücke für repräsentativ, war das Thema hier vermutlich ein Kampf zwischen Griechen und Amazonen. Den Stil betreffend ist es nicht leicht, einen Vergleich für die dem weichen Material so angemessenen Detailformen zu finden, es sei denn, wir wenden den Blick wieder nach Selinunt, auf die genannten spätarchaischen und frühklassischen Metopen<sup>306</sup>. Auch die anderen, hier nicht mehr im Detail betrachteten Fragmente zeigen stilistisch das gleiche Bild, fehlende ›Tiefenschärfe‹ und vage formulierte Umrisse, Formen, die ganz auf die letztlich den Eindruck bestimmende lebhaftige Bemalung vertrauten.

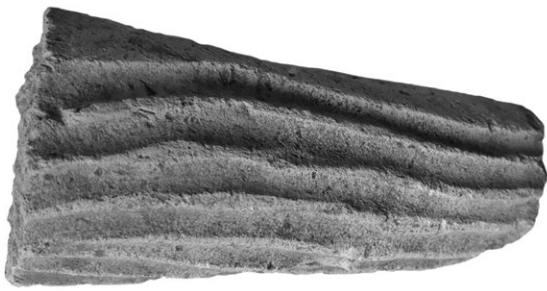
203 Die gleichzeitige Wahl unterschiedlicher Materialien für die Figuren der beiden Giebel eines Tempels ist nicht abwegig, findet sie sich doch bekanntlich auch an einem der wichtigsten Bauten spätarchaischer Zeit, am Apollon-Tempel der Alkmäoniden in Delphi<sup>307</sup>. Während an diesem das Hochrelief des Westgiebels aus bescheidenem Porosstein besteht, wählte man für die freistehenden Figuren des Ostgiebels parischen Marmor. Durch diesen Giebelschmuck an der Hauptfront über dem Eingang des Tempels sollte der besondere Anspruch des ehrgeizigen reichen Herrschergeschlechts in Athen in Szene gesetzt werden, denn schon Herodot berichtet (5, 26), dass es ausgemacht war, dass die Athener die Vorderseite aus kostbarem Marmor errichteten, während das Übrige aus Porosstein erbaut werden sollte. Es war ebenso sehr eine Demonstration machtpolitischer Art wie ein unübertreffliches Zeichen der öffentlichen Frömmigkeit gegenüber dem delphischen Gott.<sup>308</sup> Auch an dem delphischen Prachtbau sind die Themen der beiden Giebel unterschiedlich: im Osten die feierliche Epiphanie

305 Einmal mehr ist hier der Handel mit gelegentlich an sich fast wertlosen Antiken zu beklagen, der gerade in den 1960er und 1970er Jahren in dieser Gegend besonders lebhaft war. Jiri Frel berichtete mir, dass er als Tscheche zur Zeit des Zweiten Weltkrieges im vom faschistischen Regime Italiens errichteten Konzentrationslager Ferramonti di Tarsia bei Sybaris interniert war. Dort konnte er, dank der am Ort herrschenden Liberalität, in engen Kontakt zur Landbevölkerung treten, was seinem schon damals lebhaften Interesse an der Archäologie und seiner Kenntnis der historischen Topographie der Gegend am Golf von Tarent zugute kam.

306 Marconi 1994, 190–196. Am etwas jüngeren Amazonenkampffries aus dem Heiligtum in der Gaggera ist die Oberfläche der Figuren mit all ihren Details so schlecht erhalten, dass sie nicht mehr aussagekräftig ist, Tusa 1983, 145–175.

307 Floren 1987, 244 f.; s. auch von Hesberg u. a. 2018, 67.

308 Barrett 1984; Gauer 1968, 54 f. 103–105; Knell 1990, 43–51; Maderna-Lauter 2002, 255 f.



78



79



77

Apollons in seinem Heiligtum auf seinem Viergespann, im Westen der dramatische Kampf zwischen Göttern und Giganten, der durch das machtvolle Auftreten des Zeus entschieden wird.

Abb. 77: Giebelfigur aus Kalkstein, Armfrgt. Kat. 75

Abb. 78: Giebelfigur aus Kalkstein, Hand Kat. 77

Abb. 79: Giebelfigur aus Kalkstein, Handfrgt. Kat. 78

### Sinngehalt der beiden Figurengruppen: Griechen gegen Griechen und Griechen gegen Amazonen

204 Uns ist bewusst, dass die hier vorgeschlagene Interpretation des Befundes manchen Leser zunächst auf kritische Distanz gehen lassen wird. In der Tat stellt sich nicht nur die Frage, aus welchen Gründen die Bürger von Metapont das ehrgeizige Vorhaben hatten, für den Neubau des ältesten Tempels in ihrem Stadtheiligtum ein Marmordach in Auftrag zu geben, das auf der einen Seite Giebelfiguren aus dem kostbarsten parischen Marmor und auf der anderen Seite eine Reliefgruppe aus Kalkstein trägt. Ebenso schwierig ist die Suche nach dem Grund für die Wahl des Themas des Amazonenkampfes. Für Metapont kennen wir keine schriftliche Quelle mit einem Hinweis darauf, dass die Bürger der Stadt sich besonders für diese fremden Kämpfe, sei es die des Herakles oder die des Theseus, interessiert haben. Wie schon das Thema des Marmorgiebels gezeigt hat, waren allerdings ihre Bemühungen um die Erfahrbarkeit der eigenen Geschichte, die ihre besondere griechisch-achäische Identität mit all ihren Vorrechten unterstützen konnte, im 5. Jh. allgegenwärtig.

205 In Attika und in seinem Umfeld gehört die Amazonomachie des Theseus seit dem letzten Viertel des 6. Jhs. v. Chr. in das Bildrepertoire der Bauplastik. Wir begegnen ihr zuerst im Westgiebel des Apollon-Tempels im Stadtheiligtum von Aegina<sup>309</sup> und in einem kleinen spätarchaischen Giebel aus Topolia in Böotien<sup>310</sup>. Zwischen 507 v. Chr. und der persischen Zerstörung um 490 entstanden der Westgiebel<sup>311</sup> und eine Figurengruppe auf einem Mittelakroter<sup>312</sup> des Apollon-Tempels von Eretria. Kurz darauf finden wir das Thema beherrschend in Delphi auf den Metopen des Schatzhauses der Athener,

309 Walter-Karydi 1986; Walter-Karydi 1987; Walter-Karydi 2006.

310 Erhalten ist nur eine gefallene Amazone mit phrygischem Helm, s. Curtius 1905, 175–177 Taf. 13; Demakopoulou – Konsola 1981, 37 Kat. 10.

311 Touloupa 1986; Touloupa 1983 (Dat. um 510–500 v. Chr.).

312 Touloupa 2002, 73–79.

auf der Ostseite über dem Eingang, speziell auf Theseus bezogen auf der Südseite<sup>313</sup> und sogar in den reitenden Kämpferinnen der Akrotere<sup>314</sup>. In Athen waren die Kämpfe auf mehreren Metopen eines noch nicht benennbaren Tempels auf der Südseite der Akropolis dargestellt<sup>315</sup>. Genannt sei auch die erhaltene Plinthe vom Mittelakroter des aus dieser Zeit stammenden Athena-Tempels in Karthaia auf Keos, auf der die Namen Theseus und Antiope eingemeißelt sind<sup>316</sup>.

206 Die Forschung ist sich einig darin, dass für die Griechen mit dem legendären Bild des kämpferischen Frauenvolkes ursprünglich das Thema der barbarischen Fremdheit und des ›Andersseins‹ thematisiert wurde und dass Herakles, Bellerophon und Theseus ausgeschickt wurden, um die griechische Identität und Zivilisation vor den aus sagenhafter Ferne gekommenen Wesen zu beschützen<sup>317</sup>. Die Kämpfe wurden so zu mythischen Exempla, mit denen die kriegerischen Auseinandersetzungen mit benachbarten Volksgruppen der frühen Geschichte auf zahllosen Vasen im Bilde dargestellt werden konnten. Neue überzeugende Interpretationen der Quellen und der Bilder zeigen, dass der Amazonenmythos in Athen, Attika und auf Euböa ein hohes Identifikationspotential für den Synoikismos des Theseus hatte, indem die durch ihn repräsentierte städtische Bevölkerung die in der Vorzeit in den Stadtverbund hinzugekommenen Fremden mit den Amazonen parallelisieren und mit einer positiven Konnotation in ihre Geschichte integrieren konnte<sup>318</sup>. Zur Zeit der schwierigen Integration der Landbevölkerung in den erweiterten Umkreis der Stadt Athen wurde eine berühmte Fremde aus dem Osten, die Königin Antiope, in die lokale Sage eingeführt und ihr Grab später noch lange verehrt. Mehrere Amazonen wurden an der kleinasiatischen Küste zu Gründerinnen griechischer Städte und zu eponymen Heroinen, in Ephesos sollten sie sogar die Ehrenämter der Dienerinnen und Priesterinnen im berühmten Artemis-Heiligtum übernehmen. Es war die Epoche der Kolonisation, in der die Griechen lernten, weltoffen in Kontakt mit anderen Kulturen zu treten und zwischen Fremden und Feinden zu unterscheiden<sup>319</sup>.

207 Im fernen Westen, auf Sizilien, ist es eine Generation später – anders als in Athen – Herakles, der auf einer Metope des Tempels E in Selinunt der Amazonenkönigin den Todesstoß versetzt<sup>320</sup>. Auch auf einem kleinen Relieffries aus dem benachbarten Malophoros-Heiligtum<sup>321</sup> war dieser Held auf einem vielfigurigen Amazonenkampf dargestellt<sup>322</sup>. Anscheinend waren auch hier die Frauen furchteinflößende Vertreter-

---

313 de La Coste-Messelière 1957; von den Hoff 2009; Hoffelner 1988. Akzeptiert man die Spätdatierung des Schatzhauses nach der Schlacht von Marathon, wird dieser Zweikampf allerdings zu einer ersten symbolischen Versinnbildlichung des Konflikts mit den Persern, s. Boardman 1982; Gensheimer 2017; Valavanis 2019. Zur Datierung des Schatzhauses und des Aphaia-Tempels nach den Formen der Bemalung der einzelnen Bauglieder s. Bankel 1993, 158–165. 169 f.; zuletzt Bankel 2019, 159–161.

314 von Bothmer 1957, 117 f.; Reinhardt 2018, 53–62; von den Hoff 2009.

315 Despinès 1986, 210 Taf. 75. 76.

316 Ohnesorg 1993, 93 f. Taf. 23. 24; Touloupa 1998; Touloupa 2016; Walter-Karydi 1987, 109 Abb. 177–179.

317 von den Hoff 2001; von den Hoff 2009; von den Hoff 2010, 340–344; Tyrrell 1982; Calame 1996.

318 Langner 2014, 103–138; Fachard 2019; Neer 2004; Calame 1996. Zur Amazonenfigur in der Bilderwelt der griechischen Frauen in der attischen Vasenmalerei s. Giuman 2006.

319 Als besonders aufschlussreich für das Verständnis dieser nachträglichen mythologischen Darstellung und Neudeutung der ältesten geschichtlichen Ereignisse der Koloniestädte und der Auseinandersetzung der neuen herrschenden Gesellschaft mit der einheimischen Bevölkerung sei an die 9. Pythische Ode Pindars für Telesikrates von Kyrene erinnert. Calame 1990; Calame 1996.

320 Marconi 1994, Taf. 58–61; Tusa 1983, 119 Taf. 12; Giuliani 1979, 73–75 Taf. 34, 2.

321 Marconi 1994, 268–271 Abb. 205. 206.

322 Giuliani 1979, 74 f. Taf. 1. 2; Lo stile severo in Sicilia, 221 Nr. 67 (E. Østby); Marconi 1994, 268 f. Abb. 125. 126. Ein kleines Metopenfragment mit dem Rest einer in einen weichen Lederpanzer gekleideten Amazone, das 1934 im Seleheiligtum in Paestum in der Nähe der Westfront des spätarchaischen Tempels gefunden wurde und heute verschollen ist, bezeugt eine Szene ähnlichen Inhalts, Zancani Montuoro – Zanotti Bianco 1951, 194 f. Taf. 86 B.

rinnen des indigenen Volkes, das von den eingewanderten Griechen traditionell als barbarischer Feind angesehen wurde, mit dem man sich auseinanderzusetzen hatte<sup>323</sup>.

208 Ein in unserem Zusammenhang besonders aussagekräftiger Sagenkreis ist in Kaulonia und Kroton lokalisiert, den beiden Achäerstädten an der südlichsten Küste Italiens<sup>324</sup>. Der Dichter des 3. Jhs. v. Chr., Lykophron, nimmt in seiner *Alexandra* auf ihn Bezug, im Laufe seiner düsteren, auf Kassandras Prophezeiungen basierenden Erzählung von dem hoffnungslosen Los, das den Achäern nach dem Fall von Troja auf ihrer Heimfahrt beschieden war. Die Verse 859–865 beschreiben die Lage der an dem »Vorgebirge des Linus« gelandeten griechischen Seefahrer, die in dem fruchtbaren Hinterland auf die Amazonenkönigin Kleite/Kleite treffen und sie nach gewaltsamen Auseinandersetzungen mit ihrem Volk besiegen. Der Sohn der Kleite, Kaulon, wird zum eponymen Heros der Stadt Kaulonia, bevor diese ihrerseits den Krotoniaten zum Opfer fällt. Kleite war nach dieser Erzählung ursprünglich die Amme der Amazonenkönigin Penthesilea. Nachdem diese auf dem Schlachtfeld vor Troja von Achill getötet worden war, zog Kleite aus, um nach dem Leichnam zu suchen und ihn zu begraben; doch unterwegs landete sie von den Winden getrieben am Gestade des späteren Kaulonia. Folgt man Lykophron, darf man davon ausgehen, dass noch lange danach die Chöre der Frauen von Kroton auf dem Kap Lakinion ihre Stimmen zur Totenklage um die Amazonenkönigin und Achilles erhoben. Hier lässt sich das Aufeinandertreffen der nach einem festen Staatsgebilde strebenden Griechen mit dem barbarischen nomadisierenden Volk von Jägerinnen erkennen, das mit dessen Niederlage enden musste.

209 Kehren wir zurück nach Metapont. Die Erforschung der wechselvollen Beziehungen zwischen den in seiner Chora und derjenigen seines kleineren Nachbarn Siris sesshaft gewordenen Siedlern mit der im weiten Hinterland um die Flüsse Bradano und Basento lebenden indigenen Bevölkerung ist in den letzten Jahrzehnten auf allen möglichen Gebieten besonders lebhaft und fruchtbar<sup>325</sup>. Die griechischen Neubürger dehnten ihr Gebiet durch die Urbarmachung des Hinterlandes mit Hilfe ihrer Sklaven rasch aus. Die Siedlungsformen der indigenen Bewohner sind noch weitgehend unbekannt, wichtig sind jedoch die Reste von herrschaftlichen Bauten, *anaktora*, wie die in Braida Serra di Valle und in Torre di Satriano. Reiche Zeugnisse enthalten besonders die Nekropolen. Die als *gentes* bezeichneten ethnischen Gruppen oder »Clans« hatten lange durchaus halbnomadischen Charakter, sie siedelten jahreszeitenbedingt an unterschiedlichen Stellen, auf natürlich befestigten Anhöhen oder in den fruchtbaren Flussebenen, wo die genannten fürstlichen Wohnungen der wichtigsten Familienverbände eindruckliche Spuren hinterließen<sup>326</sup>. Seit der ausgehenden Eisenzeit nach der Mitte des 7. Jhs. v. Chr. wurden in den Gräbern der Mitglieder dieser reichen enotrischen Herrschergeschlechter Gaben von ungewöhnlichem Reichtum niedergelegt<sup>327</sup>.

210 Darunter zeichnen sich besonders die Beisetzungen der Gattinnen und Töchter dieser privilegierten Herren durch den großen Reichtum ihrer zeremoniellen Geschmeide aus Gold, Bronze, Elfenbein und Bernstein aus. Wie in einem Grab in Chiaromonte lagen auf und neben den Köpern aufs sorgfältigste angeordnet vielteilige Halsbänder und Armreifen, Ohrgehänge, Haarschmuck und zuweilen auch die kleinen ornamentierten Goldbleche und Perlen, die auf die ausgewählten Gewebe ihrer Gewänder aufgenäht waren<sup>328</sup>. Diese Ensembles dürften ursprünglich die Mitgift oder

---

323 Giangiulio 1983; Marconi 1994.

324 De Sensi Sestito 2020.

325 De Siena 2001; Carter 2001; Bottini 2013.

326 Bottini 2016; Osanna u. a. 2018; Burkhardt 2013, 157–179.

327 Burkhardt 2013, 139–150. 183–186; Carter u. a. 1998, 145–160.

328 Bianco 2020, 109–120; Greco 2014.

der Hochzeitschmuck der Bräute gewesen sein, die bei den Beisetzungszeremonien noch einmal ihren Rang bezeugen sollten. In den frühen griechischen Nekropolen sind ähnlich reiche Befunde bis auf wenige Ausnahmen unbekannt.

211 Ein für unsere Fragestellung besonders aufschlussreicher Fund ist das prächtige, durch einen aufgeschütteten Tumulus geschützte Grab eines jungen Kriegers in Baragiano bei Potenza<sup>329</sup> im erweiterten Einzugsgebiet von Metapont. Rund um den Verstorbenen waren bronzene Waffen, Rüstungsteile und Gefäße von hoher Qualität und teilweise aus fernen Werkstätten in Anatolien, Griechenland und Etrurien angeordnet, die von den weit verzweigten Handelsbeziehungen dieser Geschlechter zeugen<sup>330</sup>. Das komplette vielzählige Symposionsgeschirr lokaler Produktion zeigt, dass an dem zeremoniellen Totenmahl – ganz anders als bei den Griechen der achäischen Städte – alle Mitglieder der Familie teilnahmen. Dabei fallen zwölf aus den besten attischen Keramikwerkstätten stammende Gefäße auf, so eine mit Bildern der Heldentaten von Theseus und Herakles verzierte Lekane. Zwei große Kleinmeisterschalen aus der Zeit um 540/530 sind auf den Bildstreifen einmal mit Symposionszenen und dionysischen Elementen geschmückt, das andere Mal mit Kampfszenen von berittenen Griechen gegen Amazonen (Abb. 80). Gern wüsste man, was sich die offenbar mit den griechischen Lebensformen und -idealen schon weitgehend vertrauten Enotrier bei dieser Szene gedacht haben, in der die leicht gekleideten Frauen auf ihren Pferden nicht weniger stolz kämpfen als ihre Gegner, wobei jedoch die mit einem hoch geschmückten Helm ausgezeichnete Anführerin im Bildzentrum unter dem Stoß des Speeres ihres Gegners kläglich einknickt. Die Thematik der Gegnerschaft zwischen den an patriarchalische Lebensformen gewohnten Männern und dem bedrohten, aber zu allem entschlossenen Frauenvolk war offenbar auch hier schon im lokalen Mythos bekannt<sup>331</sup>.

212 In dieser Haltung der einheimischen Bevölkerung Nordlukaniens zeigt sich vermutlich die Einsicht, dass das von den eingewanderten Griechen vermittelte Kulturgut nicht etwas von vorneherein Abzulehnendes war, sondern, sichtbar zu eigen gemacht, als Zeichen hohen Prestiges galt, verdeutlichte es doch, dass man den ethnischen Griechen nicht unterlegen war. Die Narrative der griechischen Neusiedler mussten jedoch einsichtig sein und mit den eigenen Überlieferungen und den aus diesen folgenden Gewohnheiten des täglichen Lebens und der feierlichen Anlässe wie Hochzeiten und Beerdigungen vereinbar.

213 In diesem Zusammenhang ist die Anwendung des Begriffs Synoikismos aufschlussreich, den der zeitlich nächste Zeuge der Ereignisse des 5. Jhs., der Historiker Antiochos von Syrakus, für die vom griechischen Achaia und im Einverständnis mit Sybaris ausgehende Gründung Metaponts verwendet, wobei die benachbarten Tarentiner durch eine vieldeutige Abmachung überlistet wurden<sup>332</sup>. Der Anführer bei dieser Unternehmung soll ein gewisser Leukippos gewesen sein<sup>333</sup>, an den im 4. Jh. v. Chr. als den eigentlichen Oikisten der Stadt auf den wertvollsten Münzen aus Gold und Silber mit einem edlen Strategenkopf mit seinem bisweilen beigeschriebenen Namen erinnert wurde<sup>334</sup>.

---

329 Capuano 1988, 35–60; Russo 2002; Russo 2008, 94–103. 159 Kat. 128.

330 Bottini – Setari 2003; Carter 2006, 173–185; Guzzo 2011, 307–315; Giangiulio 1997.

331 Osanna 2002, 73–103.

332 In Strab. 6, 1, 15 fr. 11 Jacoby.

333 Mele 2007, 84 f.; Mele 1998, 70–74; Guzzo 2011, 212–225. 297–315. Vgl. auch Carter 2006, 80–89. So berichtet es auch Strab. 6, 1, 15. De Siena 2001, 761: »I coloni achei nei decenni finali del VII secolo a. C. trovano di fatto un'area deserta, senza alcuna forma di resistenza umana e senza alcun condizionamento dovuto a precedenti impianti strutturati.«

334 Franke – Hirmer 1972, 71–73.

---



Abb. 80: Darstellung der Amazonomachie auf einer Schale aus dem Grab von Baragiano

80

214 Es gibt jedoch genug Anzeichen dafür, dass die Landnahme nicht immer friedlich vor sich ging und dass lokale Streitigkeiten nicht selten waren. Es ging darum, die schon anwesenden Bevölkerungsgruppen rund um die neue Stadt mit ihrer Agora und den zentralen Poliskulten durch ein System von Wegen und Straßen und eine Reihe extraurbaner Heiligtümer einzubinden<sup>335</sup>. In der aktuellen Forschung geht man davon aus, dass die lokalen Erzählungen über die Befriedung des ausgedehnten Stadtgebietes von Anfang an auch die im Binnenland anwesende indigene Bevölkerung im Blick hatten, mit der man zunächst die für die Hafenstadt wichtigen Handelsverbindungen aufnehmen konnte<sup>336</sup>.

215 In diesem Kontext dürfte man gerade auch an die legendären, in ihrer Bedeutung den Amazonen gleichenden indigenen Frauen gedacht haben, deren Andenken durch die von den nunmehr in die griechische Gemeinschaft integrierten Nachkommen bei wichtigen Begehungen wie Hochzeiten oder Bestattungen hochgehalten wurde<sup>337</sup>. Davon zeugt z. B. die Grabstätte einer jungen Frau in Metapont, die »tomba no. 91« in der Nekropole Torre di Mare, die von den einfacheren griechischen Gräbern abweichende, außerordentlich reiche Beigaben enthielt (Abb. 81): außer Schmuck aus

335 De Siena 2001.

336 Für die später tradierten Narrative über die Apoikia und die Landnahme Metaponts haben sich die verschiedenen Heldenlegenden der homerischen Nostoi als Fixpunkte für die Topographie in Stadt und Chora angeboten (Mele 1998, 70–74; Mele 2007, 84–86). Als Wahrzeichen für die frühe Präsenz und die Wichtigkeit dieser Mythen sei an den ins späte 7. Jh. datierbaren Terrakottafries eines nicht mehr erhaltenen Kultbaus in S. Biagio della Venella bei Metapont erinnert, Mertens-Horn 1992, 1–44; Giangulio 2002, bes. 293 f.

337 De Siena 2001. Zur Bedeutung von »Mischehen« in dieser Gesellschaft s. Saxkjær 2017.



81

Abb. 81: Metapont, Grabinhalt aus »tomba 91«

Silber und Bronze überraschenderweise ein ganzes Geschirr für eine große Anzahl von Teilnehmern bei einem Totenmahl, ganz in der Tradition der um Generationen älteren etruskischen fürstlichen Familien.

216 In mehreren griechischen Nekropolen zwischen Metapont und Tarent fanden sich einige weibliche Beisetzungen, deren Beigaben aus besonders aufwendig gearbeiteten polosförmigen Kopfbedeckungen aus mit Gold überzogenem Silber bestehen, die im Aufbau auffällige Ähnlichkeit haben mit der oben genannten Krone aus dem Fürstengrab in Braida di Vaglio<sup>338</sup>. Sie kommen aus kunsthandwerklich hoch entwickelten lokalen Werkstätten, deren Datierung zwischen dem späten 6. und frühen 5. Jh. aber unsicher bleibt, schon aus dem einfachen Grund, dass bedeutungsvolle Wertsachen dieser Art in den Haushalten Generationen überleben konnten. Der ungewöhnlichen Auszeichnung der verstorbenen Frauen mit Statussymbolen der Familien wurde somit große Bedeutung beigemessen<sup>339</sup>, was vermuten lässt, dass die hiermit geehrten Frauen in Mischehen zwischen indigenen und griechischen Partnern lebten, ggf. Gattinnen oder Töchter von politisch hervorragenden Persönlichkeiten waren. Bei dem außerordentlichen Schmuckensemble mit einer solchen polosartigen Krone aus dem Frauengrab 238 der Nekropole Crucinia in Metapont (Abb. 82) vermutet Antonio De Siena sogar eine Familienzugehörigkeit zum zu dieser Zeit herrschenden

338 De Siena 2008b; Guzzo 2008.

339 Es sind dieselben polosartigen Kronen, wie sie auf metapontinischen Vasen von Heroinnen der griechischen Mythologie getragen werden und wohl durch Theaterszenen angeregt sind, so z. B. von der Andromeda auf dem berühmten Krater des »Malers A der Karneia«, der aus Malibu nach Italien zurückgekehrt ist, s. Godart – De Caro 2007, 164; Denoyelle – Iozzo 2009, 116 f.

›Tyrannen‹ oder Repräsentanten eines anderen einflussreichen *genos* der Stadt<sup>340</sup>. Er verweist auf das dieser Beisetzung direkt benachbarte monumentale und aus vier Kammern bestehende Fürstengrab (Nr. 598a. b; 608–609), in dem bronzene Waffen und Rüstungsteile außerordentlicher Qualität gefunden wurden, vermutlich auch der berühmte vergoldete Helm mit Widderaufsatz im St. Louis Art Museum (Missouri).

217       Anscheinend war die Mischehe zwischen Griechen und Mitgliedern einheimischer enotrischer Familien im 5. Jh. zu einer neuen Normalität geworden, wobei die Norm jeweils durch die üblichen alten Rituale besiegelt werden musste. Ein anschauliches Bild davon gibt auch die bekannte große Nestoris des Dolon-Malers in London, ein Prachtgefäß aus der Metapontiner Werkstatt, das schon durch seine Form Programm war (Abb. 83)<sup>341</sup>.

218       Die anderswo unbekannte Nestoris wurde am Ort in Anlehnung an die ältere messapische Trozella entwickelt, wobei sie in gesteigertem Format auch die rituelle Funktion eines Hochzeitsgeschenks annehmen konnte<sup>342</sup>. Nach attischer Art sind die figürlichen Szenen auf zwei Registern übereinander angeordnet und nehmen andeutungsweise aufeinander Bezug. Unten sehen wir eine wohl der griechischen Mythologie entlehnte Gruppe, in der ein Bote einem durch seine hieratische Tiara hervorgehobenen thronenden Würdenträger eine junge Frau und einen Jüngling vorstellt, die, griechisch gekleidet, gesenkten Hauptes von rechts herantreten. Im oberen Register ist die Hochzeit dargestellt, die zwischen einer griechischen Braut und einem ›einheimischen‹ Jüngling durch feierliche Handreichung geschlossen wird. Der Bräutigam und sein berittener Begleiter sind nach indigener Mode nur mit einem kurzen gegürteten Hemd bekleidet und mit Schwert und Schild als Krieger gekennzeichnet<sup>343</sup>. Die Braut trägt dagegen über dem Chiton einen auch den Kopf bedeckenden dünnen Schleier, wie auch die beiden Frauen hinter ihr durchaus aus dem griechischen Figurenrepertoire stammen. Im Zentrum des Bildes, auf dem rituell bedeutsamen Platz unter den verschränkten Händen des jungen Paares, steht auf dem Boden eine große Nestoris genau derselben Art, die ebenfalls in zwei Registern, aber mit schwarzen Figuren bemalt ist: ein der Feier angemessener kultischer Gegenstand oder schlicht ein Hochzeitsgeschenk mit einer wichtigen symbolischen Bedeutung.

219       Vor dieser Lebenswirklichkeit wird die in Metapont offenbar besonders hochgehaltene Tradition des Amazonenbildes verständlich, das in der Vasenmalerei der lokalen Werkstätten ab dem späteren 5. Jh. weit verbreitet war. Während die Amazonen in den anderen unteritalischen Keramikateliers dieser Zeit praktisch unbekannt sind<sup>344</sup>, wird ihr Bild in der seit dem letzten Drittel des 5. Jhs. höchst aktiven metapontinischen Werkstatt von verschiedenen Malern mit wachsendem Interesse herausgearbeitet. Als Erstes finden wir das Thema auf einem »aus Lukanien« stammenden Kelch-



82

Abb. 82: Metapont, Krone aus Frauengrab 238 der Nekropole Crucinia

340 De Siena 2008a; Guzzo 2016, 376–378; Bottini u. a. 2019.

341 London, British Museum Inv. F 175/1867.0508.1330; Denoyelle 2014; Denoyelle – Iozzo 2009, 575.

342 Colivicchi 2014, 224–228; Schneider-Herrmann 1980; vgl. die Nestoris des Amykos-Malers im Louvre, Denoyelle – Iozzo 2009, 104 f. Abb. 105.

343 Zu den Darstellungen der nichtgriechischen Bevölkerung auf den Vasen der Metapontiner Werkstatt Denoyelle 2019.

344 Silipo 2011.



83

Abb. 83: Nestoris des Dolon-Malers aus Metapont in London, Brit. Mus.

weiblichen Kämpferinnen als um die Problematik des politischen Zusammenlebens der Griechen mit dem ursprünglich fremden Volk ging.

220 Stellen wir nun abschließend die vorgeschlagenen Interpretationen der beiden Giebel einander gegenüber, zeigt sich, dass mit ihnen im Grunde genommen Vorkommnisse aus zwei verschiedenen Epochen des erwähnten reichen Mythenschatzes der Metapontiner evoziert wurden. Im entschieden vom aeginetischen Darstellungsmuster geprägten Marmorgiebel war es eine Kampfszene aus der nur ungenau zurechtgelegten ältesten Geschichte vor der eigentlichen Gründung der Stadt, mit den legendären Taten der achäischen Helden der Nostoi im Schutze der Göttin Athena. Im Kalksteingiebel dagegen scheinen in den Familien der Polis noch erinnerte Überlieferungen an die Frühzeit ihrer Gemeinschaft zu bildlichen Ehren gekommen zu sein, wirklich stattgefunden kriegesische Zwischenfälle mit dem im benachbarten Gebiet beheimateten Volk, einem Volk, in dem – anders als bei den Griechen selbst – auch die Frauen wehrhaft am Kampf teilnahmen.

krater des Pisticii-Malers, auf dem die vor einem Griechen fliehende Amazone hilfesuchend auf den Verfolger hinter ihr blickt<sup>345</sup>. Auf einer der großartigen Hydrien des Policoro-Malers aus einem Grab in dem neu gegründeten Thourioi (Abb. 84) wird die Tötung der wehrlosen Amazonenkönigin durch den Speer des Theseus dem Heroentod Sarpedons gegenübergestellt, der von Hypnos und Thanatos sanft in sein Heimatland Lykien zurückgeführt wird<sup>346</sup>. Auf der Scherbe eines großen Kraters des Dolon-Malers, die nahe Pisticii gefunden wurde, ist eine Szene der Sammlung der Amazonen zum Kampf dargestellt, deren eine bereits beritten und bewaffnet ist<sup>347</sup>. Durch diese eindrucklichen, sicher stark von der attischen Sagenikonographie beeinflussten Bilder musste allen deutlich werden, dass die Amazone nicht mehr das kampfproben barbarische Schreckensweib der frühen Archaik war, sondern ein schutzbedürftiges Geschöpf wie alle Menschen<sup>348</sup>. Die Bilder vermitteln die Botschaft, dass es jetzt mehr um das persönliche Schicksal der verletzlichen

345 Sturm 2017, 82 f. Taf. 25. Es handelt sich hier wohl nicht mehr um Antiope, sondern, wie auf den nachpersischen attischen Vasen üblich, um Penthesilea.

346 Neutsch 1967, 197–202 Taf. 50. 59; Bianco – Tagliente 1985, Taf. 53.

347 De Siena 2007, 445 Taf. 16, 2; vgl. Bottini 2012.

348 Vgl. Muth 2008, bes. 618–627; Servadei 2005.

## Resümee

von Dieter Mertens

221 Der früheste Tempelbau des Stadtheiligtums von Metapont, der Oikos C I mit seinem Altar, entstand zu Beginn des 6. Jhs. wohl an der Stelle hölzerner Vorgängerstrukturen, unmittelbar nördlich der Plateia A, der ersten Lebensader der Stadt, die anfangs als Entwässerungsgraben, dann als Hauptverbindungsstraße das soeben durch eine Sperrmauer abgetrennte Stadtgebiet mit dem landwirtschaftlichen Vorland verbinden sollte. Nach unserer Meinung Athena geweiht, war der Tempel wie die frühen Kultbauten derselben Gottheit in Francavilla Marittima bei Sybaris und in Siris/Policoro mit einem bedeutenden Figurenfries mit der Darstellung einer Kultprozession geschmückt, in der auch die Einheit von Stadt und Land, Asty und Chora, sinnbildlichen Ausdruck fand<sup>349</sup>.

222 In welchem Zustand sich das Gebäude befand, als man sich im ersten Viertel des 5. Jhs. oder wenig später zu einem Neubau entschloss, ist schwer zu sagen<sup>350</sup>; jedenfalls ist in den neuen Altar des größeren Tempels ein großes Stück des Terrakottafrieses offenbar mit Bedacht eingebaut worden, um die Kontinuität mit dem Vorgänger zu betonen<sup>351</sup>. Tatsächlich ging es beim Neubau in erster Linie darum, den alten Oikos möglichst weitgehend zu bewahren, ihn sorgsam zu ummanteln, aber in neuer und zeitgemäßer Pracht und Größe wiedererstehen zu lassen. Dazu wurde, entgegen der mit den beiden archaischen Tempeln vollzogenen Neuordnung des Heiligtums nach den Richtungsvorgaben aus dem gesamten Stadtorganismus, die alte Ausrichtung beibehalten. Auf der alten Achse wurde nun in großer Entfernung der genannte neue Altar angelegt, während der Kultbau selbst an der Stelle des alten verharrte. Unter Aussparung des Umrisses – nicht etwa Überbauung – des archaischen Oikos wurde um ihn herum eine große zusammenhängende Fundamentplattform angelegt, in der sich die angestrebte Größenordnung des Neubaus ausdrückt. Zugleich lässt ihre massive und durch die ungewöhnlichen Eckverklammerungen noch verstärkte Fügung die Absicht erkennen, alles aufzuwenden, um bei den extrem schlechten Gründungsbedingungen einen möglichst aufwendigen Bau darauf setzen zu können.

223 Um den Anspruch mit einem Peripteraltempel zu erfüllen, reichte der Platz aber offenbar nicht mehr aus. Daher wurde auf ein Konzept zurückgegriffen, das diesem Typus möglichst nahekommt, und dies in möglichst großer Dimension: also der Kernbau eines Peripteros, die Cella mit ihren beiden säulengeschmückten Vorhallen, in der Fachsprache ein ›Doppelantentempel‹ – der als eigenständiger Typus aber eigentlich



Abb. 84: Hydria des Policoro-Malers aus Thourioi

349 Mertens-Horn 1992.

350 Eine im Zuge der geplanten systematischen Neubearbeitung der Dachterrakotten aus dem Stadtheiligtum zu erwartende genaue Sichtung der Fundumstände aller mittlerweile bekannten Fragmente des Frieses wird dazu vielleicht noch konkretere Auskünfte geben.

351 s. o. Anm. 14.

gar nicht existiert<sup>352</sup>. Hier hingegen entstand er einfach dadurch, dass seine Fronten im Unterschied zu den Cellabauten der Peripteraltempel mit reich geschmückten Giebeln ausgestattet wurden. Was dem Tempel an Säulenreichtum mangelte, wurde durch die aufwendige Ausstattung der Giebel und der Dachbekrönung mit skulpturalem Schmuck aus Marmor ersetzt.

224 Dabei ist es ganz offen, wie der Beschluss der Metapontiner zustande kam, den neuen Tempel mit Dach- und Giebelschmuck aus parischem Marmor auszustatten. Gleiches gilt für die Vermittlung der griechischen Werkleute, deren Auftrag und alle damit verbundenen Fragen – angefangen bei der aufwendigen Beschaffung der oben geschätzten Menge schweren und kostbaren Marmors. Oben ist etwa an das Potential reicher und welterfahrener Unternehmer wie des Aegineten Sostratos erinnert worden (s. o. § 181). Offen bleibt auch die Frage, welchen Einfluss die angeworbenen Marmor-Spezialisten auf die Planung des Tempelbaus selbst nahmen. Dies wäre ja durchaus zu erwarten angesichts der direkten Anregungen der Zeit aus Griechenland, wie sie Rocco vertritt<sup>353</sup>, sowie der jüngsten Beobachtungen von Hesbergs zu den Befunden in Apollonia<sup>354</sup>, aber auch angesichts der zeitgenössischen Architekturentwicklung in Achaia<sup>355</sup>. Schließlich könnte auch das große Gewicht der Grund für die exzeptionelle Konzeption der zusammenhängenden Fundamentplatte gewesen sein.

225 Doch ist zu erwarten, dass man sich gerade an dieser besonders gefährdeten Stelle des Heiligtums<sup>356</sup> auf die alten Metapontiner Erfahrungen verließ, dem entspricht ja auch die Technik der Fügung, Aufritzung und Ebnung: Alles spricht für lokale Planung und Durchführung. Und auch für die Architektur des Aufbaus des Tempels haben wir – bei aller Anpassung an die proportionalen Normen der kanonischen dorischen Ordnung der ersten Hälfte des 5. Jhs. – nur den Hinweis auf die voluminösen Einzelformen, die gerade die Baukunst des Westens weiterhin kennzeichnen sollten. So müssen wir davon ausgehen, dass der Tempelbau von einer einheimischen Bauhütte entworfen und ausgeführt und der Beitrag der Marmorwerkstatt ganz auf den Schmuck des Dachrandes und der Giebel konzentriert war.

226 Fragt man sich nun nach den Vorgaben für deren Auftrag, so mag dazu auch eine Anpassung an eine Disposition gehört haben, welche die kurz zuvor erfolgte ›Modernisierung‹ der beiden archaischen Peripteroi in besonders gelungener Weise ausmachte: nämlich die Wahl einer mit Löwenkopf-Wasserspeiern geschmückten geschlossenen Traufsima anstelle des in Griechenland geläufigeren Dachrandes mit Palmettenkalypteren<sup>357</sup>. An den Giebelfronten aber, mit besonderer Betonung der östlichen Hauptseite, folgte man getreu den Modellen aus Griechenland und nach unserer Vorstellung eben aus Aegina selbst.

227 Da sind zunächst die Akrotere, besonders der Volutenbaum des Mittelakroters, der sich am ehesten als nach dem Modell der Akrotere des Aphaia-Tempels auf Aegina konzipiert erwiesen hat – oder jedenfalls mit diesem Modell vor Augen

---

352 Engl. Amphidistyle in-antis (Dinsmoor 1950, 396); it. anfidiistilo in-antis (Lippolis u. a. 2007, 892); zum Sonderfall der Cella des Zeus-Tempels in Kyrene s. Klose 2012/2013, 266 mit Anm. 14; vgl. auch den allerdings erst im 4. Jh. gebauten Asklepios-Tempel in Agrigent (Wolf 2016, 87–90). – Im Unterschied gerade zu diesem Tempel unterstreicht die große Längenerstreckung des Tempels C II, dass es sich dabei eigentlich um einen ›normalen‹ Cellabau handelt.

353 Rocco 2019; vgl. Bankel 2019, 161–163 zum Wirken des Aphaia-Architekten im Westen.

354 s. § 17. 54. 179.

355 Hellner 2019 sieht etwa den Hera-Tempel vor der Stadt (Tavole Palatine) in einem Zusammenhang mit den dort – wohl nach den Mustern auf Aegina – gebauten Tempeln mit gedrungener Grundrisssproportion. Sein Vergleich beschränkt sich aber auf diesen plantypologischen Aspekt, ohne die ganz in Metapontiner Tradition stehenden Verhältnisse und Formen des Aufbaus zu berücksichtigen.

356 s. o. § 28. Wir erinnern nochmals daran, dass der Ort möglicherweise dem Schutz der Athena Hygieia anvertraut war.

357 So auch am Aphaia-Tempel. Von den am Tempel A in Selinunt so eindrucksvoll bezeugten Firstpalmetten (s. Knechtel 2023) gibt es kein Stück, weder aus Marmor noch, soweit auszumachen, aus Terrakotta.

---

aus den Fragmenten hat rekonstruieren lassen: ein Vorschlag, der es auch erleichtert hat, Fragmente zu identifizieren, bei denen man sich vorstellen kann, wie der Baum durch die beiden Koren flankiert wurde und die gewohnten Sphinxfiguren die Giebellecken besetzten. Dass die graphische Rekonstruktion aus den vorhandenen Stücken zu einem etwas schlankeren und weniger kompakten Gebilde führte als beim aeginetischen Ostgiebel-Baum, verstehen wir – trotz des zugegebenermaßen hypothetischen Charakters<sup>358</sup> – dabei als natürliche Weiterentwicklung des Modells durch dieselben Künstler.

228 Viel schwieriger ist das Verständnis der übrigen nach den eingangs dargelegten Kriterien als zu einer Gruppe gehörenden figürlichen Fragmente, die aber gewiss mit den Akroteren zusammen gesehen werden müssen. Daher machen wir den in seinem methodischen Ansatz auch eigens begründeten Vorschlag ihrer Deutung und Rekonstruktion nur in der Überzeugung und Erfahrung, dass griechische Plastik der vor- und frühklassischen Zeit ähnlich verbindlichen Normen folgt wie die zeitgenössische Architektur. Dafür stellt der Aphaia-Tempel mit seinem Bildschmuck in der Zeit des Übergangs zur frühen Klassik auch ein überzeugendes Modell dar. In diesem Verständnis entstand das Bild der beidseits die Tempelherrin flankierenden Gruppen von Griechen in der Auseinandersetzung mit ihren Widersachern, die in ihrem ganzheitlichen Welt- und Schicksalsbild immer auch Partner waren. Dies war auch die thematische Ebene, auf der die Metapontiner die Neugestaltung ihres ältesten Sakralbaus diskutieren konnten, um in einer neuen zeitgemäßen Weise die eigene mythische oder als solche verstandene Vergangenheit in ein neues historisches Bewusstsein zu übertragen.

229 Dies spiegelt sich auch in ihrem Bestreben, das im Modell der aeginetischen Giebel vorgegebene Thema noch konkreter auf ihre eigene Situation zu beziehen und im ›hinteren‹, dem Westgiebel, um eine Figurengruppe eigener Art zu ergänzen. Nach unserer Vorstellung wird dort nämlich in Anspielung auf in Erzählungen erinnerte lokale Begegnungen mit ihren ehemaligen indigenen Nachbarn eine Amazonomachie inszeniert und dies auch auf besondere Weise: Denn hier kommt, aus welchen Gründen auch immer, lokaler Kalkstein zum Einsatz, und zwar in der dem weichen Material eher gemäßen Weise als hohes Relief. An der Ausführung der Kalksteingiebel hatten die griechischen Meister wohl keinen direkten Anteil mehr.

230 Das ist gewiss selten, aber durchaus nicht singulär, denn die Metapontiner konnten sich dabei auch auf ein berühmtes Vorbild wie den Alkmäonidentempel in Delphi berufen, und im unteritalischen Umfeld kennen wir Beispiele, in denen Plastik aus importiertem Marmor mit einheimischem Kalkstein repariert wurde<sup>359</sup>. Dennoch ist es bedenkenswert, weil es keinen Hinweis darauf gibt, dass die rahmenden Bestandteile, also Giebelsimen und Akrotere, an der Westfront nicht aus Marmor waren.

231 Die hier auf der Grundlage eines sehr prekären, in sich auch sehr unausgewogenen archäologischen Befundes gewagten Vorschläge sind natürlich hypothetischer Art. Es ist aber wohl unbestreitbar, wie hoch und bedeutend der Beitrag von aus Griechenland hinzugezogenen Werkleuten mit ihrem kostbaren Marmor material ist. Da solche Handwerker unter den damaligen technischen und organisatorischen Bedingungen nicht einzeln arbeiten und sich verdingen konnten, muss eher an Werkstattverbände gedacht werden, die bei allen Unterschieden zwischen einzelnen Steinmetzen und Bildhauern unverwechselbare Gemeinsamkeiten hatten. So kann man gewiss die am Aphaia-Tempel auf Aegina tätigen Meister definieren, woher auch

---

358 Es sei nochmals betont, dass für diesen Versuch fast alle vorhandenen Stücke herangezogen worden sind, obwohl durch die beiden eindeutigen Mittelstücke Kat. 27 und Kat. 33 zwei Akroterebäume gesichert sind. Unsicher bleibt auch die Anbringung der vorerst nur durch ein maßstabsloses Foto dokumentierten kleinen Rotelle, die wohl zu diesen Akroteren gehörte.

359 Parra 2010; vgl. auch die Kombination von Marmor und Kalkstein in Apollonia, wohl gemäß der Verfügbarkeit des kostbaren Materials und der an ihm geschulten Künstler, s. o. Anm. 354.

immer sie persönlich gekommen sein mögen. Und an denselben Merkmalen gaben sie sich auch zu erkennen, wenn sie anderswo tätig wurden – wie eben hier in Metapont.

## Katalog

### Katalog der Marmorfragmente vom Dach und von den Akroteren

232 Wenn Maße und vor allem die Bearbeitung der Fragmente den Zeichnungen und/oder den Fotos zu entnehmen sind, werden sie hier nicht extra aufgeführt.

#### Giebelsima

##### Kat. 1

Inv. »Apollo Licio 686 (2)«; Abb. 19

Fragment von der unteren Hälfte der Front einer Giebelsimaplatte mit einem Rest des Unterlagers und oberhalb einer Kerbe mit dem Ansatz des sich erst konvex, dann konkav herausschwingenden Profils; oberer Abschluss als Kopfband zu ergänzen, vgl. Kat. 2. Keine Bemalung festzustellen. T > 17 cm.

#### Traufsima

##### Kat. 2

Inv. 144.159; Abb. 20

Fragment mit l. oberer Ecke einer Traufsimaplatte und oberem Ansatz des Löwenkopf-Wasserspeiers; sorgfältige Anathyrose mit Saum und Spiegel an l. Fuge; keine Bemalung festzustellen. Auf der geschliffenen, vielleicht auch sehr fein gezahnten und leicht verwitterten Oberseite, am l. Ende, eine Versatzmarke (?) mit drei von einem Zentrum ausgehenden Strahlen: wohl nicht der Buchstabe E, der jedenfalls auf Kat. 3 anders aussieht. Die Gesamthöhe ist mit  $\geq 36$  cm zu rekonstruieren.

Mertens-Horn 1988, 119 f. (summarisch)

##### Kat. 3

Inv. 302.452 (alt 22.105); Abb. 21

Fragment von r. oberer Ecke einer Traufsimaplatte, mit Kopfband (dort keine Bemalungsreste festzustellen) und Ansatz des Simaprofils sowie der Löwenmähne, darauf Verwitterungsreste vom aufgemalten Blattstab; auf der Oberseite, nahe der Fuge, Versatzbuchstabe, wohl die drei Balken eines E.

Mertens-Horn 1988, 119 f. mit Taf. 50

##### Kat. 4

Inv. 302.446 (+ »A. L. 18.1.69, 67 [oder 69?] A III, -0.42«); Abb. 43 oben links

Kleines Fragment eines Löwenkopf-Wasserspeiers mit der Schnauzenspitze, einem Teil der l. Lefze, dem Gaumen und einigen der Zähne einschließlich der – abgebrochenen – Eckzähne, s. o. § 120–124 und u. Kat. 43A; Oberfläche geschliffen/verwittert.

Mertens 1980, 344 f.

##### Kat. 5

Inv. 21.942; Abb. 44

Kleines Fragment eines Löwenkopf-Wasserspeiers mit »sehr breitem Unterkiefer mit weit heruntergezogenen, kannelierten Lefzen« (Mertens-Horn 1988, 195), Zähnen und Zunge; s. o. § 120–124 und u. Kat. 43B.

Mertens 1980, 344 f. mit Abb. 36; Mertens-Horn 1988, 195 (Frgt. 3) mit Taf. 50 (F)

##### Kat. 6

Inv. 302.445; Abb. 45

Kleines Fragment eines Löwenkopf-Wasserspeiers mit dem Unterkiefer bzw. Kinn samt seitlichen Lefzen, Zähnen und Zunge, s. o. § 120–124 und u. Kat. 43D.

Mertens 1980, 344 f. mit Abb. 36; Mertens-Horn 1988, 195 (Frgt. 1) mit Taf. 50 (F)

##### Kat. 7

Inv. 302.444; Abb. 46

Sehr kleines Fragment eines Löwenkopf-Wasserspeiers mit »Unterkieferspitze mit Zunge« (Mertens-Horn 1988, 195) und Unterlippe; deutlich anders gestaltete Details als bei den anderen Fragmenten, was möglicherweise eine andere Hand bedeutet, s. o. § 120–124 und u. Kat. 43C.

Mertens-Horn 1988, 195 (Frgt. 4) mit Taf. 50 (F)

##### o. Kat.-Nr.

Inv. 302.447; Abb. 47

Weiteres kleines Fragment vom Unterkiefer eines Löwenkopf-Wasserspeiers von etwa denselben Dimensionen wie die Fragmente Kat. 5 und 6, s. o. § 120–124 und u. Kat. 43E.

## Traufstrotere

### Kat. 8

Inv. 52; Abb. 25

Traufstroter vom l. seitlichen Rand. B > 17 cm; T > 32 cm; D hinten 5,5 cm; H seitr. Rand 8,0 cm; Dollenloch von Rückseite 31 cm entfernt; B Dollenloch ≈ 3 cm; B seitr. Rand nicht zu messen, weil zu verwittert.

### Kat. 9

Inv. 54; Abb. 25

Traufstroter vom l. seitlichen Rand. B > 24,5 cm; T > 32,5 cm; D hinten 5,1 cm; H seitr. Rand hinten vor Dollenloch und vorn 7,7–8,1 cm; B seitr. Rand ≈ 5 cm (unsauber rundlich [ab-?]gearbeitet); B Kalypter-Korrosion ≈ 10 cm; Dollenloch genau an hinterer Bruchgrenze, B 2–3 cm. Seitenansicht besonders uneben/mittelgrob gespitzt; Unterseite gleichmäßig fein (quer) gespitzt, an der Oberseite auf der Kehle zum seitlichen Rand mittelfeine Zahnung, ansonsten gewohnte Bearbeitung.

### Kat. 10

Inv. 55; Abb. 23. 25

Traufstroter vom l. seitlichen Rand, mit Dollenloch in – rekonstruiert – 42 cm Tiefe (von Unterkante/Simaprofil). Gesamte T (ebenfalls von Unterkante/Simaprofil) 77 cm. Winkel zwischen seitlichem Rand und Rückseite leicht spitz, Letztere auch nur grob gespitzt, also »vernachlässigt«, da ohnehin überdeckt vom nächsten Stroter.

### Kat. 11

Inv. 22.044; Abb. 25

Traufstroter von l. hinterer Ecke. B > 20,5 cm; T > 27 cm; Dollenloch von Rückseite 26,5 cm entfernt; B Dollenloch ≈ 2,5 cm; T Dollenloch > 0,5 cm.

### Kat. 12

Inv. 22.069; Abb. 25

Traufstroter von r. hinterer Ecke, aus zwei großen und einem kleinen Fragment geklebt. T > 28,5 cm; B > 28,5 cm; D l. 4,6 cm; H seitr. Rand 7,6–7,7 cm; B seitr. Rand ≈ 3,8 cm (vorn) bis 4 cm; B Kalypter-Korrosion 10,5–11 cm; T hintere Verfärbung (ohne Korrosionsrille!) ≈ 4 cm. Winkel r. Seitenansicht/Rückseite ca. 90°; Dollenloch von Rückseite 26 cm entfernt; T > 2 cm; B ≈ 3 cm. Bearbeitung wie gewöhnlich.

### Kat. 13

Inv. 22.074 (»Apollo Licio 689«); Abb. 25

Traufstroter vom l. seitlichen Rand, aus zwei Fragmenten geklebt. B > 30 cm; T > 42 cm; D 4,8 cm (vorn) bis 4,6 cm; H seitr. Rand 7,7 cm (vorn + hinten); B seitr. Rand ≈ 4,5 cm; B Kalypter-Korrosion 10–11 cm; seitr. Rand in vorderen 10 cm (entspricht ungefähr der Tiefe des unteren Anathyrosensaums der Seitenansicht) mittelfein abgespitzt, offenbar, um ihn an den Kalypter anzupassen; ≈ 11,5 cm von Seitenansicht Ansatz der Kehlung für die Traufsimaplatte (vgl. Kat. 10); Dollenloch 42 cm von vorderer Bruchfläche bzw. 27,5 cm von hinterem Ende des unteren Anathyrosensaumstreifens von 2,5 cm Höhe entfernt, ebenfalls bis zum vorderen Bruch reichend; B Dollenloch ≈ 2,7 cm; T Dollenloch > 0,5 cm.

### Kat. 14

Inv. 22.199; Abb. 25

Traufstroter von r. hinterem/r (Ende bzw.) Ecke, aus sieben Fragmenten geklebt. T > 33 cm; B > 31 cm; D hinten ≈ 5,4 cm; D vorn ≈ 5 cm; H seitr. Rand hinten 8,0 cm, vorn (d. h. 23 cm von Rückseite entfernt) ≈ 7,8 cm; B seitr. Rand 4 cm (vorn) bis 4,5 cm (hinten); B Kalypter-Korrosion ≈ 12 cm; T hintere Korrosion 4,2–4,5 cm (deutliche Rille, dahinter mittelfeine Zahnung ebenso wie in Kehle zum seitlichen Rand). Freiliegende Oberseite glatt verwittert über Resten feiner Zahnung; Winkel r. Seitenansicht/Rückseite ca. 90°. Dollenloch von Rückseite 26 cm entfernt; T ≈ 3,3 cm; B ≈ 2,8 cm. Bearbeitung etwa wie Kat. 10.

### Kat. 15

Inv. 22.200; Abb. 25

Traufstroter von r. hinterer Ecke. B > 20,5 cm; T > 27 cm; D hinten 5,5 cm; H seitr. Rand 7,8 cm; B seitr. Rand 4,0 cm; B Kalypter-Korrosion ≈ 11,5 cm; Dollenloch von Rückseite 26,5 cm entfernt; B Dollenloch ≈ 2,5 cm; T Dollenloch > 0,1 cm. Keine hinteren Korrosionsspuren zu erkennen.

### Kat. 16

Inv. 22.345

Kleines Fragment eines Traufstroters mit Ansatz der Traufsimakehle, aber sehr dünnem Ziegel. D min. ≈ 3,5 cm, bei Ansatz/Kehle ≈ 16 cm, weiter r. allerdings schon ≈ 4,8 cm; B > 20,5 cm; T > 17,5 cm.

## Kalyptere

### Kat. 17

Inv. »Apollo Licio 686(1)« und »F 4 D 6 b 4-1 AD OUEST MURO M-S 3°BATT«; Abb. 26

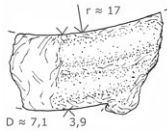


Abb. 85: Rankenfrgt. Kat. 19  
(M. 1 : 4)

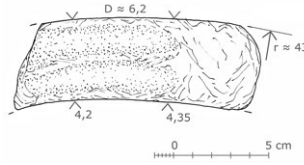


Abb. 86: Rankenfrgt. Kat. 20  
(M. 1 : 4)



Abb. 87: Rankenfrgt. Kat. 21  
(M. 1 : 4)



Abb. 88: Rankenfrgt. Kat. 22  
(M. 1 : 4)

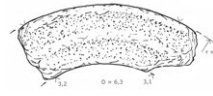


Abb. 89: Rankenfrgt. Kat. 24  
(M. 1 : 4)

Fragment mit seitlichem Rand und First, vorn und hinten gebrochen; auf der Oberseite eines Schenkels Bossenfläche, ansonsten sehr fein gezahnt und geschliffen; Seitenfläche auch geschliffen; Unterseite: Rand geglättet, Aushöhlung feiner bis grober (Mitte) gespitzt. Rekonstruierte  $B \approx 21,6$  cm.

#### Kat. 18

Inv. 144.333; Abb. 27

Fast vollständiger, aus acht Fragmenten geklebter Kalypter mit Ansatz des hinteren Falzes.  $B$  23,2 cm;  $L$  bis Falz 86,5 cm;  $T$  Falz  $> 1,5$  cm (rekonstruiert; rekonstruierte Gesamtlänge  $\leq 92,5$  cm).

#### Ranken

Rekonstruktion Abb. 34

#### Kat. 19

Inv. A 1; Abb. 85

Fragment einer leicht nach r. gekrümmten Ranke mit konkavem ›Canalis‹ mit Mittelrippe und der – an der konvexen Außenseite – abgebrochenen Abzweigung entweder einer weiteren Ranke (deren Oberfläche leicht konkav ist, vgl. Kat. 23) oder eines Palmetten- bzw. Zwickelblatts.  $D = 7,1$  cm; Radius an konkaver Innenseite  $\approx 17$  cm.

Mertens 1980, 344 f.; Danner 1997, 22. 110

#### Kat. 20

Inv. 302.417; Abb. 86

Fragment einer leicht nach l. gekrümmten Ranke mit konkavem ›Canalis‹ mit Mittelrippe.  $D$  durchgängig  $\approx 6,2$  cm auf einer  $L$  von 7 cm; Radius an konvexer Außenseite  $\approx 43$  cm. Rückseite eben, rau verwittert.

Mertens 1980, 344 f. mit Abb. 37 (vermutlich Mitte r.); Danner 1997, 22 (»A 1–7«). 110 Taf. 6, 5

#### Kat. 21

Inv. 302.420; Abb. 87

Fragment einer nach l. gekrümmten Ranke mit konkavem ›Canalis‹ mit Mittelrippe und Ansatz eines kleinen Stegs auf der konkaven Außenseite, wahrscheinlich als Stabilisierung der nächstinneren Rankenspirale.  $D \approx 7,4$  cm; Radius an konvexer Außenseite  $\approx 8$  cm (?).

Mertens 1980, 344 f.; Danner 1997, 22. 110

#### Kat. 22

Inv. 302.421; Abb. 88

Fragment einer nach l. gekrümmten Ranke mit konkavem ›Canalis‹ mit Mittelrippe.  $D \approx 8,7$  cm.

Mertens 1980, 344 f.; Danner 1997, 22. 110

#### Kat. 23

Inv. 302.423; Abb. 33

Fragment einer annähernd geraden Ranke mit konkavem ›Canalis‹ mit Mittelrippe, von der l. eine leicht gekrümmte, etwas schmalere Nebenranke, ebenfalls mit Mittelrippe, abzweigt, der r. wohl eine ›tangentiale‹ Palmette entspricht, von der noch ein Blatt erhalten ist, vgl. § 83. 87.  $D$  durchgängig 6,4 cm; Radius an konkaver Außenseite der Nebenranke  $\approx 11$  cm. Oberflächen inkl. glatter Rückseite geschliffen, wenig verwittert.

Mertens 1980, 344 f. mit Abb. 37 (l. unten); Danner 1997, 22 (»A 9«). 110 Taf. 6, 5

#### Kat. 24

Inv. 302.424; Abb. 89

Fragment einer nach r. gekrümmten Ranke mit konkavem ›Canalis‹ mit Mittelrippe.  $D$  durchgängig 6,3 cm; Radius an konvexer Außenseite 12 cm. Oberflächen inkl. glatter Rückseite geschliffen, rau verwittert.

Mertens 1980, 344 f. mit Abb. 37 (vermutlich r. unter-



Abb. 90: Rankenfrgt. Kat. 29  
(M. 1 : 4)

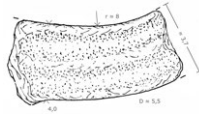


Abb. 91: Rankenfrgt. Kat. 30  
(M. 1 : 4)

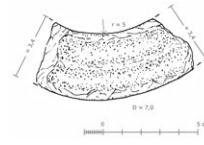


Abb. 92: Rankenfrgt. Kat. 31  
(M. 1 : 4)

halb der Palmette Kat. 34); Danner 1997, 22 (»A 1–7«).  
110 Taf. 6, 5

Mertens 1980, 344 f. mit Abb. 37 (Mitte); Danner 1997,  
22 (»A 10«). 110 Taf. 6, 5

#### Kat. 25

Inv. 302.425

Fragment einer schwach gekrümmten Ranke mit konkavem ›Canalis‹ mit Mittelrippe. L > 12 cm; B 4,5–4,2 cm; D 4,9–4,7 cm (am breiteren Ende); Radius an konkaver Innenseite ≈ 9 cm. Nicht in Rekonstruktion Abb. 34 untergebracht.

Mertens 1980, 344 f.; Danner 1997, 22. 110

#### Kat. 26

Inv. 302.426; Abb. 32

Fragment einer schwach nach l. gekrümmten und zu leichtem Gegenschwung ansetzenden Ranke mit konkavem ›Canalis‹ mit Mittelrippe. D 6,3–6,6 cm (s. auch 1 : 1-Schnitt); Radius an konkaver Innenseite ≈ 45 cm. An konvexer Außenseite, gegen obere Bruchstelle, drei oder vier Rillen wohl eines Bohrers, der hier tangierte, vgl. Kat. 27 und 29 und § 79. 87. 91. 103. Oberflächen inkl. glatter Rückseite geschliffen, an konvexer Außenseite auch mit dem Flacheisen bearbeitet, rau verwittert.

Mertens 1980, 344 f. Abb. 37 (r. unten); Danner 1997,  
22 (»A 1–7«). 110 Taf. 6, 5

#### Kat. 27

Inv. 302.427; Abb. 28

Fragment mit zwei sich symmetrisch tangierenden Ranken mit Mittelrippe, mit dazwischen – wohl stehender – Knospe und einem (wohl unteren) Pendant; aus der Mittelachse. Radius an einer der konkaven Innenseiten ≈ 9 cm; Oberflächen (nicht ganz gleichmäßig) geschliffen, etwas verwittert; D der Ranken ≈ 6,3–5,8 cm (im Abstand von ≈ 12 cm); D gesamt ≈ 7,3 cm; auf der Rückseite ein 6,5–7 cm breiter, oben rauher Steg mit einer ebenen und einer unebenen Seitenfläche; in der Oberfläche des Stegs, quer zu den Seitenflächen, nebeneinander zwei wackelige ›Bohrlöcher‹ von ≤ 1,5 cm Dm; ein weiteres, max. 3,5 cm tiefes Bohrloch mit 1,8–1,9 cm Dm unter den quer liegenden, senkrecht zur Oberfläche. Zu den rätselhaften Bohrlochern vgl. Kat. 26 und 29.

#### Kat. 28

Inv. 302.428

Kurzes Fragment einer schwach gekrümmten Ranke mit konkavem ›Canalis‹ mit Mittelrippe; nicht vermessen und fotografiert.

Mertens 1980, 344 f.; Danner 1997, 22

#### Kat. 29

Inv. 302.430; Abb. 90

Fragment einer nach r. gekrümmten Ranke mit konkavem ›Canalis‹ mit Mittelrippe. D ≈ 6,7–6,5 cm; B 7,0–6,3 cm; Radius an konkaver Innenseite ≈ 13 cm; an konvexer Außenseite Rillen wohl wieder eines Bohrers, der tangierte, vgl. Kat. 26 und 27. Oberfläche hier mit dem Flacheisen bearbeitet.

Mertens 1980, 344 f. mit Abb. 37 (vermutlich Mitte r., unter Kat. 20?); Danner 1997, 22 (»A 1–7«). 110 Taf. 6, 5

#### Kat. 30

Inv. 302.433; Abb. 91

Fragment einer nach l. gekrümmten Ranke mit konkavem, ≥ 0,4 cm tiefen ›Canalis‹ mit Mittelrippe; Ranke verdickt sich unten. D ≈ 5,8–5,5 cm. Nicht im Rekonstruktionsvorschlag Abb. 34. Oberflächen inkl. glatter Rückseite geschliffen, besonders gut erhalten, auch die weiße Marmorfarbe.

Mertens 1980, 344 f. mit Abb. 37 (vermutlich o. zwischen den zwei Palmettenfragmenten); Danner 1997, 22 (»A 1–7«). 110 Taf. 6, 5

#### Kat. 31

Inv. 302.435; Abb. 92

Fragment einer wohl nach l. gekrümmten Ranke mit konkavem ›Canalis‹ mit Mittelrippe. D ≈ 7 cm; Radius an konkaver Innenseite ≈ 5 cm. Übliche Bearbeitung.

Mertens 1980, 344 f. mit Abb. 37 (vermutlich l. Hälfte, r. oberhalb von Kat. 23); Danner 1997, 22 (»A 1–7«).  
110 Taf. 6, 5

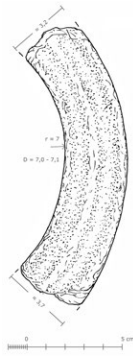


Abb. 93: Rankenfrgt. Kat. 32  
(M. 1 : 4)

### Kat. 32

Inv. 302.439; Abb. 93

Fragment einer nach l. gekrümmten Ranke mit konkavem ›Canalis‹ mit Mittelrippe. D 7,0–7,1 cm; Radius an konkaver Innenseite  $\approx$  7 cm; ansonsten s. Rekonstruktionsvorschlag. Übliche Bearbeitung.

Mertens 1980, 344 f. mit Abb. 37 (vermutlich l. Hälfte, l. oberhalb von Kat. 23); Danner 1997, 22 (»A 1–7«). 110 Taf. 6, 5

### Kat. 33

Inv. 307.544; Abb. 29

Fragment mit zwei sich symmetrisch tangierenden Ranken mit Mittelrippe, mit leicht konkaven Blättchen seitlich eines ›Knaufs‹ in der Mittelachse und seitlichen ›Ohren‹: im rechten eine Kerbe zwischen zwei konkaven Blättern (?), im linken nur noch die Kerbe zu erkennen; auf der Rückseite ein (6,4 cm breiter) vertikaler Steg (vgl. Kat. 27). D Ranke l.  $\approx$  4,8 cm, r.  $\geq$  6,3 cm einschließlich der schwach abgesetzten Stütze; Radius an konkaver Innenseite der l. Ranke  $\approx$  20 cm. Oberfläche, vor allem auch Seitenflächen fein geschliffen und wenig verwittert.

## Palmetten

### Kat. 34

Inv. 302.432; Abb. 30

Fragment einer Palmette mit fünf wulstigen Blättern und konvexen Zwischenblättern und (r.) einem Stück Ranke mit konkavem ›Canalis‹ mit Mittelrippe, aus zwei Fragmenten geklebt. D der Ranke 7,0 cm; D der Palmette viel geringer, von  $\geq$  3,9 cm (unten in Höhe der Ranke) bis ca. 2,3 cm (oben); Rückseite der Palmette glatt und konvex gekrümmt; Oberfläche ursprünglich geschliffen, rau verwittert; r. der Ranke an konkaver Innenseite  $\approx$  5 cm.

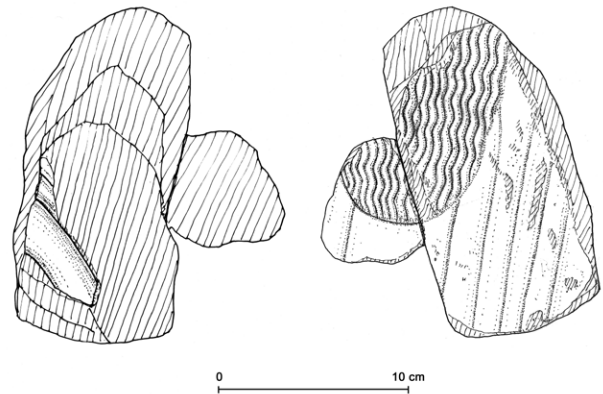


Abb. 94: Korenfrgt. von Firstakroter Kat. 36 (M. 1 : 4)

Mertens 1980, 344 f. mit Abb. 37 (o. l.). 38 (l.); Danner 1997, 22 (»A 8«) 110 Taf. 6, 5

### Kat. 35

Inv. 302.434; Abb. 31

Fragment einer Palmette mit mehr als vier konkaven Blättern und schmalen, gratigen Zwischenblättern; Rückseite konvex gewölbt mit der oberen Spitze einer Verstärkungsstütze. Ihre geringe Dicke (an der unteren Bruchkante max.  $\approx$  4,7 cm; dazu die Tiefe der Stütze  $>$  2 cm) ist nicht unbedingt ausschlaggebend für die Lage, weil die Palmette deutlich flacher als die Ranke sein kann, wie Fragment Kat. 34 lehrt.

Mertens 1980, 344 f. mit Abb. 38 (Mitte); Danner 1997, 22 (»D«) Taf. 6,3

## Katalog der figürlichen Fragmente aus Marmor und Kalkstein

### Fragmente von Akroterfiguren und Löwenkopf-Wasserspeiern aus Marmor

### Kat. 36

Inv. 22013; Abb. 37 oben; 94

Fragment einer Kore von einem Firstakroter. H ca. 18 cm, aus zwei Stücken zusammengeklebt. Hintere Hälfte der r. Schulter mit einem Teil des Rückens sowie ein anpassendes kleines Stück auf Brusthöhe. Tiefgehend verwittert, Bruchflächen durch Hitzeeinwirkung bröselig und geschwärzt.

### Kat. 37

Inv. 22055; Abb. 38 links

Haarfragment eines Mädchenkopfes. Erhalten ist nur ein Segment der Kalotte nahe am Scheitel. Auf der Unterseite Anzeichen der Korrosion durch die Hitze des Kalkofens, an den unbearbeiteten Bruchflächen ist der Marmor brüchig und bröselig. Wahrscheinlich

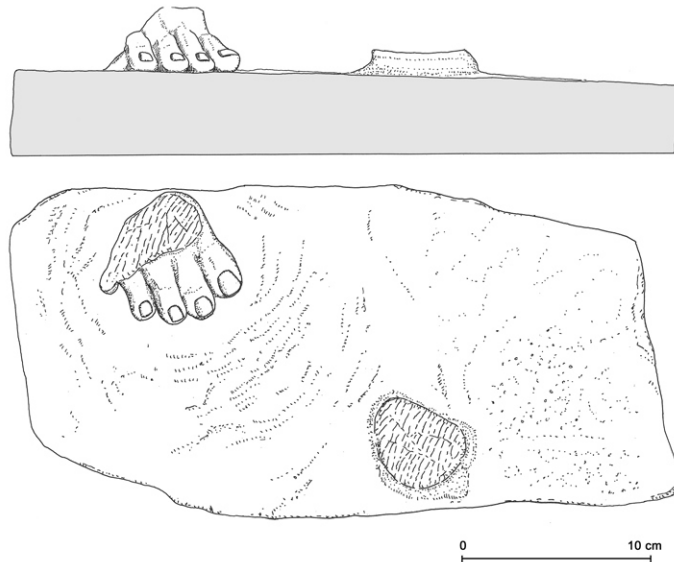


Abb. 95: Plinthenfrgt. Kat. 44 (M. 1 : 4)

ist das Fragment identisch mit dem von Paribeni 1974, 147 genannten. Auch Gioia De Luca erwähnt ein Fragment einer Schädelkalotte im Museum von Potenza, an der »vier um den Kopf laufende Wellentäler und der Ansatz eines fünften erkennbar sind« (De Luca 1964, 47 Anm. 95; vgl. auch Sestieri Bertarelli 1957, 9 Anm. 93). Die Spuren von Ockerfarbe auf der Oberfläche sind nicht Reste der Bemalung, sondern finden sich auch auf den Bruchflächen.

#### Kat. 38

Inv. 21952; Abb. 39 oben

Kleiner Vorderarm mit Bohrloch. Fundort AL AB. »Ovest, sima 52 e5«. L ca. 10 cm; größter Dm 6,7 cm; Dm des Bohrlochs 1,2 cm.

#### Kat. 39

o. Inv.; Abb. 40 links

Kleines Fußfragment. Die Plinthe ist mit ca. 3 cm deutlich weniger hoch als bei den Giebelfiguren Kat. 12. 13. 19, der Fuß ist zierlicher. Der verbleibende Plinthenrand ist abgerundet. An der Innenseite des Fußes ist noch ein kleiner Bereich der ursprünglich zart geglätteten Oberfläche vorhanden.

#### Kat. 40

Inv. 135656 (ex 30356); Abb. 41 oben

Kleiner weiblicher Kopf mit Haarreif. Fundort »cloaca«. H 12 cm; größte T 9,3 cm. Auf der ganzen unteren Seite glatte, aber stark bröselige Bruchfläche. Der Kopf ist dicht vor den Ohren und in seiner ganzen Höhe in der Richtung des 3,5 cm langen gebohrten Kanals für den Meniskus abgespalten, so dass nur noch die vordere Hälfte mit dem Gesicht und den Stirn- und Schläfen-

haaren erhalten ist. Auch dieses ist jedoch in seiner unteren Hälfte durch Prellung und wahrscheinlich durch Absplitterung unter Hitzeeinwirkung bis zur Unkenntlichkeit zerstört. Auf der r. Seite ist unter der Stelle, wo das Ohr abgebrochen ist, ein geringer steil fallender Rest, eigentlich nur die Kontur, des Nackenhaars erhalten. Durch Hitzeeinwirkung haben sich an den Bruchrändern die Kristalle leicht aus ihrem Verband gelöst und bilden eine dünne Kruste. Die Bruchstellen, Prellungen und Kratzer auf den Haaren und den Augen sind von einer bräunlichen Patina überzogen, die am unteren Teil des Kopfes grauschwarz wird. Die ursprünglichen Formen des vorderen Haarrandes und der Haaroberfläche waren sicher schon vor der Zerstörung durch Brand tiefgehend verwittert.

Adamesteanu 1975, 251 Abb. 29; Orlandini 1983, 368, Abb. 356; Steininger 1996, 106 f.

#### Kat. 41

Inv. 21960; Abb. 42 links

Fragment eines Flügels einer Akrotersphinx. Größte L 6,5 cm.

#### Kat. 42

Inv. 21965; Abb. 42 rechts

Fragment eines Flügels einer Akrotersphinx. Größte L 18,5 cm. Spuren einer streifenförmigen Verwitterung der Oberfläche.

#### Kat. 43 – Löwenkopf-Wasserspeier, Fragmente A-E

s. Kat. 4–7 und o. Kat.-Nr.

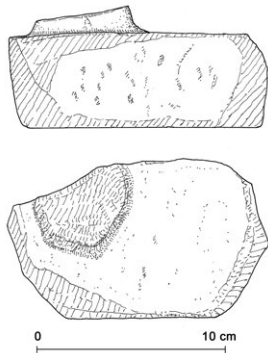


Abb. 96: Plinthenfrgt. Kat. 45  
(M. 1 : 4)

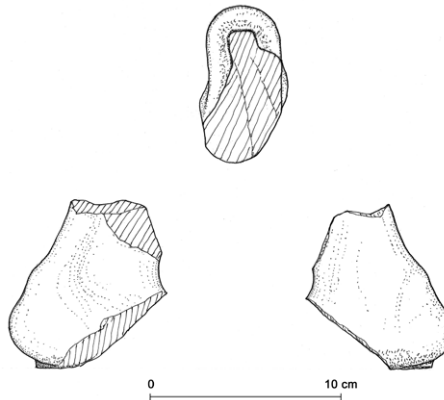


Abb. 97: Fußfrgt. Kat. 46 (M. 1 : 4)

## Fragmente von Giebelfiguren aus Marmor

### Kat. 44

Inv. 22016; Abb. 49 oben; 95

Großes Plinthenstück mit Rest von r. Fuß und Stützbosse. Erhaltene L der Plinthe ca. 35 cm; erhaltene B der Plinthe 17,4 cm; H der Plinthe variiert zwischen 3,8 und 4,2 cm. Am hinteren Bruchrand der Platte ist der vorderste Teil – vier Zehen und ein Stück des Zehenballens – eines steil erhobenen Fußes erhalten. Am vorderen Rand ist eine Stützbosse von ca. 1,3 cm H mit ca. 6 cm Dm stehen geblieben. Die ursprüngliche B des Fußes mit kleiner Zehe betrug ca. 7 cm, der Abstand zwischen Fuß und Bosse ca. 10 cm. Die Oberfläche der Plinthe ist nicht geglättet, sie zeigt noch deutlich die Spuren von verschiedenen Arbeitsgeräten.

### Kat. 45

o. Inv. (Kassette 510/11718); Abb. 50 links; 96

Plinthenfragment mit Stützbosse. H der Plinthe 4,5 cm. Oberfläche grob geglättet, rundum Bruchflächen.

### Kat. 46

Inv. 21841; Abb. 51 links und Mitte; 97

Fragment eines r. Fußes. H 7,7 cm; B auf Höhe der Knöchel 3,9 cm. Nur der hintere Teil des Fußes und des Gelenks ist erhalten. Die ganze einst mit der Plinthe zusammen gearbeitete Unterseite ist mit dieser abgerissen. Unter der Ferse befand sich ursprünglich eine rechteckige Stützbosse, von der ein eben noch erkennbarer Rest vorhanden ist.

### Kat. 47

Inv. 302149; Abb. 52

Fragment eines r. Fußes ohne Unterseite. H 4,4 cm; B zwischen den Knöcheln 3,8 cm. Nur der hintere Teil

von Gelenk und Ferse ist erhalten. Die einst mit der Plinthe zusammen gearbeitete Unterseite ist mit dieser abgerissen.

### Kat. 48

Inv. 302180; Abb. 53

Rechter Vorderfuß ohne Zehen, auf Höhe des Spanns abgebrochen. L ca. 8 cm; B vorn 6,7 cm. Auf der Unterseite eine ungefähr von der Mitte an sich nach hinten verbreitende unregelmäßige Bruchfläche, die angibt, dass der Fuß auf seiner sehr flachen Stützbosse leicht angehoben war.

### Kat. 49

Inv. 302179; Abb. 54

Linker angehobener Vorderfuß ohne Zehen. L ca. 10 cm; B vorn 6,5 cm. Fußsohle rundum frei gearbeitet, nur die Zehen und der Zehenballen saßen fest auf der Plinthe auf.

### Kat. 50

o. Inv.; Abb. 55

Kleines Fußfragment auf Plinthe. H der Plinthe 4 cm. Von flach aufgesetztem Fuß, dunkel patiniert.

### Kat. 51

Inv. 302392; Abb. 56 links und Mitte; 98

Fragment eines flach aufgesetzten l. Fußes. L 10,5 cm; H 10 cm; H der Plinthe 4,2 cm. Nur die Partie der fein geformten Höhlung seiner Innenseite ist erhalten, hier ist der Saum eines dünnen Stoffes zu erkennen. Die Unterseite ist sorgfältig geglättet.

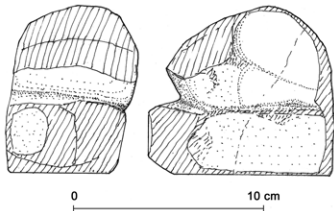


Abb. 98: Fußfrgt. mit Plinthe  
Kat. 51 (M. 1 : 4)

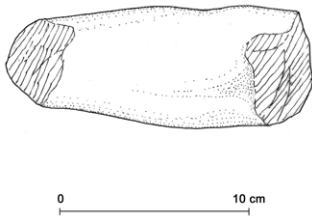


Abb. 99: Unterarmfrgt. Kat. 52  
(M. 1 : 4)

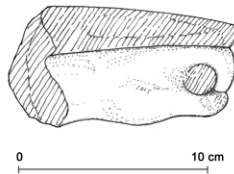
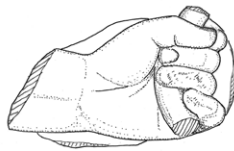


Abb. 100: Schildhandfrgt. Kat. 56  
(M. 1 : 4)

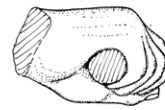
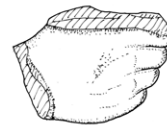


Abb. 101: Schwerthandfrgt.  
Kat. 57 (M. 1 : 4)

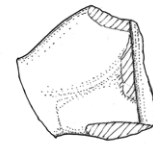
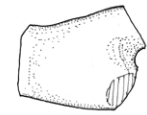


Abb. 102: Handfrgt. Kat. 58A  
(M. 1 : 4)

#### Kat. 52

Inv. 302176; Abb. 57. 99

Nackter Unterarm ohne Hand. L ca. 16 cm; Dm o. 6,5 cm, u. 4 cm. Die ursprünglich bearbeiteten Flächen sind weitgehend zerrieben, aber wesentlich besser erhalten als die Bruchflächen, an denen sich der Marmor durch die Hitze des Kalkofens dunkel verfärbt und stellenweise in Kristalle aufgelöst hat.

#### Kat. 53

o. Inv.; Abb. 58

Fragment mit drei flach übereinanderliegenden Gewandfalten. Oberfläche glatt und weiß.

#### Kat. 54

Inv. 302218

Fragment einer Gewandfalte, aus zwei Stücken zusammengeklebt. H 6 cm. Oberfläche rau durch Verwitterung; hinten geglättet.

#### Kat. 55

Inv. 302192

Fragment einer Gewandfalte. H 4,5 cm.

#### Kat. 56

Inv. 21935; Abb. 59 links und Mitte; 100

Hand mit Schildgriff und Rest des Schildes. Größte B der Hand 6,5 cm; B am Handgelenk 4 cm; D des Schildes 2–2,7 cm; Dm des Schildgriffs 1,5 cm. Die

Hand war 14–15 cm lang. Ihre Oberfläche ist auf den Seiten rein und glatt erhalten, auf der großen Fläche stark bestoßen und hellgrau verfärbt. Die Bruchflächen sind durch Hitze bröselig und grau.

#### Kat. 57

Inv. 21989; Abb. 60 links und Mitte; 101

Rechte Hand mit oben abgebrochenem Handschutzelement des Schwerts. L vom Handgelenk bis zur Spitze des Knöchels des Zeigefingers 7,5 cm; Handgelenk am Bruch ca. 4 cm. Über Daumen und Zeigefinger ausgedehnte Bruchfläche. Die Oberfläche ist auf der Außenseite der Hand tiefgehend korrodiert und die vorderen Glieder des kleinen Fingers sind abgebrochen.

#### Kat. 58 A–B

Inv. 21986. 302209; Abb. 61 oben; 102

Linke Hand eines Bogenschützen: Fragment A: Erhaltene H am gebohrten Kanal 5,6 cm; L 8 cm. Im Innern der um eine Spur nach auswärts gewinkelten Hand ist noch ein Rest der gebohrten Führung von ca. 1 cm Dm eines runden und fast geraden Stabes zu erkennen. – Fragment B: B 4,3 cm; L des oberen Gliedes des Zeigefingers ca. 2,5 cm. Das Stück umfasst drei der von Fragment A abgebrochenen Finger. Quer über den Ringfinger läuft eine nachträglich sorgfältig eingearbeitete Scharte, die zur Aufnahme eines zweiten langen dünnen Gegenstandes geführt haben muss. Da das Fragment tiefgreifend gereinigt und mit einem glänzenden Überzug gefestigt wurde, macht der Marmor einen alabasterähnlichen Eindruck.

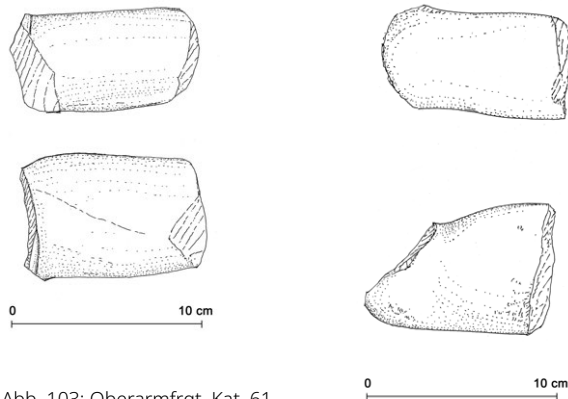


Abb. 103: Oberarmfrgt. Kat. 61  
(M. 1 : 4)

Abb. 104: Oberarmfrgt. Kat. 63  
(M. 1 : 4)

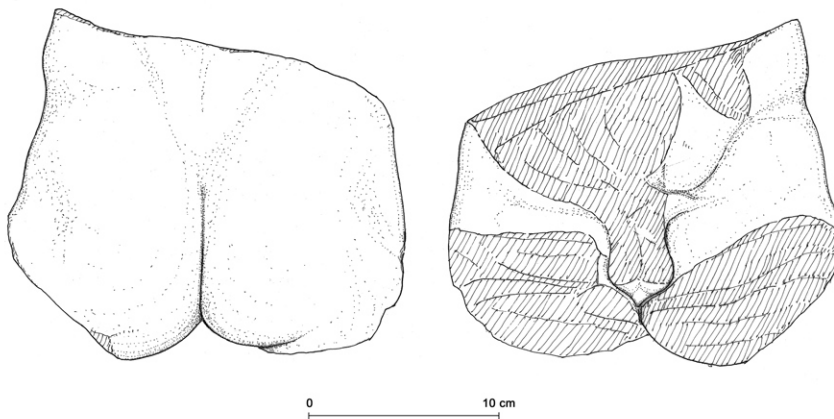


Abb. 105: Beckenfrgt. Kat. 65 (M. 1 : 4)

#### Kat. 59

Inv. 21981; Abb. 62

Fragment eines Vorderarmes nahe am Handgelenk. Größte L 7,3 cm; Dm 4 cm. Die obere Seite ist hell und fast ganz frei von Patina, die untere ist dunkel und bräunlich. Eine scharfe Trennlinie dazwischen verläuft gerade und genau parallel zur Achse des Armes.

#### Kat. 60

o. Inv.; Abb. 63 links

Teil einer ›skythischen Mütze‹ (?). H 4,9 cm. Äußerer Rand weich gerundet, innen Bruchfläche mit Rest eines Bohrlochs für Verdübelung.

#### Kat. 61

Inv. 302175; Abb. 64 links; 103

Fragment eines Oberarmes mit Ansatz einer Gewandfalte. L 10,4 cm; Dm 6,4 cm. Großflächig versintert und vor allem in der tiefen Verletzung am unteren Bruchrand dunkel verfärbt.

#### Kat. 62

Inv. 302378; Abb. 65

Linke Hand ohne Finger. Die ganz flache Innenseite ist geglättet. Unter dem Daumenansatz Rest einer gebohrten Vertiefung. Stark gereinigt.

#### Kat. 63

Inv. 302182; Abb. 66 links; 104

Fragment eines Oberarmes. Größter Dm 6,7 cm. Unten Ansatz der Armbeuge und des Ellenbogens.

#### Kat. 64

o. Inv.; Abb. 67 links

Fragment eines Handgelenks. H 4 cm; B 5 cm. In den Vertiefungen zwischen den Sehnen dunkel patiniert.

#### Kat. 65

Inv. 21941; Abb. 68 oben und unten links; 105

Beckenpartie einer nackten männlichen Figur. Größte H 20 cm; B 21 cm; T 13,5 cm. Erhalten ist der Bereich zwischen dem Ansatz der Schenkel und dem

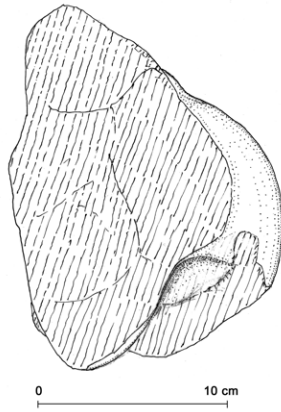


Abb. 106: Schulterfrgt. Kat. 66  
(M. 1 : 4)

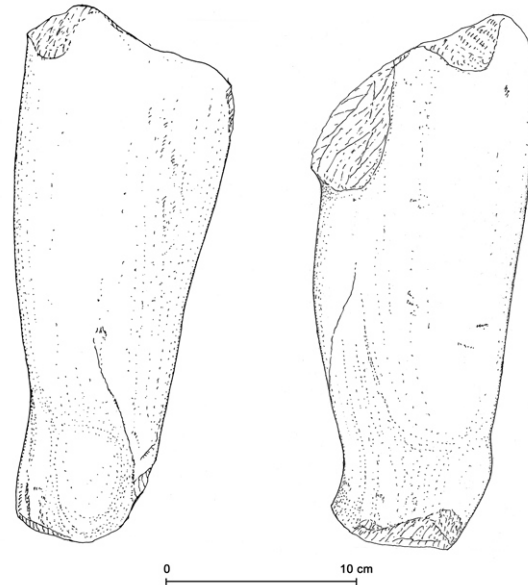


Abb. 107: Oberschenkelfrgt. Kat. 67 (M. 1 : 4)

l. Hüftmuskel. Die l. Seite und die Rückseite sind gut erhalten, der Penis und die vordere Hälfte der Hoden sind abgebrochen, ebenso ein großer Teil der Oberfläche des Bauches mit der rechten Hälfte der Pubes. Auf der Vorderseite dunkle Verfärbungen und Kalkablagerungen in allen Vertiefungen. An der r. Hüfte tiefe Kratzer und Absplitterungen. Auf den ausgedehnteren weißen glatten Flächen nur hauchdünne Patina.

Metaponto I, 72 Nr. 9 Abb. 65 c. d

#### Kat. 66

Inv. 22011; Abb. 69 links; 106

Fragment einer l. Schulter. Größte B 19,5 cm; D Oberarm 13 cm. Von der muskulösen Schulter ist noch die zentrale Partie erhalten. Marmor und Oberflächenzustand sind ähnlich wie am Fragment Kat. 33, auch hier stellenweise Kalkablagerungen. An den wenigen bearbeiteten Bereichen ist der Marmor gut erhalten und fast weiß, an den Bruchflächen dunkel verfärbt. Auf der Rückseite ist ein ausgedehnter Bereich dicht unter der Oberfläche wohl durch Hitzeeinwirkung abgesprungen.

#### Kat. 67

Inv. 21939; Abb. 70 links und Mitte; 107

Rechter Oberschenkel mit Knie. H (vorn gemessen) 29 cm; B oben 11,5 cm, am Knie 7,5 cm; B Kniescheibe 4 cm. Ein feiner Riss im Marmor geht hinten von der unteren Bruchfläche aus spiralförmig um den Schenkel nach oben, knapp an der Kniescheibe vorbei. Auf der durch die Verwitterung aufgerauten Vorderfläche des Beines dunkle Kalkablagerungen. Hinten ist das Bein glatter. Unregelmäßige Bruchflächen oben und unten und am Rand schräge Absplitterungen. Die

Marmoroberfläche ist hier schwärzlich verfärbt und bröselig. Drei fast parallel verlaufende Hackspuren gehen wohl auf den Versuch zurück, das große Stück zu zerkleinern.

Metaponto I, 72 Abb. 66 c. d

#### Kat. 68

o. Inv.

Kleines Oberschenkelfragment. H 14 cm. Flach abgeschlagen.

### Giebelfiguren aus Kalkstein

#### Kat. 69

Inv. 39912; Abb. 72. 108

Torso einer gepanzerten weiblichen Figur. H 38 cm; B 20 cm; T 17 cm. Linke Seite eines vorgebeugten Torsos mit dem Ansatz der Oberschenkel und bis zur Mitte des Vorderarmes erhaltenem l. Arm, ein Fragment angeklebt. Die Rückseite ist grob vom Reliefgrund abgehackt. Das tiefe Loch auf dem Rücken stammt wohl vom Ausgrabungswerkzeug, da der Kalkstein hier frisch gebrochen ist. Eine sorgfältig geformte scharfkantige Scharte, die schräg über die Außenseite des l. Oberschenkels geht, gibt an, dass hier ein eigens geformter Gegenstand angesetzt war. Auf den großen Flächen am Rücken und an den Seiten deutliche Spuren des Scharriereisens.

D. Adamesteanu in: Metaponto I, 66. 69 Abb. 55; Steinger 1996, 104 f. Kat. 21

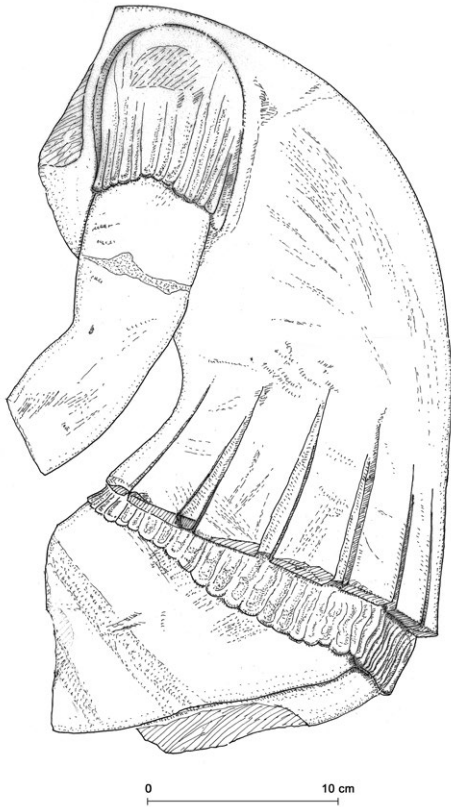


Abb. 108: Torso aus Kalkstein Kat. 69 (M. 1 : 4)

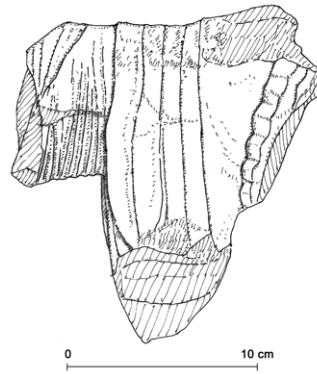


Abb. 109: Oberkörperfrgt. aus Kalkstein Kat. 70 (M. 1 : 4)

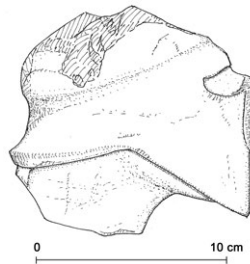


Abb. 110: Kopffrgt. aus Kalkstein Kat. 71 (M. 1 : 4)

### Kat. 70

Inv. 30013; Abb. 73. 109

Männliche Brust mit Armsatz. H 19 cm; B 17 cm. Das Fragment umfasst den r. oberen Bereich der flachen Brust einer bekleideten männlichen Figur mit erhobenem r. Oberarm. Kleiner Ansatz des Halses. Auf der r. Seite in hervorgehobenem Relief zwei gewellte Strähnen vom langen Haar einer zweiten Figur. Rückseite flach und geglättet.

Metaponto I, 67; Steininger 1996, 103 Kat. 20

### Kat. 71

Inv. 3001; Abb. 74. 110

Kopf mit korinthischem Helm. H 13 cm; B 14 cm; T 6 cm. Der Kopf ist für die Ansicht von der Seite konzipiert, da das Gesicht unter den tief hinunterragenden Wangenklappen des herabgezogenen Helms nur angedeutet ist.

Metaponto I, 65 Abb. 54 b; Steininger 1996, 100 f.

### Kat. 72

Inv. 30014; Abb. 75

Fragment eines behelmten Kopfes. H 17 cm; B 11 cm. Die Oberfläche ist so tiefgreifend verwittert und beschlagen, dass nur noch die Umrisse erhalten sind. Rückseite grob geglättet.

Metaponto I, 65 Abb. 54 a; Steininger 1996, 102. 274 Kat. 19

### Kat. 73

Inv. 21983; Abb. 76

Beinfragment mit Chitonfalten. L 16,5 cm. Auf der Rückseite haftet noch ein Stück des Reliefgrunds an.

### Kat. 74

o. Inv.

Fußfragment. L 11 cm. Unten flach und ohne Rest einer Auflage, auf der der Fuß gestanden haben könnte.

Metaponto I, 65. 68 Abb. 54 e o. Nr.; Steininger 1996, 103

### Kat. 75

Inv. 302524; Abb. 77

Fragment eines bekleideten Armes. L 10 cm. Rückseite abgeflacht.

#### **Kat. 76**

Inv. 21988

Nackter weiblicher Unterarm ohne Hand. L 16,5 cm.  
Oberfläche löcherig verwittert.

#### **Kat. 77**

Inv. 30012; Abb. 78

Geschlossene Hand. Größte L ca. 8 cm. Nur die Finger  
sind erhalten, oben ein flaches, unten ein tiefes  
gebohrtes Loch.

#### **Kat. 78**

Inv. 21980; Abb. 79

Fragment einer offenen Hand mit Resten von Fingern.  
L 9,5 cm. Unterseite abgeschlagen.

## Abkürzungen

**Adamesteanu 1967** D. Adamesteanu, Problèmes de la zone archéologique de Métaponte, RA 1967, H. 1, 3–38

**Adamesteanu 1975** D. Adamesteanu, L'attività archeologica in Basilicata, in: Orfismo in Magna Grecia. Atti del 14. CMGr Taranto 6–10 ottobre 1974 (Tarent 1975) 247–259

**Adornato 2010a** G. Adornato (Hrsg.), Scolpire il marmo. Importazioni, artisti itineranti, scuole artistiche nel Mediterraneo antico. Atti del convegno di studio tenuto a Pisa, Scuola Normale Superiore, 9–11 novembre 2009 (Mailand 2010)

**Adornato 2010b** G. Adornato, »Bildhauerschulen«: un approccio, in: Adornato 2010a, 309–337

**Adornato 2019a** G. Adornato, Kritios and Nesiotes as Revolutionary Artists? Ancient and Archaeological Perspectives on the So-Called Severe Style Period, AJA 123, 2019, 557–587

**Adornato 2019b** G. Adornato, Scultura e committenza in Magna Grecia, in: 55. CMGr (Tarent 2019) 447–472

**Amara 2020a** G. Amara, Quanti templi per la Vittoria di Himera? Nuove evidenze dall'Athenaion di Siracusa, in: M. Jonasch (Hrsg.), The Fight for Greek Sicily. Society, Politics and Landscape (Oxford 2020) 213–241

**Amara 2020b** G. Amara, Monuments to the Tyrannies. The Athenaion of Syracuse Reconsidered: Sources, Materials, Contexts, in: Meyer – Adornato 2020, 231–251

**Bakalakēs 1958** G. Bakalakēs, Προανασκαφικές έρευνες στη Θράκη (Thessaloniki 1958)

**Baldassarre – De Marco 1981** G. Baldassarre – A. De Marco, Probabili luoghi di provenienza delle calcareniti adoperate per la costruzione del monumento di Metaponto (Basilicata), Atti e Relazioni dell'Accademia Pugliese delle Scienze (N. S.) 39, 2, 1981, 3–18

**Bankel 1993** H. Bankel, Der spätarchaische Tempel der Aphaia auf Aegina, DAA 19 (Berlin 1993)

**Bankel 2019** H. Bankel, Neues zu den Giebeln des frühklassischen Tempels der Aphaia auf Aegina und zu anderen Werken des »Aphaia-Architekten«, Architectura 49, 2, 2019, 129–181

**Barbanera 1995** M. Barbanera, Il Guerriero di Agrigento. Una probabile scultura frontonale del Museo di Agrigento e alcune questioni di archeologia »siceliota« (Rom 1995)

**Barberis 2004** V. Barberis, Rappresentazioni di divinità e di devoti dall'area sacra urbana di Metaponto. La coroplastica votiva dalla fine del VII all'inizio del V sec. a. C. (Florenz 2004)

**Barello 1995** F. Barello, Architettura greca a Caulonia. Edilizia monumentale e decorazione architettonica in una città della Magna Grecia (Florenz 1995)

**Barrett 1984** J. F. Barrett, Monumental Evidence for the History of the Alcmeonids (Ann Arbor, MI 1984)

**Bavaro – Passarelli 2009** V. M. Bavaro – G. Passarelli, Ipotesi ricostruttiva dell'acroterio occidentale del tempio di Hera Lacinia, in: Mezzetti 2009, 157–172

**Belli Pasqua 2000** R. Belli Pasqua, Il Marmo di Paros nell'Italia meridionale: Problemi del Commercio e della diffusione, in: Schilardi – Katsónopoulou 2000, 519–524

**Belli Pasqua 2008** R. Belli Pasqua, L'acroterio del frontone occidentale del tempio di Hera Lacinia, in: 47. CMGr (Tarent 2008) 445–458

**Belli Pasqua 2009** R. Belli Pasqua, Le sculture frontonali del tempio di Hera Lacinia. Un'ipotesi di ricostruzione, in: Mezzetti 2009, 135–156

**Belli Pasqua 2010** R. Belli Pasqua, Scultura architettonica e officine itineranti. Il caso dell'Heraion a Capo Lacinio, in: Adornato 2010a, 171–184

**Bencze 2016** Á. Bencze, Aeginetica Tarentina. Materiali e problemi per la questione del cambiamento di gusto tra età arcaica e classica in Magna Grecia, AttiMemMagnaGr (Serie 5) 1, 2016, 99–122

**Bertelli – Roubis 2002** G. Bertelli – D. Roubis (Hrsg.), Torre di Mare I. Ricerche archeologiche nell'insediamento medievale di Metaponto, 1995–1999 (Bari 2002)

**Bianco 2020** S. Bianco, L'acropoli di Chiaromonte: la facies enotria tra X/IX e V secolo a. C., in: S. Bianco – A. De Siena – D. Mancinelli – A. Preite (Hrsg.), Chiaromonte. Un centro italico tra archeologia e antropologia storica. Studi in memoria di Luigi Viola (Venosa 2020) 91–132

**Bianco – Tagliente 1985** S. Bianco – M. Tagliente, Il Museo Nazionale della Siritide di Policoro. Archeologia della Basilicata meridionale (Bari 1985)

**Billot – Rizakis 1993** M. F. Billot – Y. Rizakis, Observations sur les simas mégariennes, in: J. des Courtils – J.-Ch. Moretti (Hrsg.), Les grands ateliers d'architecture dans le monde égéen du VI<sup>e</sup> siècle av. J.-C. Actes du colloque d'Istanbul 23–25 mai 1991 (Paris 1993) 119–216

**Boardman 1982** J. Boardman, Herakles, Theseus and Amazons, in: D. Kurtz – B. A. Sparkes (Hrsg.), The Eye of Greece. Studies in the Art of Athens. Festschrift Martin Robertson (Cambridge 1982) 1–28

**Bol 2002** P. C. Bol (Hrsg.), Die Geschichte der antiken Bildhauerkunst I. Frühgriechische Plastik (Mainz 2002)

**von Bothmer 1957** D. von Bothmer, Amazons in Greek Art (Oxford 1957)

**Bottini 1993** A. Bottini, L'attività archeologica in Basilicata, 1992, in: Sibari e la Sibaritide. Atti del 32. CMGr Taranto–Sibari 7–12 ottobre 1992 (Tarent 1993) 755–768

**Bottini 2012** A. Bottini, Tiresia e Pitagora fra Greci e Italici: la nekyia del pittore di Dolone, MEFRA 124, 2, 2012, 461–474

**Bottini 2013** A. Bottini, Elementi di continuità: il caso della nestoris, in: M. Osanna – M. Vullo (Hrsg.), Segni del potere. Oggetti di lusso dal

- Mediterraneo nell'Appennino lucano di età arcaica. *Ausstellungskatalog Potenza (Venosa 2013)* 39–42
- Bottini 2016** A. Bottini, Italici e Greci nella Basilicata meridionale, dalla fondazione di Sibari a quella di Metaponto, in *AttiMemMagnaGr (Serie 5) 1*, 2016, 139–151
- Bottini – Setari 2003** A. Bottini – E. Setari, La necropoli italica di Braida di Vaglio in Basilicata. Materiali dallo scavo del 1994 (Rom 2003)
- Bottini u. a. 2019** A. Bottini – R. Graells i Fabregat – M. Vullo, Metaponto. Tombe arcaiche della necropoli nord-occidentale (Venosa 2019)
- Brinkmann 2002** V. Brinkmann, Die Ausläufer der archaischen Skulptur und die archaischen Formelemente in der Zeit der frühen Klassik, in: *Bol 2002*, 271–280
- Brinkmann 2003** V. Brinkmann, Die Polychromie der archaischen und frühklassischen Skulptur (München 2003)
- Brinkmann – Wünsche 2004** V. Brinkmann – R. Wünsche (Hrsg.), *Bunte Götter. Die Farbigkeit antiker Skulptur*. Ausstellungskatalog München (München 2004)
- Broneer 1971** O. Broneer, *Temple of Poseidon, Isthmia 1* (Princeton, NJ 1971)
- Burkhardt 2013** N. Burkhardt, Bestattungssitten zwischen Tradition und Modifikation. Kulturelle Austauschprozesse in den griechischen Kolonien in Unteritalien und Sizilien vom 8. bis zum 5. Jh. v. Chr. (Wiesbaden 2013)
- Burzachechi 1979** M. Burzachechi, Cippi iscritti dall'area sacra di Metaponto, *PP 34*, 1979, 279–295
- Buschor 1929** E. Buschor, *Die Tondächer der Akropolis I. Simen* (Berlin 1929)
- Buschor 1933** E. Buschor, *Heraion von Samos. Altsamische Grabstelen*, *AM 58*, 1933, 22–46
- Cairns 2005** D. Cairns, Myth and the Polis in Bacchylides' Eleventh Ode, *JHS 125*, 2005, 35–50
- Calame 1990** C. Calame, Narrating the Foundation of a City. The Symbolic Birth of Cyrene, in: L. Edmunds (Hrsg.), *Approaches to Greek Myth* (Baltimore 1990) 277–341
- Calame 1996** C. Calame, *Thésée et l'imaginaire Athénien. Légende et culte en Grèce antique* <sup>2</sup>(Lausanne 1996)
- Calame 1999** C. Calame, Tempo del racconto e tempo del rito nella poesia greca: Bacchilide tra mito e storia, *QuadUrbin 62*, 1999, 63–86
- Capuano 1988** A. Capuano, Baragiano (Pz). Aspetti dei periodi arcaico e classico nell'analisi di corredi sepolcrali scoperti nel 1987, *BBasil 4*, 1988, 35–60
- Carpenter u. a. 2014** T. H. Carpenter – K. M. Lynch – E. G. D. Robertson (Hrsg.), *The Italic People of Ancient Apulia. New Evidence from Pottery for Workshops, Markets, and Customs* (Cambridge 2014)
- Carter 2001** J. C. Carter, La chora di Metaponto. Risultati degli ultimi 25 anni di ricerca archeologica, in: *40. CMGr (Tarent 2001)* 771–792
- Carter 2006** J. C. Carter, *Discovering the Greek Countryside at Metaponto* (Ann Arbor, MI 2006)
- Carter u. a. 1998** J. C. Carter – J. T. Abbott – J. Burn, *The Chora of Metaponto, The Necropoleis* (Austin 1998)
- Charbonneau 1925** J. Charbonneau, *Le Sanctuaire d'Athéna Pronaia. La Tholos*, *FdD 2*, 4, 2 (Paris 1925)
- 40. CMGr** Problemi della chora coloniale dall'Occidente al Mar Nero. Atti del 40. CMGr Taranto 29 settembre – 3 ottobre 2000 (Tarent 2001)
- 47. CMGr** Atene e la Magna Grecia dall'età arcaica all'ellenismo. Atti del 47. CMGr Taranto 27–30 settembre 2007 (Tarent 2008)
- 55. CMGr** Produzioni e committenze in Magna Grecia. Atti del 55. CMGr Taranto 24–27 settembre 2015 (Tarent 2019)
- Colivicchi 2014** F. Colivicchi, »Native« Vase Shapes in South Italian Red-Figure Pottery, in: *Carpenter u. a. 2014*, 213–242
- Conti – Lazzarini 2021** M. C. Conti – L. Lazzarini, Contributo allo studio del tetto marmoreo di Selinunte: nuove acquisizioni e indagini archeometriche, *Marmora 17*, 2021, 17–43
- Coulton 1975** J. J. Coulton, The Second Temple of Hera at Paestum and the Pronaos Problem, *JHS 95*, 1975, 13–24
- Coulton 1977** J. J. Coulton, *Greek Architects at Work. Problems of Structure and Design* (London 1977)
- Courby 1927** F. Courby, *La terrasse du temple*, *FdD 2*, 1 (Paris 1927)
- Curtius 1905** L. Curtius, *Relieffragment in Theben*, *AM 30*, 1905, 375–390
- Danner 1989** P. Danner, *Griechische Akrotere der archaischen und klassischen Zeit*, *RdA Suppl. 5* (Rom 1989)
- Danner 1993** P. Danner, *Meniskoi und Obeloi. Zum Schutz von Statuen und Bauwerken vor den Vögeln*, *ÖJh 62*, 1993, 19–28
- Danner 1997** P. Danner, *Westgriechische Akrotere* (Mainz 1997)
- Daux – Hansen 1987** G. Daux – E. Hansen, *Topographie et architecture. Le trésor de Siphnos*, *FdD 2*, 2 (Paris 1987)
- De Juliis 2001** E. M. De Juliis, *Metaponto* (Bari 2001)
- De Luca 1964** G. De Luca, *Kouroi in italienischen Museen*, *AntPl 3*, 2 (1964) 33–60
- Demakopoulou – Konsola 1981** K. Demakopoulou – D. Konsola, *Archäologisches Museum Theben. Führer durch die Ausstellung* (Athen 1981)
- Denoyelle 2014** M. Denoyelle, Hands at Work in Magna Graecia. The Amykos Painter and His Workshop, in: *Carpenter u. a. 2014*, 116–129
- Denoyelle 2019** M. Denoyelle, *Forme e immagini metapontine per la committenza indigena*, in: *55. CMGr (Tarent 2019)* 569–580
- Denoyelle – Iozzo 2009** M. Denoyelle – M. Iozzo, *La céramique grecque d'Italie méridionale et de Sicile*.

Productions coloniales et apparentées du VIII<sup>e</sup> au III<sup>e</sup> siècle av. J.-C. (Paris 2009)

**De Sensi Sestito 2020** G. De Sensi Sestito, Sul donario degli Achei a Olimpia: neutralità e identità achea fra VI e prima metà del V secolo a. C., in: R. Spadea – F. Lo Schiavo – M. L. Lazzarini (Hrsg.), Tra Ionio e Tirreno: orizzonti d'archeologia. Omaggio a Elena Lattanzi (Rom 2020) 39–56

**De Siena 1990** A. De Siena, Contributi archeologici alla definizione della fase protocoloniale del Metapontino, *BBasil* 6, 1990, 71–88

**De Siena 1992** A. De Siena, Metaponto e il Metapontino, in: L. de Lachenal (Hrsg.), Da Leukania a Lucania. La Lucania centro-orientale fra Pirro e i Giulio-Claudii. Ausstellungskatalog Venosa (Rom 1992) 114–135

**De Siena 1998** A. De Siena, Metaponto: problemi urbanistici e scoperte recenti, in: *Siritide e Metapontino* 1998, 141–170

**De Siena 1999** A. De Siena, La colonizzazione achea del Metapontino, in: D. Adamesteanu (Hrsg.), Storia della Basilicata I. L'antichità (Bari 1999) 211–245

**De Siena 2001** A. De Siena, Il territorio di Metaponto, in: 40. *CMGr* (Tarent 2001) 757–769

**De Siena 2007** A. De Siena, L'attività archeologica in Basilicata nel 2006, in: *Passato e futuro dei convegni di Taranto. Atti del 46. CMGr Taranto 29 settembre – 1 ottobre 2006* (Tarent 2007) 405–463

**De Siena 2008a** A. De Siena, Atene e l'area ionica della Basilicata, in: 47. *CMGr* (Tarent 2008) 581–596

**De Siena 2008b** A. De Siena, Metaponto, Località Crucinia, proprietà Giacobelli. Osservazioni su alcune tombe monumentali arcaiche della necropoli occidentale, *BdA* 143, 2008, 1–14

**De Siena u. a. 2002** A. De Siena – S. Cancelliere – L. Lazzarini, The Architectural Marbles of the Athenaion of Metapontum and Their Identification, in: L. Lazzarini (Hrsg.), *Asmosia VI. Interdisciplinary Studies on Ancient Stone. Proceedings of the Sixth International Conference of the »Association for the Study of Marble and Other Stones in Antiquity«* Venice, June 15–18, 2000 (Padova 2002) 303–308

**Despinēs 1986** G. Despinēs, Θραύσματα αναγλύφων από τη νότια πλευρά της Ακρόπολης, in: *Kyrieleis* 1986, I 177–180

**Despinis u. a. 1997** G. Despinis – Th. Stefanidou-Tiveriou – E. Voutiras (Hrsg.), *Catalogue of Sculpture in the Archaeological Museum of Thessaloniki I* (Thessaloniki 1997)

**De Stefano 2014/2015** F. De Stefano, La dea del tempio C di Metaponto. Una nuova ipotesi interpretativa, *AttiMemMagnaGr* (Serie 4) 6, 2014/2015, 131–154

**De Stefano 2019** F. De Stefano, L'immagine e il contesto. Produzioni figurative e immaginario sociale nelle comunità della Siritide e del Metapontino (VIII–VI secolo a. C.), *ASAtene Suppl.* 4 (Rom 2019)

**De Stefano 2020** F. De Stefano, Continuità e trasformazioni nella storia di Metaponto tra VII e V secolo a. C., *ArchCl* 71, 2020, 1–39

**De Stefano 2021** F. De Stefano, Il tema iconografico dello hieròs gámos. Espressioni figurative e rituali di transizione a Metaponto in età arcaica, in: V. Nizzo (Hrsg.), *Antropologia e archeologia dell'amore. Atti del IV Incontro Internazionale di Studi di Antropologia e Archeologia a confronto* [Roma, Parco Regionale dell'Appia Antica – Ex Cartiera Latina 26–28 maggio 2017] (Rom 2021) I 455–477

**Dinsmoor 1950** W. B. Dinsmoor, *The Architecture of Ancient Greece. An Account of Its Historic Development* <sup>3</sup>(London 1950)

**Doepner 2002** D. Doepner, *Steine und Pfeiler für die Götter. Weihgeschenk-gattungen in westgriechischen Stadtheiligtümern* (Wiesbaden 2002)

**Dyggve 1948** E. Dyggve, *Das Laphrion. Der Tempelbezirk von Kalydon* (Kopenhagen 1948)

**EAA** *Enciclopedia dell'arte antica classica e orientale*

**Edlund-Berry 1987** I. E. M. Edlund-Berry, *The Gods and the Place. Location and Function of Sanctuaries in the Countryside of Etruria and Magna Graecia (700–400 B.C.)* (Stockholm 1987)

**Eschbach 2013** N. Eschbach, Ungewöhnliche Helden – Eigenartige Formen. Die Giebelskulpturen des Aphaia-Tempels auf Ägina, in: V. Brinkmann (Hrsg.), *Zurück zur Klassik. Ein neuer Blick auf das alte Griechenland. Ausstellungskatalog Frankfurt a. M.* (München 2013) 152–165

**Fachard 2019** S. Fachard, Common Denominators? The Emergence of the Territorial Organization in Athens and Eretria, in: *Palagia – Sioumpara* 2019, 172–181

**Fendt 2019** A. Fendt, The Sculptures of the Temple of Aphaia on Aigina in Their Contemporary Context, in: *Palagia – Sioumpara* 2019, 193–204

**Ferrara – Franco 2012** B. Ferrara – M. Franco, Heraion alla Foce del Sele: le calcare, *Bollettino dell'Archeologia* 3, 3–4, 2012, 28–57

**Fiechter 1906** E. R. Fiechter, B. Die Akroterien. b) Die ornamentalen Teile, in: *Furtwängler* 1906, 279–295

**Floren 1987** J. Floren, Die griechische Plastik I. Die geometrische und archaische Plastik, *HdArch* (München 1987)

**Franke – Hirmer 1972** P. R. Franke – M. Hirmer, Die griechische Münze <sup>2</sup>(München 1972)

**Franssen 2011** J. Franssen, *Votiv und Repräsentation. Statuarische Weihungen archaischer Zeit aus Samos und Attika* (Heidelberg 2011)

**Freitag 1996** K. Freitag, Eine vergessene Notiz zur Geschichte Achaias im 5. Jahrhundert v. Chr. bei Herodot (8, 36, 2), *Historia* 45, 1996, 123–126

**Freyer-Schauenburg 1974** B. Freyer-Schauenburg, *Bildwerke der archaischen Zeit und des strengen Stils, Samos 11* (Bonn 1974)

**Furtwängler 1906** A. Furtwängler, *Aegina. Das Heiligtum der Aphaia* (München 1906)

- Gauer 1968** W. Gauer, Weihgeschenke aus den Perserkriegen, *IstMitt Beih.* 2 (Tübingen 1968)
- Gensheimer 2017** M. Gensheimer, Metaphors for Marathon in the Sculptural Program of the Athenian Treasury at Delphi, *Hesperia* 86, 2017, 1–42
- Giacometti 1999** D. Giacometti, Il culto di Artemis a Metaponto, *Ostraka* 8, 1999, 407–426
- Giacometti 2005** D. Giacometti, Metaponto: Gli dei e gli eroi nella storia di una polis di Magna Grecia (Cosenza 2005)
- Gianfrotta 1975** P. A. Gianfrotta, Le ancore votive di Sostrato di Egina e di Faillo di Crotona, *PP* 30, 1975, 311–318
- Giangiulio 1983** M. Giangiulio, Greci e non-Greci in Sicilia alla luce dei culti e delle leggende di Eracle, in: *Modes de contacts et processus de transformation dans les sociétés anciennes. Actes du colloque de Cortone* (24–30 mai 1981), *CEFR* 67 (Pisa 1983) 785–845
- Giangiulio 1997** M. Giangiulio, Immagini coloniali dell'altro. Il mondo indigeno tra marginalità e integrazione, in: *Mito e storia in Magna Grecia. Atti del 36. CMGr Taranto* 4–7 ottobre 1996 (Tarent 1997) 279–303
- Giangiulio 2002** M. Giangiulio, I culti delle colonie achee d'Occidente. Strutture religiose e matrici metropolitane, in: *Greco 2002*, 283–313
- Giardino – De Siena 1999** L. Giardino – A. De Siena, Metaponto, in: E. Greco (Hrsg.), *La città greca antica. Istituzioni, società e forme urbane* (Rom 1999) 329–363
- Gill 1988** D. W. J. Gill, The Temple of Aphaia on Aegina. The Date of the Reconstruction, *BSA* 83, 1988, 169–177
- Gill 1993** D. W. J. Gill, The Temple of Aphaia on Aegina. Further Thoughts on the Date of the Reconstruction, *BSA* 88, 1993, 173–181
- Giuliani 1979** L. Giuliani, Die archaischen Metopen von Selinunt (Mainz 1979)
- Giuman 2006** M. Giuman, Il filo e le briglie. Epinetra, stoffe e Amazzoni tra mito e archeologia, in: F.-H. Massa-Pairault (Hrsg.), *L'image antique et son interprétation*, *CEFR* 371 (Rom 2006) 237–259
- Godart – De Caro 2007** L. Godart – S. De Caro (Hrsg.), *Nostoi. Capolavori ritrovati. Ausstellungskatalog Rom* (Rom 2007)
- Greco 2002** E. Greco (Hrsg.), Gli Achei e l'identità etnica degli Achei d'Occidente. Atti del convegno internazionale di studi Paestum 23–25 febbraio 2001 (Paestum 2002)
- Greco 2014** G. Greco, Intorno al complesso funerario-culturale della tomba 68 di Serra di Vaglio: la ricostruzione del contesto, in: G. Greco – B. Ferrara (Hrsg.), *Segni di appartenenza e identità di comunità nel mondo indigeno. Atti del seminario di studi Napoli*, 6–7 luglio 2012 (Neapel 2014) 291–328
- Greco – Rizakis 2019** E. Greco – A. D. Rizakis (Hrsg.), *Gli Achei in Grecia e in Magna Grecia: nuove scoperte e nuove prospettive. Atti del Convegno di Aigion* (12–13/12/2016), *ASAtene Suppl.* 3 (Rom 2019)
- Greco u. a. 2012** G. Greco – B. Ferrara – M. Franco, Heraion alla Foce del Sele: camminare e costruire in ambiente paludoso, in: *Scienze naturali e archeologia. Il paesaggio antico: Interazione uomo/ambiente ed eventi catastrofici. [Kolloquium] Napoli* 14–16 ottobre 2010 <sup>2</sup>(Rom 2012) 143–149
- Gruben 1988** G. Gruben, Fundamentierungsprobleme der ersten archaischen Großbauten, in: H. Büsing – F. Hiller (Hrsg.), *Bathron. Beiträge zur Architektur und verwandten Künsten für Heinrich Drerup zu seinem 80. Geburtstag von seinen Schülern und Freunden* (Saarbrücken 1988) 159–172
- Gruben 2014** G. Gruben, Der polykratische Tempel im Heraion von Samos, *Samos 27* (Wiesbaden 2014)
- Guzzo 2008** P. G. Guzzo, Metaponto, Località Crucinia, proprietà Giacovelli. Oreficerie ornamentali dalla tomba 238 in Località Crucinia, *BdA* 143, 2008, 15–26
- Guzzo 2011** P. G. Guzzo, Fondazioni greche. L'Italia meridionale e la Sicilia (VIII e VII sec. a. C.) (Rom 2011)
- Guzzo 2012** P. G. Guzzo, Indigeni in Calabria settentrionale nell'VIII secolo, *Aristonothos* 7, 2012, 445–463
- Guzzo 2016** P. G. Guzzo, Le città di Magna Grecia e di Sicilia dal VI al I secolo I. *La Magna Grecia* (Rom 2016)
- Heisel 1993** J. P. Heisel, *Antike Bauzeichnungen* (Darmstadt 1993)
- Hellmann 2002** M.-C. Hellmann, *L'architecture grecque I. Les principes et la construction* (Paris 2002)
- Hellner 2019** N. Hellner, The Temple Site on the Trapezá Aigiou, in: *Greco – Rizakis 2019*, 165–183
- Herrmann 2000** K. Herrmann, Zur Verwendung des parischen Marmors im Heiligtum von Olympia, in: Schilardi – Katsōnopoulou 2000, 379–387
- von Hesberg u. a. 2018** H. von Hesberg – M. Fiedler – B. Toçi, Skulpturenfragmente archaischer und klassischer Zeit aus Apollonia (Albanien), *JdI* 133, 2018, 49–185
- Hiller 2000** S. Hiller, Die Handelsbeziehungen Äginas mit Italien, in: *Krinzinger 2000*, 461–469
- Himmelman 2005** N. Himmelmann, Grundlagen der griechischen Pflanzendarstellung, *Nordrhein-Westfälische Akademie der Wissenschaften G 393* (Paderborn 2005)
- Höckmann 1985** O. Höckmann, *Antike Seefahrt* (München 1985)
- Hölscher 1973** T. Hölscher, *Griechische Historienbilder des 5. und 4. Jahrhunderts v. Chr.* (Würzburg 1973)
- Hoffelner 1988** K. Hoffelner, Die Metopen des Athener Schatzhauses. Ein neuer Rekonstruktionsversuch, *AM* 103, 1988, 77–117
- Hoffelner 1996** K. Hoffelner, Die Sphinxsäule. Votivträger, Altäre, Steingeräte, *Alt-Ägina* 2, 4 (Mainz 1996)
- Hoffelner 1999** K. Hoffelner, Das Apollon-Heiligtum. Tempel – Altäre – Temenosmauer – Thearion, *Alt-Ägina* 1, 3 (Mainz 1999)

- Imagine e mito 2002** *Imagine e mito nella Basilicata antica. Ausstellungskatalog Potenza (Venosa 2002)*
- Jeppesen 2000** K. Jeppesen, The Quadrangle: The Foundations of the Maussolleion and Its Sepulchral Compartments, The Maussolleion at Halikarnassos 4 (Aarhus 2000)
- Johnston 1979** A. W. Johnston, Trademarks on Greek Vases (Warminster 1979)
- Junker 2003** K. Junker, Die Reliefmetopen des Heratempels in Selinunt. Mythoskritik und der Wandel des Sagenbildes im fünften vorchristlichen Jahrhundert, RM 110, 2003, 227–261
- Kähler 1949** H. Kähler, Das griechische Metopenbild (München 1949)
- Kallintzē u. a. 2015** K. Kallintzē – M. Geōrgiadēs – E. Kephaliidou – I. Xydopoulos – M. Chrysaphē – K. Chatzēprokopoiou – D. Skoularikē – H. Orenge – A. Garcia, Αρχαιολογικό Πρόγραμμα Αβδήρων και Εάνθης (ΑΠΑΕ): πρώτο έτος της επιφανειακής έρευνας, AERgoMak 29, 2015, 529–538
- Karakasi 2001** K. Karakasi, Archaische Koren (München 2001)
- Katsōnopoulou 2021** D. Katsōnopoulou (Hrsg.), Πάρος V. Η Πάρος ανά τους αιώνες από την προϊστορική εποχή στον 16° αιώνα μ. Χ. Πρακτικά 5. Διεθνούς Επιστημονικού Συνεδρίου Αρχαιολογίας Πάρου και Κυκλάδων Παρουσία Πάρου 21–24 Ιουνίου 2019 (Athen 2021)
- Kerschner 1996** M. Kerschner, Perirrhanterien und Becken, Alt-Ägina 2, 4 (Mainz 1996)
- Kienast 1991** H. J. Kienast, Fundamentieren in schwierigem Gelände. Fallstudien aus dem Heraion von Samos, in: A. Hoffmann – E.-L. Schwandner – W. Hoepfner – G. Brands (Hrsg.), Bautechnik der Antike. Internationales Kolloquium in Berlin vom 15.–17. Februar 1990, DiskAB 5 (Mainz 1991) 123–127
- Kienast 1998** H. Kienast, Der Niedergang des Tempels des Theodoros, AM 113, 1998, 111–131
- Kienast 2014** H. Kienast, Rez. zu Ulf Weber, Versatzmarken im antiken griechischen Bauwesen (Wiesbaden 2013), Bjb 213, 2013, 354 f.
- von Kienlin 2017** A. von Kienlin, Zu Interpretation und Herkunft antiker Versatzmarken, in: D. Kurapkat – U. Wulf-Rheidt (Hrsg.), Werkspuren. Materialverarbeitung und handwerkliches Wissen im antiken Bauwesen. Internationales Kolloquium in Berlin vom 13.–16. Mai 2015, DiskAB 12 (Berlin 2017) 427–434
- Kissas 2008** K. Kissas, Archaische Architektur der Athener Akropolis. Dachziegel – Metopen – Geisa – Akroterbasen, AF 24 (Wiesbaden 2008)
- Kleibrink Maaskant 2003** M. Kleibrink Maaskant, Dalla lana all'acqua, culto e identità nel santuario di Atena a Lagaria, Francavilla Marittima (zona di Sibari, Calabria) (Rossano 2003)
- Kleibrink – Pace 2018** M. Kleibrink – R. Pace, Materiali e culti sul Timpone della Motta a Francavilla Marittima, in: C. Malacrino – M. Paoletti – D. Costanzo (Hrsg.), Tanino de Santis. Una vita per la Magna Grecia. Ausstellungskatalog Reggio Calabria (Reggio Calabria 2018) 121–130
- Klose 2012/2013** C. Klose, Ein Tempel in Trümmern? Baugeschichte und Erscheinungsbild des Zeustempels von Kyrene in der römischen Kaiserzeit, JdI 127/128, 2012/2013, 261–322
- Knechtel 2023** M. Knechtel, Das Marmordach des Tempels A in Selinunt, RM 129, 2023, 78–114
- Knell 1990** H. Knell, Mythos und Polis. Bildprogramme griechischer Bauskulptur (Darmstadt 1990)
- Koldewey – Puchstein 1899** R. Koldewey – O. Puchstein, Die griechischen Tempel in Unteritalien und Sicilien (Berlin 1899)
- Kolia 2019** E.-I. Kolia, Recent Investigations in Sanctuaries of Aigialeia, in: Greco – Rizakis 2019, 261–288
- Korres 1997** M. Korres, Der Athena-Tempel auf der Akropolis, in: W. Hoepfner (Hrsg.), Kult und Kultbauten auf der Akropolis. Internationales Symposium vom 7. bis 9. Juli 1995 in Berlin (Berlin 1997) 218–243
- Kowalzig 2007** B. Kowalzig, Singing for the Gods. Performances of Myth and Ritual in Archaic and Classical Greece (Oxford 2007)
- Krauss 1941** F. Krauss, Paestum. Die griechischen Tempel (Berlin 1941)
- Krauss 1951** F. Krauss, L'architettura del tempio, in: Zancani Montuoro – Zanotti-Bianco 1951, 83–88
- Krinzinger 2000** F. Krinzinger (Hrsg.), Die Ägäis und das westliche Mittelmeer. Beziehungen und Wechselwirkungen 8. bis 5. Jh. v. Chr. Akten des Symposions Wien 24. bis 27. März 1999, DenkschrWien 288 (Wien 2000)
- Kyrieleis 1986** H. Kyrieleis (Hrsg.), Archaische und klassische griechische Plastik. Akten des internationalen Kolloquiums vom 22.–25. April 1985 in Athen, 2 Bde. (Mainz 1986)
- Lacava 1891** M. Lacava, Topografia e storia di Metaponto (Neapel 1891)
- de La Coste-Messelière 1957** P. de la Coste-Messelière, Sculptures du trésor des Athéniens, FdD 4, 4 (Paris 1957)
- Lambrugo 2011** C. Lambrugo, I marmi annullati. Calcare a Gortina, Lanx 8, 2011, 120–135
- Langlotz 1963** E. Langlotz, Die Kunst der Westgriechen in Sizilien und Unteritalien (München 1963)
- Langner 2014** M. Langner, Amazonen als Einwanderinnen. Ursprung, Konstruktion und Dekonstruktion mythischer Verwandtschaft in Athen und Ephesos, in: A.-B. Renger – I. Toral-Niehoff (Hrsg.), Genealogie und Migrationsmythen im antiken Mittelmeerraum und auf der Arabischen Halbinsel. Internationale Tagung Berlin 20.–21. Oktober 2011 (Berlin 2014) 103–133
- La Rocca 1986** E. La Rocca, Le sculture frontonali del Tempio di Apollo Sosiano a Roma, in: Kyrieleis 1986, II 51–58

- La Rocca 1996** E. La Rocca, Le tegole del tempio di Hera Lacinia ed il tempio della Fortuna Equestre: tra Spoliazioni e Restauri in Età Tardo-Repubblicana, in: Spadea 1996, 89–98
- Lazzarini 2007** L. Lazzarini, Indagini archeometriche sui marmi bianchi della statuaria e architettura della Magna Grecia, *Marmora* 3, 2007, 21–52
- Lazzarini 2010** L. Lazzarini (Hrsg.), Il tempio di Hera (Tavole Palatine) di Metaponto. Archeologia, archeometria, conservazione, *Marmora Suppl.* 2 (Pisa 2010)
- Lippolis u. a. 2007** E. Lippolis – M. Livadiotti – G. Rocco, Architettura greca. Storia e monumenti del mondo della polis dalle origini al V secolo (Mailand 2007)
- Lombardo 1998** M. Lombardo, Siri e Metaponto: esperienze coloniali e storia sociale, in: *Siritide e Metapontino* 1998, 45–65
- Lo stile severo in Sicilia** Lo stile severo in Sicilia. Dall'apogeo della tirannide alla prima democrazia. Ausstellungskatalog Palermo (Palermo 1990)
- Maaskant-Kleibrink 2017** M. Maaskant-Kleibrink, Architettura e rituale nell'Athenaion di Lagaria-Timpone della Motta (Francavilla Marittima), *AttiMemMagnaGr (Serie 5) 2*, 2017, 171–233
- Maderna-Lauter 2002** C. Maderna-Lauter, Spätarchaische Plastik, in: *Bol* 2002, 223–324
- Maehler 1982** H. Maehler, Die Lieder des Bakchylides I. Die Siegeslieder. Text mit Übers. und Komm., *Mnemosyne Suppl.* 62 (Leiden 1982)
- Malkin 2001** I. Malkin, *Ancient Perception of Greek Ethnicity* (Cambridge, MA 2001)
- Marconi 1994** C. Marconi, *Selinunte. Le metope dell'Heraion* (Modena 1994)
- Marconi 2021** C. Marconi, The Case for Parian Sculptors in Selinus and Western Sicily in the Early Classical Period, in: *Katsōnopoulou* 2021, 119–144
- Martin 1965** R. Martin, *Manuel d'architecture grecque I. Matériaux et techniques* (Paris 1965)
- Mele 1998** A. Mele, Culti e miti nella storia di Metaponto, in: *Siritide e Metapontino* 1998, 67–90
- Mele 2002** A. Mele, Gli Achei da Omero all'età arcaica, in: *Greco* 2002, 67–93
- Mele 2007** A. Mele, *Magna Grecia. Colonie achee e pitagorismo* (Neapel 2007)
- Mertens 1979** D. Mertens, Der ionische Tempel von Metapont. Ein Zwischenbericht, *RM* 86, 1979, 103–139
- Mertens 1980** D. Mertens, Rapporto preliminare sui lavori eseguiti dall'Istituto Archeologico Germanico di Roma nell'area del santuario urbano di Metaponto fino all'anno 1972, in: *Metaponto I*, 313–353
- Mertens 1984a** D. Mertens, Der Tempel von Segesta und die dorische Tempelbaukunst des griechischen Westens in klassischer Zeit, *Sonderschriften DAI Rom* 6 (Mainz 1984)
- Mertens 1984b** D. Mertens, I santuari di Capo Colonna e Crimisa. Aspetti dell'architettura crotoniate, in: *Crotone. Atti del 23. CMGr Taranto 7–10 ottobre 1983* (Tarent 1984) 189–230
- Mertens 1985** D. Mertens, Metapont. Ein neuer Plan des Stadtzentrums. Ein Kurzbericht über die Arbeiten des DAI Rom im Rahmen der gemeinsam mit der Soprintendenza der Basilicata durchgeführten Ausgrabung, *AA* 1985, 645–671
- Mertens 1993** D. Mertens, Der alte Heratempel in Paestum und die archaische Baukunst in Unteritalien, *Sonderschriften DAI Rom* 9 (Mainz 1993)
- Mertens 2006** D. Mertens, Städte und Bauten der Westgriechen. Von der Kolonisationszeit bis zur Krise um 400 vor Christus (München 2006)
- Mertens 2010** D. Mertens, Organisation und Weitergabe von Wissen im Bauwesen der Antike. Beispielsfeld: Die große griechische Kolonisation, in: *Bericht über die 45. Tagung für Ausgrabungswissenschaft und Bauforschung vom 30. April bis 4. Mai 2008 in Regensburg* (Dresden 2010) 31–40
- Mertens 2017/2018** D. Mertens, Provocatorie novità dal tempio di Nettuno di Paestum, *RendPontAc* 90, 2017/2018, 175–220
- Mertens 2019** D. Mertens, Il tempio di Nettuno alla luce di un nuovo rilievo, in: F. Mangone – V. Russo – G. Zuchtriegel (Hrsg.), »L'emblema dell'eternità«. Il tempio di Nettuno a Paestum tra archeologia, architettura e restauro. Giornata di studi a Napoli a Palazzo Gravina il 12 maggio 2017, *Argonautica* 1 (Pisa 2019) 27–57
- Mertens-Horn 1988** M. Mertens-Horn, Die Löwenkopf-Wasserspeier des griechischen Westens im 6. und 5. Jahrhundert v. Chr. im Vergleich mit den Löwen des griechischen Mutterlandes, *RM ErgH.* 28 (Mainz 1988)
- Mertens-Horn 1992** M. Mertens-Horn, Die archaischen Baufriese aus Metapont, *RM* 99, 1992, 1–122
- Mertens-Horn 2001** M. Mertens-Horn, La scultura di marmo, in: A. De Siena (Hrsg.), *Metaponto. Archeologia di una colonia greca* (Tarent 2001) 71–88
- Mertens-Horn 2005/2006** M. Mertens-Horn, Initiation und Mädchenraub am Fest der lokrischen Persephone. Mit Anhängen zu den Entführungsszenen im Brautraubschema sowie zur kultischen Verschleierung, *RM* 112, 2005/2006, 7–75
- Mertens-Horn 2008** M. Mertens-Horn, Intervento, in: *47. CMGr* (Tarent 2008) 537–539
- Metaponto I** D. Adamesteanu – D. Mertens – F. D'Andria, *Metaponto I*, *NSc* (Serie 8) Suppl. 29 (Rom 1980)
- Meyer – Adornato 2020** M. Meyer – G. Adornato (Hrsg.), *Innovations and Inventions in Athens c. 530 to 470 BCE – Two Crucial Generations*. Konferenz Wien 13.–15. Juni 2019 (Wien 2020)
- Mezzetti 2009** C. Mezzetti (Hrsg.), *Il santuario di Hera al Capo Lacinio. L'analisi della forma, il restauro, la ricerca archeologica* (Rom 2009)
- Miller 2011** M. C. Miller, *Imaging Persians in the Age of Herodotos*, in: R. Rollinger – B. Truschnegg – R.

- Bichler (Hrsg.), Herodot und das Persische Weltreich. Akten des 3. Internationalen Kolloquiums zum Thema »Vorderasien im Spannungsfeld Klassischer und Altorientalischer Überlieferungen« Innsbruck 24.–28. November 2008 (Wiesbaden 2011) 123–157
- Moggi 2002** M. Moggi, Sulle origini della lega Achea, in: *Greco* 2002, 117–132
- Montepaone 1986** C. Montepaone, L'apologia di Alexidamos. »L'avventura del cavaliere«, *Métis* 1, 2, 1986, 219–235
- Muth 2008** S. Muth, Gewalt im Bild. Das Phänomen der medialen Gewalt im Athen des 6. und 5. Jahrhunderts v. Chr. (Berlin 2008)
- Neer 2004** R. Neer, The Athenian Treasury at Delphi and the Material of Politics, *ClAnt* 23, 2004, 63–94
- Neils 2009** J. Neils, Textile Dedications to Female Deities: The Case of the Peplos, in: C. Prêtre – S. Huysecom-Haxhi (Hrsg.), *Le donateur, l'offrande et la déesse. Systèmes votifs dans les sanctuaires de déesses du monde grec. Actes du 31<sup>e</sup> colloque international organisé par l'UMR HALMA-IPEL (Université Charles-de-Gaulle, Lille, 13–15 décembre 2007)*, Kernos Suppl. 23 (Lüttich 2009) 135–147
- Neutsch 1967** B. Neutsch (Hrsg.), *Herakleiasstudien, Archäologische Forschungen in Lukanien 2 = RM Ergh. 11* (Heidelberg 1967)
- Ohly I 1976** D. Ohly, Die Aegineten. Die Marmorskulpturen des Tempels der Aphaia I. Die Ostgiebelgruppe (München 1976)
- Ohly 1978** D. Ohly, Tempel und Heiligtum der Aphaia auf Aegina. Erläutert an den Holzmodellen in der Glyptothek in München <sup>2</sup>(München 1978)
- Ohly II–III 2001** D. Ohly, Die Aegineten. Tafeln. – II. Die Westgiebelgruppe. – III. Die Gruppen auf dem Altarplatz. Figürliche Bruchstücke – Akrotere. Aus der Tempelcella. Die klassizistische Restaurierung der Aegineten (München 2001)
- Ohnesorg 1991** A. Ohnesorg, Die Marmordächer im Delion von Paros, in: Schuller 1991, 120–139
- Ohnesorg 1993** A. Ohnesorg, Architektur auf Naxos und Paros II. Inselionische Marmordächer, *DAA* 18, 2 (Berlin 1993)
- Ohnesorg 2007** A. Ohnesorg, Der Kroisos-Tempel. Neue Forschungen zum archaischen Dipteros der Artemis von Ephesos, *FiE* 12, 4 (Wien 2007)
- Ohnesorg 2009** A. Ohnesorg, Die Dachterrakotten aus dem Heraion von Samos, *AM* 124, 2009, 19–167
- Ohnesorg 2010** A. Ohnesorg, Rez. zu K. Kissas, Archaische Architektur der Athener Akropolis. Dachziegel – Metopen – Geisa – Akroterbasen, *AF* 24 (Wiesbaden 2008), *GFA* 13, 2010, 1151–1164
- Ohnesorg 2021** A. Ohnesorg, Translucent Marble from Naxos and Paros: When and Where was It Used in Antiquity as Building Material, Especially on Roofs?, in: Katsónopoulou 2021, 171–180
- Olbrich 1986** G. Olbrich, Friese und Pinakes aus Magna Grecia, *PP* 41, 1986, 122–152
- Orlandini 1983** P. Orlandini, Le arti figurative, in: *Megale Hellas. Storia e civiltà della Magna Grecia* (Mailand 1983) 329–554
- Orsi 1914** P. Orsi, Caulonia. Campagne archeologiche del 1912, 1913 e 1915, *MonAnt* 23, 1914, 685–948
- Osanna 2002** M. Osanna, La recezione del mito greco nella mesogaia: il mondo enotrio, in: *Immagine e mito* 2002, 73–79
- Osanna 2008** M. Osanna, L'attività archeologica in Basilicata nel 2007, in: 47. *CMGr* (Tarent 2008) 911–944
- Osanna 2016** M. Osanna, Spazio sacro e culti civici, in: *Poleis e Politeiai nella Magna Grecia arcaica e classica. Atti del 53. CMGr Taranto 26–29 settembre 2013* (Tarent 2016) 359–368
- Osanna u. a. 2018** M. Osanna – G. Zuchtriegel – M. Barretta (Hrsg.), *Torre di Satriano II. La residenza ad abside, abitato e società in età arcaica* (Venosa 2018)
- Østby 2000** E. Østby, Ionian Elements in the Metopes from Selinous, in: *Krinzinger* 2000, 291–298
- Pace 2011** R. Pace, La dea di Francavilla Marittima e le sue rappresentazioni, in: F. Quantin (Hrsg.), *Archéologie des religions antiques* (Pau 2011) 103–125
- Pagliardi 2019/2020** M. N. Pagliardi, Selinunte (Trapani). – Lo scavo dell'area del tempio E sulla collina orientale. 1972–1976, *NSc* 29/30, 2019/2020, 387–533
- Palagia – Sioumpara 2019** O. Palagia – E. P. Sioumpara (Hrsg.), *From Hippias to Kallias. Greek Art in Athens and beyond: 527–449 BC. Proceedings of an International Conference Held at the Acropolis Museum, Athens, May 19–20, 2017* (Athen 2019)
- Paribeni 1974** E. Paribeni, Metaponto. Lineamenti di uno sviluppo artistico, in: *Metaponto. Atti del 13. CMGr Taranto 14–19 ottobre 1973* (Neapel 1974) 135–151
- Parra 2010** M. C. Parra, Marmi kauloniati, un contributo, in: *Adornato* 2010a, 143–158
- Picarreda 1999** D. Picarreda, La coroplastica dalla peristasi del tempio D di Metaponto, *AnnBari* 42, 1999, 53–110
- Pimpl 1997** H. Pimpl, Perirrhanteria und Louteria: Entwicklung und Verwendung großer Marmor- und Kalksteinbecken auf figürlichem und säulenartigem Untersatz in Griechenland (Berlin 1997)
- Reinhardt 2018** C. Reinhardt, Akroter und Architektur. Figürliche Skulptur auf Dächern griechischer Bauten vom 6. bis zum 4. Jahrhundert v. Chr. (Berlin 2018)
- Rescigno 2014** C. Rescigno, Decorazioni architettoniche fittili arcaiche da Policoro: vecchi dati e nuovi percorsi di lettura, *Siris* 14, 2014, 43–61
- Richter 1961** G. M. A. Richter, *The Archaic Gravestones of Attica* (London 1961)
- Richter 1968** G. M. A. Richter, *Korai, Archaic Greek Maidens. A Study of the Development of the Kore Type in Greek Sculpture* (London 1968)
- Ridgway 1990** B. Sismondo Ridgway, Birds, Meniskoi, and Head Attributes in Archaic Greece, *AJA* 94, 1990, 583–612

- Rizakis 2013** A. D. Rizakis, États fédéraux et sanctuaires: Zeus Homarios et la construction de l'identité achéenne, in: P. Funke – M. Haake (Hrsg.), Greek Federal States and Their Sanctuaries. Identity and Integration. Proceedings of an International Conference of the Cluster of Excellence »Religion and Politics«, Held in Münster 17.06.–19.06.2010 (Stuttgart 2013) 13–47
- Rocco 2008** G. Rocco, Architettura protoclassica occidentale e influssi della madrepatria, in: 47. CMGr (Tarent 2008) 287–324
- Rocco 2009** G. Rocco, Il tempio di Hera al Capo Lacinio. Nuove acquisizioni ed elementi per una sua restituzione, in: Mezzetti 2009, 107–134
- Rocco 2010** G. Rocco, Il ruolo delle officine itineranti cicladiche nella trasmissione di modelli architettonici tra tardoarcaismo e protoclassicismo, in: Adornato 2010a, 159–169
- Rocco 2016** G. Rocco, The Role of Cycladic Workshops in Late Archaic Architectural Change, in: K. Zampas – V. Lambrinouidakēs – E. Sēmantonē-Bournia – A. Ohnesorg (Hrsg.), Αρχιτέκτων. Τιμητικός τόμος για τον καθηγητή Μανόλη Κορρέ (Athen 2016) 507–515
- Rocco 2019** G. Rocco, L'architettura in età classica: committenza e ricezione dei modelli, in: 55. CMGr (Tarent 2019) 523–549
- Rolley 1994** C. Rolley, La sculpture grecque I. Des origines au milieu du V<sup>e</sup> siècle (Paris 1994)
- Ruga 1996** A. Ruga, La copertura dell'edificio A, in: Spadea 1996, 99–105
- Russo 2002** A. Russo, Il mito greco in area nord-lucana, in: Immagine e mito 2002, 94–103
- Russo 2008** A. Russo, Il territorio del Marmo-Platano. Gli oggetti di lusso, in: A. Russo – H. Di Giuseppe (Hrsg.), Felicitas Temporum. Dalla terra alle genti: La Basilicata settentrionale tra archeologia e storia (Potenza 2008) 46–87
- Santi 2001** F. Santi, I gruppi frontonali del tempio di Aphaia ad Egina. Ipotesi recenti e nuovi suggerimenti, ArchCl 52, 2001, 191–206
- Sassu 2013** R. Sassu, Culti primari e secondari nel santuario urbano di Metaponto, Thiasos 2, 1, 2013, 3–18
- Saxkjær 2017** S. Grove Saxkjær, The Emergence and Marking of Ethnic Identities: Case Studies from the Sibaritide Region, AnalRom 42, 2017, 7–31
- Schäfer 1992** T. Schäfer, Aegina, Aphaia-Tempel. XV. Becken und Ständer aus Marmor und Kalkstein, AA 1992, 7–37
- Schäfer 2016** T. Schäfer, Glanzlichter und Bedeutungsträger: Zur Semantik von Anstückungen aus Marmor und Metall an Skulpturen der Archaik und Frühklassik, in: Von der Reproduktion zur Rekonstruktion – Umgang mit Antike(n) II. Summerschool vom 16. bis 19. Juni in Tübingen, Tübinger Archäologische Forschungen 21 (Rahden 2016) 149–169
- Scheibler 1976** I. Scheibler, Griechische Lampen, Kerameikos 11 (Berlin 1976)
- Schilardi – Katsōnopoulou 2000** D. Schilardi – D. Katsōnopoulou (Hrsg.), Παρία λίθος. Λατομεία, μάρμαρο και εργαστήρια γλυπτικής της Πάρου. Πρακτικά Α' Διεθνούς Συνεδρίου Αρχαιολογίας Πάρου και Κυκλάδων, Παρουσία, Πάρος 2–5 Οκτωβρίου 1997 (Athen 2000)
- Schmitt 2016** C. Schmitt, Aphrodite in Unteritalien und auf Sizilien. Heiligtümer und Kulte (Heidelberg 2016)
- Schneider 1992** H. Schneider, Einführung in die antike Technikgeschichte (Darmstadt 1992)
- Schneider-Herrmann 1980** G. Schneider-Herrmann, Red-Figured Lucanian and Apulian Nestorides and Their Ancestors, Allard Pierson Series 1 (Amsterdam 1980)
- Scholl 2019** A. Scholl, Weihgeschenk – Statussymbol – Historisches Zeugnis. Zur Bedeutung der Votivskulpturen des späten 6. Jhs. v. Chr. auf der Athener Akropolis, in: Palagia – Sioumpara 2019, 14–29
- Schrader 1939** H. Schrader, Die archaischen Marmorbildwerke der Akropolis (Frankfurt a. M. 1939)
- Schuller 1991** M. Schuller, Architektur auf Naxos und Paros I. Der Artemistempel im Delion auf Paros, DAA 18, 1 (Berlin 1991)
- Servadei 2005** C. Servadei, La figura di Theseus nella ceramica attica. Iconografia e iconologia del mito nell'Atene arcaica e classica (Bologna 2005)
- Sestieri Bertarelli 1957** M. Sestieri Bertarelli, Il museo archeologico provinciale di Potenza (Rom 1957)
- Silipo 2011** A. Silipo, Amazzoni e Amazzonomachia nella ceramografia italiota e siceliota (Diss. Università degli Studi di Napoli Federico II 2011), <http://www.fedoa.unina.it/id/eprint/8572>
- Siritide e Metapontino 1998** Siritide e Metapontino. Storie di due territori coloniali. Atti dell'incontro di studio Policoro 31 ottobre – 2 novembre 1991 (Neapel 1998)
- Spadea 1996** R. Spadea (Hrsg.), Il tesoro di Hera. Scoperte nel santuario di Hera Lacinia a Capo Colonna di Crotona. Ausstellungskatalog Rom (Mailand 1996)
- Steininger 1996** U. Steininger, Die archaische und frühklassische Großplastik Unteritaliens und ihr Verhältnis zum Mutterland (Münster 1996)
- Stewart 2008** A. Stewart, The Persian and Carthaginian Invasions of 480 B.C.E. and the Beginning of the Classical Style: Part 2, The Finds from Other Sites in Athens, Attica, Elsewhere in Greece and on Sicily; Part 3, The Severe Style: Motivations and Meaning, AJA 112, 2008, 581–615
- Stewart 2013** A. Stewart, Die Invasionen der Perser und Karthager und der Beginn des Klassischen Stils, in: V. Brinkmann (Hrsg.), Zurück zur Klassik. Ein neuer Blick auf das alte Griechenland. Ausstellungskatalog Frankfurt a. M. (München 2013) 132–143
- Sturm 2017** R. Sturm, Amazonenskulpturen auf antiken Bauwerken: Zur Bedeutung des Frauenvolkes in der tektonischen Bildhauerei (Hamburg 2017)

- Talamo 1995** E. Talamo, Gli originali greci degli Horti Sallustiani, in: M. Cima (Hrsg.), *Restauri nei Musei Capitolini. Le sculture della sala dei Magistrati e gli originali greci della sala dei Monumenti arcaici* (Verona 1995) 16–39
- Torelli 1982** M. Torelli, Per la definizione del commercio greco-orientale: il caso di Gravisca, *PP* 37, 1982, 304–325
- Touloupa 1983** E. Touloupa, Τα εναέτια γλυπτά του Απόλλωνος Δαφνηφόρου στην Ερέτρια (Athen 1983)
- Touloupa 1986** E. Touloupa, Die Giebelskulpturen des Apollon Daphnephorostempels in Eretria, in: *Kyrieleis* 1986, I 143–151
- Touloupa 1998** E. Touloupa, Ο γλυπτός διάκοσμος του ναού της Αθηνάς στην Καρθαία, in: Κέα – Κύθνος: ιστορία και αρχαιολογία. Πρακτικά του Διεθνούς Συμποσίου Κέα – Κύθνος 22–25 Ιουνίου 1994 (Athen 1998) 609–623
- Touloupa 2002** E. Touloupa, Το κεντρικό ακροτήριό του ναού του Δαφνηφόρου Απόλλωνος στην Ερέτρια, in: Αρχαία ελληνική γλυπτική. Αφιέρωμα στη μνήμη του γλύπτη Στέλιου Τριάντη, *MusBenaki Suppl.* 1 (Athen 2002) 73–82
- Touloupa 2016** E. Touloupa, Die Skulpturen des sogenannten Athenatempels von Karthaia, *AntPl* 31 (Wiesbaden 2016) 65–114
- Travlos 1971** J. N. Travlos, *Bildlexikon zur Topographie des antiken Athen* (Tübingen 1971)
- Triantaphyllos 1978** D. Triantaphyllos, Νόμος Εάνθης. Αρχαία Αβδερρα, *ADelt* 33 B, 1978, 314
- Tsakos 2001** K. Tsakos, Die archaischen Gräber der Westnekropole von Samos und die Datierung der samischen Anthemienstelen, *AA* 2001, 451–466
- Tusa 1983** V. Tusa, *La scultura in pietra di Selinunte* (Palermo 1983)
- Tyrrell 1982** W. B. Tyrrell, Amazons Customs and Athenian Patriarchy, *AnnPisa* (Serie 3) 12, 1982, 1213–1237
- Valavanis 2019** P. Valavanis, What Stood on Top of the Marathon Trophy?, in: Palagia – Sioumpara 2019, 144–156
- Vatin 1981** C. Vatin, Monuments votifs de Delphes, *BCH* 105, 1981, 429–459
- von den Hoff 2001** R. von den Hoff, Die Posen des Siegers. Die Konstruktion von Überlegenheit in attischen Theseusbildern des 5. Jahrhunderts v. Chr., in: R. von den Hoff – S. Schmidt (Hrsg.), *Konstruktionen von Wirklichkeit. Bilder im Griechenland des 5. und 4. Jahrhunderts v. Chr. Interdisziplinäres Kolloquium vom 27. September bis 1. Oktober 1999 in Schloß Reisenburg bei Günzburg* (Stuttgart 2001) 73–88
- von den Hoff 2009** R. von den Hoff, Herakles, Theseus and the Athenian Treasury at Delphi, in: P. Schultz – R. von den Hoff (Hrsg.), *Structure, Image, Ornament. Architectural Sculpture in the Greek World. Proceedings of an International Conference Held at the American School of Classical Studies [Athens] 27–28 November 2004* (Oxford 2009) 96–104
- von den Hoff 2010** R. von den Hoff, Theseus – Stadtgründer und Kulturheros, in: E. Stein-Hölkeskamp – K.-J. Hölkeskamp (Hrsg.), *Die griechische Welt. Erinnerungsorte der Antike* (München 2010) 300–315
- Vordos 2019a** A. G. Vordos, Monuments and Cult at the Sanctuary of Trapeza at Aigion from the 8<sup>th</sup> Century BC, in: Greco – Rizakis 2019, 143–164
- Vordos 2019b** A. G. Vordos, The Pediments of the Temple at Trapeza. Their Religious and Political Importance, in: Greco – Rizakis 2019, 185–200
- Walter-Karydi 1986** E. Walter-Karydi, Zum Westgiebel des äginetischen Apollon-Tempels, in: *Kyrieleis* 1986, I 129–137
- Walter-Karydi 1987** E. Walter-Karydi, Die Äginetische Bildhauerschule. Werke und schriftliche Quellen, *Alt-Ägina* 2, 2 (Mainz 1987)
- Walter-Karydi 2006** E. Walter-Karydi, How the Aiginetans Formed Their Identity (Athen 2006)
- Weber 2013** U. Weber, Versatzmarken im antiken griechischen Bauwesen (Wiesbaden 2013)
- Willemsen 1959** F. Willemsen, Die Löwenkopf-Wasserspeier vom Dach des Zeustempels, *OF* 4 (Berlin 1959)
- Wolf 2016** M. Wolf, Hellenistische Heiligtümer in Sizilien. Studien zur Sakralarchitektur innerhalb und außerhalb des Reiches König Hierons II., *Sonderschriften DAI Rom* 20 (Wiesbaden 2016)
- Wünsche 2011** R. Wünsche, Kampf um Troja. 200 Jahre Ägineten in München (Lindenberg im Allgäu 2011)
- Wünsche 2020** R. Wünsche, Neues zu den Ägineten, in: Meyer – Adornato 2020, 253–281
- Zancani Montuoro – Zanotti Bianco 1951** P. Zancani Montuoro – U. Zanotti Bianco, *Heraion alla Foce del Sele I. Il santuario. Il tempio della dea. Rilievi figurati varii. L'architettura del tempio* (Rom 1951)
- Zournatzi 2019** A. Zournatzi, Looking for Persians in Attic Vase Painting, in: Palagia – Sioumpara 2019, 120–132

---

## ZUSAMMENFASSUNG

### Aegineten in Metapont?

#### Der frühklassische Tempel C II und seine Bauplastik

Madeleine Mertens-Horn – Dieter Mertens –  
Aenne Ohnesorg

Der wahrscheinlich Athena geweihte älteste Oikos C I im Heiligtum von Metapont wurde im frühen 5. Jh. v. Chr. durch einen aufwendigen Neubau (C II) ersetzt. Seine Fundamente und wenige Baufragmente legen die Rekonstruktion eines großen Doppelantentempels westgriechischer Typologie nahe. Diesem Bau wird eine Anzahl von – meist stark zerstörten – Bau- und Skulpturfragmenten aus parischem Marmor zugeordnet, die nach ihren stilistischen Merkmalen von griechischen Werkleuten gearbeitet worden sind – so die Stücke eines Dachrandes mit Löwenkopfsimen und Volutenakroteren, von denen einer sich nach dem Modell des Aphaia-Tempels von Aegina rekonstruieren lässt. Hinzu kommen zahlreiche Skulpturfragmente von bildhauerischer Qualität, Stil, Ikonographie und Größenordnung, die sie als Bestandteile eines Giebels von der Art des Aphaia-Tempels ausweisen, welcher aber um ein Drittel kleiner war und damit zu den Dimensionen des Tempels C II passt. Es wird daher vermutet, dass der marmorne Schmuck des Tempels an eine griechische, wohl aeginetische Werkstatt vergeben worden ist. Eine andere Gruppe von Skulpturfragmenten gleicher Größenordnung und Zeitstellung, aber aus weißem Kalkstein und möglicherweise vom Westgiebel des Tempels C II, ist sicherlich von lokalen Handwerkern gefertigt worden. Überlegungen zur Bedeutung des Figuren- und Bauprogramms in der großgriechischen Polis beschließen den Beitrag zur aktuellen Diskussion über die Mobilität von Werkstätten in frühklassischer Zeit.

## SCHLAGWÖRTER

Metapont, Aegina, Bauplastik, parischer Marmor, Strenger Stil, Mobilität, Identität

---

## ABBILDUNGSNACHWEIS

Titelbild: DAI, Fotothek Rom,  
D-DAI-ROM-66.1557–1559, arachne.

dainst.org/entity/6205941, arachne.dainst.org/entity/6205942, arachne.dainst.org/

entity/6205943 (Fotos: Hartwig Koppermann, Aufnahmedatum: 23.06.1966)

Abb. 1: Foto: Dieter Mertens

Abb. 2: Zeichnung: Dieter Mertens, Margareta Schützenberger, Iliaria Patriarca

Abb. 3: Zeichnung: Dieter Mertens, Margareta Schützenberger, Iliaria Patriarca

Abb. 4: Zeichnung: Madeleine Mertens-Horn, Margareta Schützenberger

Abb. 5: Foto: Dieter Mertens

Abb. 6: Foto: Dieter Mertens

Abb. 7: Zeichnung: Dieter Mertens, Iliaria Patriarca

Abb. 8: DAI, Fotothek Rom, D-DAI-ROM-MET.1989.022.003 (Foto: Dieter Mertens)

Abb. 9: Fotos: Dieter Mertens

Abb. 10: Foto: Dieter Mertens

Abb. 11: Zeichnung: Dieter Mertens

Abb. 12: Fotos: Dieter Mertens

Abb. 13: links: Zeichnung: Dieter Mertens, Iliaria Patriarca; rechts: DAI, Fotothek Rom, D-DAI-ROM-MET-MF.1975.019.004 (Foto: Dieter Mertens)

Abb. 14: Zeichnung: Dieter Mertens, Iliaria Patriarca; Foto: Dieter Mertens

Abb. 15: oben: R. Koldewey – O. Puchstein, Die griechischen Tempel in Unteritalien und Sicilien (Berlin 1899) Abb. 37 (Zeichnung: Robert Koldewey); unten links: Zeichnung: Dieter

Mertens, Iliaria Patriarca; unten rechts: DAI, Fotothek Rom, D-DAI-ROM-MET-MF.1971.003.002 (Foto: Dieter Mertens)

Abb. 16: Foto: Dieter Mertens

Abb. 17: Zeichnung: Dieter Mertens, Iliaria Patriarca

Abb. 18: links: Zeichnung: Dieter Mertens; rechts: Zeichnung: Hansgeorg Bankel

Abb. 19: Zeichnung und Foto: Aenne Ohnesorg

Abb. 20: Zeichnung und Foto: Aenne Ohnesorg

Abb. 21: Zeichnung und Foto: Aenne Ohnesorg

Abb. 22: Zeichnung: Aenne Ohnesorg

Abb. 23: Zeichnung und Foto: Aenne Ohnesorg

Abb. 24: Zeichnung: Aenne Ohnesorg

Abb. 25: Zeichnungen: Aenne Ohnesorg

Abb. 26: Zeichnung und Foto: Aenne Ohnesorg

Abb. 27: Zeichnung und Foto: Aenne Ohnesorg

Abb. 28: Zeichnung und Fotos: Aenne Ohnesorg

Abb. 29: Zeichnung und Fotos: Aenne Ohnesorg

Abb. 30: Zeichnung und Fotos: Aenne Ohnesorg

- Abb. 31: Zeichnung und Fotos: Aenne Ohnesorg  
 Abb. 32: Zeichnung und Fotos: Aenne Ohnesorg  
 Abb. 33: Zeichnung und Foto: Aenne Ohnesorg  
 Abb. 34: Zeichnung: Dieter Mertens und Aenne Ohnesorg  
 Abb. 35: Zeichnungen: Aenne Ohnesorg, Ernst Fiechter und Dieter Mertens  
 Abb. 36: Staatliche Antikensammlungen und Glyptothek München, fotografiert von Renate Kühling  
 Abb. 37: oben: Fotos: Dieter Mertens; unten: Staatliche Antikensammlungen und Glyptothek München, fotografiert von Franz Kaufmann und Hartwig Koppermann  
 Abb. 38: links: Foto: Klaus Anger; rechts: Staatliche Antikensammlungen und Glyptothek München, fotografiert von Franz Kaufmann und Hartwig Koppermann  
 Abb. 39: oben: Foto: Klaus Anger; unten: Staatliche Antikensammlungen und Glyptothek München, fotografiert von Franz Kaufmann und Hartwig Koppermann  
 Abb. 40: links: Foto: Klaus Anger; rechts: Staatliche Antikensammlungen und Glyptothek München, fotografiert von Franz Kaufmann und Hartwig Koppermann  
 Abb. 41: oben: Fotos: Ingrid Geske; unten: Staatliche Antikensammlungen und Glyptothek München, fotografiert von Franz Kaufmann und Hartwig Koppermann  
 Abb. 42: Fotos: Klaus Anger  
 Abb. 43: oben links: Foto: Ingrid Geske; unten links und rechts: Staatliche Antikensammlungen und Glyptothek München, fotografiert von Franz Kaufmann und Hartwig Koppermann  
 Abb. 44: Foto: Ingrid Geske  
 Abb. 45: Foto: Ingrid Geske  
 Abb. 46: Foto: Ingrid Geske  
 Abb. 47: Foto: Ingrid Geske  
 Abb. 48: DAI, Fotothek Rom, D-DAI-ROM-MET.1971.005.012 (Foto: Michael Eisner)  
 Abb. 49: oben: Foto: Dieter Mertens; unten: Staatliche Antikensammlungen und Glyptothek München, fotografiert von Franz Kaufmann und Hartwig Koppermann  
 Abb. 50: links: Foto: Dieter Mertens; Mitte und rechts: Staatliche Antikensammlungen und Glyptothek München, fotografiert von Franz Kaufmann und Hartwig Koppermann  
 Abb. 51: links, Mitte links und rechts: Fotos: Klaus Anger; rechts: Staatliche Antikensammlungen und Glyptothek München, fotografiert von Franz Kaufmann und Hartwig Koppermann  
 Abb. 52: Foto: Klaus Anger  
 Abb. 53: Fotos: Klaus Anger  
 Abb. 54: Fotos: Klaus Anger  
 Abb. 55: Foto: Klaus Anger  
 Abb. 56: links, Mitte links und rechts: Fotos: Klaus Anger; rechts: Staatliche Antikensammlungen und Glyptothek München, fotografiert von Franz Kaufmann und Hartwig Koppermann  
 Abb. 57: Fotos: Klaus Anger  
 Abb. 58: Foto: Dieter Mertens  
 Abb. 59: links und Mitte: Fotos: Klaus Anger; rechts: Staatliche Antikensammlungen und Glyptothek München, fotografiert von Franz Kaufmann und Hartwig Koppermann  
 Abb. 60: links und Mitte: Fotos: Klaus Anger; rechts: Staatliche Antikensammlungen und Glyptothek München, fotografiert von Franz Kaufmann und Hartwig Koppermann  
 Abb. 61: oben: Fotos: Klaus Anger; unten: Staatliche Antikensammlungen und Glyptothek München, fotografiert von Franz Kaufmann und Hartwig Koppermann  
 Abb. 62: Foto: Klaus Anger  
 Abb. 63: links: Foto: Dieter Mertens; Mitte und rechts: Staatliche Antikensammlungen und Glyptothek München, fotografiert von Franz Kaufmann und Hartwig Koppermann  
 Abb. 64: links: Foto: Dieter Mertens; rechts: Staatliche Antikensammlungen und Glyptothek München, fotografiert von Franz Kaufmann und Hartwig Koppermann  
 Abb. 65: Fotos: Klaus Anger  
 Abb. 66: links: Foto: Dieter Mertens; rechts: Staatliche Antikensammlungen und Glyptothek München, fotografiert von Franz Kaufmann und Hartwig Koppermann  
 Abb. 67: links: Foto: Klaus Anger; rechts: Staatliche Antikensammlungen und Glyptothek München, fotografiert von Franz Kaufmann und Hartwig Koppermann  
 Abb. 68: oben und unten links: Fotos: Klaus Anger; unten rechts: Staatliche Antikensammlungen und Glyptothek München, fotografiert von Franz Kaufmann und Hartwig Koppermann  
 Abb. 69: oben und unten links: Fotos: Dieter Mertens; rechts: Staatliche Antikensammlungen und Glyptothek München, fotografiert von Franz Kaufmann und Hartwig Koppermann  
 Abb. 70: links, Mitte links und rechts: Fotos: Klaus Anger; rechts: Staatliche Antikensammlungen

und Glyptothek München, fotografiert von Franz Kaufmann und Hartwig Koppermann  
Abb. 71: Foto und Zeichnung: Dieter Mertens  
Abb. 72: DAI, Fotothek Rom, D-DAI-ROM-66.1557–1559, [arachne.dainst.org/entity/6205941](http://arachne.dainst.org/entity/6205941), [arachne.dainst.org/entity/6205942](http://arachne.dainst.org/entity/6205942), [arachne.dainst.org/entity/6205943](http://arachne.dainst.org/entity/6205943) (Fotos: Hartwig Koppermann, Aufnahme­datum: 23.06.1966)  
Abb. 73: links: DAI, Fotothek Rom, D-DAI-ROM-66.1629, [arachne.dainst.org/entity/6206020](http://arachne.dainst.org/entity/6206020) (Hartwig Koppermann, Aufnahme­datum: 24.06.1966); rechts: Foto: Madeleine Mertens-Horn  
Abb. 74: links: DAI, Fotothek Rom, D-DAI-ROM-66.1628, [arachne.dainst.org/entity/6206019](http://arachne.dainst.org/entity/6206019) (Hartwig Koppermann, Aufnahme­datum: 24.06.1966); rechts: Foto: Madeleine Mertens-Horn  
Abb. 75: DAI, Fotothek Rom, D-DAI-ROM-66.1630, [arachne.dainst.org/entity/6206022](http://arachne.dainst.org/entity/6206022) (Hartwig Koppermann, Aufnahme­datum: 24.06.1966)  
Abb. 76: Foto: Madeleine Mertens-Horn  
Abb. 77: Fotos: Madeleine Mertens-Horn  
Abb. 78: Foto: Madeleine Mertens-Horn  
Abb. 79: Foto: Madeleine Mertens-Horn  
Abb. 80: A. Russo, *Il territorio del Marmo-Platano. Gli oggetti di lusso*, in: A. Russo – H. Di Giuseppe (Hrsg.), *Felicitas temporum. Dalla terra alle genti: La Basilicata settentrionale tra archeologia e storia* (Potenza 2008) 71 Abb. 71 (Foto: Nicola Figliuolo und Caterina Tedone). Su concessione del MIC – Direzione Regionale Musei della Basilicata  
Abb. 81: Foto: Antonio De Siena. Su concessione del MIC – Direzione Regionale Musei della Basilicata  
Abb. 82: P. G. Guzzo, Metaponto. Località Crucinia, proprietà Giacovelli, Oreficerie ornamentali dalla tomba 238 in Località Crucinia, *BdA* 143, 2008, 16 Abb. 3 (Foto: Nicola Figliuolo). Su concessione del MIC – Direzione Regionale Musei della Basilicata  
Abb. 83: Print Version: © The Trustees of the British Museum; Digital Version: © The Trustees of the British Museum, (<https://www.britishmuseum.org/collection/image/1613608234>), CC BY-NC-SA 4.0 (<https://creativecommons.org/licenses/by-nc-sa/4.0/>)  
Abb. 84: S. Bianco – M. Tagliente, *Il Museo Nazionale della Siritide di Policoro* (Rom 1985) Taf. 53. Su concessione del MIC – Direzione Regionale Musei della Basilicata

Abb. 85: Zeichnung: Aenne Ohnesorg  
Abb. 86: Zeichnung: Aenne Ohnesorg  
Abb. 87: Zeichnung: Aenne Ohnesorg  
Abb. 88: Zeichnung: Aenne Ohnesorg  
Abb. 89: Zeichnung: Aenne Ohnesorg  
Abb. 90: Zeichnung: Aenne Ohnesorg  
Abb. 91: Zeichnung: Aenne Ohnesorg  
Abb. 92: Zeichnung: Aenne Ohnesorg  
Abb. 93: Zeichnung: Aenne Ohnesorg  
Abb. 94: Zeichnung: Dieter Mertens  
Abb. 95: Zeichnung: Dieter Mertens  
Abb. 96: Zeichnung: Dieter Mertens  
Abb. 97: Zeichnung: Dieter Mertens  
Abb. 98: Zeichnung: Dieter Mertens  
Abb. 99: Zeichnung: Dieter Mertens  
Abb. 100: Zeichnung: Dieter Mertens  
Abb. 101: Zeichnung: Dieter Mertens  
Abb. 102: Zeichnung: Dieter Mertens  
Abb. 103: Zeichnung: Dieter Mertens  
Abb. 104: Zeichnung: Dieter Mertens  
Abb. 105: Zeichnung: Dieter Mertens  
Abb. 106: Zeichnung: Dieter Mertens  
Abb. 107: Zeichnung: Dieter Mertens  
Abb. 108: Zeichnung: Dieter Mertens  
Abb. 109: Zeichnung: Dieter Mertens  
Abb. 110: Zeichnung: Dieter Mertens

---

## KONTAKT

Dr. Madeleine Mertens-Horn  
madeleine.mertens@libero.it

Dr. Dieter Mertens  
dietermertens41@gmail.com

Dr. Aenne Ohnesorg  
Technische Universität München,  
Arcisstrasse 21  
80333 München  
aenne.ohnesorg@tum.de  
ROR ID: <https://ror.org/02kkvpp62>

---

## METADATA

Titel/*Title*: Aegineten in Metapont? Der frühklassische Tempel CII und seine Bauplastik/  
*Aeginetans at Metapontum? The Early Classical Temple C II and Its Building Sculpture*

Band/*Issue*: 139, 2024

Bitte zitieren Sie diesen Beitrag folgenderweise/  
*Please cite the article as follows*: M. Mertens-Horn – D. Mertens – A. Ohnesorg, Aegineten in Metapont? Der frühklassische Tempel C II und seine Bauplastik, JdI 139, 2024, § 1–232, <https://doi.org/10.34780/v0h9-98rp>

Copyright: Alle Rechte vorbehalten/*All rights reserved*.

Online veröffentlicht am/*Online published on*:  
02.12.2024

DOI: <https://doi.org/10.34780/v0h9-98rp>

Schlagwörter/*Keywords*: Metapont, Aegina, Bauplastik, parischer Marmor, Strenger Stil, Mobilität, Identität/*Metapontum, Aegina, building sculpture, Parian marble, Severe Style, mobility, identity*

